

TERESA CZYŻEWSKA

## Tropy gadów permских z Wambierzyc (Dolny Śląsk)

TREŚĆ: Wstęp: Uwagi ogólne; pochodzenie i charakter opracowywanego materiału; terminologia, oznaczanie śladów, pomiary; odtworzenie sposobu poruszania się i wyglądu zewnętrznego zwierzęcia na podstawie tropów — Część szczegółowa: *Ichniotherium* sp., *Herpetichnium ungulatum albendorfense* (Pabst), *Gampsodactylum albendorfense* (Pabst), *Gampsodactylum albendorfense minor* (Pabst), *Gampsodactylum albendorfense gracilis* (Pabst), *Ichnium pachydactylum minus albendorfense* Pabst — Uwagi końcowe — Literatura cytowana

### WSTĘP

#### *Uwagi ogólne*

Dla rozszerzenia naszych wiadomości o faunie minionych epok geologicznych mają znaczenie nie tylko zachowane w pokładach szczątki kostne zwierząt kopalnych, ale także wszelkie ślady ich życiowej działalności, jak np. zmiany pod wpływem schorzeń, budowle mieszkalne, żerowiska itp. Do najważniejszych może śladów działalności życiowej dawnych zwierząt zalicza się ich tropy. Każde bowiem zwierzę w stosunkowo niedługim czasie może pozostawić bardzo dużą ilość śladów swych odnóży, jeśli porusza się na podłożu takim, na którym te ślady mogą się zaznaczyć. Tropy kopalne mogły powstać tylko w tym przypadku, gdy ślady poruszających się zwierząt stosunkowo szybko zostały przykryte warstwą osadu, zabezpieczającą je od zniszczenia.

Znane są kopalne ślady poruszania się na lądzie zwierząt zarówno bezkręgowych (np. pierścienice, owady), jak i kręgowców. Za najstarszy ślad czworonoga lądowego uważany jest trójpalczasty trop stosunkowo dużego zwierzęcia, nazwanego *Thinopus antiquus*, znaleziony w górnym dewonie Ameryki Północnej (Pensylwania), choć niektórzy badacze, jak np. O. Abel (7)\*, mają wątpliwości co do słuszności podobnej interpretacji tego znaleziska.

---

\* Liczby kursywą w nawiasach odsyłają do spisu literatury na końcu artykułu.

W karbonie tropy czworonożnych kręgowców lądowych są już stosunkowo liczne; należą one do pierwotnych płazów i gadów.

W porównaniu z karbonem ilość tropów znana z permu jest o wiele większa, są one także bardziej różnorodne. Na terenie Europy spotyka się tropy permskie przede wszystkim w warstwach czerwonego spągowca Turynгии, Anglii oraz Śląska i Czech. Tropy permskie są w większości tropami gadów.

Z późniejszych okresów geologicznych, z mezozoiku, znane są bardzo liczne tropy; w trzeciorzędzie z niewiadomych przyczyn spotyka się ich stosunkowo mniej.

W Europie po raz pierwszy odkryto tropy kopalne w roku 1824 na terenie Anglii w pokładach triasowych. Zostały one nazwane *Chirotherium*. Od tego czasu znaleziono bardzo dużo tropów należących do tego rodzaju. Ten bogaty materiał był wielokrotnie opracowywany, stąd też *Chirotheria* są najlepiej poznanymi tropami Europy.

W miarę poznawania coraz to nowych form tropów kopalnych zainteresowanie nimi wzrastało. Szczególnego znaczenia nabrały one w związku z rozwojem badań paleobiologicznych. Początkowo badacze ograniczali się do opisywania kształtu śladów. Tropom nadawano niekiedy nazwy, które, jak się potem okazało, obejmowały różne typy tropów, jak np. *Saurichnites*. Czasem nazwy te były niezwykle długie, niezgodne z przyjętymi ogólnie zasadami nomenklatury zoologicznej, jak np. *Ichnium gampsodactylum tenue friedrichrodanum*. Niektórzy autorzy posługiwali się wyłącznie symbolami literowymi, np. Hardakker oznacza znaleziony w Anglii trop symbolem „Hla”. W tym czasie badanie tropów i szczątków zwierzęcych nie pozostawało ze sobą w żadnym związku, stąd nomenklatura tropów nabrała charakteru odrębnego od nomenklatury używanej w systematyce.

Dużym postępem w badaniach ichnologicznych<sup>1</sup> była praca Fr. v. Nopcsa'y z 1925 r. (25), w której wyróżnia on szereg typów tropów zależnie od sposobów poruszania się. Fr. v. Nopcsa opisuje typ stegocefaloidalny — o palcach krótkich i rozchylonych, oraz lacertoidalny — o wydłużonym IV palcu i odchylonym silnie V palcu, a także inne. Oprócz ugrupowania znanych tropów według typów Nopcsa wprowadza używanie podwójnych nazw: rodzajowej i gatunkowej, przy opisywaniu tropów.

W. Soergel (1925, fide 7) po raz pierwszy przeprowadził szczegółową analizę tropów *Chirotherium*. Analiza ta obejmowała wszystkie możliwe zagadnienia związane z badaniami tropów, a więc szczegółowy opis śladów i tropów, wyjaśnienie szybkości oraz sposobu poruszania się, rekon-

<sup>1</sup> Ichnologia jest to jedna z dziedzin paleobiologii, zajmująca się badaniem tropów kopalnych (trop po grecku *lyvos*).



strukcję wyglądu zewnętrznego zwierzęcia, ustalenie stanowiska systematycznego oraz wnioski o biologii zwierzęcia.

Na terenie Polski tropy kręgowców lądowych są spotykane rzadko. Najstarsze pochodzą z permu Dolnego Śląska; znajdowane były także w pokładach triasowych Gór Świętokrzyskich.

### *Pochodzenie i charakter opracowywanego materiału*

W zbiorach Zakładu Paleozoologii Uniwersytetu Wrocławskiego znajdują się płyty z tropami, pochodzące z Wambierzyc koło Kłodzka (niem. Albendorf in Grafschatz Glatz). O znalezieniu tych tropów doniósł w 1861 r. H. R. Goeppert (fide 29) po raz pierwszy w sprawozdaniu skierowanym do sekretarzy sekcji przyrodniczej towarzystwa Schlesische Gesellschaft für Vaterländische Kultur. Rękopis tego sprawozdania, który podobno znajdował się w aktach geologiczno-paleontologicznych zbiorów Uniwersytetu we Wrocławiu, musiał przypuszczalnie zaginąć w czasie ostatniej wojny. Następnie H. R. Goeppert w swej pracy „Die fossile Flora der permischen Formation“ z 1864/65 r. wspomina o zamiarze opisanie tych tropów szerzej. Opisu tego jednak nie zostawił.

Niektóre z tych tropów zostały opisane dopiero przez W. Pabsta w roku 1908 (29) w jego pracy pt. „Die Tierfährten des Rotliegenden Deutschlands“ (płyty nr 1, 4, 5, 8 i 30 według inwentarza Goepperta) wraz z innymi tropami, pochodzącymi z Niemiec.

W związku z wprowadzeniem przez Fr. v. Nopcsę podwójnej nomenklatury do ichnologii (25) tropy z Wambierzyc otrzymały również odpowiednie nazwy.

Zbiór wrocławski składa się z płyt zawierających ślady kończyn oraz płyt ze śladami deszczu. Na niektórych płytach zachowały się także odciski roślin (np. płyta nr 8 z odciskiem *Walchia piniformis*). Rzadko występują koprolity, źle zachowane, stąd trudne do oznaczenia. Zakład Paleozoologii posiada obecnie 56 takich płyt, z których 43 zawierają tropy kręgowców.

Materiał ten zebrano z małego kamieniołomu, położonego pomiędzy Wambierzycami a Ratnem Dolnym (Nieder-Rathen). Kamieniołom ten był całkowicie zniszczony w związku z budową szosy. Pokłady, z których pochodzą płyty z tropami, są wieku dolno-permskiego. Są to tzw. warstwy lebachskie z dolnego i środkowego czerwonego spągowca. Tropy znajdują się na płytach szarych łupków z mika. Niektóre płyty są poprzedzielane cienkimi wkładkami wapienia. Warstewki łupku i wapienia nakładają się na siebie całkowicie równolegle, powierzchnia zaś płyt jest prawie zupełnie gładka. Na żadnej z płyt nie stwierdziłam występowania szczelin spowodowanych wysychaniem. Wszystko to zdaje się wskazywać, że wymienione osady utworzyły się w zbiorniku o wodzie spokojnej, w którym

głębokość ulegała okresowym zmianom, spowodowanym zapewne zmianami klimatycznymi.

Stan zachowania tropów pochodzących z Wambierzyc jest bardzo różny. Na jednych płytach ślady są wyraźne, o ostro zarysowanych brzegach, inne mają ślady niekompletne o mniej lub więcej niewyraźnych konturach. Tropy zachowały się w postaci odcisków lub odlewów.

Tropy kopalne powstają w następujący sposób: ślad, czy szereg śladów, odcisniętych przez zwierzę w podłożu dostatecznie plastycznym, zanim uległ zniszczeniu, musiał nieco stwardnieć i zostać przykrytym drugą warstwą, najczęściej różną pod względem petrograficznym od materiału, w którym trop był odcisnięty. Stąd też w tworzeniu się tropów kopalnych biorą udział dwie warstwy: dolna, na której ślady zachowują się jako wgłębione odciski, i górna, na której powierzchni powstaje wypukły odlew śladu. W przypadku tropów wambierzyckich płyty z odciskami i odlewami zbudowane są z tego samego materiału — z szarych łupków ilastych. Wobec tego należy sądzić, że warunki, w jakich powstawały obie warstwy, były podobne i niezbyt w czasie odległe.

#### *Terminologia, oznaczanie śladów, pomiary*

*Terminologia.* — Przy opracowywaniu tropów zwierzęcych przyjęta jest specjalna do tego celu przystosowana terminologia. Posługiwałam się głównie terminologią, używaną przez autorów niemieckich. Najważniejsze terminy używane przeze mnie są następujące. *Trop* — jest to szereg odcisków czy odlewów śladów kończyn przechodzącego zwierzęcia. *Ślad* — jest to odlew czy odcisk pojedynczej kończyny w tropie. *Trop pojedynczy* — jest to zachowany na płycie odcisk czy odlew tylko jednej kończyny. *Linia kierunku ruchu* — jest to linia wyznaczająca kierunek poruszania się zwierzęcia w chwili powstawania tropu; odpowiada ona mniej więcej środkowej linii ciała.

*Oznaczanie śladów.* — W opisywaniu tropów trzymam się oznaczeń W. Pabsta, który prawym śladom dawał kolejne numery nieparzyste, lewym zaś — parzyste. Przednie kończyny znaczył liczbą kolejną poczynawszy od 1, tylne zaś kończyny — takąż liczbą opatrzoną znaczkiem x, np. 1<sup>x</sup>, 2<sup>x</sup>. Ślad kończyny tylnej i przedniej w jednej parze z tej samej strony tropu otrzymuje więc tę samą liczbę, np. 1, 1<sup>x</sup> (fig. 1).

*Pomiary.* — W związku z charakterystyką podawane są pomiary dotyczące śladów i tropów. Przy rozpatrywaniu wielkości otrzymywanych z pomiarów trzeba uwzględniać zawsze to, że nie są one zależne jedynie od budowy kończyn zwierzęcia, ale także od szybkości poruszania się w chwili powstawania tropu, od charakteru podłoża, na którym trop powstał, oraz od stanu zachowania tropu. Wyniki pomiarów w mm podane są w tabelach.



Pomiarów poszczególnych śladów dokonywano w sposób następujący. *Długość śladu* mierzono od czubka najdłuższego palca do najbardziej oddalonego punktu tylnej krawędzi śladu, *szerokość śladu* — pomiędzy czubkami zewnętrznych palców, wreszcie *długość palców* — od nasady poszczególnego palca do jego czubka. *Kąty ustawienia palców* podałam przy opisie niektórych tylko tropów, dla których są one bardziej charakterystyczne. Są to kąty leżące pomiędzy I i V oraz IV i V palcem.

Na tropach dokonywałam następujących pomiarów (fig. 1). *Długość kroku* mierzylam pomiędzy czubkami średnich (III) palców w śladzie, np. 1 i 2 lub  $2^x$  i  $3^x$  itp. *Jednostronną długość kroku* mierzylam pomiędzy tymi samymi punktami dwu kolejnych śladów tych samych kończyn, leżących z jednej strony tropu, np.  $1^x$  i  $3^x$  lub  $2^x$  i  $4^x$  itp. *Pomiaru I* (według W. Pabsta) dokonuje się pomiędzy śladem tylnej i przedniej kończyny w jednej parze śladów, np.  $1^x$  i 1 itp. *Pomiaru II* (według W. Pabsta) dokonuje się między śladami tylnej i przedniej kończyny w dwu sąsiednich parach śladów, np. 1 i  $3^x$  itp. Suma otrzymana z dodania wyników pomiarów I i II daje jednostronną długość kroku. *Szerokość tropu* (najmniejsza) mierzona była pomiędzy liniami łączącymi z każdej strony te same palce, wysunięte najbardziej do wnętrza tropu.

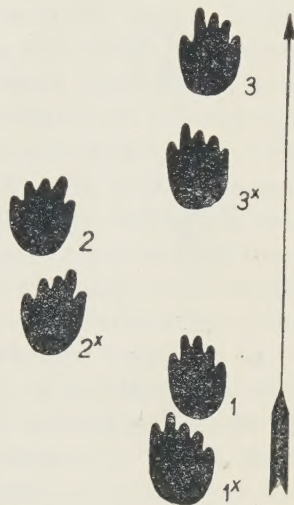


Fig. 1

Oznaczanie śladów w tropie według W. Pabsta (29)

Strzałka wskazuje kierunek ruchu zwierzęcia. Ślady prawe oznaczone są przez kolejne numery arabskie nieparzyste, lewe — przez kolejne numery parzyste. Numery z krzyżykiem odnoszą się do śladów kończyn tylnych

### *Sposób poruszania się i wygląd zewnętrzny zwierzęcia na podstawie tropów*

Wszystkie tropy z Wambierzyc należą do permskich czworonogów śladowych, poruszających się w sposób naprzemienny<sup>2</sup>, tzn. że wysunięciu lewej przedniej kończyny towarzyszy wysunięcie prawej tylnej kończyny, prawej zaś przedniej — wysunięcie lewej tylnej. Trop zwierząt poruszających się w ten sposób składa się z szeregu par śladów, przy czym najczęściej pary śladów jednej strony tropu leżą pomiędzy parami śladów drugiej strony. Takiemu chodowi przeciwstawiam poruszanie się

<sup>2</sup> Termin „chód naprzemienny“ odpowiada niemieckiemu „Wechselgang“.

skroczem (ros. „inochod“), kiedy obie kończyny jednej strony ciała stawiane są równocześnie.

Przy chodzie naprzemiennym odległość między śladem przedniej a tylnej nogi w jednej parze (pomiar I) jest prawie zawsze mniejsza, niż między śladem przedniej kończyny a tylnej kończyny dwu par sąsiednich (pomiar II). Suma obu pomiarów — to jednostronna długość kroku ( $a$ ), która dla każdego zwierzęcia jest szczególnie charakterystyczna, pozostaje bowiem w związku zarówno z umieszczeniem kończyn na tułowiu, jak i z odległością panewek stawowych pasa barkowego i miednicowego, którą oznaczamy literą  $E$ . U pewnych grup zwierząt, w zależności od szybkości poruszania się, odległość ta może się nieznacznie zmieniać. O ile obustronny moment skręcenia pasa barkowego i miednicowego jest mały, różnice zaś w osiąganey szybkości ruchu też nie są duże, jak np. u dużych gadów czworonożnych, zmiany te nie przekraczają 5% (według Korna, 21), a więc pomiędzy wielkością  $E$  a sposobem chodzenia istnieje pewna stała zależność i wielkość tę można ustalić wtedy, gdy określi się sposób chodu. Dla określenia sposobu chodu trzeba brać pod uwagę długość kroku, szerokość tropu<sup>3</sup> i wartość kroku w chodzie. W zależności od długości kończyn zwierzęcia i szybkości poruszania się różna jest długość kroku i szerokość tropu. Stąd liczba kroków, potrzebna do przebycia odległości odpowiadającej wielkości  $E$ , jest też różna. Wartością kroku w chodzie nazywamy liczbę kroków, potrzebną do przebycia odległości równej długości  $E$ .

H. Korn (21) podaje zestawienie różnych sposobów chodu, zależnych od długości kończyn i szybkości poruszania się. Każdemu sposobowi chodu odpowiada inny stosunek wielkości  $E$  do jednostronnej długości kroku  $a$  (fig. 2).

Odległość pomiędzy panewkami stawu barkowego i miednicowego ( $E$ ) można także obliczyć w prostszy sposób, podany przez W. Soergela. Uważał on, że przy spokojnym chodzie każde zwierzę czworonożne, stawiające kończyny na przemian, musi przechodzić przez taką fazę ruchu, że obie tylne i prawa przednia kończyna są oparte na ziemi, lewa zaś przednia kończyna znajduje się w ruchu ku przodowi na wysokości prawej. W takim położeniu, przedstawionym na fig. 3, przybliżona długość tułowia równa się odległości pomiędzy punktem leżącym w środku linii łączącej ślady tylnych kończyn ( $b$ ) oraz środkiem śladu przedniej kończyny, rzutowanym na linię kierunku ruchu ( $a$ ). Obliczona w ten sposób wartość  $E$  jest w rzeczywistości trochę mniejsza, niż faktyczna długość tułowia, gdyż nie uwzględnia ona miękkich części ciała.

Przy poruszaniu się płazów i gadów trzeba także brać pod uwagę możliwość wyginania tułowia, a z nim skręcenia pasów barkowego i mied-

<sup>3</sup> Patrz opis pomiarów wykonywanych na tropach: pomiar 1 i 5.



nicowego. Poruszanie się połączone z wyginaniem tułowia, tzw. czołganie się (termin R. Poplewskiego), jest możliwe tylko u zwierząt o budowie pierwotnej. Zwierzęta takie mają tułów stosunkowo długi, grzbieto-

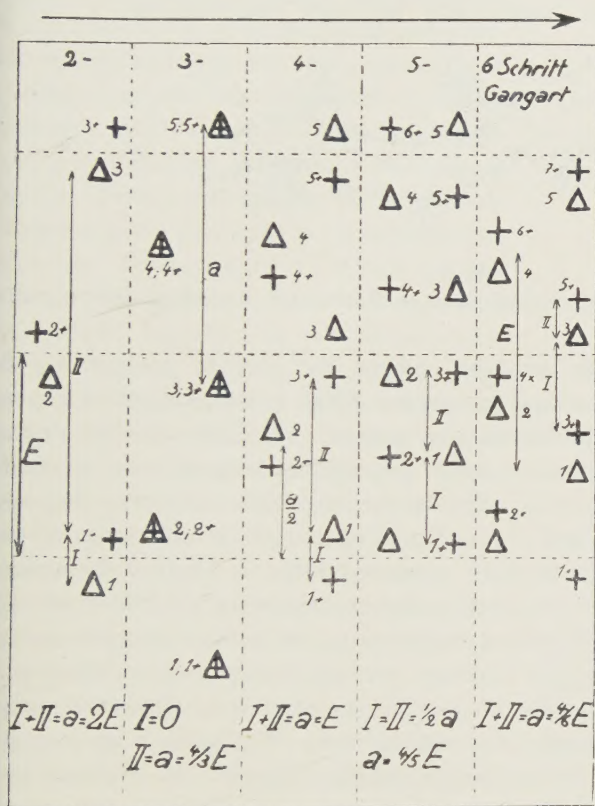


Fig. 2

Zestawienie różnych sposobów chodu, zależnych od długości kończyn i szybkości poruszania się (według H. Korna, 21)

$\Delta$  ślad kończyny przedniej;  $+$  ślad kończyny tylnej;  $\Delta$  (z krzyżykiem) — nakrywające się ślady kończyny tylnej i przedniej

$I$  pomiar I tropu;  $II$  pomiar II tropu;  $a$  jednostronna długość kroku;  $E$  odległość panewek stawowych pasa barkowego od panewek pasa miednicowego. Ślady prawe oznaczone są przez kolejne numery parzyste, lewe — przez kolejne numery nieparzyste. Numery z krzyżykiem odnoszą się do śladów kończyn tylnych

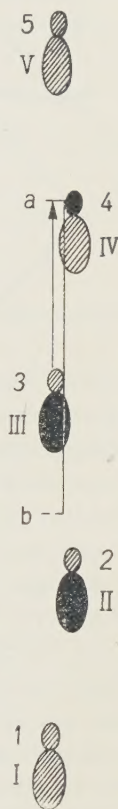


Fig. 3

Schemat obliczania odległości pomiędzy panewkami stawu barkowego i miednicowego sposobem W. Soergela (fide 7)

Ślady zaczerpnięte są śladami dwu tylnych kończyn i jednej przedniej w określonej fazie ruchu zwierzęcia idącego spokojnie. Odległość między panewkami stawu barkowego i stawu miednicowego równa jest odcinkowi  $a-b$

brzusznie spłaszczony, zawieszony pomiędzy szeroko rozstawionymi kończynami. Ramię i udo są tu ustawione na boki, prostopadłe do długiej osi ciała i poruszają się w płaszczyźnie poziomej a prostopadłej do przedramienia i podudzia, przy czym punktem skręcenia są łokieć i kolano (fig. 4). W pewnym momencie z każdej pary kończyn znajduje się w ruchu

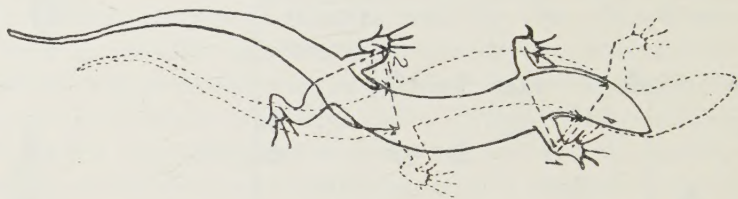


Fig. 4

Schemat poruszania się jaszczurki według Hessego (Tierbau u. Tierleben, 1935, fig. 195)

tylko jedna kończyna, druga zaś jest oparta, przy czym posuwanie się lewej przedniej kończyny następuje równocześnie z posuwaniem się prawej tylnej kończyny (typ chodzenia naprzemienny). Tułów bierze udział w poruszaniu się przez wyginanie, które pociąga za sobą przesunięcie się proksymalnych końców ramienia lub uda stojącej kończyny oraz pomaga posuwaniu się kończyny będącej w ruchu. Przez ciało przebiegają w ten sposób stojące fale, których punkty węzłowe leżą w okolicy barkowej i miednicowej. Głowa i ogon przeginają się w przeciwną niż tułów stronę. Ogón jest bardzo ważnym organem, wpływającym na sposób poruszania się takich zwierząt: im ogón jest krótszy, tym mniejsza jest szybkość poruszania się. Długi ogón pozwala zwierzęciu na stawianie dłuższych kroków wskutek silniejszego wyginania się tułowia. Wielkość wygięcia się tułowia zależna jest także od szybkości poruszania się. Im większa jest szybkość poruszania się, tym wychylenia tułowia na boki stają się mniejsze. Poruszające się w ten sposób zwierzęta osiągają większą szybkość ruchu nie tyle przez zwiększenie długości kroku, ile raczej przez szybsze stawianie nóg. Dla scharakteryzowania takiego sposobu poruszania się ważny jest kąt krokowy, mierzony pomiędzy trzema kolejnymi śladami tej samej pary kończyn. Najczęściej bliski on jest  $90^{\circ}$  i maleje wraz ze wzrostem szybkości poruszania się. Długość tułowia oblicza się tutaj inaczej. Punkty leżące w środku pomiędzy dwoma śladami tej samej pary kończyn (tylnych i przednich) są punktami wychyleń pasa barkowego i miednicowego. Pomiędzy tymi punktami leży linia przebiegająca przez środek tułowia, która odpowiada mniej więcej długości kręgosłupa w okolicy tułowiowej, odpowiednio wygiętego w zależności od wielkości kąta krokowego.

Do rekonstrukcji wyglądu zewnętrznego zwierzęcia potrzebna jest, oprócz długości tułowia, także jego wysokość, tj. przypuszczalne położenie



nie panewek stawowych, ponad poziomem podłoża. Dla zwierząt, kroczących na kończynach podsuniętych pod tułów, wielkości te można obliczyć z długości kroku i przypuszczalnego kąta rozstawienia kończyn w kroku. Kąt ten zwykle nie przekracza  $60^{\circ}$ , przy spokojnym chodzie wynosi od  $30^{\circ}$  do  $50^{\circ}$ . Długość kończyn musi tu być rzeczywiście większa, ponieważ są one mniej lub więcej ugięte. Taka metoda nie może być zastosowana do zwierząt o rozstawionych szeroko kończynach i wyginających przy poruszaniu się ciała. Górne i dolne odcinki kończyn są u nich ustawione pod kątem bliskim  $90^{\circ}$ , wobec tego szerokość rozstawienia śladów kończyn przednich czy tylnych będzie równa długości obu górnych odcinków w odpowiedniej parze kończyn oraz odległości pomiędzy obu panewkami stawu barkowego, czy też miednicowego. Na fig. 5 przedstawiony jest sposób obliczania długości odcinków, o które przesuwają się dolna część kończyny (przedramię lub podudzie) w czasie stawiania kroku. Z sumy tych dwu odcinków można z kolei obliczyć długość podudzia i przedramienia w podobny sposób, jak przy chodzie kroczącym. Kąt wychylenia kończyn waha się od  $30^{\circ}$  do  $50^{\circ}$ .

Wyniesienie panewek stawowych obliczone zostało tylko dla zwierząt o chodzie typowo kroczącym i dla zwierząt poruszających się na szeroko rozstawionych kończynach. Ponieważ jednak wśród zwierząt czworonożnych spotkać można wiele pośrednich typów poruszania się, obliczenia dotyczące wyniesienia panewek ponad podłożem mogą być tylko w mniejszym czy większym stopniu przybliżone.

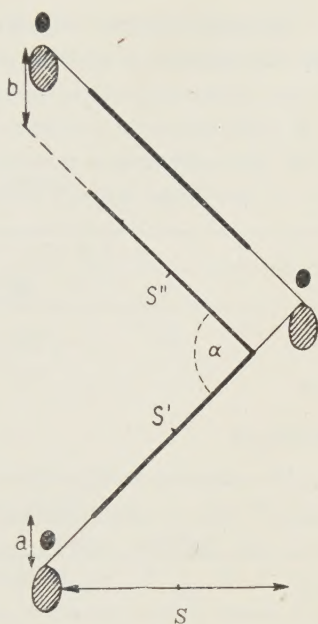


Fig. 5

Schemat przedstawiający sposób obliczania długości odcinków, o które przesuwają się dolna część kończyn (przedramię lub podudzie) w czasie stawiania kroku przez zwierzę, wyginające tułów przy poruszaniu się. Ślady tylnych kończyn są zakreskowane, ślady kończyn przednich zaczerknione. Linie łączące przednie krawędzie dwu sąsiednich śladów tylnych kończyn znaczą długość kroku  $S$  najmniejsza szerokość tropu;  $S'$  odcinek równy szerokości tropu, przeniesiony na linię łączącą przednie krawędzie dwu sąsiednich śladów tylnych kończyn; punkt środkowy odcinka  $S$  leży w punkcie środkowym tej linii (punkt obrotu pasa miednicowego zwierzęcia);  $S''$  odcinek równy szerokości tropu łączący się pod kątem z  $S'$  i równoległy do linii, łączącej przednie krawędzie śladów drugiej pary tylnych kończyn:  $a$  i  $b$  odcinki, o które przesuwają się dolna część kończyn w czasie stawiania kroku przez zwierzę wyginające tułów przy poruszaniu się.

Uzupełnieniem rekonstrukcji są wnioski o rozmieszczeniu masy ciała, obciążającej przednie i tylne kończyny. Obciążenie kończyn jest bowiem proporcjonalne do głębokości śladu i wielkości powierzchni śladu. Z tych danych, a nadto z kształtu śladu i ze sposobu poruszania się można wnioskować o położeniu środka ciężkości ciała zwierzęcia, z tego zaś — o wielkości głowy wraz z odcinkiem szyjnym i wielkości ogona.

## CZEŚĆ SZCZEGÓŁOWA

### *Ichniotherium* sp.

(pl. I, fig. 1)

#### *Opis tropu*

W zbiorze z Wambierzyc znajduje się duża płyta<sup>4</sup> o wymiarach 60 × 60 cm z jasnoszarego łupku z odlewem tropu, składającego się z dwu par śladów: lewej i prawej pary oraz z lewego śladu tylnej kończyny: 2, 2<sup>x</sup>, 3, 3<sup>x</sup>, 4<sup>x</sup>. Powierzchnia płyty nie jest gładka, widać na niej leżące obok siebie liczne płaskie guzki. Przypuszczalnie są to ślady kropli deszczu. Jeśli interpretacja ta jest słuszna, znaczy to, że trop powstał na obszarze wyniesionym ponad poziom wody. Brak śladów spękań spowodowanych wysychaniem wskazuje na to, że okres ten nie trwał długo, lub że klimat nie był zbyt suchy. Sam trop nie jest wyraźny; możliwe że został rozmyty przez deszcz.

Ślady kończyn tylnych składają się z owalnego odlewu opuszki proksymalnej części śródstopia. W pewnej odległości od niej ku przodowi zaznaczają się niewyraźne odlewy palców, zakończone stosunkowo dużymi, okrągławymi wypukłościami, silnie odcinającymi się od reszty śladu. Wypukłości te odpowiadają zagiętym końcom palców lub raczej pazurów.

Ślady przednich kończyn są nieco mniejsze i zaznaczają się w nich tylko palce z zagiętymi końcami, natomiast opuszki śródreżca są niewidoczne, ponieważ, jeśli istniały, zostały przykryte śladami kończyn tylnych.

W śladach zarówno przednich, jak i tylnych kończyn widoczne są po cztery palce. Czwarty, najbardziej zewnętrzny palec jest najdłuższy, ale nieznacznie tylko różni się wielkością od pozostałych. Nadto na prawym śladzie kończyny przedniej (3) widać niewyraźny czubek palca piętego. Palce są proste, krótkie i grube, rozstawione promienisto. Formuły członowej ustalić nie można.

<sup>4</sup> Płyta nie ma żadnego numeru, tak jak wszystkie inne okazy ze zbioru H. R. Goepperta; opatrzona jest tylko dużym napisem „Albendorf“.



Ślady kończyn tylnych są ustawione równolegle do linii kierunku ruchu, przy czym palec trzeci wskazuje ten kierunek. Kończyny przednie natomiast są zwrócone nieco do wnętrza.

Tabela 1  
Pomiary wykonane na śladach  
(w mm)

Długość śladu	K o ń c z y n a			Średnia
	2 <sup>x</sup>	3 <sup>x</sup>	4 <sup>x</sup>	
Ślady z Wambierzyc	82	85	86	84
<i>Korynichnium sphaerodactylum</i>	—	—	—	91
<i>Ichniotherium cottae</i>	—	—	—	105-140

Szerokość śladu*	K o ń c z y n a				Średnia
	2 <sup>x</sup>	3 <sup>x</sup>	4 <sup>x</sup>	3	
Ślady z Wambierzyc	74	86	82	78	81
<i>Korynichnium sphaerodactylum</i>	—	—	—	—	94
<i>Ichniotherium cottae</i>	—	—	—	—	120-160

Długość palców	P a l c e				
	I	II	III	IV	V
Ślady z Wambierzyc —					
kończyna 2 <sup>x</sup>	20	29	35	41	—
" 3 <sup>x</sup>	22	29	36	41	—
" 4 <sup>x</sup>	22	30	36	39	
Średnia długość palców	21	29	36	40	

\* Szerokość śladu kończyn tylnych, ze względu na brak odcisku piątego palca, była w rzeczywistości z pewnością większa. Średnią szerokość obliczono tylko dla śladów kończyn tylnych.

#### Porównanie tropu

Porównanie tego tropu z Wambierzyc z innymi tropami sprawia pewną trudność ze względu na jego zły stan zachowania. Przy porównaniu tym biorę pod uwagę następujące cechy: 1) charakterystyczne odciski zębów palców, 2) promieniste ustawienie palców, 3) kształt i wielkość palców, 4) występowanie wyraźnego odcisku opuszki śródstopia, 5) sposób stawiania przednich i tylnych kończyn w stosunku do linii kierunku ruchu, wreszcie 6) nakrywanie częściowe śladu przedniego przez tylny w jednej i tej samej parze kończyn.

Tabela 2  
Pomiary wykonane na tropie\*  
(w mm)

Długość kroku	M i e r z o n a			Średnia
	od 2 <sup>x</sup> do 3 <sup>x</sup>	od 3 <sup>x</sup> do 4 <sup>x</sup>	od 2 do 3	
Ślady z Wambierzyc	240	220	225	228
<i>Korynichnium sphaerodactylum</i>	—	—	—	260
<i>Ichniotherium cottae</i>	—	—	—	300

	Ślady z Wambierzyc	<i>Korynichnium</i> <i>sphaerodacty-</i> <i>lum</i>	<i>Ichniotherium</i> <i>cottae</i>
Jednostronna długość kroku	340	300-350	450
Szerokość tropu	150	180	200

\* Na tropie *Ichniotherium* sp. nie wykonano pomiarów I i II.

Cechy te wiążą najlepiej trop z Wambierzyc z tropami, włączonymi przez F. Lotzego (23) do rodziny Korynichnidae, zaliczanej do rzędu Cotylosauria. Do rodziny tej należą dwa rodzaje: *Korynichnium* (*K. sphaerodactylum* Pabst, najpospolitsze, opisane z Tambach w Turynгии, *K. sphaerodactylum* subsp. *minor*, *K. hardakeri* Nopcsa) oraz *Ichniotherium* (*Ich. cottae* Pohlig). Z rodziny tej najlepiej opracowane są tropy *Korynichnium*, które przypuszczalnie należały do kotylozaura, najbardziej zbliżonego do rodziny Diadectidae, znanej z permu zarówno Północnej Ameryki, jak i Europy. Szczątki szkieletów Diadectidae z permu Europy należą do dwu rodzajów: *Phanerosaurus* i *Stephanospondylus* (37). Oba te rodzaje budową swą nie odpowiadają jednak tropom rodziny Korynichnidae, pokrewnym tropom Diadectidae z permu Ameryki Północnej.

Porównując trop z Wambierzyc z *Korynichnium sphaerodactylum* zauważyłam następujące różnice: 1) ślady tropu z Wambierzyc są mniejsze, niż ślady *Korynichnium*; 2) czwarty palec w tym śladzie jest stosunkowo krótszy, niż palec ten u *Korynichnium*, 3) ślady są ustawione parami w ten sposób, że ślad przedniej kończyny jest częściowo przykryty przez ślad tylnej kończyny, u *Korynichnium* natomiast odległość pomiędzy przednią kończyną a tylną w parze śladów jest zwykle dość duża. Wskazuje to na inny sposób chodzenia obu tych zwierząt.



Z powodu tych różnic uważam, że trop ten nie może zostać zaliczony do rodzaju *Korynichnium*.

*Ichniotherium cottae* Pohlig znane jest przede wszystkim z czerwonego spągowca z Friedrichroda (Turyngia). Są to największe ślady gadów permskich, spotykane na terenie Europy. Pod względem budowy zgodne są one zupełnie ze śladami z Wambierzyc, są tylko od nich znacznie większe. Z tego też powodu zaliczam trop z Wambierzyc do rodzaju *Ichniotherium* sp. Zbyt skąpy materiał nie pozwala na oznaczenie dokładniejsze.

*Herpetichnium unguatum albendorfense* (Pabst)

(pl. I, fig. 2)

1908. *Ichnium pachydactylum albendorfense* Pabst; Pabst (29), tabl. XXIX, fig. 1

Opis tropu

Wyjątkowo dobrze zachowany pojedynczy trop z płyty nr 4, o wymiarach 24 × 16 cm. został nazwany przez W. Pabsta (29) *Ichnium pachydactylum unguatum albendorfense*. Fr. v. Nopcsa (25) w swej próbie uporządkowania nomenklatury tropów wprowadził dla tego typu tropów nazwę *Herpetichnium unguatum*.

Trop ten jest odciskiem lewej przedniej kończyny oraz śladów pazurów lewej tylnej kończyny. W zbiorze z Wambierzyc znajduje się jeszcze drugi trop *Herpetichnium unguatum* na płycie nr 6. Jest to źle zachowany pojedynczy odcisk prawej kończyny.

Trop nr 4 bardzo ostro zarysowuje się na powierzchni płyty stosunkowo gładkiej, ale nie jest całkowity. Ślad kończyny leżącej z przodu składa się z odcisków czterech palców i z odcisków pięciu pazurów. Brakuje zupełnie tylnej części dłoni. Ślad tylnej kończyny zaznaczony jest tylko w postaci odcisków pięciu pazurów. W. Pabst określił ten trop jako „krótkopalczasty z pazurami“. Rzeczywiście palce śladu przedniego są niedługie, szerokie, o zaokrąglonych łagodnie końcach. Leżą one równolegle do siebie, ściśle ze sobą zestawione. Palce nie są jednakowej wielkości. Najdłuższy i najszerszy był z pewnością palec IV; sąsiadujące z nim palce V i III są mniejsze i prawie równej wielkości; najmniejszy jest palec II. Brakuje odcisku palca I, zachował się tylko ślad jego pazura, którego położenie świadczy o tym, że był to palec najkrótszy.

Ślady pazurów, a raczej zadrępań przez nie zrobionych, są w tym tropie bardzo charakterystyczne. Leżą w pewnym odstępnie od końców palców i są przesunięte w palcach III, IV i V na zewnątrz. Długość tych zadrępań wynosi w przedniej kończynie od 16 do 28 mm, szerokość

ich — od 5 do 9 mm. Brzegi zadrapań biegają łukowato, równolegle, lub schodzą się skośnie, dno zaś ich ma szeroką, owalnie wygiętą powierzchnię. Głębokość śladów pazurów jest tylko nieznacznie większa, niż głębokość odcisków samych palców. W tylnej kończynie widać tylko ślady końców pazurów, które są o wiele krótsze i mają postać nieco wydłużonych powierzchni. Ślady te w tylnej swej części są wyraźnie silniej zagłębione.

Formuły członowej palców z tropu tego odczytać nie można.

Tabela 3  
Pomiary śladu kończyny przedniej  
(w mm)

Pomiar	P a l c e				
	I	II	III	IV	V
Długość palców	—	27	32,5	38	23
Szerokość palców	—	12,7	14,5	22	18
Długość zadrapań pazurami	16	17	17	28	22
Szerokość śladu pazurów	8	9	9	6	5

### *Powstanie tropu*

Trop jest niezwykle wyraźny, o ostro zaznaczonych konturach. Przypuszczalnie podłoże, na którym odcisnął się ślad, musiało być dostatecznie plastyczne, np. mokry ił. Mimo to, że ślad jest bardzo wyraźny, powstanie jego można by wytłumaczyć tym, że został on odcisnięty przez zwierzę pływające w tak płytkiej wodzie, że dotknęło ono dna palcami i pazurami przedniej kończyny, a tylko zaczepiało pazurami kończyny tylnej. Ślad opuszek śródrezcza nie zaznaczył się zupełnie. Przy poruszaniu się na łodzi takie ślady powstać by nie mogły. Niejednokowy stopień odcisnięcia kończyny przedniej i tylnej można wyjaśnić tym, że 1<sup>o</sup> dno mogło być nierówne (stok), albo 2<sup>o</sup> tylna kończyna była krótsza. Z całą pewnością rozstrzygnąć tego nie można.

### *Przynależność systematyczna tropu*

Ponieważ trop jest niekompletny, nie można dokładnie ustalić jego przynależności systematycznej. Musimy tu wziąć pod uwagę przede wszystkim następujące cechy tropu: 1) zwierzę to posiadało cztery koń-



czynny o pięciu krótkich i szerokich palcach, opatrzonych pazurami, 2) najdłuższy był palec IV; 3) pazury były stosunkowo długie, zagięte (ślady ich nie zaczynają się od czubka palca, lecz w pewnej odległości), tępe, znacznie jednak węższe, niż same palce (p. tabela pomiarów); 4) pazury palców III, IV i V były przypuszczalnie ustawione skośnie, przy dotykaniu zaś podłoża przesuwaly się w bok i na zewnątrz.

Wobec tego, że *Herpetichnium unguatum* miało pazury, trzeba wykluczyć możliwość, że jest to trop płaza. Ponieważ ssaki nie są znane z pokładów permskich, nie mogą więc być brane tu pod uwagę. Stąd też ze zwierząt poruszających się na czterech kończynach pozostają tylko gady. Z tej gromady zaś z permu znane są następujące rzędy: Cotylosauria, Pelycosauria, Therapsida, Protorosauria i Eosuchia. Protorosauria i Eosuchia można w rozważaniach pominąć ze względu na zupełnie odmienną budowę kończyn. W szczególności dotyczy to Eosuchia, które są dotychczas znane tylko z Ameryki.

Nopcsa (25) zalicza ślady *Herpetichnium unguatum* do tropów teromorfoidalnych, charakteryzujących się krótkimi palcami o formule członowej  $2 \cdot 3 \cdot 3 \cdot 3 \cdot 3$ . Zwraca on uwagę na to, że najbardziej charakterystyczne dla tych tropów jest skośne ustawienie pazurów w stosunku do palców. Spotyka się takie ustawienie pazurów również u żółwi, a więc u zwierząt poruszających się bardzo powoli i unoszących ciało z trudem ponad podłożem na szeroko rozstawionych kończynach. Dlatego też Nopcsa wyłącza możliwość, żeby to były zwierzęta drapieżne. Uważa, że *Herpetichnium unguatum* mogło być spokrewnione z Dicynodontia.

O. Abel (5) sprzeciwia się włączeniu tropu *Herpetichnium unguatum* z Wambierzyc do kręgu tropów teromorfoidalnych, ponieważ zwierzę dające te ślady miało długie, zagięte pazury i dość silny palec IV. Ślad ten jest słuszny z tego także względu, że tropy teromorfoidalne charakteryzują się m. in. formułą członową palców  $2 \cdot 3 \cdot 3 \cdot 3 \cdot 3$ . Formułę członową *Herpetichnium unguatum* nie udało się jeszcze ustalić, mimo to jednak sądzę, że ze względu na duże różnice w wielkości palców formuła  $2 \cdot 3 \cdot 3 \cdot 3 \cdot 3$  nie będzie dla tego tropu odpowiednia. Z tego wynika, że przy rozpatrywaniu stanowiska systematycznego *Herpetichnium* z Wambierzyc, Therapsida należy raczej pominąć.

*Herpetichnium* było przypuszczalnie zwierzęciem poruszającym się powoli, o stosunkowo szeroko rozstawionych kończynach, stąd też bliższe jest ono przedstawicielowi Cotylosauria, niż Pelycosauria. Dokładniejsze jednak określenie stanowiska systematycznego i opracowanie wyglądu zewnętrznego tego zwierzęcia wymagałoby większego i bardziej kompletnego materiału.

*Gampsodactylum albendorfense* (Pabst)

(pl. II, fig. 1)

1908. *Ichnium gampsodactylum albendorfense* Pabst; Pabst (29), tabl. XXX, fig. 1.*Opis tropu*

Tropy *Gampsodactylum albendorfense* należą do najliczniejszych w zbiorze z Wambierzyc. Znajdują się one na dziewiętnastu płytach nr 8, 9, 10, 12, 13, 14, 16, 17, 18, 19, 20, 21, 22, 23, 26, 27, 28, 29 i 54 według numeracji zbioru H. R. Goepperta. Tylko płyta nr 8 opisana została przez W. Pabsta w 1908 r. (29).

H. R. Goeppert tropy te nazwał *Saurichnites lacertoides* i umieścił tę nazwę na płycie, jednak nie podał nigdzie jej opisu ani rysunku. W. Pabst określił je jako *Ichnium gampsodactylum albendorfense* w odróżnieniu od tropów z Friedrichroda, wykazujących identyczne cechy charakterystyczne, ale znacznie większe wymiary, które nazwał *Ichnium gampsodactylum friedrichrodanum*. Wprowadzając do ichnologii podwójną nomenklaturę, używaną w systematyce, Fr. v. Nopcsa trop ten określił w roku 1923 jako *Gampsodactylum albendorfense*.

W. Pabst płytę nr 8 opisuje w sposób następujący:

„Jest to większy odłamek z lewą i prawą parą śladów *Ichnium gampsodactylum albendorfense*, należących do jednego całkowitego tropu. Ślady zachowane w płycie w postaci wypukłych odlewów mają wszystkie charakterystyczne cechy „tropów o zakrzywionych palcach“ (Krummzehfährte). Ślad tylnej kończyny jest pięciopalczasty; brak jest odcisków opuszek. Palec V jest odsunięty w bok i wygięty ku tyłowi. Palec IV jest najdłuższy. Pierwsze cztery palce są zagięte do środka i można na nich mniej lub więcej dokładnie rozpoznać pazury. Ślad przedniej kończyny w odlewie ma mniej palców; w odlewie zachował się tylko II, III i IV palec. Ślad kończyny tylnej tak całkowicie przykrywa ślad przedniej, że ślady jej palców wpadają w ślad opuszki palca nogi przedniej“ (l. c., str. [122] 436).

Oprócz opisu Pabst podaje pomiary długości palców, długości kroku i szerokości tropu.

Stan zachowania tropów *Gampsodactylum* jest bardzo różny: na jedenastu płytach znajdują się odciski tropów, na ośmiu zaś widać odlewy. Na ogół są to pojedyncze ślady, występujące w mniejszej lub większej liczbie, na płytach zaś nr 8 i 9 znajdują się szeregi śladów, należących do jednego zwierzęcia: na płycie nr 8 — odlew ze śladami 2, 2<sup>x</sup>, 3, 3<sup>x</sup>, na płycie zaś nr 9 — ze śladami 1, 1<sup>x</sup>, 2, 2<sup>x</sup>, 3<sup>x</sup>. Na niektórych płytach widać trop *Gampsodactylum* wraz z tropami innych zwierząt.

Jest to trop typu jaszczurkowatego (lacertoidalny, według Nopcsa'y) o stosunkowo długich i zagiętych ku środkowi śladach palców. Ślad tyl-



nej kończyny jest pięciopalczasty, o najdłuższym palcu IV; palec V jest silnie odsunięty w bok, leży w stosunku do palca I zwykle pod kątem  $180^{\circ}$ . Ślad przednich odnóży jest na ogół trójpalczasty (palce II, III, IV) i ustawiony bardziej do wnętrza, niż ślad kończyny tylnej. Palce I i V nie zostały odcisnięte. Pazury są ustawione w przedłużeniu palców, najczęściej jednak końce palców są zagięte do środka wraz z pazurami; w niektórych przypadkach, przypuszczalnie przy bardzo spokojnym chodzie, pazury są odcisnięte z boku, np. na płycie nr 54. Pazury nie są szczególnie długie w porównaniu z długością palców (długość ok. 5 mm); końce mają spiczasto zaostrome i zagięte. Formułę członową udało się odtworzyć tylko dla palców kończyny tylnej: 2·3·4·5·4. We wszystkich śladach zaznaczają się przede wszystkim palce, ewentualnie także zewnętrzna część śródręcza lub śródstopia, brakuje w nich natomiast odcisków tylnych części stopy i dłoni.

O rozłożeniu ciężaru na kończynach możemy wnioskować z głębokości śladów kończyn. U *Gampsodactylum albendorfense* najgłębiej odcisnięte są palce, przede wszystkim IV lub III, natomiast palce I i V słabiej; bardzo często nie zaznaczają się one zupełnie, albo tylko w postaci odcisków czubków palców. W tyle brak zupełnie zarysów stopy czy dłoni, w wielu przypadkach brak nawet zarysów połączenia między palcami. Głębokość odcisków przednich i tylnych kończyn jest prawie jednakowa.

Ślady w tropie ustawione są parami; ślad kończyny przedniej leży z przodu i jest częściowo przykryty przez ślad kończyny tylnej. Ślady ustawione są stosunkowo szeroko, przy czym ślady tylnych kończyn leżą równolegle do linii kierunku ruchu, ślady zaś kończyn przednich skierowane są lekko ku środkowi.

Tabela 4  
Pomiary wykonane na śladach  
(w mm)

Długość śladów kończyny tylnej (płyta nr 8) . . . . .				48	
Szerokość śladu kończyny tylnej (płyta nr 8) . . . . .				42	
Długość palców (płyta nr 8)                      palce:	I	II	III	IV	V
kończyna przednia . . . . .	—	11	17	24	
„ tylna . . . . .	11	17	22	33	20
Kąt ustawienia palców kończyny tylnej:					
między palcem V i I . . . . .				180° (czasem mniejszy)	
„ „ V i IV. . . . .				65	110'

Tabela 5  
Pomiary wykonane na tropach  
(w mm)

P o m i a r	Płyta nr 8	Płyta nr 9
Długość kroku	129	137
Jednostronna długość kroku	220	244
Szerokość tropu	48	34

*Sposób poruszania się i wygląd zewnętrzny Gampsodactylum*

Biorąc pod uwagę kształt śladów i szerokie ich ustawienie w tropie należy przypuszczać, że u *Gampsodactylum* kończyny były jeszcze ustawione bocznie, tułów zaś w czasie ruchu wyginał się ułatwiając posuwanie się ku przodowi. Wydłużenie silne palca IV, zagięcie czubków palców do wnętrza i większa głębokość odcisków palca IV (czasem III) świadczą o tym, że kończyny opierały się bardziej na zewnętrznych brzegach stopy czy dłoni; piąty palec, daleko odsunięty na bok, służył tylko jako asekuracja z boku kończyny. Przy takim stawianiu kończyn łokcie i kolana były skierowane na zewnątrz, ramiona zaś i uda — pod kątem prostym do linii środkowej ciała.

Płyta nr 8 przedstawia trop *Gampsodactylum* poruszającego się dość wolno, za czym przemawiają stosunkowo wyraźnie odcisnięte ślady kończyn tylnych, na których, oprócz palców, widać także odcisk części dystalnej śródstopia. Wielkości pomiarów (w mm) są tu następujące:

długość kroku . . . . .	129
jednostronna długość kroku . . . . .	220
szerokość tropu . . . . .	48
kąt krokowy . . . . .	107°

Ślad kończyny tylnej w większości nakrywa ślad kończyny przedniej.

Płyta nr 9 przedstawia trop zwierzęcia mniej więcej tej samej wielkości, które jednak poruszało się znacznie szybciej. Świadczą o tym następujące fakty:

- 1) odciski śladów są mniej wyraźne i zaznaczają się w nich tylko palce, przy czym palce I i V widać bardzo słabo, albo ich brak;
- 2) nie jest zupełnie widoczny odcisk dystalnej części śródstopia



## 3) wielkości pomiarów w mm:

długość kroku . . . . .	137
jednostronna długość kroku . . . . .	244
szerokość tropu . . . . .	34,5
kąt krokowy . . . . .	112°

Na płycie nr 8, zawierającej trop *Gampsodactylum* poruszającego się wolno, odległość pomiędzy czubkami palców kończyny przedniej i tylnej w jednej parze kończyn (pomiar I) jest mniejsza, aniżeli u zwierzęcia idącego szybciej (płyta nr 9). U zwierząt kroczących odległość ta zwykle maleje wraz ze wzrostem szybkości.

Na podstawie tych danych można sobie przedstawić zmiany w mechanice ruchu przy zwiększeniu szybkości poruszania się. Przy zmianie szybkości ruchu odgrywały rolę następujące czynniki: 1) wielkość kroku, 2) stopień wyginania się tułowia (fig. 4).

Szerokość tropu u zwierzęcia idącego szybko jest znacznie mniejsza wskutek podsunęcia kończyn bliżej tułowia, co pociąga za sobą pewne wyprostowanie kończyn i zwiększenie ich długości. Przy takim ustawieniu kończyn, a więc ich wydłużeniu, zwierzę może stawiać dłuższe kroki. Równocześnie wyginanie tułowia ulega znacznemu zmniejszeniu, w związku z czym skręcenie pasów barkowego i miednicowego w kolejno następujących po sobie krokach maleje. Wskutek tego większa długość kroku, uzyskana przez wyprostowanie kończyn, ulega w pewnym stopniu zmniejszeniu. Wyprostowanie tułowia pociąga za sobą dalsze zmiany; odległość mianowicie pomiędzy panewkami stawów barkowego i miednicowego, mierzona w linii prostej, zwiększa się, a więc liczba kroków postawionych na tej samej długości musi być odpowiednio większa. Z tego wynika, że odległość między czubkami palców w śladach kończyny przedniej i tylnej w jednej parze śladów u *Gampsodactylum* jest przy chodzie szybszym większa, niż przy powolnym.

Wielkość kąta krokowego u tego zwierzęcia była dość duża, gdyż wynosiła ok. 110°. *Gampsodactylum* poruszając się nie stawiało na ziemi całej stopy czy dłoni; było to zwierzę raczej „półstopochodne“. W przedniej kończynie stale są odcisnięte tylko trzy palce, a nawet dwa (przypuszczalnie przy chodzie szybszym). W tylnych kończynach dotyka zwykle ziemi pięć palców, przy ruchu szybszym — cztery lub trzy. Znaczy to, że palce boczne w czasie ruchu szybkiego dotykały podłoża bardzo lekko, albo nie dotykały wcale.

O wyglądzie zewnętrznym tego zwierzęcia możemy wnioskować z następujących danych: 1) z kształtu śladów pojedynczej kończyny, 2) z ustawienia śladów względem siebie w tropie, tzn. ze sposobu chodu, 3) z wielkości pomiarów dokonanych na tropach.

Długość tułowia *Gampsodactylum* mogła wynosić ok. 20 cm. Tułów, mimo poruszania się na rozstawionych kończynach, był całkowicie uniesiony ponad ziemię, nie widać bowiem na płycie żadnych śladów dotykania podłoża tułowiem czy ogonem. Kończyny przednie były przypuszczalnie trochę krótsze niż tylne, ponieważ ślady ich są mniejszych rozmiarów.

Odciski przedniej i tylnej pary kończyn są równej głębokości. Świadczy to o tym, że ciśnienie na powierzchni śladów musiało być takie samo. Stąd można słusznie sądzić, że obciążenie przednich i tylnych kończyn było proporcjonalne do wielkości ich śladów. Powierzchni śladów przednich obliczyć nie można, gdyż są częściowo przykryte przez tylne, jednak, jak już poprzednio wspomniałam, są one trochę mniejsze. Stąd można przypuszczać, że przednia część ciała była odpowiednio lżejsza niż tylna. Na obciążenie przednich nóg składał się ciężar przedniej części tułowia i głowy wraz z szyją. Tylne kończyny obciążał odcinek tylny tułowia i ogon. Ogon nie mógł być bardzo długi, brak bowiem zupełnie śladów ciągnięcia go po ziemi. Jeśli był on odpowiednio umięśniony, to długość jego mogła być najwyżej równa długości tułowia, ale jej nie przekraczała, tj. wynosiła najwyżej ok. 20 cm.

*Gampsodactylum* było zwierzęciem stosunkowo lekko zbudowanym i smukłym. Można o tym sądzić na podstawie wyglądu śladów. Przednia część jego ciała mniej obciążała kończyny w porównaniu z tylną, stąd też napewno głowa jego musiała być niewielka. Bardzo możliwe, że osadzona była na dość ruchliwej, niedługiej szyi. Długość głowy i szyi mogła wynosić przypuszczalnie ok. 10 cm.

#### *Ustalenie przynależności systematycznej*

*Gampsodactylum* było czworonożnym zwierzęciem lądowym, żyjącym w dolnym permie. Dlatego też przy rozważaniu stanowiska systematycznego powinno się przede wszystkim brać pod uwagę grupy znane z tego okresu, spomiędzy więc płazów — Labyrinthodontia, spomiędzy gadów — Cotylosauria, Therapsida, Eosuchia, Protorosauria, Pelycosauria.

*Gampsodactylum* charakteryzowało się następującymi cechami: 1) poruszało się ono stawiając kończyny na przemian (chód naprzemienny) i wyginając tułów; 2) w tylnych jego kończynach znajdowało się pięć długich i cienkich palców, przy czym palec czwarty był najdłuższy, piąty silnie odsunięty w bok, w przedniej zaś kończynie przy chodzie zaznaczają się tylko trzy palce; 3) przy poruszaniu się ciężar ciała opierał się na dystalnej części śródręcza czy śródstopia, oraz na palcach (chociaż półstopochodny); 4) formuła członowa palców stopy:  $2 \cdot 3 \cdot 4 \cdot 5 \cdot 4$ ; 5) pal-



ce I—IV zakończone były małymi pazurami; 6) zwierzę to stawiało stopy równolegle do kierunku ruchu, dłoń zaś bardziej do środka; 7) przypuszczalna całkowita długość ciała (łącznie z wyprostowanym ogonem) nie przekraczała 0,5 m.

Aby móc ustalić stanowisko systematyczne *Gampsodactylum*, rozpatrzmy pod tym kątem widzenia kolejno wszystkie poprzednio wymienione grupy. Spośród tych grup od razu można odrzucić wszelkie płazy, ponieważ *Gampsodactylum* miało palce opatrzone pazurami. Tego rodzaju utwory rogowe u płazów współczesnych są rzadkością, u labiryntodontów zaś nie stwierdzono dotychczas występowania pazurów. Ponieważ *Gampsodactylum* miało palce o formule członowej palców  $2 \cdot 3 \cdot 4 \cdot 5 \cdot 4$ , nie należy więc do gadów z rzędu Therapsida. Eosuchia permskie spotykane są w piętrach górnego permu i ani jeden przedstawiciel tej grupy nie został znaleziony na terenie Europy. Stąd też jest bardzo mało prawdopodobne, aby wśród przodków podgromady Lepidosauria można było znaleźć zwierzęta, które by pozostawiły liczne ślady, odpowiadające rodzajowi *Gampsodactylum*. Cotylosauria można pominąć przy rozpatrywaniu stanowiska systematycznego *Gampsodactylum* dlatego, że dłonie i stopy tych gadów mają zwykle krótkie i grube palce, umieszczone promienisto, a więc zupełnie inne, niż u *Gampsodactylum*.

Jaszczurkowaty typ budowy kończyn znany jest tylko u gadów z grup Protorosauria i Pelycosauria. Obie te grupy mają swych przedstawicieli pomiędzy gadami znanymi z dolnego permu Europy. Fr. v. Nopcsa (25), uważa, że tropy *Gampsodactylum albandorfense* są prawdopodobnie tropami pelykozaurów, chociażby ze względu na to, że Protorosauria mają zwykle nieco krótsze palce, poglądu tego jednak szerzej nie uzasadnia. Cecha ta oraz inne, wymienione przeze mnie poprzednio przy omawianiu wyglądu *Gampsodactylum*, zdają się przemawiać za słusznością poglądu Nopcsa'y. Według zestawienia, podanego przez Huenego (19), z Europy znanych jest dziesięć gatunków różnych form pelykozaurów. Z tych pomijam tu gatunki triasowe, a także formy bardzo duże, jak np. *Naosaurus credneri*.

W pokładach dolnego permu Francji w Autun znaleziono szczątki małego smukłego pelykozaura z wydłużoną czaszką *Haptodus baylei* (Gaudry), którego Huene zalicza do rodziny Poliosauridae (według A. S. Romera — do rodziny Sphenacodontidae). Do rodziny tej zalicza on także gatunek *Datheosaurus macrurus* Schroeder (36), który E. Dathe znalazł koło Nowej Rudy na Dolnym Śląsku, a więc niedaleko Wambierzyc. *Datheosaurus* jest jedynym szkieletem gada permskiego, znalezionym dotychczas na terenie Dolnego Śląska. Stan zachowania tego okazu nie jest dobry (czaszka źle zachowana, brak palców), tak że ustalenie przynależności systematycznej tego zwierzęcia sprawiło dużo trudności. E. Frass

początkowo porównywał je z *Palaeohatteria*; H. Schroeder stwierdza podobieństwo jego szkieletu do *Kadaliosaurus* i *Protorosaurus* (rząd Protosauria). Zdaniem Huenego, gatunek ten należałoby włączyć do rzędu Pelycosauria.

Ze względu na odbijającą się w badanych śladach smukłą budowę całego ciała, ustawienie i kształt kończyn, sądzę, że tropy określone jako ślady *Gampsodactylum albendorfense* pozostawiły pelykozaury, podobne do *Haptodus baylei* i *Datheosaurus*.

### *Gampsodactylum albendorfense minor* (Pabst)

(pl. III, fig. 1)

1908. *Ichnium gampsodactylum albendorfense minor* Pabst; Pabst (29), tabl. XXX fig. 2.

#### *Opis tropu*

Materiał, który posłużył W. Pabstowi do opisu tego tropu, jest skąpy. Składa się zaledwie z dwu płyt: nr 30 z zachowanym odlewem tropu (rozmiar płyty 18 × 16 cm) i nr 37 z widocznymi odciskami śladów (rozmiar płyty 20 × 38 cm).

Na płycie nr 30 znajduje się, zdaniem Pabsta, trop typowy dla tego podgatunku. Goepfert tropy te określił jako *Saurichnites divariatus*. Pabst zaliczył je do *Ichnium gampsodactylum albendorfense minor*. Zgodnie z nomenklaturą, wprowadzoną przez Nopcsa'ę, trop ten obecnie określa się jako *Gampsodactylum albendorfense minor* (Pabst).

W opisie tropu opieram się przede wszystkim na płycie nr 30 Pabsta, ze względu na jej dobry stan zachowania. Widać na niej ślady 1, 2, 2<sup>x</sup>, 3, 3<sup>x</sup>, 4, 4<sup>x</sup>.

W. Pabst podaje następujący opis tej płyty:

„Okaz z tropem ma odlew siedmiu śladów, które tworzą jeden kroczący ku górze trop, złożony z sześciu pojedynczych śladów. Ślady te łączą się w dwie pary lewych i jedną parę prawych jednostronnych śladów, gdy tymczasem ślad siódmy występujący na dolnym brzegu okazu, jest śladem kończyny przedniej, należącym do dalszej, prawej pary śladów, zachowanej tylko w tej postaci. Ślady mają odciski bardzo długich zagiętych do środka palców i jeden tylko, i to słabo rozwinięty, ślad opuszki kończyny tylnej. Palce są najczęściej ostro zakończone, tak że ich uzbrojenie w pazury jest dość prawdopodobne, choć z zupełną pewnością nie stwierdzone. Niektóre palce mają końce nieco zgrubiałe. Odlewy śladów kończyn przednich mają mniej palców, niż ślady kończyn tylnych, gdzie można stwierdzić wszędzie cztery palce obok wyraźnie odsuniętego w bok palca piątego. ...Nigdzie nie stwierdzono śladu palca piątego w odlewie śladu kończyny przedniej. W ten sposób trop na tym okazy można nazwać tropem z zakrzywionymi palcami“ (29, str. [132] 446).



Oprócz opisu, Pabst podaje pomiary długości palców, długości kroku, jednostronnej długości kroku i szerokości tropu (tabela 6 i 7).

Tabela 6  
Pomiary wykonane na śladach\*  
(w mm)

Długość śladu kończyny tylnej . . . . .			28		
Szerokość śladu kończyny tylnej . . . . .			20		
Długość palców:					
palce:	I	II	III	IV	V
kończyny przedniej . . . . .	4	7	10	15	—
.. tylnej . . . . .	7	8,5	12	18	6
Kąt ustawienia palców I i V . . . . .	ok. 150°				

Tabela 7  
Pomiary wykonane na tropie  
(w mm)

Długość kroku . . . . .	69
Jednostronna długość kroku . . . . .	86
Szerokość tropu . . . . .	24

\* Pomiary wykonane zostały tylko na płycie nr 30.

Podany opis Pabsta uzupełnić można w sposób następujący:

Ślady *Gampsodactylum albendorfense minor* są typu jaszczurkowego, o długich i zagiętych ku środkowi palcach. Ślad tylnej kończyny jest pięciopalczasty, o najdłuższym palcu IV; palec V jest odsunięty silnie w bok (o ok. 150°). Ślad przedniej kończyny ma widoczne cztery palce. Możliwe jest, że w tropie tym w przedniej kończynie występował piąty palec, ale się nie odciskał. Ku tyłowi, za palcami tylnej kończyny, zaznacza się opuszka śródstopia w postaci poprzecznie owalnego odcisku.

Śladów pazurów nie widać wprawdzie wyraźnie, lecz zagięte końce palców są zastrzone i niektóre lekko zgrubiałe. Dlatego też Pabst uważał, że występowanie pazurów jest możliwe.

Formuły członowej palców nie można ustalić, ale ze względu na duże podobieństwo kształtu śladu do opisanego poprzednio *Gampsodactylum albendorfense* można przyjąć formułę, która przyjęta była dla tamtego tropu, a więc: 2·3·4·5·4.

Ślady w tropie są ustawione parami w ten sposób, że ślad dłoni jest przykryty częściowo przez palce stopy. Ślady dłoni leżą bardziej do wnętrza, palce ich są skierowane ku środkowi. Ślady stopy są położone szezej, palce zaś ich kierują się lekko na zewnątrz. Trop *Gampsodactylum*

*albendorfense minor* charakteryzuje się stosunkowo dużą szerokością w porównaniu do długości kroku. W śladach najmocniej odciskają się końce palców, na niektórych widać wyraźnie boczne i tylne brzegi stopy. Głębokość śladów obu kończyn jest jednakowa.

#### *Sposób poruszania się i wygląd zewnętrzny*

*Gampsodactylum albendorfense minor* poruszało się stawiając kończyny na przemian, półstopochodnie, na palcach i śródreżcu czy śródstopiu. Z uwagi na szerokie rozstawienie śladów napewno przy poruszaniu się musiało następować także wyginanie tułowia. Kąt krokowy wynosił ok. 80°. Na płycie nr 30 widać trop zwierzęcia idącego wolno i spokojnie, gdyż całe stopy zarysowane są dość dokładnie, kończyny są rozstawione szeroko, krok zaś stosunkowo krótki.

*Gampsodactylum albendorfense minor* różni się od poprzednio opisanego tropu przede wszystkim wielkością. Przypuszczalna długość tułowia tego zwierzęcia wynosiła ok. 9 cm, było to więc zwierzę o wiele mniejsze, niż *G. albendorfense* Pabst. Tułów i ogon musiały być w czasie poruszania się całkowicie uniesione ponad ziemią, ponieważ brak zupełnie pozostawionych przez nie śladów. Z tego należy wnosić, że ogon nie był długi (nie przekraczał długości tułowia). Ze względu na jednakową głębokość odcisków przednich i tylnych odnóży, o obciążeniu kończyn można sądzić tylko z powierzchni tych odcisków. Powierzchni tej jednak dokładnie nie da się określić dlatego, że ślad przedniej kończyny w każdej parze jest przykryty częściowo przez ślad kończyny tylnej. Ponieważ palce dłoni są wyraźnie krótsze i brak jest śladu palca V, dłoń musiała być mniejsza niż stopa, ciężar zatem przedniej części ciała był mniejszy niż tylnej. Głowa *G. albendorfense minor* była mała, na niedługiej szyi; głowa wraz z szyją nie mogły być dłuższe niż połowa długości tułowia. Długość całkowita ciała, od przodu głowy do końca ogona, wynosiła przypuszczalnie nie więcej niż 20 cm.

Stanowisko systematyczne *Gampsodactylum albendorfense minor*, z powodu wielkiego podobieństwa tego tropu do poprzednio opisanego *G. albendorfense*, było przypuszczalnie takie samo. Zwierzę to było zapewne formą znacznie rzadszą. Ważniejsze cechy, różniące *Gampsodactylum albendorfense minor* od typowego *G. albendorfense*, są następujące: 1) rozmiary tropów tego zwierzęcia są znacznie mniejsze; 2) ustawienie śladów kończyn w tropie jest inne: kończyny przednie są silniej skierowane ku środkowi, niż u formy typowej, natomiast ślady kończyny tylnej są skierowane lekko na zewnątrz; 3) w przednich kończynach są odcisnięte cztery palce, zaznaczają się przy tym opuszki śródstopia i śródreżca; 4) odchylenie palca V w kończynie tylnej jest mniejsze (150°).



*Gampsodactylum albendorfense gracilis* (Pabst)

(pl. IV, fig. 1)

1908. *Ichnium gampsodactylum albendorfense gracilis* Pabst; Pabst (29).*Opis tropu*

W zbiorze z Wambierzyc znajduje się 6 okazów z drobnymi, licznymi śladami, pochodzącymi najprawdopodobniej od wielu zwierząt (nry 31. 32. 33. 34. 35. 36). W. Pabst (29) opisuje płytę z podobnymi tropami, pochodzącą z Wambierzyc, która się znajduje w zbiorach w Gotha; trop ten nazywa on *Gampsodactylum albendorfense gracilis*. Mimo to, że śladów na każdej płycie jest dużo, nie można w żadnym przypadku prześledzić ciągłego tropu. Ślady są typu jaszczurkowatego, o wydłużonym palcu IV, palcu zaś V odchylonym na bok, nie tak jednakowoż silnie, jak u *Gampsodactylum albendorfense*. Rozmiary tych śladów są również znacznie mniejsze, niż rozmiary śladów *G. albendorfense*. Końce palców są zagięte ku środkowi, zakończone długimi, prostymi pazurami. Pazury widać na odcisku tylko na płycie nr 33, gdzie ślady przypuszczalnie powstały na miękkim podłożu i są stosunkowo dobrze zachowane. Stopa tego zwierzęcia miała 5 palców, w dłoni widać zwykle tylko 3 lub 4. Ślady są ustawione parami w ten sposób, że tylna kończyna przykrywa częściowo przednią (por. tab. 8).

*Gampsodactylum albendorfense gracilis* było gadem małym (Pelycosauria?), ruchliwym, żyjącym gromadnie; przypuszczalnie przebywało ono chętnie w środowisku wilgotnym, np. na brzegach zbiorników wodnych. Gad ten występował obok *G. albendorfense*, ponieważ tropy ich widać razem na płytach nr 32 i 33. Nie jest wyłączone, że były to formy młodociane *G. albendorfense*, lecz dane, jakimi rozporządzam, nie są dostateczne, aby to stwierdzić z pewnością.

*Ichnium pachydactylum minus albendorfense* Pabst

(pl. IV, fig. 2)

1908. *Ichnium pachydactylum minus albendorfense* Pabst; Pabst (29), tabl. XXIV, fig. 2.*Opis tropu*

Trop ten jest zachowany w postaci odlewu na jednej tylko płycie ciemnoszarego łupku o stosunkowo gładkiej powierzchni. Płyta jest wielkości 19 × 11 cm. Trop składa się z pięciu par śladów: 1, 1<sup>x</sup>, 2, 2<sup>x</sup>, 3, 3<sup>x</sup>, 4, 4<sup>x</sup>, 5, 5<sup>x</sup>. Ślady są bardzo niewyraźne. Trop przebiega wzdłuż płyty bliżej jej lewego brzegu. Ślady ustawione są parami, bardzo blisko siebie.

Tabela 8  
Pomiary wykonane na śladach  
(w mm)

Pomiary	P ł y t y					Średnia
	nr 31	nr 32	nr 33	nr 34	nr 35	
Długość śladu stopy	14	15	18,5	17	17,7	16,4
Szerokość „ „	14	11	14	14	13,5	13,3
Długość palców kończyny przedniej:						
palce						
I	4	—	—	—	—	—
II	4	—	4	4	—	—
III	5	—	—	5	—	—
IV	8	—	—	9	—	—
Długość palców kończyny tylnej:						
palce						
I	5,6	3	4	3	3,5	3,8
II	6,2	4,3	8,3	5,5	5,0	5,9
III	7	7,5	9,3	6	7,7	7,5
IV	11,5	10,8	15	10,7	13,5	12,3
V	7,4	4,4	6,5	5,6	7	6,1

Ślady leżące ku przodowi w parze mają pięć palców, ślady tylne mają dwa (lub trzy?) widoczne palce. Palce są krótkie, ustawione półkolisto. Zaznaczają się w nich przede wszystkim guzkowate odlewy końców palców, które musiały być zagięte ku dołowi. Nie widać nigdzie zarysu tylnej części stopy czy dłoni. Ślady przednie leżą bardziej ku środkowi, tylne — bardziej na zewnątrz.

Trop *Ichnium pachydactylum minus albendorfense* jest bardzo niewyraźny, dlatego też dokładna jego analiza jest trudna i niepełna. Ustawienie śladów wskazuje na chód naprzemienny. Najprawdopodobniej stawianiu kończyn towarzyszyło wyginanie tułowia, ponieważ ślady dłoni i stopy są skierowane lekko do wewnątrz. Kąt krokowy tego zwierzęcia jest dość duży — ok. 100°. Przypuszczalna długość tułowia wynosiła ok. 8 cm. U czworonogów pierwotnych nieznane są przypadki, aby tylne kończyny miały mniejszą niż kończyny przednie liczbę palców, stąd też przypuszczam, że kończyny obu par były pięciopalczaste, a tylko nie zawsze są zaznaczone ślady wszystkich palców. Jest to bardzo prawdopodobne, ponieważ trop jest niewyraźny. Kończyna tylna musiała być słabiej stawiana niż przednia, dlatego też widać na jej śladach mniejszą liczbę palców. Wskazywałoby to na mniejsze obciążenie tylnej części ciała tego zwierzęcia.

Ponieważ ślad przedniej kończyny jest pięciopalczasty, więc przypuszczalnie mamy do czynienia z tropami gada. Palce *Ichnium pachydactylum minus albendorfense* są bardzo krótkie, dlatego więc sędzę, że może to być przedstawiciel Therapsida.

Tabela 9  
Pomiary wykonane na śladach  
(w mm)

Szerokość śladu kończyny przedniej	13,5
Pomiary wykonane na tropach (w mm)	
Długość kroku: kończyn przednich	47
„ tylnych	57
Jednostronna długość kroku	72
Pomiar I	15
Pomiar II	56
Szerokość tropu	21

#### UWAGI KOŃCOWE

Tropy gadów z Wambierzyc stanowią pewne uzupełnienie skąpych dotychczas wiadomości o faunie gadów permских, żyjących na terenie Europy. Tropy te były odcisnięte przez zwierzęta, należące do zespołu związanego z pewnym określonym środowiskiem. Ślady opisane świadczą o tym, że zwierzęta te nie miały specjalnych przystosowań do życia w wodzie; były to typowe czworonogi lądowe, żyjące w pobliżu dużych zbiorników wodnych o brzegach mulistych. Świadczy o tym charakter petrograficzny płyt, zbudowanych z łupków ilastych. Na wilgotność podłoża wskazuje brak spękań wywołanych wysychaniem. Na brzeg zbiornika, w miejsca, na których powstały ich tropy kopalne, zwierzęta te zachodziły najprawdopodobniej w poszukiwaniu pokarmu. Klimat w tym czasie był zapewne ciepły i suchy, ale nie pustynny; świadczy o tym występowanie szczątków takich roślin, jak *Walchia*.

Najpospolitsze w tym zespole były szybkie i zwinne Pelycosauria typu *Gampsodactylum*, których tropy występują w stosunkowo dużej liczbie. O wiele rzadsze są takie formy, jak *Ichniotherium*, *Ichnium* i *Herpetichnium*. Zgadza się to z ogólną charakterystyką tropów permских, którą podaje Fr. v. Nopcsa (25):

„Duża liczba tropów permских odnosi się do zwinnych stworzeń podobnych do jaszczurek, które pochodzą częściowo od Rhizosauria, od Pelycosauria, lub też od Parapsidia. Obok nich spotykamy formy podobne do Cotylosauria i Theromorpha“ (l. c., str. 148).



Wyniki uzyskane w tej pracy można streścić jak następuje:

1<sup>o</sup> Opisano nieznaną dotychczas z Dolnego Śląska trop *Ichniotherium*, różniący się od najczęściej spotykanego *Ich. cottae* Pohlig znacznie mniejszymi rozmiarami.

2<sup>o</sup> Dzięki zastosowaniu bardziej nowoczesnych metod uzupełniono opisy tropów, podane przez W. Pabsta. Najbardziej wyczerpująco opracowano *Gampsodactylum albendorfense*. Wnioski uzyskane z opracowania tego tropu są następujące: *Gampsodactylum albendorfense* było zwierzęciem, poruszającym się na szeroko rozstawionych kończynach, przy czym silnie wyginało tułów; sylwetka jego przypominała jaszczurkę. Było to zwierzę smukłe, długości ok. 50 cm, z małą głową i niezbyt długą szyją; smukły tułów zakończony był stosunkowo krótkim ogonem. Zwierzę to należało do rzędu Pelycosauria i było zbliżone do takich form, jak *Haptodus* czy *Datheosaurus*, którego szczątki kostne zostały znalezione niedaleko Wambierzyc. Tropy *Gampsodactylum albendorfense minor* i *Gampsodactylum albendorfense gracilis* uznane zostały za ślady pelykozaurów.

3<sup>o</sup> *Ichnium pachydactylum* było małym gadem pierwotnej budowy i należało przypuszczalnie do rzędu Therapsida.

Zakład Paleozoologii  
Uniwersytetu Wrocławskiego  
Wrocław, październik 1954 r.

#### LITERATURA CYTOWANA

1. ABEL D. Paläobiologie der Wirbeltiere. — Stuttgart 1912.
2. — Die Stämme der Wirbeltiere. — Berlin, Leipzig 1919.
3. — Lebensbilder aus der Tierwelt der Vorzeit. — Jena 1922.
4. — Amerikafahrt. — Jena 1926.
5. — Eine Reptilienfährte aus dem oberen Perm. — Palaeobiol., vol. II. Wien 1929.
6. — Fährtenstudien I. Über Schwimmfährten von Fischen und Schildkröten aus dem lithographischen Schiefer Bayerns. — Ibid., vol. III. Wien, Leipzig 1930.
7. — Vorzeitliche Lebensspuren. — Jena 1935.
8. BAER F. Kann man aus den Fährten eines Tieres auf seine Gestalt schliessen? — Natur u. Museum. Frankfurt a/M. 1926.
9. BAIRD D. Revision of the Pennsylvanian and Permian footprints *Limnopus*, *Allopus* and *Baropus*. — Journ. Paleont., vol. 26, No. 5. 1952.
10. BOCK W. Triassic reptilian tracks and trends of locomotive evolution. — Ibid., vol. 26, No. 3. 1952.

11. BÖKER H. Vergleichende biologische Anatomie der Wirbeltiere, Bd. I. — Jena 1935.
12. BRANDT T. Fährten und Spurenkunde. — Berlin 1908.
13. BROILI F. Permische Stegocephalen und Reptilien aus Texas. — Palaeontogr., Bd. LI. 1904.
14. BROOM R. On the relationship of the South African reptiles to those of Russia. — Journ. Geol., vol. XXI, No. 8. Chicago 1913.
15. CASE E. C. The Permo-carboniferous Red-Beds of North America and their Vertebrates. — Washington 1915.
16. CREDNER H. Die Stegocephalen und Saurier aus dem Rotliegenden des Plauenschen Grundes bei Dresden. VII. Teil. — Zschr. Dt. Geol. Ges. Leipzig 1888.
17. — Die Stegocephalen und Saurier aus dem Rotliegenden des Plauenschen Grundes bei Dresden. VIII. Teil. — Ibid. Leipzig 1889.
18. GEINITZ H. B. Saurier Fährten des Rotliegenden im Riesengebirge. — N. Jb. Mineral. etc. Stuttgart 1861.
19. HUENE F. v. Ein neuer Pelycosaurier aus der unteren Permformation Sachsens. — Geol. u. Palaeont. Abh., Bd. XIV. Jena 1921—1925.
20. KLINGNER F. E. Bemerkungen zu einer Fährtenplatte aus Cornberger Sandstein. — Zbl. Mineral., Abt. B. 1928.
21. KORN H. Eine für die Kenntnis der Cotylosaurier des deutschen Perm bedeutungsvolle Schwimmfährte von Tambach. — Palaeobiol., vol. VI. Wien 1933.
22. LILIENSTERN H. R. v. Eine Dicynodontierfährte aus dem Chirotherium Sandstein von Hessberg bei Hildburghausen. — Palaeont. Zschr., 1944.
23. LOTZE F. Die Tambacher Sphaerodactylum Fährten. — Ibid., 1928.
24. MOSAUER, WALLIS. Beiträge zur Kenntnis der Reptilienfauna von Tunesien. Über die Sandspuren einiger Kleintiere der Sahara und ihre Deutung aus dem Bewegungsmechanismus. — Zool. Anzeiger, 19. 1928.
25. NOPCSA F. v. Die Familien der Reptilien. — Fortschr. Geol. u. Palaeont., H. 2. Berlin 1925.
26. PABST W. Tierfährten in dem mittleren Rotliegenden von Kabarz in Thüringen. — Naturwiss. Wochenschr., Bd. XII, No. 8. Berlin 1897.
27. — Fährten von Ichniotherium cottae Pohlig im Herzoglichen Museum in Gotha. — Ibid., Bd. XII No. 27. Berlin 1897.
28. — Beiträge zur Kenntnis der Tierfährten. — Zschr. Dt. Geol. Ges. Berlin 1905.
29. — Die Tierfährten des Rotliegenden Deutschlands. — Nova Acta Acad. Leop. Carol. Halle 1908.
30. ROMER A. S. Vertebrate Paleontology. Sec. ed. — Chicago, Illinois 1945.
31. ROMER A. S. & BYRNE. The Pes of Diadectes. Notes on the primitive Tetrapod Limb. — Palaeobiol., vol. IV. Wien 1931.
32. SCHMIDT H. Fährten der ältesten Saurier. — Natur u. Museum. Frankfurt a/M. 1927.
33. — Neubeschreibung und Deutung einer Fährtenplatte aus dem Cornberger Sandstein (Perm). — Paläont. Zsch., 1952.

34. SCHMIDTGEN O. Tierfährten im oberen Rotliegenden bei Mainz. — Ibid., 1928.
  35. — Eine neue Fährtenplatte aus dem Rotliegenden von Nierstein am Rhein. — Palaeobiol., Bd. I. 1928.
  36. SCHROEDER H. *Datheosaurus macrurus* nov. gen., nov. spec. aus dem Rotliegenden von Neurode. — Jb. Kgl. Preuss. Geol. L.-A. u. Bergakad., Bd. XXV. Berlin 1907.
  37. STAPPENBECK R. Über *Stephanospondylus* n. g. und *Phanerosaurus*. — Zschr. Dt. Geol. Ges., Bd. LVII. 1905.
-





*Ichniotherium* sp., ca.  $\times 0,2$



Fig. 1

*Herpetichnium unguatum albendorfense* (Pabst)

Fragment płyty nr 4

ca.  $\times 0.8$



Fig. 2

*Gampsodactylum albendorfense* (Pabst)

Fragment płyty nr 8 z widoczną jedną parą śladów; u góry z lewej strony *Walchia*

ca.  $\times 0.8$



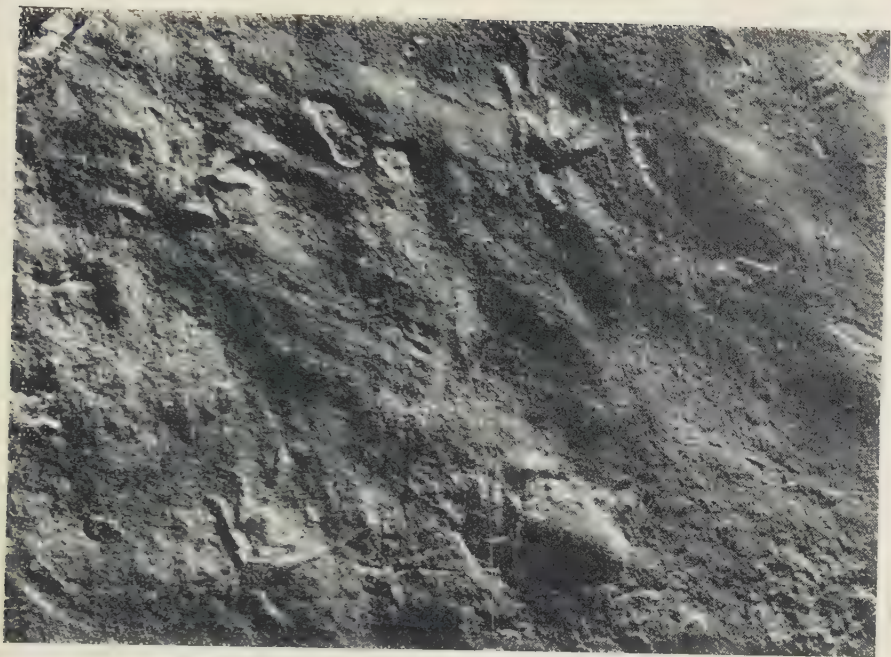


Fig. 1  
*Amphiodactylum albendorfense minor* (Paost) — Fragment płyty nr 30 w. n.



Fig. 2  
*Amphiodactylum albendorfense gracilis* (Pabst) — Fragment płyty nr 31 w. n.





*Ichnium pachydactylum minus albendorfense* (Pabst)

MARIAN MŁYNARSKI

## Żółwie z pliocenu Polski

### Studia nad trzeciorzędową fauną brekcyj kostnej w miejscowości Węże koło Działoszyna

#### CZĘŚĆ V \*

WSTĘP — I. Część opisowa: A. Podrodzina Testudininae, rodzaj *Testudo*: 1. *Testudo szalarii* n. sp.; 2. *Testudo antiqua noviciensis* Depéret; 3. *Testudo* sp.; 4. cf. *Testudo* sp. — B. Podrodzina Emydinae, rodzaj *Geoemyda*: 1. *Geoemyda eureia* (Wegner); rodzaj *Clemmys*: 2. *Clemmys* sp.; 3. cf. *Clemmys* sp.; rodzaj *Emys*: 4. *Emys orbicularis* (L.); 5. szczątki Emydinae o nieustalonej przynależności systematycznej — II. Rozważania ogólne: 1. Klimat i środowisko; 2. Uwagi o charakterze fauny żółwi Wężów i ich przypuszczalnym pochodzeniu; 3. *Testudo szalarii* n. sp. a gatunek współczesny *T. hermanni* Gmel. s. lat.; 4. Fauna żółwi z Wężów a fauna żółwi innych europejskich znalezisk plioceńskich; 5. Żółwie a zagadnienia powstania brekcyj kostnej w Wężach — Literatura cytowana

#### WSTĘP

Szczątki żółwi, które znaleziono dotychczas w Wężach, są to prawie wyłącznie fragmenty pancerzy. Wszystkie są dość silnie pokruszone i rozdrobnione; dotychczas nie udało się znaleźć ani jednego całego pancerza. Charakterystyczne dla tego materiału jest to, że znacznie lepiej zachowały się fragmenty plastronów, niż fragmenty karapaksów. Większe fragmenty karapaksów są stosunkowo nieliczne. Niezmiernie rzadkie są kości szkieletu wewnętrznego oraz kości kończyn. Nie udało się też dotychczas znaleźć czaszki, a nawet jakiegokolwiek jej fragmentu.

Opracowane szczątki pochodzą z brekcyj wapiennej, powstałej z rozruszonych skał wapienia jurajskiego, zlepionych wtórnie lepiszczem wapiennym. Do substancji organicznej dołącza się tu produkt wietrzenia wapieni zapewne w warunkach stepowo-pustynnych, tj. rodzaj ciemnoczer-

---

\* Część I, II, IV — J. Stach, p. Acta Geol. Pol. vol. II/1-2, III/1, IV/2; część III — M. Młynarski, ibidem, vol. III/4.

wonej *terra rossa*, nadający materiałowi charakterystyczne zabarwienie. Brekcja kostna wypełnia wielką krasową szczelinę, wypłukaną w skałach jury krakowsko-wieluńskiej, która jest prawdopodobnie pozostałością po większej grocie, istniejącej tu w okresie trzeciorzędu (Samsonowicz 1934, 79) \*\*.

Według Stacha (87, 88, 89) wiek brekcji możemy określić, na podstawie dotychczas opisanych szczątków ssaków, jako pliocen.

Poszczególne fragmenty pancerzy żółwi w różnym stopniu uległy procesowi fosylizacji, co by wskazywało, że pochodzą one z różnych warstw. Niektóre szczątki są prawie całkowicie przesycone kalcytem. Spotyka się też jednak płytki, które są słabo sfosylizowane i które zachowały dobrze strukturę kostną.

Opisany w niniejszej pracy materiał preparowano mechanicznie a także chemicznie przy użyciu 30% kwasu octowego. W wielu przypadkach z powodzeniem łączono obie te metody. Przy preparowaniu metodą chemiczną płytki pancerzy impregnowano w czasie wytrawiania na gorąco parafiną.

Szczątki żółwi są w opracowywanej brekcji bardzo liczne, co świadczy, że w pliocenie zwierzęta te miały dobre warunki życia w okolicy dzisiejszej miejscowości Węże. Gady te reprezentowane są w brekcji przez cztery rodzaje, należące do rodziny Testudinidae, podrzędu Cryptodira.

Najliczniej występuje tu rodzaj lądowy *Testudo* Linné. Jest jednak rzeczą zmienną, że obok żółwi lądowych występują też żółwie słodkowodne, należące do podrodziny Emydinae. W poprzedniej mojej pracy poświęconej żółwiom z brekcji kostnej z Węzów (1953, 57), szczegółowo opisałem szczątki żółwia błotnego *Emys orbicularis* (L.). Oprócz tego gatunku znalazłem w materiale z Węzów szczątki innych emydinów, należące do rodzajów *Geoemyda* Gray i *Clemmys* Ridgen.

Opisane w niniejszej pracy szczątki są własnością Muzeum Ziemi w Warszawie i Oddziału Instytutu Zoologicznego P. A. N. w Krakowie. Zostały one zebrane przed wojną, z ramienia ówczesnego Towarzystwa Muzeum Ziemi, częściowo przez prof. dra J. Samsonowicza, częściowo zaś przeze mnie oraz przez pracowników Oddziału Instytutu Zoologicznego P. A. N. w Krakowie, na hałdzie pozostałej z poprzedniej eksploatacji.

W niniejszym opisie dla poszczególnych fragmentów kostnych wprowadziłem oznaczenia cyfrowe, zgodne z ich numerami inwentarza (żółwie mają numery od 200 wzwyż). Na wszystkich rysunkach, przedstawiających fragmenty pancerzy, oznaczono literami początkowymi od

---

\*\* Liczby kursywą w nawiasach odsyłają do spisu literatury na końcu artykułu.



owiednich nazw łacińskich poszczególne płytki kostne i tarczki rogowe. p. H — *humerales*, P — *pectorales*, ent. — *entoplastron*, xiph. — *xiphoplastron* itd. Ponadto ponumerowano płytki kostne kolejnymi cyframi arabskimi, tarczki zaś rogowe — cyframi rzymskimi. Na załączonych w tekście rysunkach części brakujące są zaznaczone linią przerywaną. Wszystkie rysunki są wykonane z natury przez mgra Jerzego Świeżimskiego.

\*

Na tym miejscu pozwalam sobie złożyć gorące podziękowanie Profesorowi dr. Romanowi Kozłowskiemu, kierownikowi Zakładu Paleozoologii P. A. N. w Warszawie, za słowa zachęty i wszelką pomoc zarówno w czasie przygotowywania niniejszej pracy, jak i w czasie jej redagowania. Dziękuję również serdecznie Profesorowi dr. Tiborowi Szalaiowi z Budapesztu za cenne rady w sprawie taksonomii paleochelonicznej.

Panu dr. Rainerowi Zangerlowi z Muzeum Przyrodniczego w Chicago dziękuję za bardzo interesujące uwagi, dotyczące stanowiska systematycznego naszego żółwia błotnego. Panu dr. Heinzowi Wermuthowi z Muzeum Zoologicznego w Berlinie wyrażam wdzięczność za przesłanie mi okazów porównawczych.

Profesorowi dr. Janowi Stachowi, kierownikowi Oddziału Instytutu Zoologicznego P. A. N. w Krakowie, składam podziękowanie za szereg cennych ogólnych informacji dotyczących fauny brekacji z Węzów. Profesorowi dr. Zbigniewowi Ryziewiczowi z Wrocławia — za łaskawe wyrażenie porównawczych materiałów kopalnych z Nowej Wsi Królewskiej pod Opolem. Mgr. Julianowi Kulczyckiemu oraz Pracownikom Zakładu Paleozoologii P. A. N. w Warszawie — za koleżeńską pomoc w przygotowaniu części materiału.

## I. CZĘŚĆ OPISOWA

### Rodzina **Testudinidae**

#### A. Podrodzina **Testudininae**

#### Rodzaj *Testudo* Linné, 1766

Znalezione w brekacji kostnej z Węzów bardzo liczne szczątki żółwi, należące do tego rodzaju, zaliczyć możemy do dwóch blisko siebie stojących w systematyce gatunków. Ponieważ szczątków tych jest bardzo dużo (ponad sto kilkadziesiąt), w pracy niniejszej mogłem opisać tylko najbardziej charakterystyczne. Najliczniejsze są szczątki przednich pławopłytek, które zaliczyłem do podgatunku *Testudo antiqua noviciensis*

Depéret. Z innych ważniejszych szczątków należy wymienić kaudalną część karapaksu i plastronu, na podstawie których proponuję utworzenie nowego kopalnego gatunku *Testudo szalaii* n. sp. Poza tym, w materiale opracowanym znajdują się całe serie płytek nuchalnych, należących do żółwi z grupy „*graeca-antique*“. Wymienione części oraz liczne inne szczątki pancerzy nie mogły być jednak dokładniej określone; prawdopodobnie należą one do obu wymienionych gatunków.

### 1. *Testudo szalaii* n. sp.

**Materiał.** — Duży fragment kaudalnej części karapaksu i fragment plastronu tego samego osobnika (*xiphiplastru*). Holotyp Nr inw. 20 (fig. 1).

### Opis holotypu

*Testudo szalaii* n. sp. łączy w wyraźny sposób cechy morfologiczne kopalnego gatunku *T. antiqua* Bronn oraz współczesnego gatunku *T. hermanni* Gmel. Główną cechą charakteryzującą ten nowy gatunek jest obecność wyraźnych, dużych tarczek suprakaudalnych (*scuta supracaudalia*). Są one przedzielone wyraźną, głęboką bruzdą, dobrze widoczną na powierzchni płytki pygalnej karapaksu (p. fig. 1). Te tarczki suprakaudalne są podobne do tarczek suprakaudalnych współczesnego gatunku *Testudo hermanni* Gmel. s. lat. Część pygalna jest wypukła na zewnątrz. Wybitnie wypukła jest płytka pygalna (*pygale*). Jest ona dobrze widoczna i ma kształt symetrycznego trapezu, skierowanego swą dłuższą podstawą w kierunku kranialnym. Wyraźna wypukłość części pygalnej wskazuje, że są to prawdopodobnie szczątki pancerza samca.

Płytką suprapygalną (*suprapygale*) jest pojedyncza. Ma ona regularny kształt wąskiego trapezu, jej boczne krawędzie są proste i długie. Dłuższa podstawa płytki jest skierowana w kierunku kaudalnym. Jest ona równa długości stykającej się z nią krawędzi przedniej płytki pygalnej, podobnie jak to jest u okazów *Testudo antiqua* Bronn. Nie zachowała się kranialna przednia krawędź płytki suprapygalnej. Dość dobrze widoczne szwy pozwalają odtworzyć kształt płytek marginalnych (*marginalia*) 10-ej i 11-ej oraz fragment płytki 9-ej.

Płytką 11 jest trapezoidem, przylegającym do krawędzi płytki pygalnej. Jest ona wyraźnie większa niż płytka 10. Płytki 10 i 9 są to wąskie i wysokie czworoboki. Z płytek kostalnych (*costalia*) zachowały się duże fragmenty płytek 8-ych. Mają one kształt podłużnych trapezów zwróconych w kierunku osi karapaksu. Płytki neuralne (*neuralia*) nie zachowały się przy opisywanych szczątkach. Dobrze widoczne bruzdy po-

zwalają odtworzyć kształt następujących tarczek rogowych: marginalnych X-ch i XI-ch (*scuta marginalia*), częściowo wertebralnej V-ej (*sc. vertebrae*) oraz fragmentów tarczki kostalnych (*sc. costalia*) IV-yh. Tarczki marginalne mają kształt wyraźnych czworoboków. Wzdłuż bruzdy kostalo-marginalnej, oddzielającej te tarczki od tarczki kostalnych, przebiega dobrze widoczny szew, łączący analogiczne płytki kostne. Duża tarczka wertebralna V ma kształt trapezu o wypukłych bokach i krawędzi kaudalnej. Fragmenty plastronu — ksifiplastrony (*xiphiplastr*) mają wyraźne, lecz niezbyt głębokie wycięcie analne.

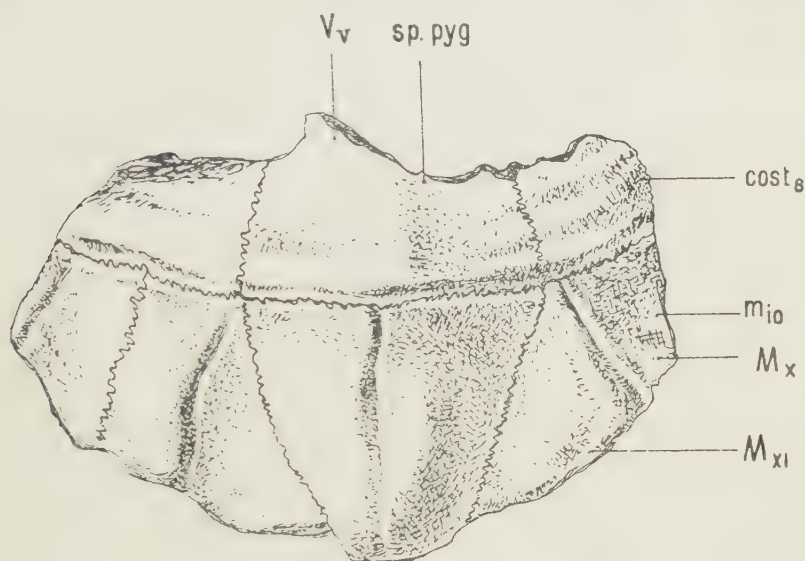


Fig. 1

*Testudo szalaii* n. sp.

Fragment kaudalnej części karapaksu — Nr inw. 206, w. n.

V sc. vertebrae, sp. pyg suprapygale, cost costalia, m marginale, M sc. marginale

Zewnętrzne tylne krawędzie płytek ksifiplastralnych są dość ostre. W części pygalnej końce płytek są lekko zaokrąglone. Są one ułamane mniej więcej wzdłuż bruzdy femuro-analnej. Na wewnętrznej części płytek wyraźnie widoczne są dość głębokie zagłębienia w części przednio-bocznej tych fragmentów. Grubość wszystkich tych płytek jest wyraźnie większa, niż grubość analogicznych fragmentów współczesnych żółwi lądowych z grupy „*gracæa*“, żyjących na terenie Europy.

Powierzchnia zewnętrzna płytek jest dość silnie uszkodzona i wskutek tego w niektórych miejscach zatarty jest i trudny do prześledzenia przebieg bruzd tarczki rogowych oraz szwów płytek kostnych. Poniżej podaje wymiary płytek:



	Długość (long.) w mm	Szerokość (lat) w mm
fragment karapaksu (całość) . . . . .	52	86
pygale . . . . .	33	39
suprapygale . . . . .		39
marginale 11 sinistr. . . . .	26	30
marginale 10 „ . . . . .	26	22
sc. supracaudale sinistr. . . . .	33	32
sc. marginale XI „ . . . . .	26	29
sc. vertebrales V . . . . .		60
epiplastra . . . . .	30	70

### Opis fragmentów dodatkowych

Do gatunku *Testudo szalarii* n. sp. należą prawdopodobnie również niektóre inne fragmenty pancerzy żółwi lądowych, pochodzące z tej samej brekcji. Zakładając, że *T. szalarii* jest podobny do współczesnego gatunku *T. hermanni* Gmel., zaliczyłem doń te wszystkie szczątki, które mają cechy morfologiczne *T. hermanni* (por. z tablicą cech morfologicznych europejskich współczesnych żółwi lądowych Siebenrocka, 1906, 81, str. 847-48). Ponieważ nie jest na razie znany cały pancerz *T. szalarii*, szczątki opisane poniżej zaliczam do tego gatunku jedynie warunkowo. Nie jestem wyłączone, że gatunek ten mógł się w wielu innych szczegółach różnić od współczesnego *T. hermanni* a zbliżać do kopalnego *T. antiqua* Bronn i jego następcy *T. graeca* L. (O różnicach pomiędzy *T. hermanni* a *T. szalarii* wspominam w dalszej części niniejszej pracy). Poniżej podaję charakterystykę tych fragmentów.

#### 1) Fragmenty karapaksu (Nr inw. 209), fig. 2

Jest to fragment karapaksu dorosłego osobnika, obejmujący płytki neuralne 3, 4 oraz przylegające do nich płytki kostalne.

**Płytki kostne.** — Płytki neuralne (*neuralia*) są dobrze widoczne. Płytką 3 jest wydłużonym czworobokiem o lekko wypukłych, dłuższych krawędziach bocznych. Płytką 4 jest typu „*Stylenys*“ i przypomina płytkę neuralną jakiegoś emydina (jest ona heksagonalna). Podobny kształt płytki neuralnej występuje sporadycznie u kopalnych i współczesnych przedstawicieli rodzaju *Testudo*. Płytki kostalne o budowie typowej dla rodzaju *Testudo* są ułożone w ten sposób, że krawędzie ich stykające się z płytkami neuralnymi oraz krawędzie stykające się z płytkami marginalnymi są na przemian to krótsze, to dłuższe. Dzięki temu krawędzie boczne tych płytek zbiegają się klinowato na przemian to ku części vertebralnej, to ku krawędzi marginalnej karapaksu.

*Tarczki rogowe.* — Kształt tarczek rogowych jest bardzo wyraźny, gdyż na powierzchni płytek kostnych zachowały się nadzwyczaj dobrze ich bruzdy.

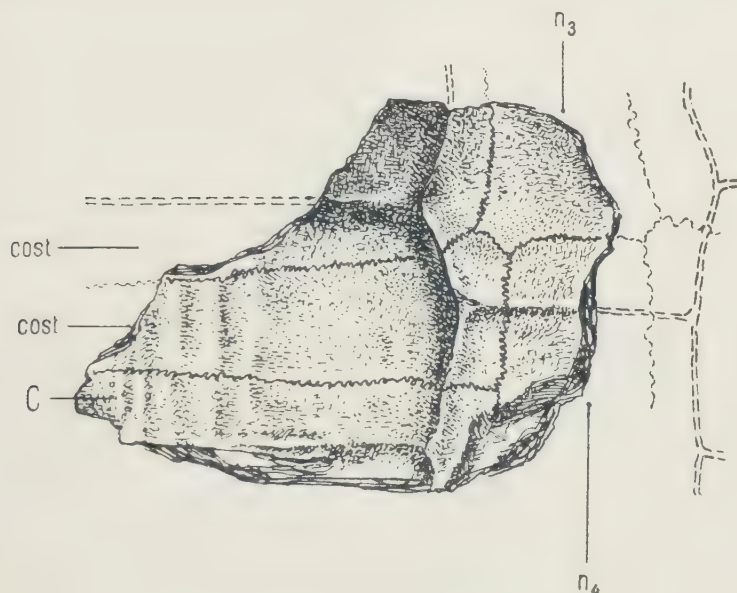


Fig. 2

*Testudo ? szalaini* n. sp.

Fragment grzbietowej części karapaksu — Nr inw. 209, w. n.  
cost costalia, C sc. costalia, n neuralia

Tarczki wertebralne mają kształt regularnych sześcioboków. Tarczki II i III, których odciski się zachowały, są po zrekonstruowaniu brakujących fragmentów mniej więcej tej szerokości, co odpowiadające im tarczki kostalne.

Tarczki kostalne są stosunkowo wąskie. Na powierzchni tarczki II widoczne jest dobrze półko (*areola*), otoczone przez wyraźne, grube karby warstw przyrostowych tarczki, odcisnięte na powierzchni płytki. Kształt tarczek, areol oraz morfologia ich powierzchni są bardzo podobne do tarczek współczesnych żółwi z grupy „*graeca*” (p. fig. 2).

## 2) Fragment przedniego płata plastronu (Nr inw. 256), fig. 3

Powyższy fragment jest dość dobrze zachowany, z powodu jednak kruchości płytek nie wypreparowano jego wewnętrznej powierzchni, tkwiącej w warstwie kalcytu i *terra rossa*. Bruzdy tarczek rogowych i szwy płytek kostnych są tu doskonale widoczne.

*Płytki kostne.* — Płytki epiplastralne są dość grube, wyraźnie jednak cieńsze, niż analogiczne płytki innych żółwi lądowych tej samej wiel-

kości, których szczątki znaleziono dotychczas w brekacji z Węzów. Część gularna nie jest odgraniczona i nie wystaje poza przednią, zewnętrzną krawędź plastronu (por. fig. 3). Przednia krawędź płytek epiplastralnych

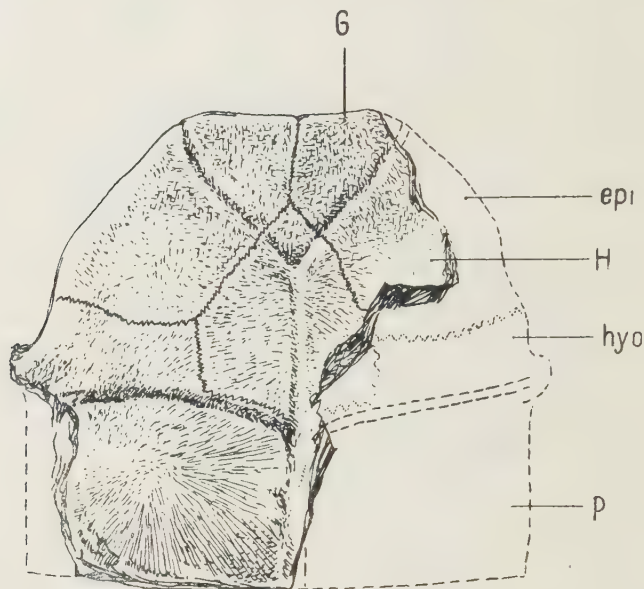


Fig. 3

*Testudo ? szalaii* n. sp.

Przedni płat plastronu — Nr inw. 256, w. n.

G gularne, epi epiplastron, H humerale, hyo hyoplastron, P pectorale

(epiplastra) jest dość długa i prosta. Krawędzie przednio-boczne są łagodnie zaokrąglone. Płytki epiplastralne obejmują przednią część entoplastronu. Entoplastron jest regularnym i symetrycznym sześciobokiem. Wszystkie jego krawędzie są proste i nie zaokrąglone. Krawędzie przednio-boczne są prawie tak samo długie, jak krawędzie tylnoboczne. Nieco dłuższe są krawędzie boczne. Płytki hyoplastralne (hyoplastra) nie są zachowane całkowicie; są one ułamane równo wzdłuż bruzdy pektoro-abdominalnej. Są to masywne, duże płytki o lekko wypukłych krawędziach zewnętrznych.

**Tarczki rogowe.** — Na podstawie zachowanych bruzd możemy odtworzyć kształt następujących tarczek rogowych. Tarczki gularne (sc. gularia) mają kształt jak gdyby szerokiego kielicha, skierowanego podstawą w kierunku kaudalnym. Tarczki te są przedzielone wyraźną bruzdą gularną. Krawędzie boczne tarczek, utworzone przez bruzdy gularo-humeralne, nie są wywinięte na zewnątrz, jak w przypadku innych szczątków z Węzów. Tarczki humeralne (sc. humeralia) są szerokie. Bruzda hu-



mero-pektoralna obejmuje od spodu dolną krawędź entoplastronu, lecz nie przecina jej powierzchni. W części lateralnej plastronu wymieniona bruzda nie jest wywnięta na zewnątrz ku przodowi, jak to obserwujemy u innych analogicznych szczątków żółwi lądowych z Węzów. Tarczka pektoralna (sc. *pectorale*) jest szeroka, w związku z czym bruzda pektoralna jest stosunkowo długa.

Powyższa cecha morfologiczna przypomina analogiczną charakterystyczną cechę gatunkową współczesnego gatunku *Testudo hermanni* Gmel.

### Porównania

*Testudo szalaii* n. sp. należy niewątpliwie do tzw. grupy „*graeca-antiqua*“ (Glaessner, 34). Za jego przynależnością do tej grupy świadczy obecność pojedynczej płytki suprapygalnej. Dodatkowe szczątki, które zaliczyłem warunkowo do tego gatunku, mają również wyraźne cechy, świadczące o przynależności do grupy „*graeca-antiqua*“ (nie wystający region gularny plastronu, charakterystyczna morfologia tarczek rogowych plastronu i karapaksu).

Z trzeciorzędu Europy i Azji podano dotychczas przeszło 50 kopalnych gatunków, należących do rodzaju *Testudo* Linné<sup>1</sup>. Ponieważ porównanie naszych szczątków ze wszystkimi przedstawicielami wymienionej grupy zajęłoby zbyt dużo miejsca, ograniczam się tu do porównania ich z gatunkami najważniejszymi.

Wyraźne podobieństwo morfologiczne wykazuje nasz gatunek do *Testudo antiqua* Bronn (Bronn 14, Meyer 55, Glaessner 34 i inni). Szczególnie wyraźnie zaznacza się to w budowie regionu pygalnego (*pygale* i *suprapygale*). Od *T. antiqua* Bronn oraz od wszystkich innych pokrewnych gatunków kopalnych różni się *T. szalaii* n. sp. obecnością bardzo wyraźnych dwóch tarczek suprakaudalnych. Obecność tych tarczek nie została dotychczas stwierdzona u żadnego z kopalnych gatunków, należących do rodzaju *Testudo* z grupy „*graeca-antiqua*“. Cecha powyższa występuje tylko u kopalnego gatunku europejskiego *T. eocaenica* Hummel oraz u gatunku północno-amerykańskiego *T. unitensis* Gilmore.

*Testudo eocaenica* Hummel pochodzi z eoceńskich węgli brunatnych Saksonii. Ma on wprowadzić dwie tarczki suprakaudalne, jednakże cała jego budowa nie przypomina zupełnie żółwi z grupy „*graeca-antiqua*“. Między innymi *T. eocaenica* Hummel ma dwie płytki suprapygalne. Sta-

<sup>1</sup> Siebenrock (85) wspomina o 39-ciu gatunkach kopalnych, opisanych z trzeciorzędu Europy. Większość tych gatunków należy do grupy „*graeca-antiqua*“. Barzo wiele spośród nich utworzono w sposób wyraźnie sztuczny, nie oparty na istotnych cechach taksonomicznych.

nowisko systematyczne tego żółwia wydaje się nieco niepewne. Sarni Hummel (44) sugeruje, że żółw ten ma pewne cechy rodzaju *Hadrianus* Cope. Z gatunków współczesnych przypomina on najbardziej pd.-wschodnio-azjatycki gatunek *T. emys* (Schlegell & Müller).

*Testudo unitensis* Gilmore reprezentuje również zupełnie inny typ budowy i należy do północno-amerykańskiego kręgu ras. Z tego powodu trudno go w ogóle porównywać z naszym *T. szalayi* (p. Gilmore 31).

Blisko spokrewniony z *Testudo antiqua* Bronn jest *T. esheri* Pictet & Humbert z górno-miocenńskiej molasy Winterthuru (Szwajcaria). O naszego gatunku różni się on, podobnie jak *T. antiqua*, obecnością pojedynczej tarczki suprakaudalnej (Pictet & Humbert 66, pl. 1-2). Do grupy „*graeca-antiqua*“ należy pewna liczba gatunków o wybitnie wypukłym i silnie sklepionym, wysokim karapaksie. Taki właśnie typ pancerza ma włoski górno-miocenński gatunek *T. amiatae* Pantanelli, francuski oligocenński *T. lamnensis* Cuvier oraz stosunkowo niedawno (1946) opisany przez Rjabinina (78) *T. bosporica* Rjab., pochodzący z górnego miocenu Krymu. Podobny typ budowy reprezentuje też *T. denizoti* Berg., opisany przez Bergounioux (7) z oligocenu francuskiego z Pays Toulousain. Według tego autora, należy on niewątpliwie do grupy „*graeca-antiqua*“. Niestety, typ opisany przez Bergounioux (l. c.) nie ma części pygalnej i dlatego nie może być porównywany z naszym gatunkiem. Od wszystkich wymienionych gatunków *T. szalayi* różni się m. in. tym, że jego karapaks jest bardziej płaski.

Duże podobieństwo do *T. antiqua* Bronn, a tym samym do naszego żółwia wykazuje również *T. turgaica* Rjab. Szczątki tego gatunku zostały znalezione w miocenских utworach azjatyckiej części Syberii (Turgaj-skaia Oblast') (Rjabinin 76).

Z innych żółwi lądowych, których szczątki pochodzą z trzeciorzędu Azji, wyraźne cechy grupy „*graeca-antiqua*“ mają trzy gatunki, opisane z Chin przez Wimana (1930, 107). Są to *Testudo shensiensis* Wiman, *T. shansiensis* Wiman i prawdopodobnie również *T. hannonensis* Wiman. U tego ostatniego gatunku nie jest znana część pygalna karapaksu. Z innych chińskich gatunków opisanych przez Wimana (l. c.) Glaessner (34) zalicza do tej grupy jeszcze *T. kaisini* Wiman. Niestety, został on opisany na podstawie dość drobnych, a przy tym mało charakterystycznych fragmentów, w związku z czym przynależność jego do grupy „*graeca-antiqua*“ nie wydaje się być całkowicie pewną.

Również z Chin z okolic Hanon opisał C. Ping (69) nowy gatunek kopalnego żółwia lądowego pod nazwą *Testudo annyangensis* Ping. Zdaniem autora, jest to forma bardzo podobna do *T. graeca* L. Niewątpliwie wymieniony gatunek należy do opisywanej grupy. Niestety, wiek geolo-

giczny szczątków z Annyang jest znany bardzo niedokładnie; prawdopodobnie pochodzą one z wczesnego plejstocenu.

Spośród licznych żółwi, opisanych z trzeciorzędu Mongolii przez Gilmore'a (32), jedynie oligoceński *Testudo insolitus* Math. & Grang. ma wyraźne cechy, pozwalające na zaliczenie do omawianej grupy. Wszystkie inne żółwie z rodzaju *Testudo*, opisane przez tego autora, jak np. *T. nanus* Gilmore, należą napewno do innych grup.

Z kopalnych gatunków zachodnio-europejskich należy wymienić *T. catalunica* Bataller, który jest zbliżony do *T. antiqua* Bronn, a tym samym do naszego *T. szalaii*. Szczątki tego żółwia pochodzą z warstw miocenских Katalonii (Bataller 5, Bergounioux 8). Żółw ten ma wyraźną tarczkę nuchalną, czym różni się od wielu innych gatunków kopalnych, znanych z Hiszpanii i zachodniej Francji, a należących do innych grup rodzaju *Testudo*.

Drugim bardzo ważnym gatunkiem, podobnym do naszego żółwia, jest *Testudo kalksburgensis* Toulou, dość pospolity w górnym trzeciorzędzie europejskim. Jest on nadzwyczaj podobny do współczesnego *T. graeca* L. i jego kopalnego przodka *T. antiqua* Bronn, różni się jednak od nich dość wyraźnie obecnością dwóch charakterystycznych płytek suprapygalnych.

Należy przypomnieć, że Glaessner (34), opierając się na błędnych założeniach, nie uznaje gatunku *T. kalksburgensis* i utożsamia go z *T. antiqua*. Ponieważ błędności stanowiska tego autora dowiódł już w roku 1935 Szalai (96), ograniczam się do wzmianki na ten temat.

Z *Testudo kalksburgensis* spokrewniony jest blisko *T. syrmensis* Koch, pochodzący z pliocenских margli cementowych Bośni (Koch 45). Mimo zastrzeżeń Siebenrocka (86) jest on tak podobny do *T. kalksburgensis*, że prawdopodobnie jest po prostu jego synonimem (Szalai 96).

Podobny do *T. kalksburgensis* jest też *T. craverii* Portis, pochodzący z gipsów górno-miocenских z okolic St. Vittoria (Italia). Żółw ten ma wysoki i silnie wypukły karapaks oraz dwie typowe dla *T. kalksburgensis* płytki suprapygalne. Cechy powyższe różnią go wyraźnie od naszego *T. szalaii*.

W nieco słabszym stopniu cechy grupy „*graeca-antiqua*“ wykazują dwa gatunki żółwi lądowych, opisane przez Hozackiego (1946, 17) z pliocenu Ukrainy (*T. černovi* Hoz. i *T. kučurganica* Hoz.). Sam autor porównuje szczątki *T. kučurganica* do *T. graeca*. Od wymienionego gatunku oraz tym samym od naszego *T. szalaii* różni się *T. kučurganica* obecnością dwóch płytek suprapygalnych, analogicznych do odpowiednich płytek *T. kalksburgensis*. Prawdopodobnie ten ostatni gatunek był autorowi nieznanym, gdyż opisując region pygalny karapaksu *T. kučurganica* stwierdza dosłownie:



„Wśród płytek kostnych karapaksu niezwykłą dla znanych gatunków *Testudo* formą odznacza się *postneurale* 1, która ma kształt pochylonego łuku z szeroko rozstawionymi końcami“ (Hozackij, l. c., str. 94).

Wymieniona cecha stanowi najistotniejszą różnicę pomiędzy *T. kucurganica* a *T. szalaii* i innymi przedstawicielami grupy *graeca*. Nie jest jednak wyłączone, że w przypadku okazów Toula (103), Kocha (45), Hozackiego (17) i innych, wystąpiła ona indywidualnie i sporadycznie (p. „Rozważania ogólne“ w pracy niniejszej).

*Testudo praeceps* Haberlandt, opisany z Leithakalk (eocen?) z okolic Wiednia, znany jest tylko na podstawie jednej ośrodkowej płytki pancerza (Haberlandt 1876, 37). Jak możemy sądzić na podstawie odcisków płytek neuralnych i kostalnych, gatunek ten ma wyraźne cechy amerykańskiego rodzaju kopalnego *Stylemys* Leidy (p. Hay 1908, 38, str. 385-397). Glaessner (1933, 34) uważa *T. praeceps* Haberlandt za synonim *T. antiqua* Bronn, który z kolei jest, według niego, synonimem *T. kalksburgensis* Toula. Również Thenius (1952, 101), który miał możność obejrzenia typu *T. praeceps*, uważa ten gatunek za synonim *T. kalksburgensis*. Według słów tego autora, na rysunku reprodukowanym w pracy Haberlandta (37, str. 246), część pygalna karapaksu jest przedstawiona niezgodnie z rzeczywistością, gdyż okaz opisywany ma dwie płytki suprapygalne typu „*kalksburgensis*“. Gdybyśmy się zgodzili z autorem, to musielibyśmy cechy „*Stylemys*“ traktować jako przejaw zmienności indywidualnej.

Stanowisko Theniusa (l. c.) wydaje mi się niesłuszne. W przypadku *T. praeceps* mamy do czynienia nie z jedną cechą, ale z całym zespołem istotnych cech, charakterystycznych dla rodzaju *Stylemys*. Prócz tego, gatunek ten pochodzi ze znacznie dawniejszego okresu geologicznego, niż *T. kalksburgensis*. Mimo wyjątkowej, charakterystycznej dla żółwi, długowieczności filogenetycznej, różnica okresów jest tak duża, że wydaje się mało prawdopodobne, aby jeden gatunek mógł tak długo przetrwać. Siebenrock (1914, 84) stwierdził, że *T. praeceps* Haberlandt reprezentuje całkiem inny typ budowy, niż *T. antiqua* Bronn. Autor ten porównuje go ze współczesnym *T. leithi* Gth., wydaje się jednak, że jest on znacznie bardziej podobny do północno-amerykańskiego gatunku kopalnego *Stylemys nebrascensis* Leidy (p. Hay 38, str. 388, fig 486-87). Oczywiście *T. praeceps* Haberlandt różni się wyraźnie od naszego *T. szalaii* n. sp.

Reinach (1900, 74) opisał z górnego miocenu okolic Frankfurtu n./Menem szczątki żółwia pod nazwą *Testudo promarginata* Reinach. Według tego autora, *T. promarginata* przypomina bardzo współczesny gatunek palearktyczny z grupy „*graeca*“ — *T. marginata* Schoepff. *T. promarginata* Reinach zajmuje jednak, jak się wydaje, bardzo niepewne stanowisko systematyczne, gdyż jest ono ugruntowane na słabych podstawach. Glaessner (1933, 34) przypuszcza, że pewne szczątki, zaliczane

przez Reinacha (l. c.) do omawianego gatunku, są w rzeczywistości szczątkami *Ptychogaster frankfourtenensis* Reinach, inne natomiast fragmenty należą do *T. antiqua* Bronn. Z wymienionych względów trudno jest w ogóle porównywać *T. promarginata* Reinach z naszym gatunkiem.

Z żółwi należących do innych grup w obrębie rodzaju *Testudo* duże podobieństwo do *T. antiqua* Bronn i do naszego gatunku wykazuje *T. pyrenaica* Depéret, pochodzący ze słynnej plioceńskiej odkrywki z Roussillon we Francji. Żółw ten nie ma tarczki nuchalnej. Brak tej tarczki predestynuje go do innej jakiejś grupy żółwi kopalnych z Europy zachodniej, do której należą takie gatunki, jak *T. marmorum* Gaudry, *T. richardi* Bergounioux, *T. bolivieri* Bergounioux, *T. chailéoti* Bergounioux, *T. canetotiana* Lartet i inne.

Ze wszystkich współczesnych gatunków żółwi z grupy „*graeca*“ największe podobieństwo do *T. szalarii* n. sp. wykazuje niewątpliwie tzw. „europejski żółw grecki“ *T. hermanni* Gmel. Ma on z reguły dwie tarczki suprakaudalne oraz prawdopodobnie zawsze jedną płytkę suprapygálną (Siebenrock 81, 83). Różnice pomiędzy obydwoma gatunkami są na razie dość trudne do prześledzenia z powodu zbyt małego materiału porównawczego *T. szalarii*. Jak jednak możemy wnioskować na podstawie holotypu, opisanego w niniejszej pracy, *T. szalarii* był nieco większy i miał budowę bardziej pierwotną, niż przeciętni przedstawiciele *T. hermanni*. Kształt płytki suprapygálnej *T. szalarii* przypomina poza tym kształt analogicznych płytek *T. antiqua*, gdy tymczasem u *T. hermanni* płytki te są z reguły szersze, niż płytki pygálne. Szczątki, które zaliczyłem warunkowo do *T. szalarii*, różnią się od *T. hermanni* budową warg epiplastralnych. Mimo wyszczególnionych różnic *T. szalarii* należy niewątpliwie do kręgu form *T. hermanni* i może być uważany za bezpośredniego przodka tego właśnie gatunku.

## 2. *Testudo antiqua noviciensis* Depéret

(fig. 4-7)

895. *Testudo noviciensis* Depéret; Depéret (26), s. 395-413.

933. *Testudo antiqua* Bronn var. *noviciensis* Depéret; Glaessner (34), s. 366-367.

**Materiał.** — 1) Przedni płat plastronu wraz z odciskami części hyo-hypoplastronów na ośródcie; szczątki należące do osobników młodocianych (Nr inw. 259, 260). — 2) Fragment przedniego płata dużego osobnika (Nr inw. 257). — 3) Fragment przedniego płata okazu dorosłego (Nr inw. 258). — 4) Całkowicie wyprzebarwiony przedni płat (Nr inw. 262). — 5) Fragmenty płytek epiplastralnych i całe epiplastrony osobników różnej wielkości (Nr inw. 262, 263, 264, 265).

*Opis fragmentów*

*Płytki kostne.* — Płytki epiplastralne (*epiplastra*) są wyraźnie zgrubiałe (fig. 4A). Tzw. wargi epiplastralne są spadziste i mają zaokrągloną powierzchnię wewnętrzną, szczególnie u dużych osobników (fig. 4B). *Fossa epiplastralis* jest w związku z tym głęboka i wyraźnie zaznaczona

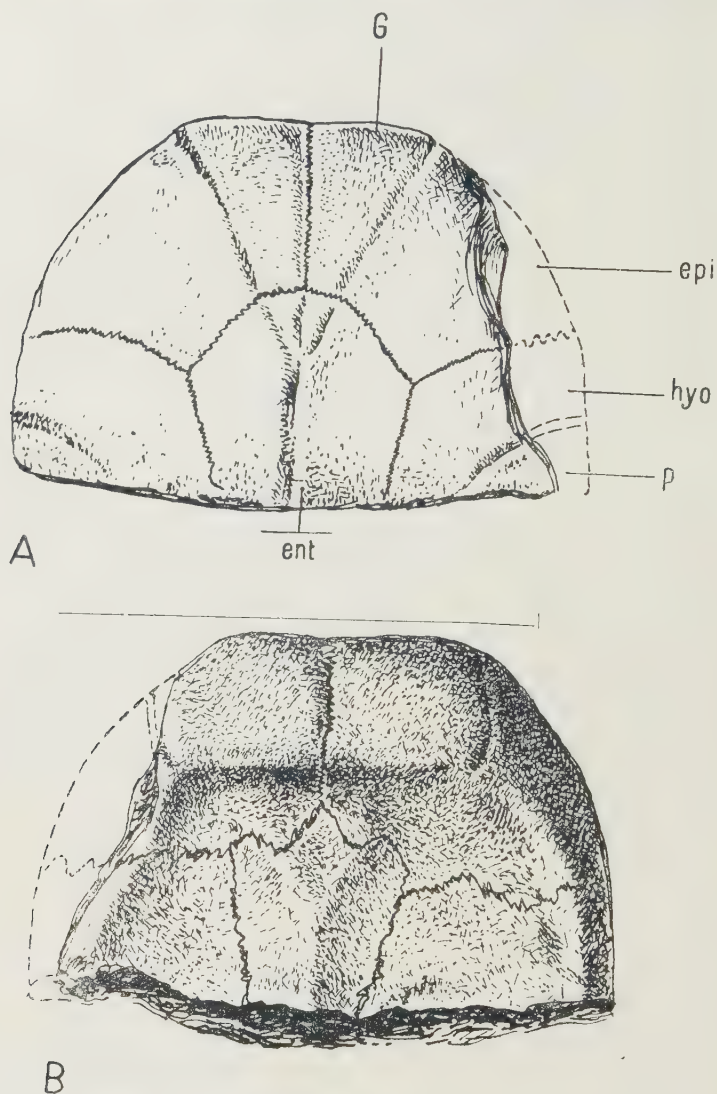


Fig. 4

*Testudo antiqua noviciensis* Depéret — Nr inw. 262

A powierzchnia zewnętrzna, B powierzchnia wewnętrzna płyta z zaznaczoną wyraźnie strukturą warg epiplastralnych

G gulare, epi epiplastron, hyo hyoplastron, P pectorale, ent entoplastron



(por. fig. 4B). Region gularny zupełnie lub prawie zupełnie nie wystaje poza przednią, zewnętrzną krawędź płytek epiplastralnych. Kształt entoplastronu u różnych okazów jest dość zróżnicowany. U osobników młodych jest on stosunkowo wąski, o prostych krawędziach; krawędzie te zaokrąglają się u osobników dorosłych. Na większości okazów krawędzie tylnoboczne są wyraźnie dłuższe. U osobników młodych tylne, kaudalne krawędzie entoplastronu stykają się lub zbliżają do bruzdy humero-pektoralnej (p. fig. 5). Bruzda ta nie przecina nigdy powierzchni płytki epiplastralnej. Pozostałe płytki kostne plastronów — hyo- i hypoplastrony, są znane wyłącznie na podstawie fragmentów.

Ogólny kształt entoplastronu jest typowy dla współczesnych i ko-palnych przedstawicieli grupy „*graeca*” (por. fig. 6).

*Tarczki rogowe.* — Tarczki rogowe plastronów można łatwo odtwo-rzyć, ponieważ na powierzchni większości płytek zachowały się dobrze odciski poszczególnych bruzd (por. fig. 5).

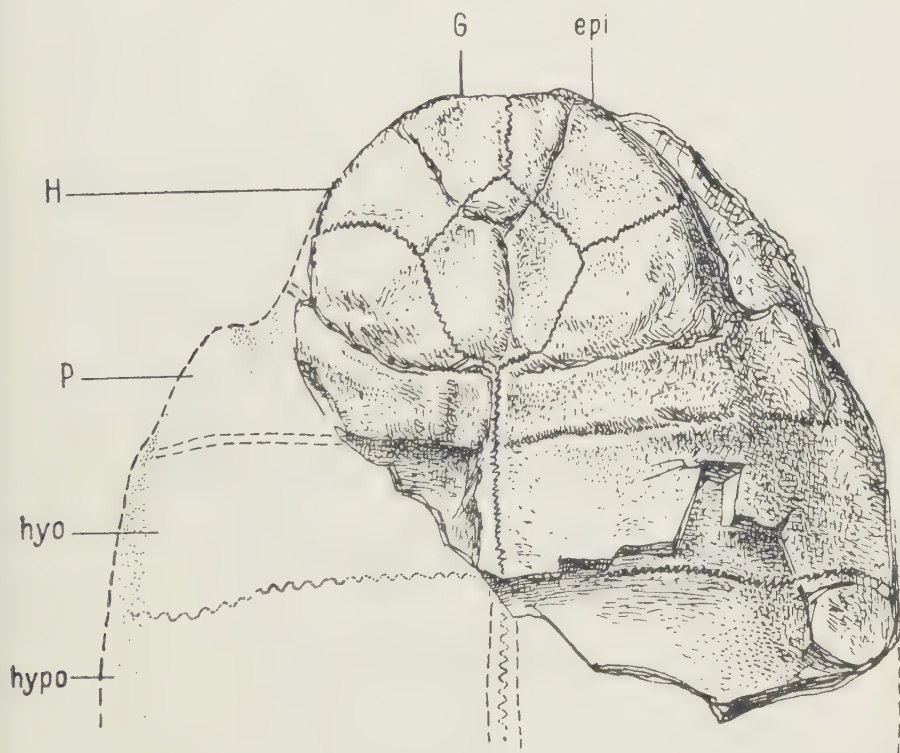


Fig. 5

*Testudo antiqua noviciensis* Depéret

Duży fragment plastronu młodocianego osobnika — Nr inw. 295, w. n.

G gularne, H humerale, P pectorale, epi epiplastron, hyo hyoplastron, hypo hypoplastron

Tarczki gularne są zawsze rozdzielone wyraźną bruzdą gularną (fig. 7). Mają one charakterystyczny kształt trójkąta, przy czym ich boczne krawędzie, bruzdy gularo-humeralne, są przy zewnętrznej krawędzi plastronu łagodnie wywinięte na zewnątrz. Tarczki humeralne są szero-

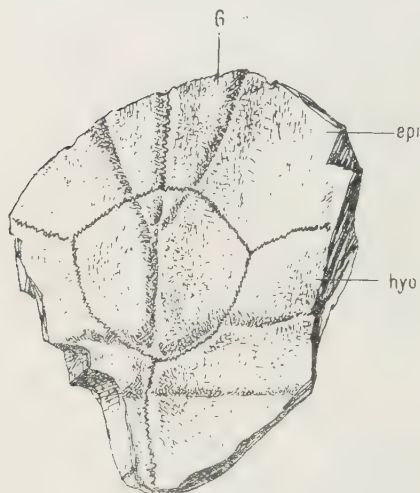


Fig. 6

*Testudo antiqua noviciensis* Depéret  
Uszkodzony fragment przedniego płyta  
plastronu — Nr inw. 257, w. n.

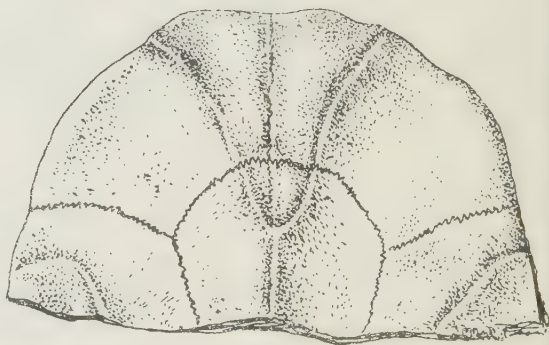
G gularne, epi epiplastron, hyo hyoplastron

kie. Bruzda humeralna jest przeszło dwa razy dłuższa, niż bruzda pektoralna (por. fig. 5 i 6). Stosunek ten szczególnie wyraźnie występuje u osobników młodych. Tarczki pektoralne są wąskie; zwężają się one głównie w kierunku bruzdy pektoralnej. Bruzda humero-pektoralna obej-

Fig. 7

*Testudo antiqua noviciensis*  
Depéret

Fragment przedniego płyta  
plastronu — Nr inw. 258, w. n.



muje od dołu entoplastron, przy czym jej końce, stykające się z krawędziami plastronu, są z reguły skierowane ku przodowi i wywinięte przy samej krawędzi. Z tarczki abdominalnej znana jest jedynie krawędź kraniowa, przebiegająca wzdłuż bruzdy pektoro-abdominalnej.

Porównania

*Testudo noviciensis* Depéret, nazwany tak po raz pierwszy przez Noula okaz z Sables de l'Orléanais (Francja), został opisany przez Depéreta (1895, 26) z burdygału Eggenburg (Austria). Gatunek powyższy jest, według Glaessnera (34), odmianą *T. antiqua* Bronn, od którego różni się, jego zdaniem, bardziej prymitywną budową plastronu, szczególnie zaś warg epiplastralnych. Do tej samej odmiany zalicza Glaessner (34) szczątki żółwi z rodzaju *Testudo*, opisane przez Picteta (1856, 66), pochodzące z „molasse de la Molière” z zachodniej Szwajcarii. Przedni płat plastronu tego podgatunku (odmiany) jest tak bardzo podobny do analogicznych płatów naszych żółwi z Węzów, że zaliczyłem je do niego bez zastrzeżeń, mimo że szczątki te są dość fragmentaryczne. Szczególnie wyraźnie zaznacza się podobieństwo pomiędzy naszymi szczątkami a szczątkami reprodukowanymi przez Glaessnera (34) w budowie regionu gularnego i warg epiplastralnych (por. Glaessner, 34, tabl. 11, fot. 2-3). Pomimo dużej zmienności indywidualnej naszych okazów, podobny jest zasadniczo również kształt tarczek rogowych oraz układ i przebieg bruzd.

Cechą charakterystyczną, która nasze szczątki czyni podobnymi do wszystkich, dotychczas opisanych, analogicznych szczątków *T. antiqua*, jest długość bruzdy pectoralnej. Bruzda ta jest zdecydowanie krótsza w stosunku do innych bruzd środkowych plastronu. Powyższa cecha występuje również wyraźnie u współczesnego żółwia *T. graeca* L. s. lat.

Drugim gatunkiem, zbliżonym do naszego żółwia, jest *T. kalksburgensis steinheimiensis* Staesche, którego typ został opisany przez Staesche (1931, 90) z górnego miocenu Steinheim (Niemcy). Przedni płat plastronu ma tu kształt, jak u naszego żółwia. Szczególnie podobne są wargi epiplastralne i zarys regionu gularnego. Jedyną cechą, która dość wyraźnie różni nasze szczątki od analogicznych fragmentów pancerza *T. kalksburgensis steinheimiensis* Staesche, jest długość bruzdy pectoralnej. Bruzda ta jest znacznie dłuższa u żółwi opisanych przez Staesche, niż w naszych okazach (por. 90, tabl. II, fot. 1). Wymieniona cecha upodabnia raczej żółwia ze Steinheim do współczesnego *T. hermanni* Gmel.

3. *Testudo* sp.

*Material.* — 1) Płytką nuchalną dużego osobnika (Nr inw. 211). — 2) Płytki nuchalne niedużych osobników, całkowicie wypreparowane z kalcytu (Nr inw. 213, 214, 216, 219, 220). — 3) Płytką nuchalną dużego osobnika wraz z odciskiem jej powierzchni zewnętrznej (Nr inw. 212). — 4) Fragmenty płytek nuchalnych (Nr inw. 217, 218). — 5) Uszkodzona płytką nuchalną dużego osobnika (Nr inw. 215). — 6) Fragmenty



karapaksu dużego osobnika, obejmujące płytki kostalne i marginalne (Nr inw. 210). — 7) Izolowane płytki marginalne dużych osobników (Nr inw. 225, 226, 227, 228, 229, 230, 231, 232, 233, 234). — 8) Izolowany entoplastron (Nr inw. 243). — 9) Fragmenty plastronów różnych osobników (Nr inw. 239, 240, 241, 242, 238, 237, 235, 236). — 10) Fragmenty mostów plastralnych dużych osobników (Nr inw. 221, 222). — 11) Fragmenty karapaksów z części vertebralnej (Nr inw. 208, 209) oraz inne nie inwentaryzowane, drobne fragmenty plastronów i karapaksów.

Przynależność gatunkowa wszystkich wymienionych szczątków nie może być dokładnie ustalona. Są to przeważnie drobne fragmenty pancerzy lub izolowane płytki, nie posiadające wartości taksonomicznej, dostatecznej do ustalenia nawet w przybliżeniu, do jakiego gatunku należy dany pancerz. Ogólnie możemy tylko stwierdzić, że fragmenty te należą do grupy „*graeca-antiqua*“. Prawdopodobnie są to szczątki obydwu gatunków, występujących w Węzach, tj. *T. szalaii* n. sp. oraz *T. antiqua* Bronn s. lat. (*T. antiqua noviciensis* Depéret).

### Opis fragmentów

#### a) Fragmenty karapaksu

*Płytki kostne.* — Wszystkie płytki nuchalne, znalezione dotychczas w naszej brekcji, reprezentują ten sam typ budowy i mimo znacznej zmienności indywidualnej są do siebie nadzwyczaj podobne. Przypominają one płytki współczesnych palearktycznych gatunków *T. graeca* L. i *T. hermanni* Gmel. (por. fig. 8). Płytką nuchalną naszych okazów ma

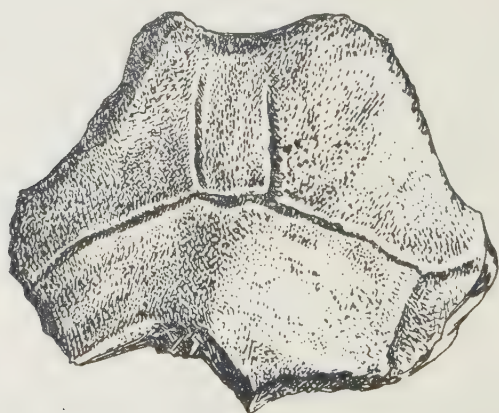


Fig. 8

Jedna z licznych płytek nuchalnych — Nr inw. 241.

kształt zbliżony do regularnego sześcioboku o bardzo krótkiej krawędzi tylnej. Wolna krawędź kranialna jest albo zupełnie prosta, albo tylko nieznacznie wklęsła. Krawędzie przednio-boczne, łączące się z krawędziami płytek kostalnych 1. są u większości osobników lekko wklęsłe, u osobników zaś młodych i młodocianych prawie zupełnie proste. Krawędzie tylnio-boczne są wyraźnie lekko wypukłe. Krawędź tylna (kaudalna) nie zachowała się w całości przy żadnej płytce z naszego materiału. Jak możemy przypuszczać, na podstawie porównania proporcji innych zachowanych krawędzi płytki nuchalnej z analogicznymi krawędziami współczesnych żółwi z grupy „*graeca*“, krawędź kaudalna była bardzo krótka i prosta. Na wewnętrznej powierzchni płytki nuchalnej widać silne zgrubienia w części marginalnej, oddzielone głębokim rowkiem od reszty płytki. Na zewnętrznej i wewnętrznej powierzchni wszystkich naszych płytek zachowały się dobrze odciski bruzd rogowych, pozwalające na odtworzenie kształtu tarczki nuchalnej.

Tarczka nuchalna jest nieduża i wąska (fig. 8). Występuje ona na wszystkich naszych okazach. Na zewnętrznej stronie pancerza tarczka ta ma kształt nieco cylindryczny, przy czym jej krawędzie boczne zbiegają się wyraźnie ku krawędzi kranialnej płytki nuchalnej. Po stronie wewnętrznej karapaksu tarczka nuchalna jest wyraźnie nieco większa i jej krawędzie boczne są po tej stronie prawie proste zbiegając się lekko w kierunku kranialnym.

Płytki neuralne zachowały się w małej stosunkowo liczbie. W przypadku szczątków Nr inw. 207, należących do osobnika młodocianego, zachowały się płytki neuralne 1 i 2. Mają one typowy kształt dla rodzaju *Testudo*. Płytką 1 ma zarys regularnego czworoboku; płytką 2 jest śmioboczna. Również płytki kostalne mają typowy kształt dla tego rodzaju. Są one ułożone w ten sposób, jak u opisanych powyżej dodatkowych fragmentów szczątków *Testudo szalayi* (p. str. 167). Ułożenie tych płytek i ich kształt są szczególnie dobrze widoczne w przypadku szczątków Nr inw. 210 (por. fig. 9).

Płytki marginalne występują bardzo licznie. W większości są to zolowane i całkowicie już wypreparowane płytki, należące do osobników bardzo różnej wielkości. Poza tym znamy całe zespoły płytek marginalnych, połączone ze sobą i z innymi płytkami karapaksów (p. fig. 9). W części kranialnej karapaksów płytki marginalne 1-4 są łagodnie wyinięte na zewnątrz. W części lateralnej płytki 5-8 tworzą stromą ścianę. Od strony zewnętrznej mają one kontury regularnych, wysokich prostokątów. W części karapaksu, łączącej się z mostem plastralnym, płytki marginalne u niektórych mniejszych osobników są zagięte od spodu tworząc ostrą dolno-boczną krawędź karapaksu. W części kaudalnej ka-

rapaksu płytki 9-11 są wyraźnie, lecz niezbyt silnie wywinięte. Na powierzchni tych płytek na ogół dobrze widoczne bruzdy analogicznych tarczok rogowych. Tarczki te leżą całkowicie na powierzchni płytek marginalnych, ich krawędzie zaś, stykające się z tarczami kostnymi, leżą na szwach łączących podścielające je płytki kostne.

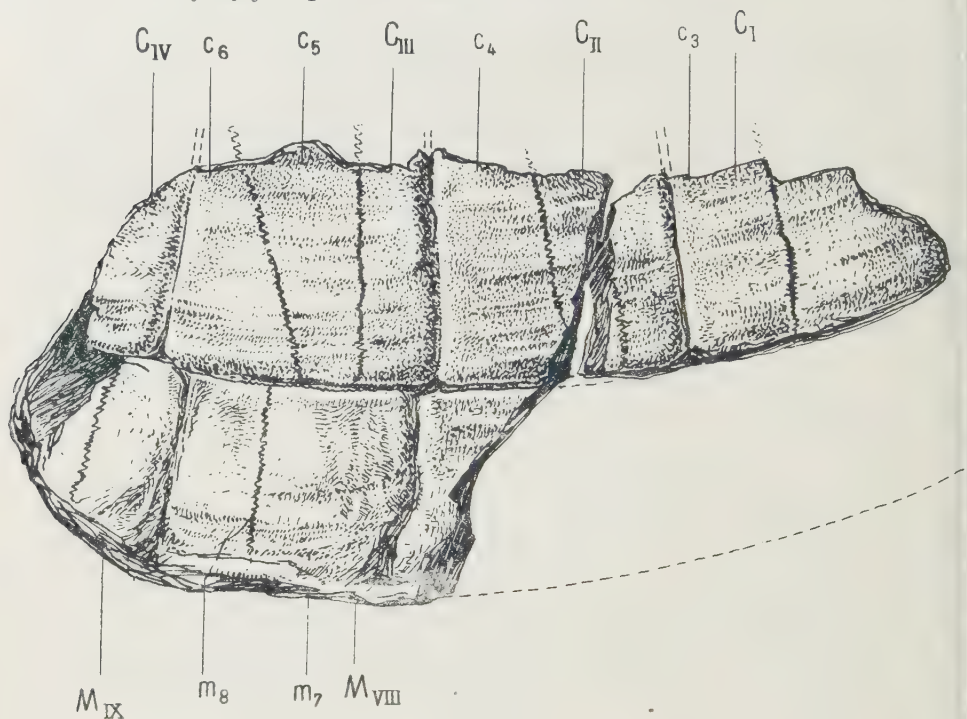


Fig. 9

*Testudo* sp.

Fragment lateralnej części karapaksu — Nr inw. 210, w. n.

C sc. costale, c costale, M sc. marginale, m marginale

**Tarczki rogowe.** — Na podstawie naszego materiału można byłoby odtworzyć kształt tylko nielicznych tarczok rogowych karapaksu. Tarczki kostne są duże, mniej więcej prostokątne, o wypukłej krawędzi, stykającej się z płytkami wertebralnymi. W szczątkach Nr inw. 210 zachowały się ich duże fragmenty.

Tarczki marginalne mają kształt bardzo zbliżony do podścielających je płytek kostnych. Są one wysokie, prostokątne, o prostych krawędziach bocznych. Tarczki aksilarne (sc. *axillaria*) i ingwinalne (sc. *inguinalia*) prawdopodobnie musiały występować także, przy czym wyraźnie większa musiała być tarczka ingwinalna, lecz na podstawie na-



zych fragmentów, których powierzchnia w części mostowej jest dość silnie uszkodzona, nie można, niestety, odtworzyć dokładnie kształtu tych arczek.

#### b) *Fragmenty plastronu*

Fragmenty plastronów żółwi lądowych są bardzo liczne w naszym materiale, większość tych szczątków jest jednak bardzo drobnych rozmiarów i nie mogła być dokładnie określona (fragmenty te nie mają numerów inwentarza). Poniżej podaję opis kilku większych i najbardziej charakterystycznych fragmentów plastronów, należących do rodzaju *Testudo*.

*Izolowany epiplastron dużego osobnika* (Nr inw. 264). — Jest to całkowicie zachowana lewa płytką epiplastralną bardzo dużego osobnika. Na jej zewnętrznej powierzchni widoczna jest nieco uszkodzona bruzda gularo-humeralna oraz część bruzdy gularnej, pozwalająca na odtworzenie kształtu całej tarczki gularnej. Zewnętrzna, wolna krawędź płytki jest dość ostra, szczególnie w części tylno-bocznej. Wargę epiplastralną jest nadzwyczaj gruba i stroma od przodu; maksymalna jej grubość wynosi 33 mm. W związku z tym odpowiednio głęboka jest *fossa epiplastralis*, z której nie usunięto całkowicie warstwy kalcytu wypełniającej jej dno. Region gularny tej płytki wystaje wyraźnie, choć nie-

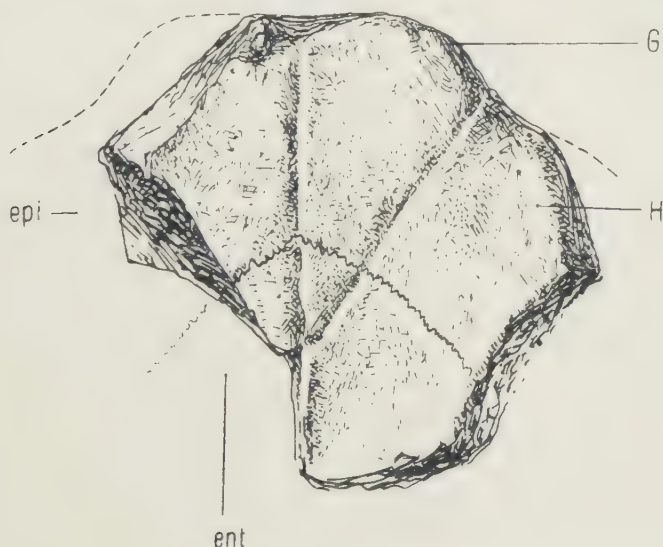


Fig. 10

*Testudo* sp.

Epiplastron z fragmentem entoplastronu dużego osobnika — Nr inw. 264, w. n.

*G* gularne, *H* humerale, *epi* epiplastron, *ent* entoplastron

znacznie, poza jej krawędź zewnętrzną. Jest to dobrze widoczne r. fig. 10.

Ta wystająca część jest ujęta w rozwidlenia bruzd tarczek gularnych, ale stanowi to, być może, cechę indywidualną danego osobnika.

Tarczki gularne mają nie wywiniete na zewnątrz krawędzie boczne. Zachowana bruzda gularo-humeralna jest nierówna i pofałdowana. Nie jest wyłączone, że szczątki te należały do jakiegoś innego, nieznanego dotychczas gatunku żółwia z Węzów. Za takim przypuszczeniem przemawia budowa regionu gularnego. Wymieniona płytką należała do największego okazu, znalezionego dotychczas w naszej brekcji. Przyjmując że stosunek wielkości epiplastronu tego zwierzęcia do wielkości całego jego plastronu był podobny, jak u współczesnego *T. graeca* L., plastron naszego okazu musiał mieć ok. 450 mm długości, karapaks zaś ok. 500 mm. Jak się okazuje, nasz żółw był niewiele tylko mniejszy od tzw. żółwa olbrzymich, których szczątki opisał w roku 1948 z pliocenu (sarmatu Krymu Hozackij (18).

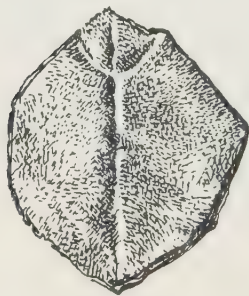


Fig. 11  
*Testudo* sp.

Isolowany entoplastron  
dużego osobnika — Nr  
inw. 243 w. n.

*Isolowany entoplastron dużego osobnika* (Nr inw. 243). — Jest to duży niesymetryczny entoplastron, należący do jakiegoś starego osobnika z rodzaju *Testudo* Linné. Odsłonięta z warstwy kalcytu powierzchnia zewnętrzna tej płytki jest dość silnie uszkodzona. Jest ona przecięta w kierunku kranialno-kaudalnym bruzdą środkową. W części kranialnej płytki daje się zauważyć odcisk bruzdy wyraźnie oddzielonych od siebie tarczek gularnych (p. fig. 11). W dolnej, kaudalnej części płytki nie widać żadnego śladu przecięcia przez bruzdę humero-pektoralną. Możemy na tej podstawie zaliczyć wymienioną płytkę z dużym prawdopodobieństwem do rodzaju *Testudo*.

*Fragmenty mostów dużych osobników* (Nr inw. 221, 222). — Obie fragmenty obejmują prawie całe prawe hypoplastrony dwóch dużych osobników. Powierzchnia fragmentu Nr inw. 221 jest dość silnie uszkodzona i popękana (p. fig. 12). Niektóre spękania powierzchni są wypełnione kryształami kalcytu. Płytki mają kontury mniej więcej prostokątne. Dość dobrze są widoczne bruzdy abdomino-femuralne oraz ślady warstw przyrostowych tarczek rogowych, odcisnięte na powierzchni płytek. Linie tych warstw, otaczające areole, są szczególnie dobrze widoczne przy wewnętrznej krawędzi płytki. Bruzdy otaczające tarczki ingwinalne są niewidoczne ze względu na uszkodzenie powierzchni. Dość dobrze widoczne są na krawędziach tych płytek szwy, łączące plastron z płytkami karapaksu.

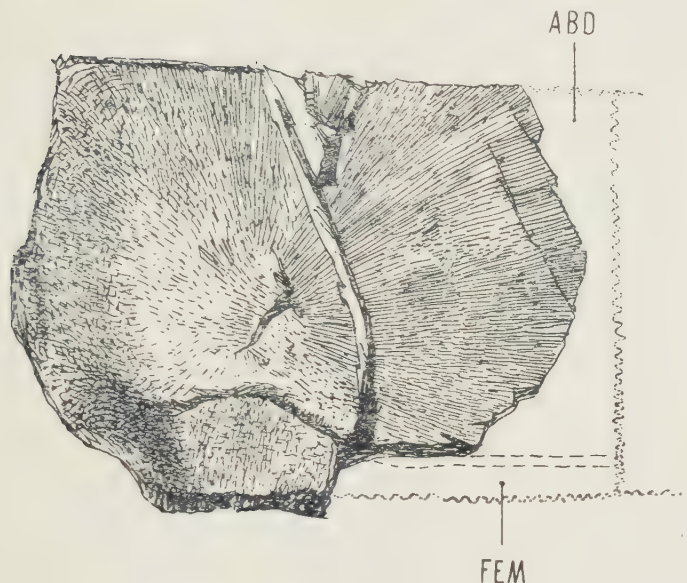


Fig. 12

*Testudo* sp.

Lewy hypoplastron dużego osobnika — Nr inw. 221, w. n.

ABD abdominale, FEM femurale

#### 4. cf. *Testudo* sp.

Nieliczne fragmenty kości kończyn żółwi, znajdujące się w naszym materiale, są bardzo źle zachowane. Jedyną całą kością znaną dotychczas jest prawy *humerus* niedużego osobnika (Nr inw. 267). Powierzchnia tej kości jest tak silnie uszkodzona i krucha, że nie można jej było całkowicie wypreparować i oczyścić z przylegającej do niej warstwy kalcytu krystalicznego. W związku z tym wiele szczegółów morfologicznych, jak np. głębokość *fossa intertubercularis*, nie daje się prześledzić. *Corpus humeri* wymienionej kości jest nieco słabiej wygięty, niż współczesnego gatunku *T. hermanni* Gmel., z którym ją porównywamy. *Processus lateralis* i *processus medialis* są niewielkie i niezbyt wyraźnie zaznaczone. Również niewyraźnie widoczne jest *collum humeri*, natomiast dość wyraźnie odgraniczają się *linea media* oraz *crista ventralis* *humeri*. Szeroki i masywny jest *epicondylus radialis*. Inne szczegóły morfologiczne są słabo widoczne i nieuchwytnie. Poza wymienioną kością w naszym materiale znajdują się nie inwentaryzowane fragmenty główek kości humeralnych i femuralnych.

Porównywanie powyżej opisanej kości humeralnej z kośćmi innych gatunków kopalnych i współczesnych jest bardzo trudno ze względu



du na jej zły stan zachowania. O ile mogłem ustalić, różni się ona na bardziej od kości współczesnych żółwi z grupy *græca*, od kości emydinów należących do rodzaju *Clemmys* Ridgen oraz od kości gatunku *Emys orbicularis* (L.), które miałem do dyspozycji.

Z gatunków kopalnych porównywałem tę kość z analogicznymi kośćmi węgierskich żółwi *Testudo rámeckensis* Szalai, *T. csákvarensis* Szalai, *T. lambrechtii* Szalai i *T. hungarica* Szalai (Szalai 98, 99, 100). Kości ramieniowe wymienionych żółwi różnią się dość wyraźnie od naszego okazu.

### B. Podrodzina Emydinae

Rodzaj *Geoemyda* Gray, 1834<sup>2</sup>

#### 1. *Geoemyda eureia* (Wegner)

1913. *Clemmys eureia* Wegner; Wegner R. N., *Palaeontographica*, Bd. 60, s. 213-219.

1913. *Clemmys pacheia* Wegner; Wegner R. N., *Ibidem*, s. 217-219.

1926. *Nicoria eureia* (Wegn.); Glaessner M., 33, s. 65-66.

1952. *Nicoria eureia* (Wegn.); Thenius E., 101, s. 325-326.

*Material.* — Prawy epiplastron oraz entoplastron dorosłego osobnika (Nr inw. 283), fig. 13.

#### *Opis fragmentów*

Szczątki żółwia należące do powyższego gatunku są dobrze zachowane i całkowicie wypreparowane. Entoplastron jest oddzielony od płytki epiplastralnej warstwą krystalicznego kalcytu, wypełniającą rozepnięty szew kostny. Szczątki te są bardzo kruche i źle sfosylizowane. Bruzdy tarczki rogowej są bardzo dobrze widoczne na powierzchni płytek kostnych.

*Płytki kostne.* — Epiplastron jest to duża, szeroka płytka. Region gularny tej płytki wyraźnie wystaje poza zewnętrzną krawędź przedniego płata plastronu. Na granicy regionu gularnego, w okolicy bruzdy gularo-humeralnej, dobrze widoczne jest guzkowate wystające zgrubienie wargi epiplastralnej (por. fig. 13 i schemat na fig. 14). Warga epiplastralna jest szeroka i płaska, jednakże w okolicy bruzdy gularo-humeralnej ma ona silne, wałeczkowate zgrubienie. W przedniej, kranialnej części warga epiplastralna jest bardzo wyraźnie wgłębiona. Fos-

<sup>2</sup> W pracach paleochelonologicznych spotykamy się przeważnie z dawniej używaną nazwą rodzajową *Nicoria* Gray, będącą synonimem nazwy rodzajowej *Geoemyda* Gray. Ponieważ nazwa *Geoemyda* była użyta przez Graya znacznie wcześniej (1834), niż nazwa *Nicoria* (1855), ma ona priorytet, w myśl obowiązujących przepisów nomenklatorycznych (p. Lindholm 48, s. 282).

*epiplastralis* jest płytka i słabo widoczna. Entoplastron jest to szeroka płytka, kształtu przypominającego znak karo, wyraźnie wydłużona w kierunku kranialnym, skrócona zaś w kaudalnym. Zewnętrzna powierzchnia entoplastronu przecięta jest, mniej więcej w połowie, wyraźną bruzdą humero-pektoralną. Jest to cecha charakterystyczna dla rodzaju *Geoemyda* Gray (p. fig. 13).

**Tarczki rogowe.** — Tarczki gularne mają charakterystyczny kształt trójkątny i są przedzielone bruzdą gularną. Tarczki humeralne mają kształt trapezoidalny. Zwężają się one widocznie w okolicy bruzdy środkowej. Z tarczек pektoralnych zachowane są wyłącznie bardzo małe fragmenty.

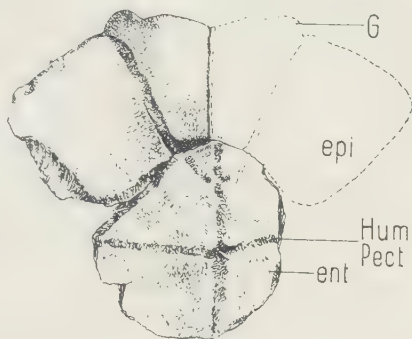


Fig. 13

*Geoemyda eureia* (Wegner)

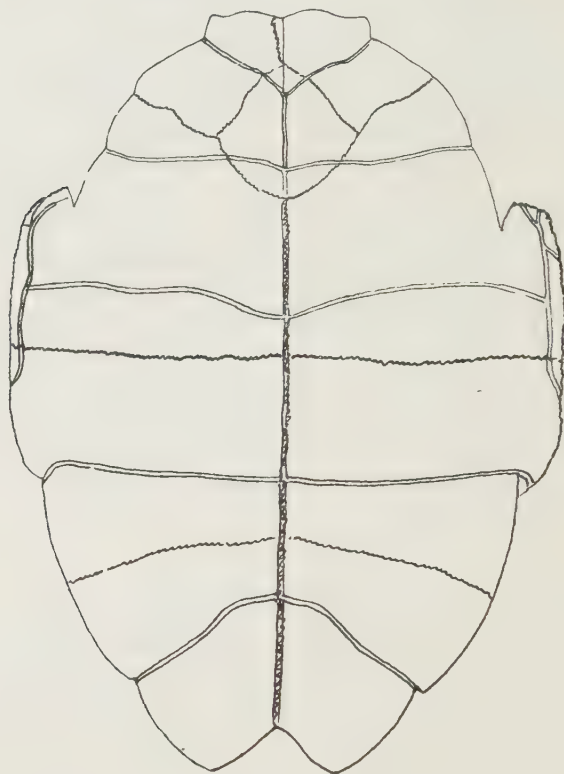
Epiplastron i entoplastron dorosłego osobnika z Węzów — Nr inw. 223, w. n.  
G gularne, epi epiplastron, hum-pect bruzda humero-pektoralna, ent entoplastron

### Porównania

Szczątki żółwia opisane powyżej zaliczyłem do rodzaju *Geoemyda* na podstawie kształtu entoplastronu i przecięcia go przez bruzdę humero-pektoralną oraz wyglądu gularnej części epiplastronu. Do gatunku *Geoemyda eureia* (Wegner) zaliczyłem te szczątki przede wszystkim na podstawie budowy i rozwoju warg epiplastralnych, które mają charakterystyczne dla tego żółwia wałeczkowate zgrubienia wystające poza przednią krawędź plastronu, oraz na podstawie morfologii entoplastronu. Fragmenty te miałem możność porównać z analogicznymi fragmentami pancerzy żółwi tego gatunku, zebranymi niedawno w Nowej Wsi Królewskiej pod Opolem (por. fig. 14). Fragmenty odpowiednich części ciała tych zwierząt są identyczne i mają prawie te same rozmiary. Materiał opracowywany porównałem nadto z opisami i rysunkami schematycznymi (por. fig. 14) oraz fotografiami zamieszczonymi w pracy Wegnera (1913, 104). Jak się okazuje, osobnik z Węzów jest nieznacznie tylko większy od typu, opisanego przez wymienionego autora.

Gatunek *Geoemyda eureia* był dotychczas znany jedynie ze słodkowodnych iłów górno-miocenских, pochodzących z miejscowości Nowa Wieś Królewska pod Opolem. Został on dokładnie i starannie opisany po raz pierwszy w 1913 r. przez Wegnera pod nazwą rodzajową *Clemmys* Ridgen. Jak jednakże zauważył Glaessner (33), żółw ten ma wyraźne cechy rodzaju *Geoemyda* Gray (*Nicoria* Gray). Pomimo to, Glaessner nie

był pewny, czy cechy morfologiczne rodzaju *Geoemyda* nie występowały u okazów opisanych przez Wegnera (104) indywidualnie. Tak np. charakterystyczny dla tego rodzaju kształt płytek neuralnych może, zdaniem Glaessnera, występować sporadycznie u przedstawicieli rodzaju *Clem-*



A

Fig. 14

*Geoemyda eureia* (Wegner)

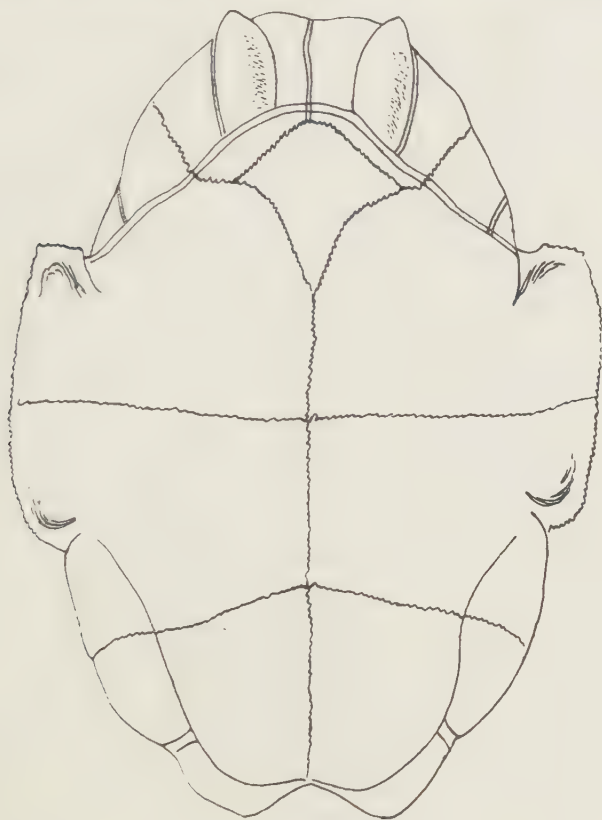
Schematyczna rekonstrukcja plastronu okazu z Nowej Wsi Królewskiej koło Opola (wg Wegnera) w. n.

A powierzchnia zewnętrzna, B powierzchnia wewnętrzna (p. obok)

*mys* Ridgen. W związku z tym autor ten zastrzega się, że aczkolwiek zmienił nazwę rodzajową żółwi spod Opola na *Geoemyda* (*Nicoria*), oznaczenie jego może być błędne. Jak mogłem się przekonać osobiście, przeglądając materiały pochodzące z Nowej Wsi Królewskiej, wszystkie szczątki żółwi, jakie zostały tam dotychczas znalezione, mają budowę bardzo typową dla rodzaju *Geoemyda* Gray, co potwierdza całkowicie stanowisko zajęte przez Glaessnera.



Oprócz *G. eureia*, Wegner (104) opisał spod Opola również drugi gatunek żółwia pod nazwą *Clemmys pacheia* Wegner. Według Glaessnera (33) gatunek ten, utworzony na podstawie jednego tylko okazu, jest prawdopodobnie synonimem *G. eureia*. Rzeczywiście, pomimo pewnych.



B

Fig. 14 (p. obok)

choćby zresztą istotnych, różnic morfologicznych pomiędzy żółwiami opisanymi jako *G. eureia* i *G. pacheia*, obie te formy mogą należeć do tego samego gatunku, a różnice istniejące dałyby się wytłumaczyć zmiennością osobniczą. Toteż, dopóki nie będzie poddany badaniom obfitszy materiał porównawczy, możemy *G. pacheia* uważać za synonim *G. eureia*. Również i Thenius (1952, 101) łączy, prawdopodobnie za Glaessnerem (33), oba te gatunki w jeden.

*Geomyda eureia* jest to nieduży żółw o pancerzu okrągłym. Jego karapaks jest wyraźnie wypukły i stromy, szczególnie w części latero-nej.

Z trzeciorzędu Europy znamy dotychczas kilka gatunków, należących do rodzaju *Geoemyda*, które możemy porównywać do *G. eureia* z Węzów. Najstarsze szczątki tych żółwi pochodzą z eocenu. Z tego okresu geologicznego opisał Hummel (1935, 44) dwa gatunki pod nazwami: *Geoemyda ptychogastroides* Hummel i *G. saxonica* Hummel. Dobrze zachowane i liczne szczątki tych żółwi pochodzą z węgla brunatnych Saksonii. Różnią się one na pierwszy rzut oka dość wyraźnie od *G. eureia* (Wegner). Różnice te szczególnie wyraźnie zaznaczają się w budowie części gularnej plastronu. Dalej wymienić należy *G. headonensis* (Hooley), opisaną przez Hooleya (1905, 42) z Lower Headon beds of Hordwell oraz *G. sopronensis* (Boda) opisaną po raz pierwszy przez Bodę (1927, 10) z pannonu z miejscowości Sopron na Węgrzech. Fragmenty plastronu tego gatunku zostały niedawno opisane przez Theniusa (1952, 101) z dolnego pliocenu okolic Wiednia. Od obydwóch wymienionych gatunków *G. eureia* (Wegner) różni się bardziej krępą budową pancerza, silniej sklepionym karapaksem oraz mniejszymi rozmiarami. W przypadku gatunku *G. sopronensis* (Boda) zaznaczają się wyraźne różnice w budowie regionu gularnego plastronu (por. Thenius, 101, str. 325, rys. 6).

Poza tym Glaessner (33) zalicza do rodzaju *Geoemyda* (*Nicoria*) kilka innych trzeciorzędowych gatunków emydinów pochodzących z terenów naszego kontynentu. Są to *G. brevicosta* (Portis) z pliocenu i *G. michelottii* (Peters) z miocenu Piemontu oraz *G. lignitarum* (Portis) z molasy szwajcarskiej (miocen). Mimo pewnych niewątpliwie wyraźnych cech rodzaju *Geoemyda*, stanowisko systematyczne tych żółwi wydaje mi się niepewne i wymagające sprawdzenia. Wymienione gatunki zostały opisane przeważnie na podstawie szczątków dość fragmentarycznych, które trudno jest porównywać z *G. eureia*; wszystkie one różnią się jednak dość wyraźnie od tego gatunku.

Z terenów azjatyckich rodzaj *Geoemyda* jest znany ze słynnych plioceńskich warstw z Sivalik Hills (Indie). Występuje tam kopalny podgatunek współczesnego gatunku *Geoemyda tricarinata* Blyth — *G. tricarinata sivalensis* (Lydekker) (Lydekker 1884/86, 50, 1889, 51). Zdaniem Lydekkera żółw ten jest bardzo podobny do współczesnego gatunku *G. trijuga* (Schweigg.), który charakteryzuje się wysmukłą budową karapaksu, opatrzonego trzema wyraźnymi krawędziami grzbietowymi. Budowa pancerza wszystkich wymienionych gatunków azjatyckich różni się wybitnie od budowy pancerza *G. eureia* (Wegner).

### Rodzaj *Clemmys* Ridgen, 1828

#### 2. *Clemmys* sp.

*Materiał.* — 1) Izolowany entoplastron młodego osobnika (Nr inw. 275). — 2) Prawy epiplastron wraz z przylegającymi fragmentami epipla-

stronu i hyoplastronu (Nr inw. 276). — 3) Połowa przedniego płała plastronu (Nr inw. 271).

Oprócz wymienionych szczątków znajdował się w naszym zbiorze dobrze zachowany płat przedni plastronu, tkwiący swą powierzchnią zewnętrzną w warstwie kalcytu. Niestety, przy nieumiejętnej próbie wy-preparowania z kalcytu, wymienione szczątki uległy prawie całkowitemu zniszczeniu i zostały usunięte z inwentarza. Ponieważ przed owym niefor-tunnym wypadkiem narysowałem te szczątki, mogłem je porównać ze szczątkami innych emydinów z naszego materiału i zaliczyć prowizorycz-nie do rodzaju *Clemmys*. Do tegoż rodzaju należą również prawdopodobnie inne małe fragmenty pancerzy emydinów, których przynależności systematycznej nie mogłem dokładnie określić.

### Opis fragmentów

*Płytki kostne.* — Płytki epiplastralne są duże, płaskie i cienkie. Re-gion gularny płytek nie wystaje zupełnie poza zewnętrzną ich krawędź. Krawędzie zewnętrzne są ostre. Szczególnie szerokie są wargi epiplastral-ne, które nie mają żadnych zgrubień i nierówności, nawet w okolicy prze-cięcia powierzchni płytki bruzdą gularo-humeralną (por. fig. 15). W części

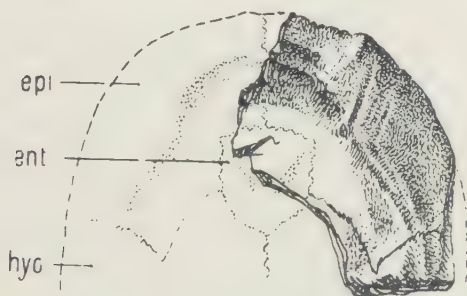


Fig. 15

*Clemmys* sp.

Wewnętrzna powierzchnia plastronu —  
Nr inw. 276 w. n.  
*epi* epiplastron, *ent* entoplastron, *hyc* hyo-  
plastron



Fig. 16

*Clemmys* sp.

Izolowany ento-  
plastron — Nr  
inw. 275 w. n.

gularnej słabo zaznacza się wklęsłość wewnętrznej części warg epipla-stralnych. *Fossa epiplastralis* jest bardzo płytka, lecz zaznaczona dość do-brze. Entoplastron jest to symetryczna płytka sześcioboczna o prawie prostych krawędziach. Najdłuższe są krawędzie tylno-boczne. W miejscu, w którym krawędzie tylnoboczne łączą się z krawędziami tylnymi two-rząc kąt rozwarty, powierzchnia zewnętrzna płytki jest przecięta przez bruzdę humero-pektoralną. W części przedniej widoczne są bruzdy tar-



czek gularnych. W izolowanym entoplastronie (Nr inw. 275) krawędzie są łagodnie i lekko wypukłe (por. fig. 16). Krawędzie przednio-boczne tej płytki są nieco dłuższe, niż w innych szczątkach tego rodzaju. Płytki hyoplastralne są dobrze zachowane w szczątkach Nr inw. 271 i były też dobrze zachowane w szczątkach, które uległy zniszczeniu. Kształt tych płytek odpowiada kształtowi analogicznych płytek innych emydinów. W naszych szczątkach zachowane są fragmenty hyoplastralnej części mostu. W części tej widoczny jest dość dobrze szew kostny, łączący plastron z karapaksem. Na podstawie tego szczegółu mogłem zaliczyć opisywane szczątki do rodzaju *Clemmys*.

Krawędź kaudalna płytki hyoplastralnej przebiega bardzo blisko bruzdy pectoro-abdominalnej (por. fig. 17). Bruzda ta jest szczególnie do-

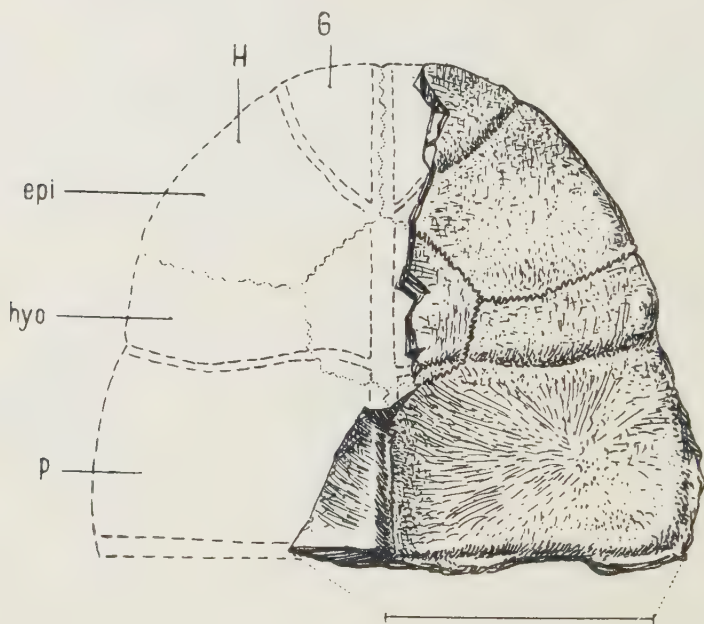


Fig. 17

*Clemmys n. sp.*

Przedni płat plastronu dorosłego osobnika — Nr inw. 271

G gulare, H humerale, P pectorale, epi epiplastron, hyo hyoplastron

brze widoczna we fragmencie Nr inw. 271. Na powierzchni tej płytki są dość dobrze widoczne linie warstwy przyrostowej tarczek rogowych. Biegają one równolegle do bruzdy środkowej i dalej załamują się pod kątem prawie prostym przebiegając potem równolegle do bruzdy humero-pektoralnej.

*Tarczki rogowe.* — Dobrze zachowane bruzdy pozwalają odtworzyć kształt następujących tarczek rogowych. Tarczki gularne są niezbyt duże i mają kształt szerokiego kielicha o wywiniętych lekko na zewnątrz krawędziach bocznych, utworzonych przez bruzdy gularo-humeralne. Obie tarczki przedzielone są głęboką i wyraźną bruzdą gularną. W szczątkach Nr 271 zachowała się część wymienionej bruzdy, przylegająca do szwu łączącego obydwie epiplastrony. Tarczki humeralne i pectoralne są duże. Tarczka humeralna ma kształt zbliżony do trapezu o lekko wypukłej krawędzi zewnętrznej. Tarczka pectoralna jest mniej więcej równoległobokiem.

### 3. cf. *Clemmys* sp.

*Materiał.* — 1) Kaudalna część karapaksu niedużego osobnika (Nr inw. 277). — 2) Odcisk zewnętrznej powierzchni karapaksu z części kaudalnej (Nr inw. 274).

### *Opis fragmentów*

*Płytki kostne.* — Płytki neuralne mają kształt heksagonalny, przy czym ich krawędzie tylnoboczne są wyraźnie dłuższe. Podobny typ płytek neuralnych występuje u większości emydinów. W szczątkach Nr 274 zachowały się odciski płytek 7 i 8. Na ich powierzchni widać wyraźną, dość ostrą krawędź wertebralną. Płytki kostalne mają budowę typową dla emydinów, tzn. ich boczne długie krawędzie są do siebie mniej więcej równoległe. Płytki marginalne zachowane są w szczątkach Nr 277. Są to: cała płytka 11 oraz mały fragment płytki 10, na którego podstawie nie można jednak odtworzyć kształtu całej płytki. Płytką 11 jest asymetrycznym pięciobokiem. Płytką pygalną jest wysoka i stosunkowo wąska. Jest ona silnie wycięta w części kaudalnej (por. fig. 18). Płytką suprapygalną, której mały fragment się zachował, ma typowy kształt trapezoidalny. Jest ona sześciobokiem o symetrycznym ułożeniu krawędzi.

*Tarczki rogowe.* — W opracowywanych szczątkach znajdują się tylko fragmenty odcisków bruzd tarczek kostalnych i wertebralnych. W szczątkach Nr 274 są to odciski tarczek III i IV oraz tarczek wertebralnych IV i V. Tarczki marginalne zaznaczone są w szczątkach Nr 277. Są to fragmenty tarczek X i XI. Tarczki te są niższe, niż podściełające je płytki kostne, co wskazuje na przynależność szczątków do grupy emydinów.

### *Porównania*

Opisane powyżej szczątki żółwi zaliczyłem do rodzaju *Clemmys* Ridgen na podstawie następującej: 1<sup>o</sup> w okazach Nr inw. 271 zachowały

się fragmenty mostu, których struktura wskazuje, że obie części pancerza naszego żółwia były połączone trwale przy pomocy szwów kostnych; 2<sup>o</sup> ogólny wygląd zewnętrznej części przedniego płata plastronu przypomina przednie płyty żółwi z rodzaju *Clemmys*, należące do współczesnej grupy europejskiej, którą można by nazwać grupą „*caspica-leprosa*“. Po między żółwiami należącymi do wymienionej grupy a szczątkami naszych żółwi istnieje dość wyraźna różnica w morfologii wewnętrznej powierzchni płytek plastralnych.

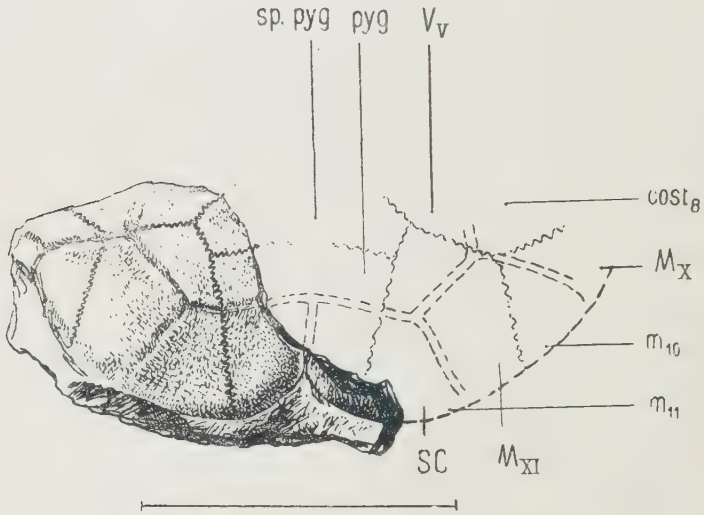


Fig. 18

*Clemmys* sp.

Fragment kaudalnej części karapaksu niedużego osobnika — Nr inw. 273  
*sp. pyg* suprapygale, *pyg* pygale, *V* sc. vertebrale, *M* sc. marginale, *m* marginale,  
*cost* costalia, *sc* supracaudale

Z gatunków kopalnych stosunkowo największe podobieństwo do naszego żółwia wykazuje *Clemmys turnauensis* (H. v. Meyer), pochodzący z górnio-miocenkich węgli brunatnych z Turnau (Styria). U wymienionego gatunku podobnie jest zbudowany region gularny plastronu, poza tym zarówno w przypadku szczątków opisanych przez Meyera (1856/58, 55), jak i w przypadku tych, które opisała Erika Fuchs (1938, 30), bardzo wyraźnie są zaznaczone linie warstw przyrostowych tarczki rogowych, otaczające areole.

Drugim gatunkiem, do którego zewnętrznie podobne są szczątki żółwia z Węzów, jest *Cl. sarmatica* Purschke (Purschke 1885, 73). Żółw ten wykazuje dość wyraźne podobieństwo morfologiczne do współczesnego, palearktycznego gatunku *Clemmys caspica* (Gmel.) s. lat. W związku



z tym Glaessner (33) uważa wymieniony gatunek za bezpośredniego przodka tego ostatniego żółwia.

Nieco inny typ budowy reprezentuje *Clemmys sophiae* Ammon, opisany z górno-miocenских węgli brunatnych z miejscowości Dachbetten koło Regensburga w Niemczech (Ammon 1911, 4), oraz *Cl. steinheimiensis* Staesche, pochodzący również z górnego miocenu Niemiec (Staesche 1931, 90). U obu wymienionych żółwi region gularny plastronu wyraźnie wystaje poza jego przednią krawędź zewnętrzną.

*Cl. gaudryi* Depéret, pochodząc z plioceńskiej odkrywki z Roussillon, należy prawdopodobnie do zupełnie innej grupy lub do innego rodzaju emydinów (według Reinacha, 1900, 74, należy on do rodzaju *Ocadia* Gray). Niestety, okaz opisany przez Depéreta i Donnezana (1890, 27), z którego fotografią mogłem porównać nasze szczątki, nie ma przedniego płata plastronu, który się zachował u naszych żółwi. Również do całkiem innej grupy systematycznej należy miocen'ski *Cl. guntiana* Roger (wąski entoplastron, małe i bardzo wąskie wargi epiplastralne) oraz oligocen'ski *Cl. youngi* Berg. Ten ostatni gatunek, opisany przez Bergounioux (1936, 8), ma zadziwiająco regularny kształt entoplastronu. Według autora, ma on cechy wspólne z *Cl. sophiae* Ammon (?).

Pliocene'ski gatunek *Cl. romani* Bergounioux, pochodzący z Perpignan i opisany przez Bergounioux (1935, 7), ma zupełnie inny wygląd tarżek gularnych plastronu. Ten nieduży żółw przypomina, zdaniem autora, gatunek *Geoclemys pygolopha* (Peters), pochodzący z helwetu miejscowości Stein nad Dunajem (Austria). Gatunek ten był zaliczony przez Glaessnera (1926, 33; 1933, 34) do rodzaju *Geoclemys* Gray, po gruntownym przestudiowaniu typu. Oczywiście, nie może być on porównywany z naszymi szczątkami, ani z innymi palearktycznymi przedstawicielami rodzaju *Clemmys* Ridgen.

Podobnież do innej grupy należą takie gatunki, jak *Cl. batallieri* Berg., pochodzący z osadów ponckich Katalonii, i *Cl. rotundiformis* Berg. — z helwetu z miejscowości Sansan we Francji. Ten ostatni gatunek należy, według Bergounioux (1935, 7), do tej samej grupy co „*Clemmys*“ *pygolopha* (?). Pierwszy z wymienionych gatunków ma, zdaniem cytowanego autora, podobnie jak i inne żółwie kopalne zza Pirenejów, cechy odmienne od gatunków środkowo-europejskich. Zewnętrznie gatunki wymienione na pierwszy rzut oka różnią się od naszych szczątków.

Wyraźnie różny od naszego żółwia jest *Clemmys hemisphaerica* (Gilmore), pochodzący z młodszego trzeciorzędu Mongolii. Różni się on znacznie od europejskich gatunków *Clemmys* (opisany po raz pierwszy pod nazwą rodzajową *Sharemys*, Gilmore 1933, 31; Szalai 1933, 94).

Z uwagi na szczególnie interesującą budowę wewnętrzną powierzchni epiplastronów i entoplastronu naszych okazów, porównywałem je również z innymi przedstawicielami kopalnych europejskich emydinów, zaliczanych dawniej do rodzaju *Clemmys*. Jak się okazuje, szczątki naszych żółwi różnią się dość wyraźnie od analogicznych fragmentów wymienionych gatunków. Są to mianowicie: wymieniany już *Geoclemys pygolopha* (Peters), *Geoemyda sopronensis* (Boda), opisana pod nazwą rodzajową „*Clemmydopsis*“ (Boda 1927, 10), oraz *Geoemyda eureia* (Wegner), której szczątki znaleziono również w naszej brekcji.

Szczątki emydinów z Węzów, które zaliczyłem do rodzaju *Clemmys*, miałem możność porównać również z pancerzami szeregu współczesnych emydinów. Na uwagę zasługuje fakt, że w naszych okazach przednie płyty plastronów są dość wyraźnie podobne do analogicznych części plastronu północno-amerykańskiego gatunku *C. guttata* (Schneid.), który ma bardzo płaskie i szerokie wargi epiplastralne. Ponieważ Szalai (91) uważa rozwój tej części pancerza za cechę uzależnioną od warunków biologiczno-etologicznych, w jakich dane zwierzę żyło, możemy mieć w naszym przypadku do czynienia nie tyle z pokrewieństwem, ile z podobieństwem konwergencyjnym dwóch daleko stojących od siebie systematycznie gatunków. Poza tym największe podobieństwo zewnętrzne wykazują nasze szczątki do *C. caspica caspica* (Gmel.). Podobieństwo to zaznacza się szczególnie u osobników niezbyt dużych (*adolescentes*), pochodzących z Bliskiego Wschodu (Irak, Palestyna), oraz u europejskiej rasy tego gatunku *Cl. caspica rivulata* (Val.). Wyraźne podobieństwo w budowie plastronu występuje również u zachodniej formy grupy „*caspica-leprosa*“, *C. leprosa* (Schweigg.). Z form tych miałem do dyspozycji okazy pochodzące z Algieru.

Inne emydina, z którymi porównywałem opisywane szczątki, były to: współczesny i kopalny *Emys orbicularis* (L.), *E. blandingii* (Holbr.), *Terrapene carolina carolina* (L.), *Geoemyda trijuga* (Schw.), *Geoclemys reevesi* (Gray), *Cyclemys amboinensi* (Daud.), oraz żółwie należące do północno-amerykańskich rodzajów *Pseudemys* Gray i *Chrysemys* Gray. Wszystkie one różnią się od szczątków z Węzów dość wyraźnie w budowie plastronu.

Streszczając powyższe rozważania możemy wyrazić przypuszczenie, że szczątki, które zaliczyłem do rodzaju *Clemmys*, mogą należeć z dużym prawdopodobieństwem do jakiegoś nowego i być może dotychczas nieznanego gatunku kopalnego. Nie jest także wyłączone, że nie należą one w ogóle do rodzaju *Clemmys*, gdyż szczątki wielu emydinów są do siebie niezwykle podobne. Rozstrzygnięcie tych wątpliwości będzie dopiero wtedy możliwe, gdy zostanie znaleziony większy materiał kostny, obejmujący całe lub prawie całe pancerze omawianego żółwia.

Rodzaj *Emys* Duméril, 1806

4. *Emys orbicularis* (L.)

1766. *Testudo orbicularis* Linné, Systema Naturae, s. 351.  
 1783. *Emys lutaria* Schneider; Schneider, Schildkröten, s. 388.  
 1783. *Emys europaea* Schneider; Schneider, Ibidem, s. 333.  
 1835. *Emys turfa* H. v. Meyer; Meyer, N. Jb. Mineral. etc., s. 67.  
 1855. *Lutremys europaea* Gray; Catal. Shield. Rept., pt. 1, s. 40.  
 1890. *Cistudo europaea* Miná-Palumbo; Miná-Palumbo, Nat. Sci., vol. 9, s. 289.  
 1890. *Cistudo lutaria* Lachmann; Lachmann, Rept. u. Amphib. Deutschlands, s. 141.

*Material.* — 1) Fragment przedniego płyta plastronu (Nr inw. 200). — 2) Fragment tylnego płyta plastronu oraz fragmenty płytek karapaksu tego samego osobnika (Nr inw. 201). — 3) Duży fragment karapaksu obejmujący płytki części kaudalnej i lateralnej oraz ośrodkę z odciskami płytek kostalnych i neuralnych (Nr inw. 204). — 4) Odcisk karapaksu na ośrodku oraz duże fragmenty płytek kostalnych i marginalnych (Nr. inw. 205). — 5) Fragment odcisku powierzchni wewnętrznej karapaksu w kalcyficy krystalicznej (Nr inw. 203). — 6) Fragment lateralnej części karapaksu (Nr inw. 273). — 7) Fragment karapaksu (Nr inw. 272).

Prawie wszystkie wymienione szczątki, należące do dorosłych i młodocianych osobników, opisałem już z podaniem wymiarów w mojej poprzedniej pracy, poświęconej temu żółwiowi (1953, 57). W niniejszej pracy, która obejmuje wszystkie żółwie znalezione dotychczas w naszej prekcji, ograniczam się do szczegółowej charakterystyki omawianego gatunku na podstawie całego materiału.

*Opis fragmentów*

a) *Plastron*

*Płytki kostne.* — Płytki epiplastralne są znane tylko na podstawie małego fragmentu spomiędzy szczątków Nr inw. 200. Wygląd całych płytek jest nieznany. Entoplastron ma kształt sześcioboku o lekko zaokrąglonych narożach i bokach. W swej dolnej, kaudalnej części entoplastron przecięty jest przez bruzdę humero-pektoralną, zbiegającą z obydwóch stron w kierunku kaudalnym ku bruzdzie medialnej. Na wewnętrznej powierzchni widać wyraźnie długi wyrostek, stanowiący zakończenie kaudalne tej płytki.

Płytki hyoplastralne (*hyoplastra*) mają kształt dużych i szerokich sześcioboków, obejmujących tylne i tylnoboczne krawędzie entoplastronu. Płytki hypoplastralne (*hypoplastra*) są również szerokie. Mają one kształt mniej więcej prostokątny.

Dobrze zachowały się wśród naszych szczątków części płytek hyoplastralnych, tworzące most plastralny. Szczególnie długi jest wyro-



stek hypoplastralny, tworzący tylną część mostu. Powierzchnia mostu odznacza się tą samą morfologią, jaką spotykamy u żółwi z rodzaju *Emys*, gdzie karapaks jest połączony luźno z plastronem za pomocą chrzęstnych zrostów i ścięgnistych wiązań.

Płytki ksifiplastralne (*xiphiplastr*) są łagodnie zaokrąglone w części analnej. Wycięcie analne pomiędzy tymi płytkami jest wyraźne, lecz równocześnie bardzo płytkie.

*Tarczki rogowce*. — Doskonale zachowane bruzdy na powierzchni zewnętrznej płytek kostnych pozwalają odtworzyć kształt wszystkich tarczek rogowych plastronu. Tarczki gularne nie są znane, a kształt ich odtworzono na podstawie małego fragmentu bruzdy gularo-humeralnej, wzdłuż której został ułamany entoplastron szczątków żółwia Nr inw. 200. Prawdopodobnie tarczki gularne były oddzielone od siebie bruzdą gularną. Tarczki humeralne mają kształt zbliżony do trapezu. Bruzda humeralna jest bardzo krótka, prawdopodobnie nieco krótsza niż bruzda femoralna. Tarczki pectoralne mają kształt mniej więcej równoległobokowy. Bruzda pectoralna jest długa. Tarczki abdominalne są znane na podstawie fragmentów, przylegających do tarczki pectoralnej i femoralnej. Długość bruzdy abdominalnej nie jest znana. Tarczki analne mają kształt mniej więcej zbliżony do trójkąta. Bruzdy femuro-analne są wyraźnie skierowane w kierunku kaudalnym, dzięki czemu przednia część tarczki analnej jest spiczasta i skierowana ku przodowi ciała.

Na podstawie zachowanych fragmentów dokonałem próby rekonstrukcji całego plastronu tego gatunku (por. fig. 19). Było to możliwe dzięki temu, że nasze fragmenty należały prawdopodobnie do osobników dorosłych, gdzie stosunki wymiarów poszczególnych elementów są podobne. W celu rekonstrukcji oba fragmenty plastronów Nr inw. 200 i 201 sprowadziłem do tych samych wymiarów. Fragmenty brakujące, jak kształt części gularnej, bruzdę abdominalną itp., odtworzyłem warunkowo na podstawie współczesnych okazów żółwi błotnych *Emys orbicularis* (L.), którymi posługiwałem się przy rekonstrukcji. Rekonstruując plastron gatunku z Węzów oparłem się na podobnej rekonstrukcji plastronu dokonanej przez Theniusa (1952, 101) dla szczątków gatunku *Geoemydopsopronensis* (Boda).

#### a) *Karapaks*

*Płytki kostne*. — Płytki nuchalne są znane na podstawie wyraźnego odcisku szwów kostnych na powierzchni ośrodkowej. Ma ona kształt sześcioboku o dłuższych krawędziach przednio-bocznych i o powyginanych krawędziach tylnobocznych. Płytki są szerokie, znacznie szersze niż przylegające do nich płytki neuralne.

Płytki neuralne mają kształt typowy dla większości emydinów: są sześcioboki o dłuższych krawędziach tylno-bocznych. Płytki neuralne są dłuższe w części kranialnej, skrócone zaś w części kaudalnej karapaksu.

Płytki suprapygalne jest pojedyncza i ma kształt sześcioboku o bardzo krótkich krawędziach tylno-bocznych. Najdłuższe są w niej krawędzie przednio-boczne, a krawędź przednia jest krótsza, niż równoległa

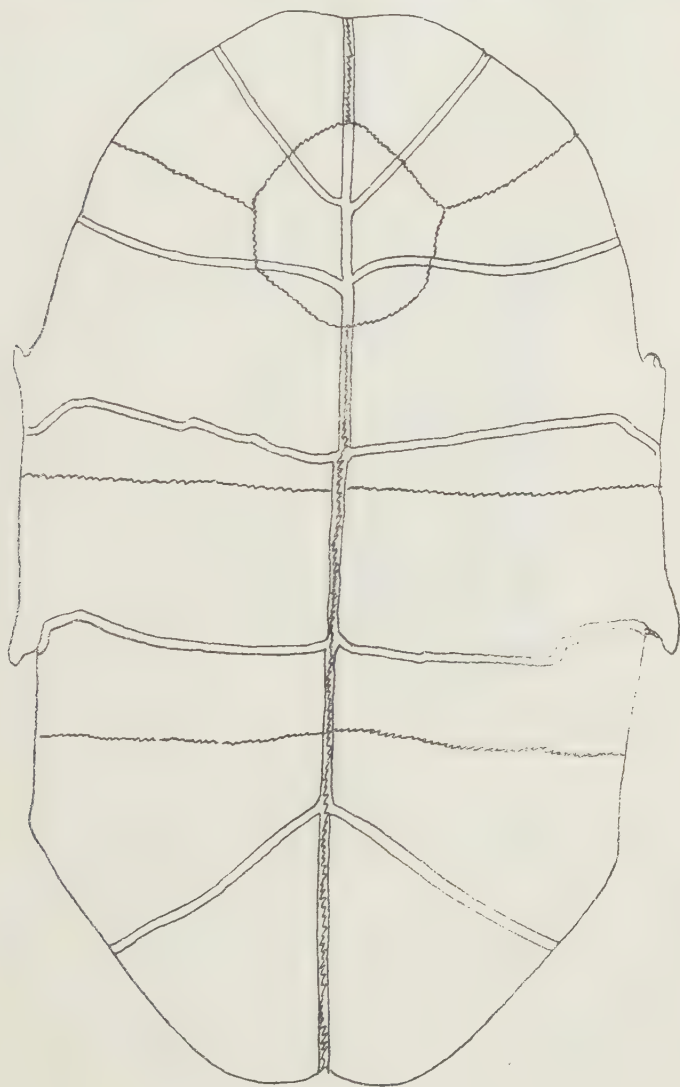


Fig. 19

Struktura plastronu żółwia błotnego z Węzów *Emys orbicularis* (L.) na podstawie fragmentów Nr inw. 200 i 201

jej krawędź kaudalna. Płytką suprapygalną jest nieco mniejsza, lecz przy tym szersza, niż łącząca się z nią płytka pygalna. Płytką pygalną jest kształt zbliżony do symetrycznego czworoboku (trapezu). Krawędź kaudalna tej płytki jest dłuższa, niż krawędź kaudalna. W naszych szczątkach krawędzie boczne płytek pygalnych są nierówne. Płytki kostalne są szerokie i mają kształt charakterystyczny dla emydinów: są one przy dłużne, szerokie, o mniej więcej równoległych krawędziach bocznych (por. fig. 20). Płytki marginalne są to nieduże, wysokie czworoboki, znacznie wyższe niż przykrywające je tarczki rogowe tej samej nazwy. Bruzda kostalo-marginalna leży całkowicie na powierzchni płytek marginalnych. Jedynie w przypadku płytek 10 i 11 zbliża się ona do szwu, łączącego płytki marginalne z kostalnymi.

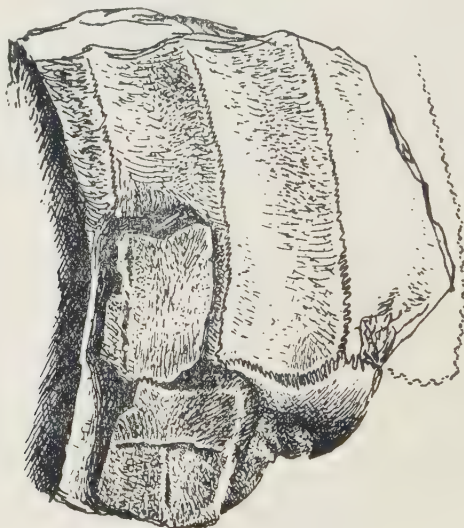


Fig. 20

*Emys orbicularis* (L.)

Fragment lateralnej części karapaksu młodocianego osobnika — Nr inw. 273, w. n.

**Tarczki rogowe.** — Tarczki nuchalne nie stwierdzono dotychczas w naszym materiale. Tarczki vertebralne, z wyjątkiem tarczki V, nie są również znane. Tarczka vertebralna V jest szerokim sześciobokiem o wypukłych i długich krawędziach przednio-bocznych. Kształt jej odpowiada kształtowi analogicznych tarczek współczesnych żółwi błotnych. Tarczki kostalne są szerokie. W naszym materiale zachowały się duże ich fragmenty, graniczące z tarczkami marginalnymi. Wyraźnie węższe są tarczki kostalne IV. Powyższa cecha występuje u żółwia błotnego oraz u przedstawicieli rodzaju *Terrapene* Merrem.



Tarczki marginalne są niewysokie, szerokie i niezbyt duże. Wyrażenie większe są tarczki nr XI, graniczące z tarczkami suprakaudalnymi. Tarczki suprakaudalne są nieduże, lecz wysokie. Kształt tych tarczek możemy porównać do czworoboków o wypukłych krawędziach. W obydwu zachowanych fragmentach, obejmujących region pygalny karapaksu, kształt tarczek suprakaudalnych jest nietypowy dla gatunku *Emys orbicularis* (L.).

### Porównania

Opisane powyżej szczątki żółwi słodkowodnych zaliczyłem do gatunku *Emys orbicularis* (L.) przede wszystkim na podstawie morfologii mostu plastralnego oraz łączących się z nim części karapaksu. Karapaks plastron tych żółwi połączony był, przy pomocy więzadeł ścięgnistych zrostu chrzęstnego, zupełnie podobnie, jak to jest u współczesnych przedstawicieli tego gatunku. Poza tym za przynależnością naszych szczątków do gatunku żółwia błotnego przemawia wygląd i kształt płytek kostnych regionu pygalnego karapaksu i ogólny wygląd poszczególnych fragmentów pancerza (płytek i tarczek marginalnych, płytek neuralnych i kostalnych), wypukłość karapaksu itp.

Jak to zaznaczyłem wyraźnie w mojej poprzedniej pracy (1953, 57), jedyną cechą, odróżniającą w dość widoczny sposób żółwie błotne z Węzów od innych kopalnych i współczesnych przedstawicieli tego gatunku, jest nieco inny kształt tarczek suprakaudalnych (l. c., na fig. 6). U współczesnych żółwi błotnych tarczki te są zazwyczaj węższe, dłuższe i mają prawie proste krawędzie. Wymieniona cecha morfologiczna nie jest w naszym przypadku wystarczającym wskaźnikiem, pozwalającym na zaliczenie żółwi z Węzów do jakiegoś odrębnego gatunku, czy też podgatunku. U współczesnych okazów *Emys orbicularis* (L.) dają się niekiedy zaobserwować pewne odchylenia w kształcie tarczek suprakaudalnych. Tak np. dwa dorosłe okazy tego gatunku (samiec i samica), pochodzące z terenów Polski pd.-wschodniej, które znajdują się w zbiorach wystawowych Oddziału Instytutu Zoologicznego PAN w Krakowie, mają tarczki suprakaudalne zbliżone kształtem znacznie bardziej do analogicznych tarczek kopalnych osobników z Węzów, niż do innych współczesnych żółwi błotnych. Kształt tych tarczek w naszych okazach przypomina na pierwszy rzut oka analogiczne tarczki żółwi, należących do północno-amerykańskiego rodzaju *Terrapene* Merrem<sup>3</sup>. Jak wiadomo, rodzaj *Emys* Duméril, do którego zaliczyłem nasze szczątki, stoi bardzo blisko rodzaju *Terrapene* i jest prawdopodobnie jego filogenetycznym przodkiem (p. Hay 38,

<sup>3</sup> Podobny kształt tarczek ma także *E. heeri* (Portis), pochodzący z miocenu zwajcarii.

str. 360). Różnice w budowie pancerzy tych dwóch rodzajów są dość trudne do prześledzenia w przypadku niekompletnych szczątków okazów kopalnych. Karapaks *Terrapene* jest z reguły bardziej wypukły, a plastrzakrywa całkowicie otwór wymienionej tarczy. Dzięki doskonałej ruchomości obydwóch płatów plastronu, którą umożliwia wąski most plastronny oraz ścięgnisto-chrzęstne połączenie elementów pancerza, żółw z rodzaju *Terrapene* może po wciągnięciu kończyn zamknąć się w pancerz jak w pudełku (stąd popularna nazwa amerykańska, określająca *Terrapene* mianem „Box Turtle“, w odróżnieniu od amerykańskiego żółwia błotnego, zwanego „Semi-Box Turtle“, Ditmars 28). Mimo dużego podobieństwa, żółw błotny z rodzaju *Emys* sztuki tej dokonać nie może. Najistotniejsza różnica pomiędzy obu żółwiami zaznacza się w budowie płytek kostnych regionu pygального karapaksu. U *Terrapene* suprapyga łączy się nie z ostatnią płytką neuralną, lecz ze stykającymi się ze sobą płytkami kostalnymi nr 8. W Węzach nie znaleziono dotychczas ani jednego całego pancerza żółwia błotnego, który by można było porównać z pancerzami terrapen kopalnych i współczesnych. Do chwili obecnej znalezione szczątki, w których dopatrywać się możemy pewnego podobieństwa do terrapen na podstawie zbliżonego kształtu tarczek suprakaudalnych, są zbyt fragmentaryczne, aby można było wyciągać jakiejkolwiek wnioski. Ponieważ jednak istnieje możliwość przynależności żółwia błotnego z naszej brekcji do jakiegoś innego gatunku czy podgatunku, stanowiącego być może formę pośrednią pomiędzy rodzajami *Emys* i *Terrapene*, sprawę przynależności systematycznej tych szczątków uważam za wyjaśnioną tylko prowizorycznie. Wszelkie dalsze badania w tym kierunku będą możliwe dopiero wtedy, gdy zostanie zebrany znacznie liczniejszy materiał porównawczy.

##### 5. Szczątki Emydinae o nieustalonej przynależności systematycznej

*Materiał.* — 1) Fragmenty płytek neuralnych oraz odciski kranialnej części karapaksu na ośrodku (Nr inw. 279). — 2) Silnie uszkodzone fragmenty ośrodku karapaksu i fragmenty kości miednicy i kości udowych (Nr inw. 269). — 3) Fragment ośrodku wraz z odciskami szwów płytek karapaksu (Nr inw. 285). — 4) Ośrodek karapaksu jakiegoś żółwia wodnego o silnie uszkodzonej powierzchni (Nr inw. 286) oraz liczne małe fragmenty pancerzy, nieinventaryzowane.

#### *Opis fragmentów*

##### a) Ośrodek karapaksu żółwia wodnego

Powierzchnia tej prawie całej ośrodku jest bardzo silnie zniszczona w związku z czym nie podobna jest dokładnie prześledzić przebiegu szwów kostnych. Ośrodek jest wyraźnie płaski, co wskazuje, że mog

ona należeć raczej do przedstawiciela rodzaju *Clemmys* Ridgen, niż *Emys* Duméril. Dość dobrze zachowane są kręgi grzbietowe, oderwane od płytek neuralnych. W zagłębieniach powierzchni ośródków tkwią w kilku miejscach fragmenty kości, należące prawdopodobnie do tego samego osobnika. Niestety, z obawy o całość ośródków nie można było kości tych wypreparować.

Wymienione szczątki zaliczyłem do podrodziny Emydinae na następującej podstawie: 1<sup>o</sup> cała ośrodek jest wyraźnie płaska i stosunkowo wąska; 2<sup>o</sup> bardzo źle zachowane, nieliczne i trudne do prześledzenia szwy długich krawędzi płytek kostalnych są do siebie równoległe.

b) *Fragmenty płytek neuralnych 1,2 oraz odciski szwów płytki nuchalnej i płytek kostalnych 1,2 na ośrodku*

Zachowane fragmenty kostne oraz odciski szwów pozwalają odtworzyć kształt następujących płytek. Płytkę nuchalną jest szeroka i duża. Jej tylne krawędzie są wypukłe i zaokrąglone. Nie zachowała się krawędź przednia (kranialna). Stykająca się z nuchalną płytka neuralna 1 ma charakterystyczny kształt wąskiego czworoboku o zaokrąglonych narożach, widocznie zwężającego się ku swojej kranialnej krawędzi. Płytkę neuralną 2 jest sześciobokiem o wyraźnie dłuższej krawędzi kranialnej (przedniej). Kształt tej płytki odpowiada kształtowi analogicznych płytek większości emydinów. Stykające się i łączące z wymienionymi płytkami płytki kostalne mają równoległe krawędzie boczne, co też wskazuje na przynależność opisywanych szczątków do powyższej grupy systematycznej. Jak można sądzić na podstawie wymienionych fragmentów, cały karapaks żółwia był bardzo płaski, przynajmniej w swej części vertebralnej. Krawędź vertebralna nie jest wcale zaznaczona.

c) *Silnie uszkodzony fragment ośrodku karapaksu oraz kości nóg i miednicy (Nr inw. 269)*

Fragment ośrodku ma powierzchnię dość silnie uszkodzoną. Przynależność tych szczątków do podrodziny Emydinae możemy określić na podstawie szwów płytek kostalnych o nieokreślonej numeracji. Są one do siebie równoległe. Prawdopodobnie również do tego samego okazu należały kości miednicy i kości tylnych kończyn, które tkwią w dolnej części ośrodku. Są to: silnie uszkodzona, częściowo wypreparowana *os ischium dextrum* i fragment złęczonej z nią *os ischium sinistrum*. W paśmie stawowej prawej kości tkwi cały *caput femuris*. Podobny, duży fragment kości udowej tkwi opodal osobno w warstwie kalcytu i terra ossa. Kształtu wymienionych kości nie można określić dokładniej ze względu na ich zły stan zachowania i obawę zniszczenia przy preparowaniu.



d) *Fragment ośródkii z odciskami szwów kostalnych 5,6 i 7 oraz przyłgający doń duży fragment płytki kostalnej 8*

Wymienione szczątki należały do dość dużego przedstawiciela emydinów. Wskazuje na to równoległy przebieg dłuższych krawędzi płytek kostalnych. Szwy płytek tych są bardzo dobrze widoczne. Płytki kostalne na 8 tkwi swą zewnętrzną powierzchnią w ośrodku. Ma ona charakterystyczny kształt szerokiego czworoboku o wyraźnie dłuższej krawędzi przedniej. Krawędź ta jest nieco wklęsła, tylna zaś — lekko wypukła.

## II. ROZWAŻANIA OGÓLNE

### 1. Klimat i środowisko

Występowanie w pliocenńskiej brekcji kostnej z Węzów bardzo licznych szczątków żółwi lądowych, należących do rodzaju *Testudo* Linnaeus, świadczy, że brekcja powstała w środowisku kserotermicznym, związanym z suchym i ciepłym klimatem. Współcześni przedstawiciele wymienionego rodzaju żyją przede wszystkim w środowisku stepowo-pustynnym. Z tego powodu obecność licznych szczątków żółwi lądowych (testudinów) może być uważana za dość dobry wskaźnik klimatyczny.

Znaczenie szczątków żółwi w określaniu klimatu zainteresowało już kilku badaczy. Między innymi Hummel (1928, 43) stoi na stanowisku, że obecność w pewnych warstwach szczątków *Amyda* Geoffr. (*Trionyx* Geoffr.), świadczy o klimacie wilgotnym i gorącym, jak również o obecności większych zbiorników wodnych. Moje wnioski dotyczące klimatu i środowiska pliocenu z Węzów pokrywają się w pewnym stopniu z przypuszczeniami Stacha (1952, 87; 1953, 88; 1954, 89), opartymi na podstawie analizy szczątków zwierząt ssących. Autor ten przypuszcza, że w pliocenie z Węzów dadzą się wyróżnić dwa okresy. W jednym istniało takie środowisko stepowo-pustynne, związane z klimatem suchym, kontynentalnym; w drugim, wilgotniejszym, obszar ten miał charakter parkowy przypominający busz afrykański. Przedstawicielami fauny ssaków, charakterystycznymi dla tego drugiego okresu, są, obok innych, opisane już szczegółowo drapieżce: *Arctomeles pliocaenicus* Stach, *Ursus wenzensis* Stach i *Nyctereutes* sp. Niestety, powyższe przypuszczenia nie mają jeszcze potwierdzenia paleobotanicznego, gdyż nie znaleziono dotychczas w Węzach żadnych szczątków roślinnych.

Nadzwyczaj liczne pancerze testudinów pochodzą głównie z okresu stepowo-pustynnego, gdy zwierzęta te miały optymalne warunki ekologiczne.

Występowanie w brekcji z Węzów przedstawicieli emydinów słowackich nie pozostaje w sprzeczności z poprzednimi przypuszczeniami. Tak np. *Emys orbicularis* (L.), mimo że jest dość silnie związany z

środowiskiem wodnym, występuje często w małych kałużach i młakach. Czernow (1951, 22) stwierdza obecność współczesnych przedstawicieli tego gatunku w małych stawach na stepach Związku Radzieckiego, wysychających zupełnie w okresie suszy. Jak wiadomo, żółw błotny lubi wędrować i po wyschnięciu zbiornika wodnego lub w razie braku w nim pokarmu poszukuje innego, nowego zbiornika. Można by więc przyjąć, że takie właśnie wędrujące osobniki mogły znaleźć się w brekcji z Węzów.

Rodzaj *Geoemyda* Gray również nie jest ściśle związany ze środowiskiem wodnym. Współcześni jego przedstawiciele byli bardzo często znajdowani zdala od jakichkolwiek zbiorników wodnych. Krefft (1926, 47) zalicza niektóre współczesne gatunki rodzaju *Geoemyda* jak *G. annulata* (Gray) i *G. gabbi* (Cope), do grupy żółwi lądowych, inne natomiast, jak *G. trijuga* (Schweigg.) i *G. punctularia* (Daud.) — do grupy żółwi żyjących w wodzie tylko okresowo.

Nieco silniej związany jest ze środowiskiem słodkowodnym rodzaj *Clemmys* Ridgen. Obecność szczątków *Clemmys* świadczy, że niedaleko obecnego złoza w Węzach musiał się znajdować jakiś zbiornik wodny, gdyż żółwie należące do tego rodzaju są znacznie wyraźniej związane ze środowiskiem wodnym, niż przedstawiciele rodzajów *Emys* i *Geoemyda* Gray. Jak można sądzić na podstawie ukształtowania terenu, w pliocenie mogła płynąć niedaleko wzgórza Zelce w Węzach jakaś rzeka, w której te wodne gatunki znajdowały odpowiednie do życia warunki.

Fakt, że szczątki *Clemmys*, a w szczególności *Geoemyda*, są w brekcji bardzo nieliczne, moglibyśmy wytłumaczyć tym, że żółwie te, należące do grupy emydinów subtropikalnych, przeżyły już przedtem swój okres optymalny i w pliocenie, wraz ze zmianami klimatycznymi, zmianą warunków ekologicznych i obniżeniem się temperatury, rozpoczął się proces ich wymierania. Zmiany klimatyczne nie były jednak z pewnością ani szybkie, ani gwałtowne, gdyż nowe warunki sprzyjały najwyraźniej masowemu występowaniu innych gatunków żółwi lądowych — testudiniinów, bardziej na nie, być może, odpornych. Musimy przy tym pamiętać, że pospolite w brekcji gatunki palearktyczne są znacznie lepiej do klimatu lądowego i chłodniejszego przystosowane. Odznaczają się one właściwością zapadania w sen zimowy oraz, w przypadku testudiniinów — również i w sen letni w okresie suszy.

## 2. Uwagi o charakterze fauny żółwi z Węzów i ich przypuszczalnym pochodzeniu

Fauna żółwi plioceńskiej brekcji kostnej z Węzów ma swój specyficzny charakter. Odznacza się ona wyraźną przewagą elementów pale-

arktycznych. Prawie wszystkie rodzaje w niej stwierdzone żyją obecnie na terenie Europy.

Żółw błotny *Emys orbicularis* (L.), wyparty okresowo z terenów obecnej Polski w okresie plejstocenu, powrócił na nasze ziemie w ciepłym okresie subatlantyckim i żyje do dnia dzisiejszego. Prawdopodobnie gatunek ten od pliocenu nie zmienił się, jeśli idzie o jego istotne szczegóły morfologiczne.

Zdania dotyczące pochodzenia żółwia błotnego są podzielone. Scharff (1907, 80) uważał wymienionego żółwia za element wyraźnie azjatycki. Według tego autora, wtargnął on na kontynent europejski z Azji pd.-wschodniej w trzeciorzędzie, w towarzystwie licznych gatunków ssaków. Nastąpiło to prawdopodobnie wtedy, gdy Azja Mniejsza miała połączenie lądowe z naszym kontynentem. Do Europy środkowej dotar żółw błotny, według Scharffa, poprzez rzeki wlewające się do morza plioceńskiego, które zalewało wówczas obszary pd.-wschodnie.

Zupełnie odmienny pogląd reprezentuje Glaessner (1933, 34). Autor ten stwierdza, co następuje (l. c., str. 379):

„Mioceneskie i współczesne żółwie błotne Europy<sup>4</sup>, z wyjątkiem *Emys orbicularis*, mogą być — na podstawie porównania z fauną współczesną — uważane za azjatyckie“.

Uwzględniając to zastrzeżenie Glaessnera należałoby przodków współczesnego żółwia błotnego szukać raczej wśród zachodnio-europejskich kopalnych przedstawicieli rodzaju *Emys*. Takimi gatunkami mogłyby być np.: eoceński *Emys grepiacensis* Bergounioux z „formations stampiennes de Venerque“, mioceneski *Emys aquitanensis* Bergounioux z San-san oraz pewni przedstawiciele emydinów kopalnych, zaliczani w pracach dawnych autorów do rodzajów *Cistudo* i *Emys* w dawnym, szerokim ujęciu (Maack 1868/69, 52; Pictet & Humbert 1856, 66; Portis 1882, 71 i inni). Przodkiem gatunku mógłby być również żółw, którego szczątki opisał z ilów londyńskich (London Clay) Newton (1862, 60, Szalai 95).

Według Glaessnera (l. c.), przodkiem *Emys orbicularis* był prawdopodobnie *E. strandi* Szalai, pochodzący z oligocenu węgierskiego. Według Szalai (1935, 96) gatunek ten jest młodszy od żółwia z ilów londyńskich i głównie dlatego nie może być uważany za przodka żółwia błotnego. Jak widzimy na podstawie tych kilku przedstawionych poglądów, pochodzenie żółwia błotnego w Europie jest jeszcze dość niepewne i zagadnienie to zasługuje na gruntowniejsze zbadanie.

*Geoemyda eureia* (Wegner) jest formą typową dla fauny pd.-wschodnio-azjatyckiej. Przedstawiciele *Geoemyda*, w przeciwieństwie do wszystkich innych żółwi z Węzów, nie występują współcześnie na tere-

<sup>4</sup> „Sumpfschildkröten“ — w tym przypadku Emydinae.



nie Europy, lecz żyją w pd.-wschodniej Azji, w południowej części Ameryki środkowej i w Ameryce południowej.

Interesujące jest niewątpliwie pochodzenie i stanowisko systematyczne żółwia, opisanego w niniejszej pracy pod nazwą rodzajową *Clemmys*. Jak wspomniałem w części szczegółowej, żółw ten jest nieco podobny zewnętrznie do palearktycznych przedstawicieli tego rodzaju, równocześnie ma on pewne cechy współczesnego nearktycznego gatunku *Clemmys guttata* (Schneider), co by wskazywało, że należy on do jakiejś całkiem innej grupy. Być może jest to, podobnie jak *Geoemyda*, jakiś dotychczas nieznany gatunek subtropikalny.

Wybitnie palearktyczny charakter mają nasze żółwie lądowe: *Testudo szalaei* n. sp. i *T. antiqua noviciensis* Depéret. Zarówno te żółwie, jak i cała grupa „*graeca-antiqua*“, są niewątpliwie pochodzenia azjatyckiego. Zamieszkiwały one w trzeciorzędzie ogromne obszary kontynentu eurazjatyckiego od Chin aż po zachodnią Francję. Optymalne warunki miały żółwie lądowe w pliocenie, gdy suchy i kontynentalny klimat panował na wielu obszarach tego kontynentu. W okresie tym, obok przedstawicieli grupy „*graeca-antiqua*“, żyły w Eurazji tzw. „żółwie olbrzymie“, należące do różnych innych grup, np. *Testudo perpiniana* Depéret z Rousillon oraz największy poznany dotychczas żółw lądowy *Colossochelys atlas* Falk. & Cont. z Sivalik w Himalajach, blisko spokrewniony z *Testudo* Linné. Najstarsze żółwie lądowe z grupy „*graeca-antiqua*“ znane są z Azji, pochodzą one mianowicie już z eocenu i oligocenu Mongolii i Chin (Gilmore 1933, 31; Wiman 1930, 107). Żółwie te wędrowały w trzeciorzędzie swobodnie wszędzie tam, gdzie nie napotykały na swojej drodze naturalnych barier w postaci większych rzek, mórz czy pasm górskich. Możemy zauważyć przy tym, że posuwały się one wyraźnie w kierunku zachodnim i obejmowały coraz to nowe obszary. W pewnych okolicach, pod wpływem różnych czynników, np. lokalnego mikroklimatu, ukształtowania terenu itp., powstawały mniej lub więcej wyspecjalizowane w pewnych kierunkach odmiany (rasy). Stąd właśnie pochodzi prawdopodobnie bardzo duża liczba gatunków żółwi z grupy „*graeca-antiqua*“, opisanych z górnego trzeciorzędu Europy. W większości przypadków są to z pewnością tylko rasy, czy nawet indywidualne wariacje w obrębie gatunku *Testudo antiqua* Bronn s. lat. Takim indywidualnie zmienionym osobnikiem może być nawet *T. kalksburgensis* Toulà i inne podobne żółwie kopalne o dwóch charakterystycznych płytkach suprapygalnych. Te, zdawałoby się, tak istotne zmiany cech morfologicznych występują sporadycznie u współczesnych gatunków, mających w zasadzie jedną tylko płytkę suprapygálną (Siebenrock 81)<sup>5</sup>.

<sup>5</sup> W ostatnich czasach udało mi się samemu stwierdzić obecność dwóch charakterystycznych płytek suprapygalnych typu „*kalksburgensis*“ u dorosłego osob-

Różne, tak liczne formy kopalnego *Testudo antiqua* Bronn przypominają podgatunki (rasy geograficzne) współczesnego *T. graeca* L., ugruntowane nie tak dawno przez Mertensa (1946, 54), a mianowicie: *T. graeca ibera* Pallas, *T. graeca floweri* Bodenheimer, *T. graeca zarudnyi* Nikolski, *T. graeca graeca* Linné. Wszystkie te rasy uważano dotychczas za osobne gatunki.

Ze względu na wyraźne podobieństwo w budowie pancerzy *Testudo antiqua* Bronn do *T. graeca* L. można by się w ogóle zastanowić, czy istnieje nadal podstawa do tworzenia tych dwóch osobnych gatunków i czy przypadkiem *T. antiqua* nie jest kopalną formą (podgatunkiem) właściwego żółwia greckiego. Przypuszczenie to wydaje się tym bardziej prawdopodobne, że jedyna istotna cecha, wymieniona przez Glaessnera (34), różniąca te żółwie, tj. obecność dwóch płytek suprakaudalnych, u *T. antiqua* w rzeczywistości nie występuje (p. Szalai 97, str. 375-376). Wszystkie inne różnice są mało istotne i natury raczej ilościowej; w dodatku bardzo często mają one charakter zmian indywidualnych. Z góry zastrzegam, że przypuszczenie to nie jest oparte na badaniach szczegółowych i że wymaga ono gruntownego opracowania łącznie ze zbadaniem typów wszystkich przedstawicieli kopalnych grupy „*graeca-antiqua*” i porównania ich z dużymi seriami osobników gatunków współczesnych *T. graeca* L. i *T. hermanni* Gmel.

### 3. *Testudo szalaii* n. sp. a gatunek współczesny *T. hermanni* Gmel. s. lat.

Z kolei wypada zastanowić się, czy opisany w tej pracy gatunek *Testudo szalaii* z Węzów nie jest kopalną formą *T. hermanni*. Jak zaznaczyłem na str. 169, *T. szalaii* n. sp. jest bardzo zbliżony do *T. antiqua* Bronn. Za bliskością tych form już dziś przemawiają następujące fakty:

1<sup>o</sup> oba żółwie należą do tej samej grupy „*graeca-antiqua*”,

2<sup>o</sup> pod względem morfologii pancerza są one bardzo do siebie podobne,

3<sup>o</sup> *T. szalaii* jest dotychczas jedynym trzeciorzędowym gatunkiem tego rodzaju, który ma dwie tarczki suprakaudalne, występujące u ogromnej większości przedstawicieli *T. hermanni*, nie występujące zaś u innych gatunków palearktycznych, poza bardzo nielicznymi wyjątkami patologicznymi.

---

nika, należącego do współczesnego gatunku z grupy „*graeca*” — *Testudo marginata* Schoepff. Jest rzeczą znamionną, że według Siebenrocka (81) gatunek ten nie zdradza tendencji do tworzenia podobnych odchyłeń w budowie pancerza i tego rodzaju przypadki są, być może, dość rzadkie. Powyższy przypadek opisałem w osobnej notatce, która znajduje się obecnie w druku.

Obecność dwóch tarczek suprakaudalnych jest u palearktycznych przedstawicieli rodzaju *Testudo* cechą wyraźnie progresywną, u najstarszych bowiem żółwi tej grupy występuje zazwyczaj jedna tylko tarczka. Siebenrock (85) stwierdza w roku 1916, że do tego czasu nie został poznany ani jeden żółw kopalny, należący do tego rodzaju, który by posiadał wymienione parzyste tarczki. Stwierdzenie ich obecności u żółwia z Węzów, pochodzącego ze schyłku trzeciorzędu, prawdopodobnie z górnego pliocenu, przemawia raz jeszcze za progresywnością tej cechy morfologicznej. Cecha ta powstała, być może, w wyniku jakiejś nie określonej bliżej wąskiej specjalizacji u którejs z górno-miocenów lub dolnopliocenów odmian *T. antiqua* Bronn. Powstanie tych cech i zarazem gatunku *T. szalaii* n. sp. nastąpiło prawdopodobnie w Europie środkowej. Być może, że jeszcze w pliocenie ten młody filogenetycznie gatunek nie rozprzestrzenił się szerzej po naszym kontynencie, czym możemy częściowo wytłumaczyć fakt, że nie znaleziono dotychczas jego szczątków w innych pliocenach odkrywkach europejskich.

W plejstocenie lody zepchnęły *T. szalaii* daleko na południe i wyparły go z jego dotychczasowych terenów. W czasie plejstocenu przedstawiciele gatunku o dwóch tarczach suprakaudalnych zostali rozdzieleni przez lody i barierę alpejską na dwie partie — wschodnią i zachodnią. Z tego okresu znani są już z Włoch przedstawiciele *T. hermanni* Gmel. Szczątki tego prawdopodobnie gatunku opisał Del Campa (1917, 24), z groty Monsummano, pod dawną nazwą *T. graeca* L. Przedzieleni lodową barierą i górami potomkowie *T. szalaii* żyli przez długi czas w izolacji. Ten właśnie dobrze znany w przypadku innych gatunków zwierząt fakt zoogeograficzny tłumaczy nam powstanie dwóch współczesnych ras *T. hermanni* Gmel., tj. *T. hermanni hermanni* Gmel. na wschodzie, oraz niedawno opisanej przez Vermutha (1952, 105) rasy zachodniej *T. hermanni robertmertensi* Vermuth.

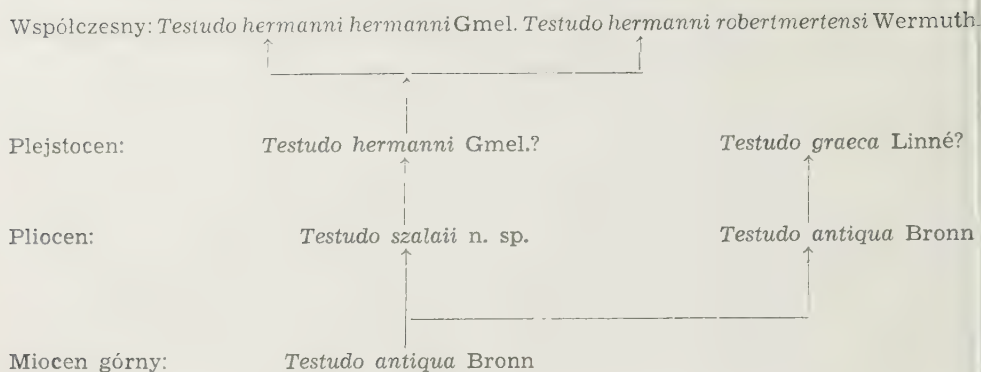
Przypuszczalną genealogię żółwi *T. szalaii* n. sp. i *T. hermanni* Gmel. przedstawiam na załączonym schemacie (p. str. 208).

#### 4. Fauna żółwi z Węzów a fauna żółwi innych europejskich znalezisk pliocenów

Gdy porównujemy faunę żółwi brekcji kostnej z Węzów z fauną innych znalezisk pliocenów, stwierdzamy od razu jej odrębny i wybitnie palearktyczny charakter.

Żółwie np. pochodzące ze słynnych złóż z zagłębia Roussillon należą do zupełnie innej grupy, niż gatunki nasze. Zwierzęta te wykazują pewne pokrewieństwo ze współczesnymi i subfosylnymi tzw. „żółwiami olbrzymimi“, występującymi na wyspach oceanicznych (Réunion, Rodrigues, Aldabra, Madagaskar) oraz w Afryce centralnej. Jest to tzw. grupa



Przypuszczalna genealogia żółwia *T. hermanni* Gmel.

malgaska. Główną, charakterystyczną cechą żółwi z Roussillon jest brak tarczki nuchalnej.

Tarczki tej nie ma również ostatnio opisany przez Theniusa (1952, 101) żółw lądowy, pochodzący z pliocenu okolic Wiednia. Za przynależnością tego zwierzęcia do jakiejś innej grupy o charakterze subtropikalnym świadczy również fakt, że jego szczątki zostały znalezione obok licznych fragmentów pancerzy rodzaju *Geoemyda* Gray i *Amyda* Geoffr. Fauna wymienionych okolic wykazuje tylko pewne podobieństwo do fauny z Węzów, gdzie rodzaj *Geoemyda* występuje bardzo rzadko. Prawdopodobnie klimat plioceński Brunn-Vösendorf różnił się bardzo od klimatu plioceńskiego Węzów. Fauna żółwi z Val d'Arno jest również wyraźnie inna, niż nasza fauna i nie ma charakteru palearktycznego. Pochodzący z tej słynnej odkrywki *Testudo globosa* Portis, o charakterystycznej, bardzo silnie sklepionej budowie karapaksu, nie ma żadnego śladu tarczki nuchalnej. Należy tu podkreślić interesujący fakt, że, w przeciwieństwie do żółwi, fauna ssaków w obu wymienionych odkrywkach jest bardzo do siebie podobna <sup>6</sup>.

Pewne podobieństwo faunistyczne zdradzają znaleziska z miejscowości Köpec i Ajnácskö na Węgrzech, gdzie również znaleziono szczątki żółwia błotnego *Emys orbicularis* (L.). Niestety, te węgierskie żółwie błotne pochodzą z całkiem innych, niż nasze szczątki tego samego gatunku, utworów geologicznych, a mianowicie z lignitów i węgla brunatnego.

Żółwie lądowe, opisane przez Hozackiego (1948, 17) z Ukrainy, nie są podobne do naszych okazów i prawdopodobnie należą do całkiem innej grupy gatunków rodzaju *Testudo*, do której można by zaliczyć poza tym *T. bessarabica* Rjab. i *T. tarakliensis* Rjab. (?).

<sup>6</sup> Dane te zawdzięczam ustnym informacjom, udzielonym mi łaskawie przez prof. dra J. Stacha.

# 5. *Żółwie a zagadnienie powstania brekcji kostnej w Wężach*

Powstanie brekcji kostnej w Wężach, o bardzo dużym nagromadzeniu kości zwierząt kręgowych, jest zagadnieniem dotychczas nie wyjaśnionym. Pewne światło na genezę brekcji rzucają znaleziska nadzwyczaj licznych fragmentów pancerzy żółwi, które nie mogły być zawleczone do grot przez jakieś zwierzęta drapieżne, gdyż, jak wiadomo, żółwie nie mają w przyrodzie wrogów, którzy by na nie polowali. Są one atakowane i pożerane przez zwierzęta ssące (np. przez wydre), w wyjątkowych tylko przypadkach, lecz jakiegoś lądowego „chelonofaga“ nie znamy. Wobec tego należy przyjąć, że szczątki żółwi dostały się do ówczesnych grot na Wzgórzu Zelcowym, z małymi wyjątkami, w inny sposób. Niektóre z żółwi mogły same powpadać do stromych szczelin i poginać nie mogąc się z nich wydostać. Podobne przypuszczenie wysunął już w roku 1934 Samsonowicz (79). W wyjątkowych tylko przypadkach szczątki żółwi mogły się dostać do obecnej odkrywki przyniesione przez wodę w czasie gwałtownych choć rzadkich deszczów, charakterystycznych dla klimatu stepowego. Wprawdzie szczelina na Wzgórzu Zelcowym jest położona nieco poniżej samego szczytu pasma wzgórz skałek jurajskich, ale mimo wszystko różnica poziomów jest tu nieznaczna (około kilkunastu metrów). W związku z tym musimy przyjąć, że tylko te szczątki zwierzęce mogły zostać przyniesione przez wodę deszczową, które wyjątkowo znajdowały się na samym szczycie wzgórza nad otworem szczeliny. W ten sposób mogły się dostać do brekcji szczątki lądowych testudinów, które wędrowały po szczycie wzgórz. Znacznie trudniej natomiast jest wytłumaczyć, skąd w omawianej brekcji wzięły się liczne szczątki żółwi słodkowodnych z podrodziny Emydinae.

Pochodzenie brekcji jest więc bardzo złożone. Zapewne upłynie jeszcze sporo czasu, zanim uda się nam rozwiązać w sposób zadowalający zagadnienie jej genezy.

*Instytut Zoologiczny P. A. N.*

*Oddział w Krakowie*

*Kraków, wrzesień 1954 r.*

## LITERATURA CYTOWANA

1. ABEL O. Palaeobiologie der Wirbeltiere. Jena 1912.
2. AHL E. Ueber eine ausgestorbene Riesenschildkröte der Insel Teneriffa. — Zschr. Dt. Geol. Ges., Bd. 77. Berlin 1925.
3. — Ueber einen weiteren Fund von Testudo burchardi Teneriffa. — Ibid., Bd. 79. Berlin 1927.
4. AMMON L. v. Schildkröten aus dem Regensburger Braunkohlenton. — Jber. Naturwiss. Ver. Regensburg, 12 (Separatbl.). 1911.
5. BATALLER J. R. Estudio de restos fosiles de tortugas recientemente encontrados en Cataluña. — Bol. Inst. Geol. Españ., vol. 46. Madrid 1925.

6. BERGOUNIOUX F. M. Monographie paléontologique de la faune des Vertébrés des sables de Montpellier: II. Chéloniens. — Trav. Lab. Géol. Univ. Lyon, fasc. 23, mém. 2. 1932.
7. — Contribution à l'étude paléontologique des Chéloniens: Chéloniens fossiles du Bassin d'Aquitaine. Soc. Géol. France, t. 11. Paris 1935.
8. — Chéloniens fossiles conservés au laboratoire de géologie de la Faculté de science de Clermont-Ferrand. — Bull. Soc. Sci. Nat. Toulouse, vol. 69, No. 1. 1937.
9. — Relations fauniques entre les Chéloniens fossiles de l'Espagne et de la France. — C.-R. Acad. Sci., vol. 204. Paris 1937.
10. BODA A. Clemmydopsis sopronensis n. g., n. sp. aus der unteren pannonischen Stufe von Sopron in Ungarn. — Zbl. Miner. etc. 1927.
11. BOJANUS L. H. Anatome Testudinis europaeae. Vilnae 1819/21.
12. BOULANGER G. A. Catalogue of the Chelonians, Rhynchocephalians and Crocodiles in the British Museum (Nat. Hist.) London 1889.
13. — Sur la place de Chéloniens dans la classification. — C.-R. Acad. Sci. Paris, t. 167. 1918.
14. BRONN H. G. Testudo antiqua, eine im Süßwasser-Gypse von Hohenhöwen untergegangene Art. — Nova Acta Leopold. (Acad. Leop.-Carol.), 15. 1831.
15. BURCHARD O. & AHL E. Neue Funde von Riesen-Landschildkröten aus Teneriffa. — Zschr. Dt. Geol. Ges., Bd. 79. 1927.
16. CHOZACKIJ (HOZACKIJ) L. I. Nazemnaja čerepacha iz meotičeskich otloženijs Krima. — Dokl. Akad. Nauk SSSR, t. 58. 1947.
17. — Novye vidy roda Testudo Linné (Testudines-Reptilia) iz pliocena Ukrainy. — Bjul. Kom. Izuč. četv. perioda Akad. Nauk SSSR, No. 11. 1948.
18. — Ob ostatkach čerepach iz sarmata Krima. — Bjul. Mosk. Obsč. Ispyt. Priro. (Geol.), t. 23. 1948.
19. — O gigantiskich čerepachach pliocena Ukrainy. — Dokl. Akad. Nauk SSSR, t. 64, No. 3. 1949.
20. COKER R. E. Diversity in the scutes of Chelonia. — Journ. Morphol., vol. 21. 1901.
21. CUVIER G. Recherches sur les ossements fossiles. Paris 1824/35.
22. ČERNOV S. A. Presmykajuščiesja Reptilia w: Životnyj mir SSSR pod red. Ogneva, t. 4. Moskva-Leningrad 1953.
23. DAQUÉ E. Die fossilen Schildkröten Aegyptens. — Geol.-Paläont. Abh. N. F. 10, H. 4. Jena 1912.
24. DEL CAMPONA D. Sopra alcuni resti di Testudo graeca Linn. nel quaternario di Monsummano. — Rev. Ital. Palaeont., A. 23, fasc. I-2. Parma 1917.
25. — Resti di Testudo nel miocene superiore di Capudjlar presso Salonico. — Boll. Soc. Geol. Ital. 36. 1917.
26. DEPÉRET CH. Über Fauna von miocänen Wirbeltieren aus der ersten Mediterraneanstufe von Eggenburg. — S. B. Akad. Wiss. Wien, Math.-Nat. Kl. Abt. 1. Bd. 104. 1895.
27. DEPÉRET CH. & DONNEZAN A. Ordre de Chéloniens dans les: „Animaux pliocènes de Roussillon“. — Mém. Soc. Géol. de France, 3. Paris 1890.
28. DITMARS R. Reptiles of North America. New York 1946.
29. FRAAS O. Die Fauna von Steinheim. — Jhefte Ver. Naturf. Württemberg. 1870.
30. FUCHS E. Die Schildkrötenreste aus dem Oberpfälzer Braunkohlentertiär. — Palaentographica, Bd. 89, Abt. A. 1939.
31. GILMORE C. W. The fossil Turtles of Unita formation. — Mem. Carnegie Mus. vol. 7. Washington 1916.



32. GILMORE C. V. Fossil Turtles of Mongolia. — Bull. Amer. Mus. Nat. Hist., vol. 59. New York 1929/33.
33. GLAESSNER M. Neue Emydenfunde aus dem Wiener Becken und die fossilen Clemmys-Arten des Mittelmeergebietes. — S. B. Akad. Wiss. Wien, Bd. 135. Abt. 1. 1926.
34. — Die Tertiärschildkröten Niederösterreichs. — N. Jb. Miner. etc. Beil.-Bd. 69, Abt. B. 1933.
35. — Bemerkungen zur tertiären Schildkrötenfauna Ungarns. — Zbl. Miner. etc., Abt. B. 1935.
36. GOLLIEZ H. & LUGEON M. Note sur quelques Chéloniens nouveaux de la Molasse Langhienne de Lausanne. — Mém. Soc. Paléont. Suisse, vol. 16. 1889.
37. HABERLANDT G. Testudo praeceps n. sp., die erste fossile Landschildkröte aus dem Wiener Becken. — Jb. Geol. R.-A., 26. Wien 1881.
38. HAY O. P. Fossil Turtles of North America. — Carnegie Inst. Publ., No 75 Washington 1908.
39. HERNANDEZ-PACHECHO E. Hallazgo de Tortugas gigantes en el Mioceno de Alcalá de Henares. — Bol. Soc. Esp. Hist. Nat., vol. 17. Madrid 1917.
40. HOENERS R. Neue Schildkrötenreste aus dem steierischen Tertiärlagerungen. — Verh. Geol. R.-A., Bd. 41 (1891). 1892.
41. HOFFMAN C. K. Schildkröten in: Bronn's Klassen und Ordnungen des Thierreiches. Leipzig 1890.
42. HOOLEY R. On a new tortoise from the Lower Headon beds of Hordwell: Nicoria headonensis n. sp. — Geol. Mag., vol. 2. London 1905.
43. HUMMEL K. Allgemeine Studien über die fossile Weichschildkröten Trionychia. — Paläont. Zschr., Bd. 10. 1928.
44. — Schildkröten aus der mitteleozänen Braunkohle des Geiseltales. — Nova Acta Leopold., Bd. 2, H. 3/4 (N. F.). Halle 1935.
45. KOCH A. A beocsini czemetmárgából kikerült teknősmaradványok leírása (auch deutsch. Text). — Ann. Mus. Nat. Hungar., vol. 2. Budapest 1904.
46. KORMOS T. Die pliozänen Schichten von Ajnácskö und ihre Fauna. — M. Kir. Földt. Int. Evkőn. — Jb. K. Ungar. R.-A., B. 2. 1915.
47. KREFFT P. Das Terrarium (2-te Aufl.). Berlin 1926.
48. LINDHOLM W. A. Revidiertes Verzeichnis der Gattungen der rezenten Schildkröten nebst Notizen zur Nomenklatur einiger Arten. — Zool. Anz., Bd. 81. 1929
49. LÖRENTY E. Zwei neue Schildkröten aus dem Eocän von Kolozsvár. — Földt. Közl., vol. 33. 1903.
50. LYDEKKER R. Sivalik and Narboda Chelonia. — Palaeont. Indica, Ser. X, vol. III. Calcutta 1886.
51. — Catalogue of the fossil Reptilia and Amphibia in the British Museum (Nat. Hist.). Part 3. London 1889.
52. MAACK G. A. Die bis jetzt bekannten fossilen Schildkröten. — Palaeontographica, Cassel 1868/69.
53. MACAROVICI N. G. Sur une Testudo bessarabica Rjab. trouvée dans les couches méotiques de Cioburiciu (Dép. Tighina-Roumanie). — Bull. Acad. Roum., vol. 13. 1930.
54. MERTENS R. Über einige mediterranen Schildkröten-Rassen. — Senckenbergiana, 207. 1946.
55. MEYER H. v. Schildkröten und Säugethiere aus der Braunkohle von Turnau in Steiermark. — Palaeontographica, Bd. 6. Cassel 1856/58.

56. MEYER H. v. Individuelle Abweichungen bei *Testudo antiqua* und *Emys europaea*. — *Ibid.*, Bd. 15. Cassel 1865/68.
57. MŁYNARSKI M. Żółw błotny *Emys orbicularis* (L.) z pliocenu Polski (Portoise *Emys orbicularis* (L.) from the Pliocene of Poland). — *Acta Geol. Pol.* vol. III/4. 1953.
58. NEWMANN H. H. Significance of scute and plate abnormalities in *Chelonia*. — *Biol. Bull.*, vol. 10. 1906.
59. — Correlated abnormalities in the scutes and bony plates of *Chelonia*. — *Science*, vol. 23. 1906.
60. NEWTON A. On the discovery of ancient remains of *Emys lutaria* in Norfolk. — *Ann. Mag. Nat. Hist.*, ser. geol. 3, vol. 10. London 1862.
61. PANTANELLI D. Ulteriori osservazioni sul giacimento della *Testudo Amiatina*. — *Atti Soc. Toscana Sci. Nat.*, Mem. 12. Firenze 1892.
62. PETERS C. Schildkrötenreste des Miocäns von Eibiswald. — *Denkschr. Akad. Wiss., Mat.-Naturwiss. Cl.*, Bd. 29. 1868.
63. PEYER B. Fossile Riesenschildkröten aus der Süßwassermolasse der Umgebungen von Zürich. — *Schweiz. Paläont. Abh.*, Bd. 62. No. 2. 1942.
64. PICTET F. J. *Traité de paléontologie française*, t. 1. Paris 1853.
65. PICTET F. J., GAUDIN C., DE LA HARPE PH. Animaux vertébrés trouvés dans le terrain sidérolitique du Canton de Vaud. — *Mat. Paléont. Suisse*, sér. 1. Genève 1855/57.
66. PICTET F. J. & HUMBERT A. *Monographie des Chéloniens de la Molasse suisse*. — *Ibid.*, 1856.
67. — *Emydine nouvelle (Emys etalloni) du terrain jurassique supérieur*. — *Ibid.*, 1857.
68. PING CH. A new fossil Land-turtle from Honan. — *Bull. Geol. Soc. China* vol. 8. Peiping 1929.
69. — Notes on the shell of a Land Tortoise from the ancient ruins of Annyang. — *Bull. Fan Mem. Inst. Biol.*, vol. 1. Peiping 1930.
70. PORTIS A. Di alcuni fossili terziari del Piemonte e della Liguria appartenenti all'ordine Chelonii. — *Mem. R. Acad. Sci.*, vol. 33. Torino 1879.
71. — *Les Chéloniens de la Molasse Vaudoise*. — *Mém. Soc. Paléont. Suisse* Genève 1882.
72. — *I Rettili pliocenici del Val d'Arno superiore*. Firenze 1890.
73. PURSCHKE C. A. *Clemmys sarmatica* n. sp. aus dem Tegel von Hernals bei Wien. — *Denkschr. Akad. Wiss., Mat.-Nat. Cl.*, Bd. 50. Wien 1885.
74. REINACH A. v. Schildkrötenreste im Mainzer Tertiärbecken und in benachbarten ungefähr gleichaltrigen Ablagerungen. — *Abh. Senckenberg. Naturh. Ges.*, Bd. 28. 1900.
75. RJABININ A. N. O čerepachach iz meotičeskich otloženíj Bessarabii. — *Tr. Geol. Miner. Muz. Ros. Akad. Nauk.*, t. 1, vyp. 1. 1918.
76. — *Testudo turgaica* nov. sp. iz srednego miocena Turgajskoj oblasti. — *Tr. Geol. Muz. SSSR*, vyp. 1. 1926.
77. — *Testudo bosporica* n. sp. — *Ežegodn. Vseros. Paleont. Obšč.* 1945.
78. — *Novye nachodki iskopaemych reptilij v Krymu*. — *Priroda*, No. 11. 1946.
79. SAMSONOWICZ J. Zjawiska krasowe i trzeciorzędowa brekcja kostna w Węzłach pod Działoszynem (Sur les phénomènes karstiques et la brèche osseuse de Węże près Działoszyn sur la Warta). — *Zabytki Przyr. Nieożyw.* Nr 3. 1934.
80. SCHARFF R. S. *European animals, their geological history and geographical distribution*. London 1907.

81. SIEBENROCK F. Zur Kenntnis der mediterranen Testudo-Arten und über ihre Verbreitung in Europa. — Zool. Anz., Bd. 33. 1906.
82. — Synopsis der rezenten Schildkröten mit Berücksichtigung der in historischer Zeit ausgestorbenen Arten. — Zool. Jb., Suppl. 10. 1909.
83. — Schildkröten aus Syrien und Mesopotamien. — Ann. Naturhist. Hofmus., Bd. 28. Wien 1913.
84. — Testudo kalksburgensis Toula aus dem Leitha-Gebirge. — Jb. K. K. R.-A., Bd. 64. 1914.
85. — Die Schildkröten Niederösterreichs vor der Eiszeit. — Bl. Naturk. u. Natursch. Niederöstr., Bd. 3. Wien 1916.
86. — Emydura maquarrii und die systematische Wert des Nuchalschildes bei der Schildkröten. Zool. Anz., Bd. 50. 1919.
87. STACH J. Arctomeles pliocaenicus, nowy rodzaj i gatunek z podrodziny borsukowatych (Arctomeles pliocaenicus n. g. & sp. from Weże). — Acta Geol. Pol., vol. II/1-2. Warszawa 1952.
88. — Ursus wenzensis, nowy gatunek małego niedźwiedzia plioceńskiego (Ursus wenzensis n. sp., a new species of small Pliocene bear). — Ibid. vol. III/1. Warszawa 1953.
89. — Nyctereutes (Canidae) w pliocenie Polski (Nyctereutes (Canidae) in the Pliocene of Poland). — Ibid., vol. IV/2. Warszawa 1954.
90. STAESCHE K. Die Schildkröten des Steinheimer Beckens. — Palaeontographica, Suppl. — Bd. 8, Teil 2. 1931.
91. SZALAI T. Bionomische und methodologisch-systematische Untersuchungen an rezenten und fossilen Testudinaten. — Palaeobiologica, Bd. 3. 1930.
92. — Ueber Clemmys hemisphaerica Gilmore. — Földt. Közl., Bd. 61. 1931.
93. — Verzeichnis der ungarischen Testudinaten. — Ibid., vol. 62. 1932.
94. — Schildkrötenstudien. — Ann. Naturhist. Mus., Bd. 46. Wien 1932/33.
95. — Die fossilen Schildkröten Ungarns. — Folia Zool. Hydrobiol., vol. 6. Riga 1934.
96. — Antwort auf M. F. Glaessners „Bemerkungen zur tertiären Schildkrötenfauna Ungarns“. — Zbl. Miner. etc., Abt. B. 1935.
97. — Testudo Lambrechtii Szalai. — Folia Zool. Hydrobiol., vol. 7. Riga 1935.
98. — Testudo Strandii nov. sp., eine Riesenschildkröte aus dem Miozän von Szurdokspüspöki (Ungarn). Bemerkungen zur Frage der Insulation. — Festschr. Embrik Strand, vol. 1. Riga 1936.
99. — Fossile Testudo-Reste aus dem Pleistozän Maltas. Gedanken über sogenanntes nordisches Entstehungszentrum der Tiere. — Ann. Mus. Nat. Hungar., vol. 31, pars Miner., Palaeont., Geol. 1937/38.
100. — Beschreibung einer ?Emys sp. aus dem Limnoquarzit vom Rátaka'er Sarmatien (Ungarn) — Festschr. Embrik Strand, vol. 5 (Schluss-Band). Riga 1939.
1. THENIUS E. Die Schildkröten (Testudinata) aus dem Unterpliozän von Brunn-Vösendorf bei Wien. — N. Jb. Geol. etc., Bd. 7. Stuttgart 1952.
2. — Eine Riesenschildkröte aus dem Helvet (Mittel-Miozän) von Grund (N. Oesterr.). — Sitz.-B. Math.-Nat. Klasse vom 26. Febr. 1953. Oesterr. Akad. Wiss. 1953.
3. TOULA F. Ueber neue Wirbeltierreste aus dem Tertiär Oesterreichs Rume-liens. — Zschr. Dt. Geol. Ges., Bd. 48. 1896.
4. WEGNER R. N. Tertiär und umgelagerte Kreide bei Oppeln (Oberschlesien). — Palaeontographica, Bd. 60. 1913.



105. WERMUTH H. *Testudo hermanni robertmertensi* n. subsp. und ihr Vorkommen in Spanien. — *Senckenbergiana* Bd. 33. 1952.
  106. WILLIAMS E. A new fossil tortoise from Mona Island West Indies, and a tentative arrangement of the Tortoises of the world. — *Bull. Amer. Mus. Nat. Hist.*, vol. 99. New York 1952.
  107. WIMAN C. Fossile Schildkröten aus China. — *Palaeont. Sinica*, C. 6, 3. 1936.
  108. ZANGERL R. The homology of shell elements in Turtles. — *Journ. Morphol.* vol. 65. 1939.
  109. — The methods of comparative anatomy and its contribution to the study of evolution. — *Evolution*, vol. 2, No. 4. 1948.
-

## O nowym trylobicie z rodzaju *Ceraurus* i znaczeniu kolców głowowych w ontogenezie i filogenezie trylobitów

TREŚĆ: Wstęp. — I. Opis *Ceraurus intermedius* n. sp. i jego larw: *Ceraurus intermedius* n. sp.: A. Formy dorosłe, B. Larwy — II. Uwagi o kolcach brzeżnych cefalonu trylobitów: A. Występowanie kolców głowowych u larw; B. Występowanie kolców głowowych u form dorosłych; C. Interpretacje i wnioski — Literatura cytowana

### WSTĘP

Opisany w niniejszej notatce gatunek pochodzi z górnego ordowiku (Ashgill, poziom ze *Staurocephalus clavifrons*) z miejscowości Brzezinki pod Mąchocicami (arkusz Kielce) i Wólka pod Nową Słupią (arkusz Bodzentyn) w Górach Świętokrzyskich.

Fauna górnego ordowiku w Górach Świętokrzyskich została odkryta przez J. Czarnockiego (1939, 6)\*. Materiały zebrane przez Czarnockiego w 1938 r. w Wólce, a następnie w 1939 r. w nowoodkrytym punkcie w Brzezinkach, uległy częściowemu zniszczeniu w czasie działań wojennych. W roku 1951 J. Czarnocki przekazał mi ocalałą część materiałów. W latach 1952 i 1953 powtórzyłam w terenie eksploatację skamieniałości w wymienionych miejscowościach. Prace terenowe wymagające zastosowania poważnych robót ziemnych prowadziłam z ramienia Instytutu Geologicznego. Z zebranych skamieniałości wydzieliłam trylobity, które stanowić będą przedmiot opracowania monograficznego.

Niniejsza notatka obejmuje opis jednego tylko gatunku. Ze względu na znaczenie teoretyczne zachowanych stadiów ontogenetycznych opracowanie to wyodrębniłam jako poświęcone zagadnieniu specjalnemu.

Prace kameralne wykonałam w roku 1954 w Zakładzie Paleozoologii Polskiej Akademii Nauk, kierowanym przez Prof. R. Kozłowskiego.

---

\* Liczby kursywą w nawiasach odsyłają do spisu literatury na końcu artykułu.

W toku opracowywania tematu miałam możność przedyskutowania licznych kwestii dotyczących mej pracy z Profesorem Kozłowskim, któremu w tym miejscu składam wyrazy podziękowania.

Dziękuję też Dyrekcji Instytutu Geologicznego, a w szczególności Dyr. B. Areniowi, za życzliwe ustosunkowanie się do mej pracy w terenie oraz za cenne wskazówki dotyczące punktów występowania fauny. Dr. A. Přibylowi z Pragi dziękuję za przesłanie mi fotokopii dwóch prac, których brak było w bibliotekach polskich. Pani M. Czarnockiej dziękuję za wykonanie zdjęć fotograficznych.

#### I. OPIS *CERAURUS INTERMEDIUS* N. SP. I JEGO LARW

Nadrodzina **Cheiruroidae** Öpik, 1937

Rodzina **Cheiruridae** Corda, 1847

Podrodzina **Cheirurinae** Raymond, 1913, emend. Öpik, 1937

Rodzaj *Ceraurus* Green, 1832

*Ceraurus intermedius* n. sp.

(pl. I, II; fig. 1, 2 w tekście)

1906. *Cheirurus insignis* Beyrich; Olin (15), s. 45, pl. I, fig. 8

*Holotypus*: cefalon, pl. I, fig. 7.

*Paratypi*: pl. I, fig. 1-6 i 8; pl. II, fig. 1-6.

*Locus typicus*: Polska, Góry Świętokrzyskie, Wólka.

*Stratum typicum*: ordowik, ashgill, poziom ze *Staurocephalus clavifrons*.

*Derivatio nominis*: gatunek o cechach pośrednich między rodzajami *Ceraurus* i *Cheirurus*.

*Materiał*. — Około 30 kranidiów, liczne policzki ruchome. 1 cefalon jako negatyw, liczne fragmenty toraksu, 8 pygidiów. Wszystkie okaz bez pancerza, nieco spłaszczone.

*Diagnoza*. — Zarys cefalonu półkolisty, szerokość glabelli u podstawy mniejsza niż jedna trzecia szerokości cefalonu. Bruzdy boczne przecinające jedną trzecią lub mniej niż jedną trzecią szerokości glabelli. Płaty podstawowe trójkątne. Limbus z przodu glabelli bardzo wąski (sag.)<sup>1</sup>, obecny tylko w młodych stadiach. Długość kolców policzkowych równa 3/4 długości cefalonu. Jedna para kolców pygidialnych w przedłużeniu pierwszej pleury. Kolce 2,4 razy dłuższe niż długość pygidium.

<sup>1</sup> Skróty oznaczają, zgodnie z międzynarodowymi zasadami przyjętymi przy opisywaniu trylobitów, następujące kierunki pomiarów: sag. (sagitalny) — poprzeczny, przechodzący przez oś; exsag. (ekssagitalny) — podłużny, równoległy do osi; tr. (transwersalny) — poprzeczny, prostopadły do osi.



A. *Formy dorosłe**Opis szczegółowy*

*Cefalon.* — Zarys cefalonu półkolisty, długość waha się od 0,7 mm (stadium meraspis) do 12 mm. Szerokość glabelli u podstawy mniejsza, niż 1/3 szerokości cefalonu. Bruzdy grzbietowe bardzo głębokie, od segmentu potylicznego do trzeciej bruzdy bocznej biegną prawie równolegle odchylając się tylko bardzo nieznacznie na zewnątrz; dokoła płata czołowego uwypuklają się półkoliście, silniej. Stosunek szerokości podstawy glabelli do szerokości płata czołowego wynosi 1 : 1,2. Długość płata czołowego nieco mniejsza, niż połowa długości glabelli (bez pierścienia potylicznego). Pierwsza bruzda boczna skierowana jest skośnie ku tyłowi; przy bruzdach grzbietowych jest bardzo głęboka, po czym spłyca się i zagina silnie ku tyłowi jako płytki rowek dochodzący do bruzdy potylicznej. Płaty podstawowe trójkątne. Bruzda druga i trzecia są równoległe do siebie, poziome, przecinają jedną trzecią lub mniej szerokości glabelli. Bruzda potyliczna jest bardzo głęboko wcięta przy bruzdach grzbietowych, w części środkowej spłyca się i wygina silnie ku przodowi, tak że szerokość pierścienia potylicznego (sag.) wzrasta tu dwukrotnie. Po środku pierścienia, przesunięty nieco ku przodowi, niewielki guz potyliczny. Limbus z przodu glabelli widoczny tylko w młodych stadiach, szerokość jego (sag.) wynosi 0,09 mm przy 2,4 mm długości cefalonu. Limbus na policzkach wypukły, bruzda brzeżna wyraźna, spływająca się przy kącie policzkowym. Bruzda oddzielająca pleurę segmentu potylicznego wąska i głęboka przy bruzdach grzbietowych, ku peryferii poszerza się i spłyca. Kąty policzkowe przedłużają się w kolce podzielone płytką bruzdą podłużną na dwie listwy. Długość kolca równa trzem czwartym długości cefalonu. Szew okrąża płat czołowy, na wysokości trzeciej bruzdy bocznej odchyła się nieco na zewnątrz, otacza mały płat powiekowy, po czym, kierując się ku peryferii policzka, wygina się ku przodowi, dochodzi do bruzdy brzeżnej i przecina limbus skośnie ku tyłowi. Przy 7 mm długości cefalonu, płat powiekowy ma długość 0,46 mm i sięga od trzeciej bruzdy bocznej do połowy przedostatniego płata glabelli. W miarę wzrostu cefalonu oko cofa się bardziej ku tyłowi sięgając przy 12 mm długości cefalonu do pierwszej bruzdy bocznej. Płat powiekowy silnie wypukłony. Przy 12 mm długości cefalonu i 2,2 mm długości płata wzrostowego, pokrywa go ok. 300 sześciokątnych, ściśle przylegających do siebie soczewek, o średnicy 0,07 mm. Policzek ruchomy niewielki, trójkątny. Hypostom, zachowany jedynie w formie niewyraźnego odcisku na różnych okazach (por. pl. I, fig. 5 i pl. II, fig. 6), dochodził do bruzdy potylicznej.

*Toraks.* — Obejmuje 11 segmentów, pleury wyciągnięte w kolce. Stosunek szerokości osi (tr.) do szerokości pleury (tr.) wraz z kolcem wy-

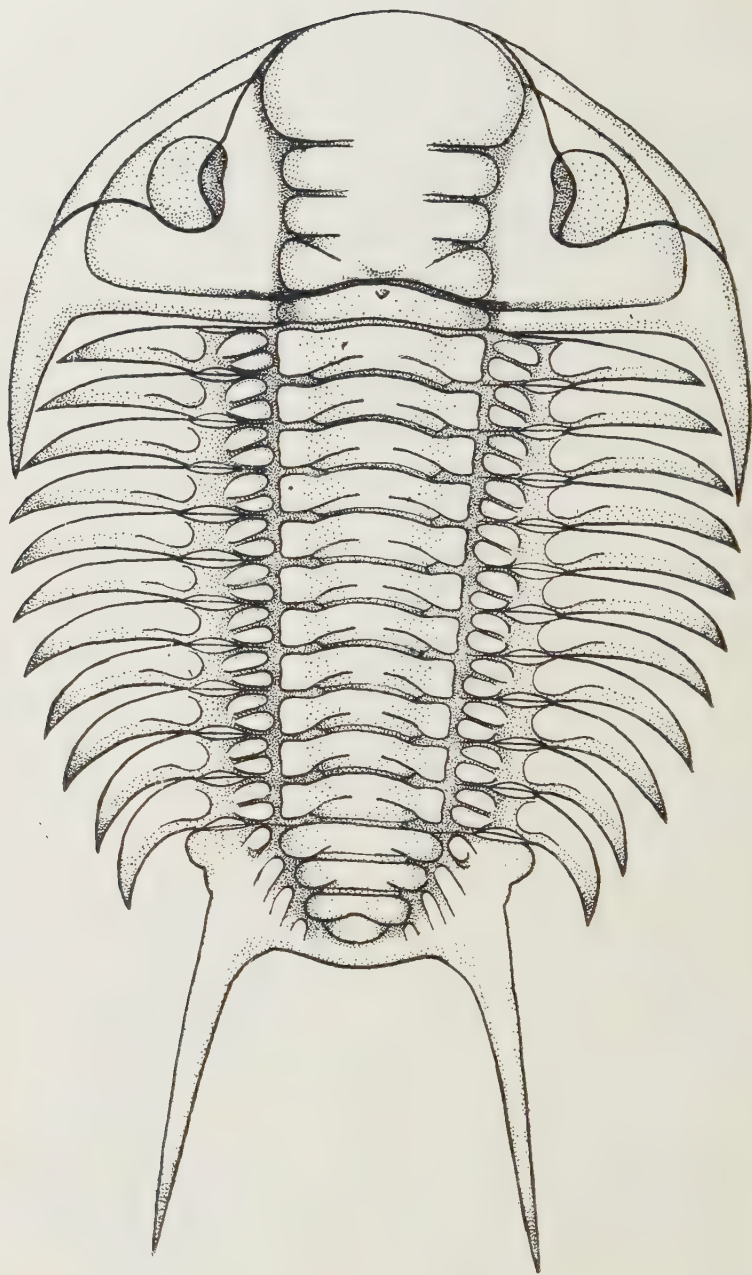


Fig. 1

*Ceraurus intermedius* n. sp. — rekonstrukcja ( $\times 3.5$ )

nosi 1 : 1.36. Pierścienie osi są płaskie w części środkowej, w pobliżu bruzd grzbietowych uwypuklają się i poszerzają wyginając się nieco ku przodowi. Bruzdy oddzielające pierścienie są szerokie w części środkowej, w pobliżu bruzd grzbietowych zwężają się i pogłębiają zaginając się jednocześnie ku przodowi. Każda pleura podzielona jest zwężeniem na część wewnętrzną i część zewnętrzną. W punkcie zwężenia znajduje się na pleurze guz. Stosunek długości (tr.) części wewnętrznej, mierzonej od bruzdy grzbietowej do środka guza, do części zewnętrznej wynosi 1 : 2,8. Część wewnętrzna podzielona jest skośną bruzdą na dwie bardzo wypukłe powierzchnie trójkątne. Brzegi (przedni i tylny) części wewnętrznej opatrzone są listewkami, położonymi we wgłębieniu i przylegającymi do odpowiednich listewek sąsiadującego segmentu. Ku peryferii, w punkcie połączenia z listewką sąsiadującego segmentu, listewki unoszą się nieco ku górze. Część zewnętrzna pleury tworzy lancetowaty kołec pleuralny, przez którego środek przebiega płytka bruzda podłużna (tr.). Kolce te na przednich segmentach odgięte tylko nieznacznie ku tyłowi, na dalszych zaginają się w tym kierunku coraz silniej. Zewnętrzna część pleury zachowana jest na wszystkich okazach tylko jako odcisk duplikatury, która się pod nią rozciągała.

*Pygidium.* — Długość pygidium wynosi 3,7 mm przy 9 mm długości cefalonu. Stosunek długości do szerokości pygidium wynosi 1 : 2,4. Oś jest silnie uwypuklona, szerokość jej mieści się w szerokości pygidium 2,2 razy. Oś obejmuje cztery pierścienie, z których pierwszy jest najbardziej uwypuklony, bruzda zaś oddzielająca go od następnego pierścienia jest bardzo szeroka. Następne pierścienie są bardziej płaskie i bruzdy oddzielające je węższe. Ostatni segment tworzy półkoło zakończające oś, która nie dochodzi do końca pygidium. Na płatach bocznych widoczne są trzy pleury. Przed pierwszą pleurą z przodu pygidium znajduje się wklęsła powierzchnia, rozszerzająca się ku peryferii w postaci półokrągłego krzydelka, poszerzającego w tym miejscu zarys pygidium. Pierwsza pleura jest bardzo duża, zajmuje znaczną część powierzchni płatów bocznych. Odchodzi ona od pierwszego pierścienia, kierując się silnie ku tyłowi, i podzielona jest, podobnie jak część wewnętrzna pleury toraksu, bruzdą skośną na dwie silnie uwypuklone powierzchnie. W przedłużeniu pierwszej pleury znajduje się kołec pygidialny, podzielony bruzdą podłużną na dwie części. Długość kolca wynosi 6,1 mm przy 2,7 mm długości pygidium. Pleury, druga i trzecia, zaznaczone są jedynie w postaci wypukłych wzniesień, skierowanych skośnie ku tyłowi. Oddzielające je bruzdy, głębokie przy bruzdach grzbietowych, spływają się ku peryferii. Czwarta pleura niewidoczna. Kontur tylnej części pygidium, zawartej między kolcami, tworzy płaski łuk.



**Ornamentacja.** — Wszystkie okazy zachowane są w formie wewnętrznych ośródek. Na negatywach zachowały się dołki, świadczące o istnieniu drobnych guzków, które pokrywały równomiernie cały cefalon, toraks i pygidium. Średnica ich wynosi 0,01 do 0,07 mm, przy 12 mm długości cefalonu. Prócz tej granulacji powierzchnia policzków (bez limbusa i pleur segmentu potylicznego) pokryta jest dołkami o średnicy 0,01 do 0,2 mm, przy 12 mm długości cefalonu. Na pozytywach ośródek zachowały się jedynie dołki na policzkach, powierzchnia zaś pozostałych części robi na pozytywie wrażenie gładkiej.

**Podobieństwa i różnice.** — Kranidium opisane przez Oliną (1906, 15, str. 45, pl. I, fig. 8) jako *Cheirurus insignis* Beyrich, różni się od *Cheirurus insignis* Beyrich z Czech szerszymi policzkami i dłuższymi kolcami policzkowymi zbliżając się w ten sposób do *Ceraurus intermedius* n. sp. Dlatego też pozycję tę umieszczam w synonimice nowego gatunku. Z drugiej strony, Olin w synonimice *Cheirurus insignis* umieszcza pozycję *Cheirurus insignis*, Törnquist, 1884, Siljansområdens ..., str. 12, pl. I, fig. 9. Kranidium opisane przez Törnquista poddała następnie rewizja Warburg (1925, 45, str. 348, pl. IX, fig. 8-9) zaliczając je do nowego gatunku: *Cheirurus törnquisti* Warburg. *Ceraurus intermedius* n. sp. różni się od *Cheirurus törnquisti* Warburg szerszymi policzkami i dłuższymi kolcami policzkowymi. *Cheirurus insignis* Beyrich z Bornholmu, cytowany przez Ravna (1899, 21, str. 56) bez podania ilustracji, należy prawdopodobnie także do *Ceraurus intermedius* n. sp., gdyż autor wspomina o jego długich kolcach policzkowych, przy określeniu zaś stawia znak zapytania. Jest więc prawdopodobne, że *Cheirurus insignis* Beyrich na terenie Polski, Bornholmu i Szwecji w ogóle nie występuje.

Cefalon *Ceraurus intermedius* n. sp. wykazuje cechy pośrednie między cefalonami rodzajów *Ceraurus* i *Cheirurus*, co wykazuje tabela na str. 221.

Do różnic wyszczególnionych w tabeli, opartych na definicji Raymond i Barton (1913, 29, str. 526-527), Warburg dodaje (1925, 45, str. 340), że u wszystkich gatunków rodzaju *Ceraurus* z przodu glabelli wykształcony jest brzeg (limbus), którego brak u rodzaju *Cheirurus*. Jednakże Troedsson (1928, 43, str. 65) podaje, że u typowych przedstawicieli rodzaju *Ceraurus* z północno-wschodniej Grenlandii brak jest limbusa z przodu glabelli. Cefalon nowego gatunku ma cechy pośrednie między tymi dwoma rodzajami, jeśli natomiast idzie o pygidium, to jest ono wśród Cheiruroidea niesłychanie zmienne. Jednakże ostatnio Prantl i Přibyl (1947, 18), wyróżniając podrodzaje w obrębie rodzaju *Cheirurus* opierają się w znacznym stopniu na cechach budowy pygidium. Już w roku 1896 Reed (30, str. 117) wyróżnił w szeroko pojętym rodzaju *Cheirurus* jedną grupę gatunków o pygidium typu *Cheirurus insignis*.

Porównanie cefalonów: *Ceraurus* Green, *Ceraurus intermedius* n. sp. i *Cheirurus* Beyrich

<i>Ceraurus</i> Green	<i>Ceraurus intermedius</i> n. sp.	<i>Cheirurus</i> Beyrich
Glabella zazwyczaj grubo granulowana, szerokość jej mniejsza, niż $\frac{1}{3}$ szerokości cefalonu	Glabella drobno granulowana, szerokość jej nieco tylko mniejsza, niż $\frac{1}{3}$ szerokości cefalonu	Glabella zazwyczaj drobno granulowana, szerokość jej równa lub większa, niż $\frac{1}{3}$ szerokości cefalonu
Bruzdy boczne przecinają mniej niż $\frac{1}{3}$ szerokości glabelli	Bruzdy boczne przecinają $\frac{1}{3}$ lub nieco mniej szerokości glabelli	Bruzdy boczne przecinają $\frac{1}{3}$ lub więcej szerokości glabelli
Pierwsza bruzda boczna zagięta pod kątem prostym	Pierwsza bruzda boczna skośnie skierowana, nieco zagięta	Pierwsza bruzda boczna skośnie skierowana
Płaty podstawowe czworokątne	Płaty podstawowe trójkątne	Płaty podstawowe trójkątne

Drugą zaś — o pygidium typu *Cyrtometopus*. Ta ostatnia grupa stała się podstawą dla Raymonda i Bartona (1913, 29, str. 527) do wyróżnienia rodzaju *Cyrtometopus*.

Pygidium nowego naszego gatunku, o typowej dla rodzaju *Ceraurus* budowie, przesądza o zaliczeniu go do tego właśnie rodzaju.

### B. Larwy

*Materiał.* — Dwa kranidia w stadium meraspis. Okaz Nr 1 nieco płaszczony, z zachowanymi trzema kolcami z prawej strony; okaz Nr 2 niespłaszczony, z zachowanymi kolcami: przednim i policzkowym z prawej strony, a z ułamanym kolcem środkowym (por. fig. 2).



Fig. 2

Larwy trylobita *Ceraurus intermedius* n. sp. — stadium meraspis  
a okaz Nr 1, b okaz Nr 2 (wymiary podane na str. 222)

Wymiary:	Okaz Nr 1 mm	Okaz Nr 2 mm
Długość cefalonu	0,7	1
Szerokość cefalonu	1,4	1,7
Długość glabelli	0,57	0,77
Szerokość limbuse przed glabellą (sag.)		0,06
Szerokość glabelli u podstawy	0,27	0,4
Szerokość płata czołowego	0,34	0,5
Długość pierwszego kolca bocznego	0,46	0,38
Długość drugiego kolca bocznego	0,3	
Długość kolca policzkowego	0,53	0,3

Zarys tarczy jest węższy niż półkole. Bruzdy grzbietowe głęboko wcięte. Glabella w profilu poprzecznym silnie uwypuklona. Pierścień potyliczny szeroki (sag.). Trzy krótkie bruzdy boczne: pierwsza głęboka skierowana skośnie ku tyłowi i nie dochodząca do bruzdy potylicznej, druga i trzecia — poziome. Z przodu glabelli wyraźny płaski limbus. Szew biegnie wokół glabelli, w połowie długości płata czołowego odchyli się na zewnątrz, na wysokości trzeciej bruzdy bocznej gwałtownie zagię na się pod kątem ostrym i kieruje się ku peryferii, skośnie ku przodowi. Nie zachowały się policzki ruchome i oczy. Policzki stałe duże, silnie uwypuklone. Pleura segmentu potylicznego wypukła, bruzda potyliczna głęboka. Limbus słabiej uwypuklony, niż pleura segmentu potylicznego, bruzda brzeżna płytsza, niż bruzda potyliczna. Kolec policzkowy długi skierowany w bok i ku tyłowi. Przed kolcem policzkowym, na zewnętrznym brzegu policzka stałego, dwa kolce; przedni, umieszczony w przedłużeniu tylnej gałęzi szwu twarzowego, w przednim bocznym kącie cefalonu i skierowany skośnie ku przodowi i w bok; tylny, krótszy, umieszczony z przodu bruzdy potylicznej, skierowany w bok i nieco ku tyłowi. Cała powierzchnia glabelli i policzków pokryta drobnymi guzeczkami.

## II. UWAGI O KOLCACH BRZEŻNYCH CEFALONU TRYLOBITÓW

W części poprzedniej opisano larwy *Ceraurus intermedius* n. sp. w stadium meraspis, opatrzone trzema parami kolców głowowych. Obecnie rozpatrzone będzie zagadnienie, jakie znaczenie należy przypisać kolcom, występującym niekiedy na brzegach cefalonu w rozwoju larwalnym trylobitów.

Kolce występujące w rozwoju larwalnym trylobitów mogą być interpretowane jako cechy bądź palingenetyczne, bądź cenogenetyczne. W pierwszym ujęciu kolce byłyby określonymi jednostkami morfologicznymi, związanymi z pierwotną metamerią cefalonu i reprezentowałyby zakończenia pleuralne segmentów wchodzących w skład głowy.



więc tworzyłyby elementy o istotnym znaczeniu filogenetycznym. W drugim ujęciu kolce byłyby jednostkami wtórnymi, powstałymi w związku z przystosowaniem larwy do określonego trybu życia, i, co za tym idzie, bez znaczenia filogenetycznego.

Przy rozpatrywaniu tego zagadnienia poruszona będzie również kwestia interpretacji szwu twarzowego. Przy ujmowaniu bowiem kołców twarzowych, jako elementów związanych z pierwotną metamerią cefalonu, szew twarzowy bywa zazwyczaj traktowany jako określona jednostka morfologiczna, mianowicie jako granica między segmentem oczym a segmentami za nim idącymi, policzki ruchome odpowiadałyby w takim razie pleurom tego segmentu.

Dyskusję nad wyróżnionymi zagadnieniami rozpocznę od przeglądu materiału faktycznego, zgromadzonego dotychczas na temat występowania „dodatkowych” kołców głowowych u trylobitów, rozpatrując oddzielnie kolce te u larw, oddzielnie u osobników dorosłych.

#### A. Występowanie kołców głowowych u larw

Larwy trylobitów w stadium protaspis są to wypukłe zazwyczaj krągłe lub owalne tarczki, bądź pozbawione jakichkolwiek wyrostków w postaci kołców, bądź opatrzone jedną parą kołców, która przechodzi w stadium dorosłego jako kolce policzkowe. W kilkunastu jednakże przypadkach stwierdzono, że w rozwoju larwalnym (w stadium protaspis, bądź meraspis) na brzegu cefalonu występuje nie jedna, lecz dwie lub trzy pary kołców. Te „dodatkowe” kolce (jedna lub dwie pary) w toku późszego rozwoju osobniczego ulegają redukcji bądź zupełnej, bądź częściowej, pozostała zaś para przechodzi do stadium dorosłego jako kolce policzkowe.

Obecność kołców „dodatkowych” w rozwoju larwalnym stwierdzono w rozwoju Olenellidae, jak też w rozwoju form tyłopoliczkowych przodopoliczkowych<sup>2</sup>.

W rozwoju licznych Olenellidae, np. u *Elliptocephala asaphoides* (Ford 1877, 8 i Walcott 1910, 44; por. także naszą fig. 3f), u *Paeumias hansenii* Poulsen (Poulsen 1932), u *Holmia kjerulfi* Linnarsson Størmer 1942, 37) i u licznych innych, z tyłu za kolcami, które przejdą do stadium dorosłego, jako kolce policzkowe, znajduje się, druga para kołców.

<sup>2</sup> W nowoczesnych klasyfikacjach trylobitów (Rasetti 1948, 20, Hennigsmoen 1951, 9 i Hupé 1953, 12) zarzuca się na ogół podział na rzędy, jako jednostki sztuczne, zostawiając jako jedyne jednostki naturalne nadrodziny. Zgadzam się z podstawami takiej klasyfikacji, lecz terminów: tyłopoliczkowe — Opisthoparia i przodopoliczkowe — Proparia używać będę dla określenia grup morfologicznych o jednolitym przebiegu szwu twarzowego.

W rozwoju *Olenelloides armatus* (Peach 1894, 16 i Walcott l. c., p. także naszą fig. 3c) i *Olenellus gilberti* Meek (Walcott, l. c. i nasza fig. 3e) stwierdzono w stadium meraspis obecność trzech par kolców głowowych na bokach cefalonu. U *Olenelloides armatus* kolce są dłuższe niż u *Olenellus gilberti*.

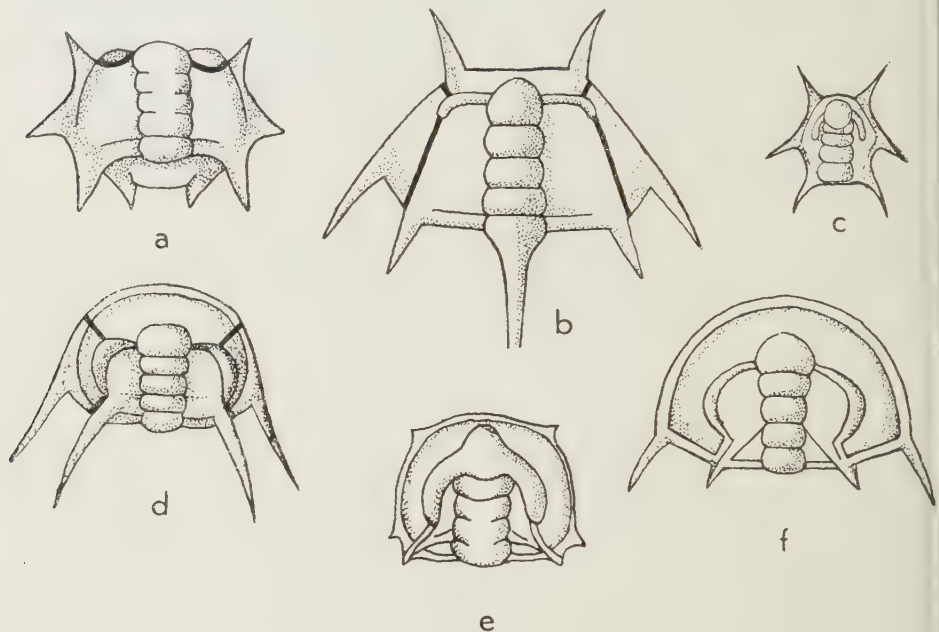


Fig. 3

Przykłady larw trylobitów opatrzonych kolcami głowowymi

a *Acanthoparypha perforata* Whitt. & Evitt (wg Whittingtona i Evitta, 1953), b *Leptoplastus salteri* (Callaway) (wg Rawa, 1926), c *Olenelloides armatus* Peach (wg Walcotta, 1910), d *Paradoxides pinus* Holm (wg Westergårda 1936), e *Olenellus gilberti* Meek (wg Walcotta, 1910), f *Elliptocephala asaphoides* Emmons (wg Walcotta, 1910)

W dalszym rozwoju *Olenellus gilberti* przedni i tylni kolec ulegają redukcji, środkowy zaś rozrasta się i przechodzi do stadium dorosłego jako kolec policzkowy. Przez analogię można by przypuszczać, że u *Olenelloides armatus*, którego dalszy rozwój nie jest znany, kolec policzkowy powstanie z kolca środkowego.

W rozwoju form tyłopoliczkowych kolce występują u kilku gatunków rodzaju *Paradoxides*, przy czym najlepiej poznane są u *Paradoxides pinus* Holm (Westergård 1936, 46, por. także naszą fig. 3d), gdzie występuje jedna dodatkowa para kolców, umieszczona, w stosunku do kolców policzkowych, z tyłu, tuż za tylną gałęzią szwu twarzowego. W rozwoju *Olenus gibbosus* (Wahlenb.), w stadium protaspis występuje początkowo

ylko para dodatkowych kolców, umieszczona w tylnej części cefalonu (Strand 1927, 38). W miarę dalszego rozwoju kolce te ulegają redukcji, niezależnie zaś, z przodu od nich, rozwijają się na ruchomych policzkach kolce, które przechodzą do stadium dorosłego.

W rozwoju dolno-ordowickich form tyłopoliczkowych stwierdzono obecność trzech par kolców głowowych: u *Leptoplastus salteri* (Callaway), w stadium meraspis (Raw 1925, 22; por. naszą fig. 3b) oraz u *Menoparia analunata* Ross lub *Scinocephalus solitecti* Ross (Ross 1951, 35), począwszy od stadium protaspis (stadia rozwojowe dwóch ostatnich gatunków poniżej 0.85 mm są nie do odróżnienia). W rozwoju zarówno *Leptoplastus*, jak i *Menoparia* lub *Scinocephalus*<sup>3</sup>, przednia para kolców znajduje się na policzku stałym, przed gałęzią przednią szwu twarzowego, druga — na policzku ruchomym, trzecia — na policzku stałym, za tylną gałęzią szwu twarzowego. W miarę rozwoju osobniczego, pierwsza i trzecia para kolców ulegają redukcji, środkowa zaś przechodzi do stadium dorosłego jako kolce policzkowe.

W rozwoju licznych form przodopoliczkowych stwierdzono obecność trzech par kolców głowowych. U dolno-ordowickich gatunków (Ross 1951, 34 i 35) *Protopliomerops superciliosa* Ross i *Pseudocybele nasuta* Ross<sup>4</sup> znalezione są one w stadium protaspis. U trylobitów środkowo-ordowickich, opisanych w znakomitym opracowaniu okazów skrzemionkowanych przez Whittingtona i Evitta (1953, 47) kolce występują także u *Acanthoparypha thiropyga* Whitt. & Evitt (w stadium protaspis), *Acanthoparypha perforata* Whitt. & Evitt (protaspis, por. naszą fig. 3a), *Holia cimelia* Whitt. & Evitt (meraspis), *Holia secristi* Whitt. & Evitt (meraspis) i *Sphaeroxothus hapsidotus* Whitt. & Evitt (meraspis). Wreszcie u wyżej opisanego północno-ordowickiego gatunku *Ceraurus intermedius* n. sp. kolce występują w stadium meraspis.

Ponadto Ross (1951, 35, str. 584) w materiale swoim sygnalizuje obecność nie opisanych jeszcze larw, opatrzonych trzema parami kolców, należących do przodopoliczkowego trylobita *Kawina* sp., Whittington zaś (Evitt 1953, 47, str. 27) wspominają o obecności w materiale swoim licznych larw w stadium protaspis, opatrzonych kolcami i należących do gatunków jeszcze nie opisanych.

U wszystkich wymienionych trylobitów przodopoliczkowych kolce umieszczone są na stałych policzkach; zajmują to samo położenie za tylną gałęzią szwu twarzowego. W miarę rozwoju osobniczego dwie przednie pary przesuwają się ku tyłowi i ulegają redukcji częściowej lub zupełnej, trzecia zaś przechodzi do stadium dorosłego jako kolce policzkowe.

<sup>3</sup> Identyfikacja kolców u *Menoparia* lub *Scinocephalus* podana jest zgodnie z interpretacją Raw (1952, 26), który udowadnia, że kolce u tych form rozmieszczone są według tego samego planu, co u *Leptoplastus salteri*.



Nie stwierdzono dotychczas w rozwoju ontogenetycznym trylobitów przodopoliczkowych obecności innych kolców, umieszczonych czy to na policzkach ruchomych, czy też z przodu gałęzi przedniej szwu twarzowego. Należy również zaznaczyć, że wymienione 8 gatunków należą do jednej nadrodziny — Cheiruroidae.

Na fig. 4 podany jest schemat występowania kolców głowowych w rozwoju larwalnym różnych grup trylobitów i zestawienie nazw nadawanych tym kolcom przez różnych autorów. Znakiem *x* oznaczone są te kolce, które, zdaniem danego autora, przechodzą do stadium dorosłego jako kolce policzkowe. Zestawienie to nie podaje wszystkich autorów, którzy poruszali zagadnienie kolców głowowych, lecz zdaje się obejmować wszystkie ważniejsze nazwy nadawane kolcom. Należy dodać, że Huxley (1952, 11) uważa, że kolców fiksigenalnych<sup>4</sup> może być kilka (nie uwzględnionych w niniejszym schemacie) i nadaje im kolejne numery, zależnie od tego, z którym segmentem zaustnym związany jest według niego dany kolek.

#### B. Występowanie kolców głowowych u form dorosłych

Kilkakrotnie stwierdzono występowanie dodatkowych kolców głowowych u trylobitów w stadium holaspis. Ilustrację niektórych takich faktów podaje fig. 5 (p. str. 228).

Kolce intergenalne, występujące w rozwoju Olenellidae, zachowują się niekiedy w stadium dorosłym w postaci krótkich igiełek na tylnym brzegu cefalonu (fig. 5c; por. także Walcott 1910, 44, Poulsen 1932, 17).

Whittington i Evitt (1953, 47) wykazali, że u gatunków: *Acanthoparypha perforata*, *A. chiropyga*, *Holia cimelia* i *H. secristi* dodatkowe kolce głowowe ulegają daleko posuniętej redukcji w porównaniu z rozwojem ich w stadium larwalnym, lecz ślady ich w postaci niewielkich wzgórek, a czasem nawet kolców (największe u *Holia secristi*; por. fig. 5f) można zaobserwować i w stadium dorosłym. Są to jedyne dodatkowe kolce dorosłych przodopoliczkowych, co do których mamy pewność, że są one pozostałością po kolcach występujących w rozwoju larwalnym.

U dorosłych Cheiruroidae dodatkowe kolce głowowe obserwowano u kilku jeszcze innych gatunków. U *Sphaerocoryphe thomsoni* Reed (Reed 1906, 31, pl. XIX, fig. 1, 5-7; Begg 1940, 4, pl. IV, fig. 2) występują dwie pary kolców głowowych, rozmieszczone podobnie jak u *Holia secristi*, i przez porównanie można przypuścić (co sugerują pośrednio także Whittington i Evitt, 1953, 47, str. 27), że są one pochodzenia larwalnego.

<sup>4</sup> Fiksigenalne, tj. znajdujące się na policzkach stałych, w przeciwstawieniu do librigenalnych, związanych z policzkami ruchomymi.

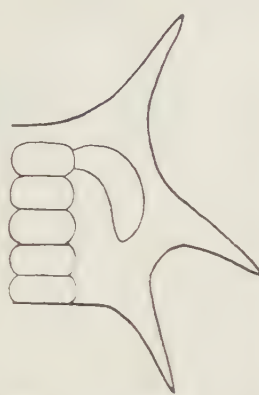
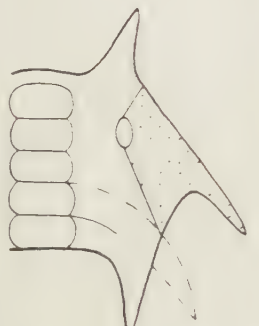
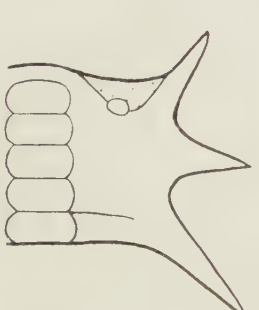
Ulenellidae		Walcott 1910	Raw 1925	Hupé 1952
		przednio-boczny antero-lateral	prokranidialny procranidial x	prokranidialny procranidial x
		genalny genal x	parialny parial x	librigenalny czy intergenalny? librigenal or intergenal?
		intergenalny intergenal	metakranidialny metacranidial	intergenalny intergenal
Upisthoparia		Størmer 1942	Raw 1925	Hupé 1952
		prokranidialny procranidial	prokranidialny procranidial	prokranidialny procranidial
		genalny genal x	parialny parial x	librigenalny librigenal x
		intergenalny intergenal	metakranidialny metacranidial	fixigenalne fixigenals
Proparia		Whittington i Evitt 1953	Raw 1952	Hupé 1953
		pierwszy-brzeżny first lateral	przygodny adventitious	prokranidialny procranidial
		drugi-brzeżny second lateral	przygodny adventitious	boczny lateral
		genalny genal x	metakranidialny metacranidial x	genalny genal x

Fig. 4

Diagram ilustrujący występowanie trzech par kolców głowowych u trylobitów oraz nazwy nadawane kolcom przez poszczególnych autorów

Symbol x oznaczono kolce, które, zdaniem danego autora, przechodzą do stadium następnego jako kolce policzkowe

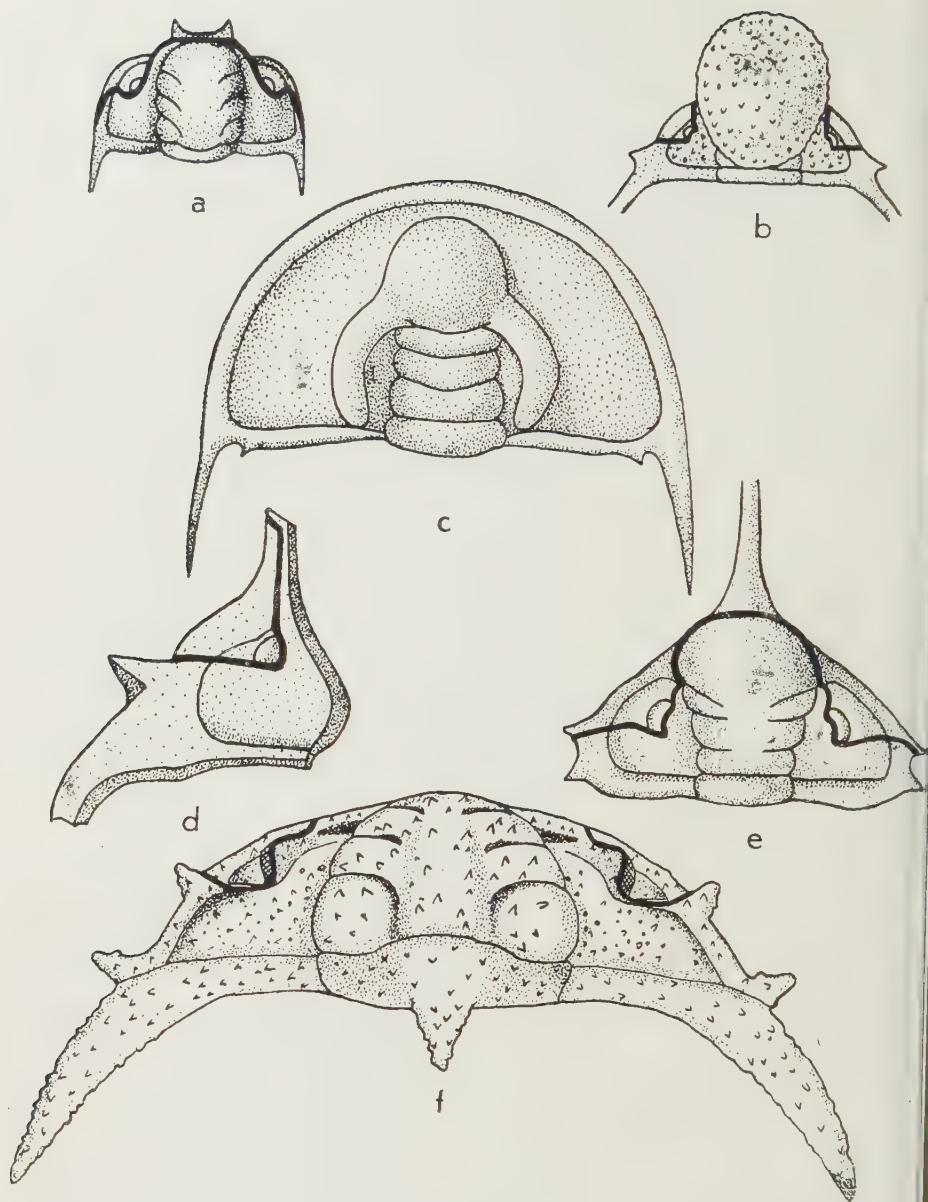


Fig. 5

Przykłady występowania dodatkowych kolców głowowych u dorosłych trylobitów: a *Cyrtometopus affinis* Angelin (wg Schmidta, 1881), b *Sphaerocoryphe* cf. *granulata* Angelin (wg Schmidta, 1881; z Hupégo, 1953), c *Olenellus* cf. *gilberti* Meek (wg Whittingtona, 1910), d *Sphaerocoryphe hastata* Begg, — policzek (wg Begg, 1940), e *Proboloides pessulus* Clarke (wg Clarke, 1913), f *Holia secristi* Whitt. & Evitt (wg Whittingtona i Evitta, 1953)



U *Sphaerocoryphe hastata* Begg (l. c.; por. także fig. 5d) na stałym policzku przed kolcem policzkowym znajduje się jeden bardzo szeroki olec z przechodzącym przez środek „grzebieniem“. Szczególna budowa tego kolca nasuwa przypuszczenie, że mógł on powstać przez zrośnięcie dwóch przednich kolców larwalnych.

U *Sphaerocoryphe* cf. *granulatus* Angelin (Schmidt 1881, 36; por. fig. 5b) na policzku stałym z przodu kolca policzkowego znajduje się jeden olec dodatkowy. Można przypuszczać, że jedna para kolców brzeżnych (choć trudno osądzić — pierwsza czy druga) uległa tu redukcji, pozostała zaś przetrwała do stadium dorosłego. Ale jest również możliwe, że istniała tu zawsze jedna tylko ich para.

U *Cyrtometopus affinis* Angelin (por. fig. 5a) i u *C. clavifrons* Dalm. Schmidt 1881, 36, tabl. VIII, fig. 1-2) występuje jedna para dodatkowych olców, umieszczonych na polu preglabellarum, odciętych od reszty cefalonu szwem twarzowym, który biegnie tu równolegle do brzegu. Kolce, umieszczone po obu bokach glabelli, są krótkie i skierowane ku przodowi. Hupé (1953, 12, str. 104) o tych zapewne kolcach mówi jako o prokranidialnych, gdy wspomina, że kolce prokranidialne występują w stadium dorosłym u pewnych gatunków rodzaju *Cyrtometopus* i *Telephus*. *Telephus fractus* Barr. (Barrande 1852, 2, pl. 18, fig. 31, 32) i u *T. bisulcus* Ang. (Angelin 1878, 1, pl. XLI, fig. 22a) występują podobnie rozmieszczone dwie pary krótkich kolców. Jednakże obecność u *T. wagelini* Ang. (Angelin, l. c., pl. XLI, fig. 23) w tym samym położeniu trzech par olców wskazuje, że byłyby to raczej elementy wtórne, tzn. nie związane metamerią cefalonu. To samo może odnosić się do kolców u rodzaju *Cyrtometopus*. Podobne elementy z przodu glabelli, wykształcone niejednokrotnie w postaci pojedynczego kolca, bądź rozdwojonego, bądź z kilkoma odgałęzieniami (por. Delo 1940, 7, pl. 9), albo też kilku kolców (por. Schmidt 1881, 36, pl. XIII), występują niejednokrotnie u różnych rodzajów trylobitów.

U dorosłych Phacopoidae stwierdzono także występowanie dodatkowych kolców bocznych u brazylijskich gatunków dewońskich *Proboites cuspidatus* Clarke (por. fig. 5e) i *Pr. pessulus* Clarke (Clarke 1913, tabl. VII, fig. 13-17). U obu tych gatunków występuje dodatkowa para olców, umieszczonych na ruchomym policzku, tuż przed tylną gałęzią szwu twarzowego. Na okazie przedstawionym na fig. 5e położenie kolców jest takie, że szew twarzowy wchodzi częściowo w olec przecinając tylną jego część. Obecności kolców głowowych (poza kolcem policzkowym) w ontogenezie żadnych Phacopoidae dotychczas nie stwierdzono. Dlatego istnieje w tym przypadku duże prawdopodobieństwo, że mogą one być elementami wtórnymi, tj. powstającymi w stadium holaspis, nie związanymi z rozwojem larwalnym.

Hupé (1952, 11, fig. 67; 1953, 12, fig. 67a) interpretuje kolce występujące przy zakończeniach płata powiekowego u dolno-dewońskiego *Scutellum paliferum* (Beyrich) — jako kolce intergenalne, będące zakończeniami pleur pierwszego i drugiego segmentu zaustnego. Ponadto, zdaniem tego autora. (1953, 12, fig. 67b), u dolno-dewońskiego *Scutellum rhinoceros* (Barr.) kolce te zlały się zapewne w jeden długi kolec skierowany ku tyłowi. Wreszcie u środkowo-dewońskiego *Scutellum furciferum* (Cord) do kolca tego dołączyć się mogła pleura trzeciego segmentu zaustnego (przedpotylicznego), tak że na budowę kolca składałyby się tu zakończenia pleuralne trzech segmentów (Hupé 1953, 12, fig. 67c). Sugestię podobnej interpretacji tych elementów spotykamy już wcześniej u Wacotta (1910, 44, str. 237), który stwierdza, że u dorosłych przedstawicieli rodzaju „*Bronteus*“ (*Scutellum furciferum* i *Sc. rhinoceros*), a także u *Agnostus granulatus* Barr. i u *A. rex* Barr. znajdujemy w stadium dorosłym ślady kolców intergenalnych.

Zastanawiając się nad powyższą interpretacją należy zwrócić uwagę na to, że kolce występujące przy płacie powiekowym *Scutellum paliferum* mogły również powstać jako przystosowanie do ochrony okolicy i wtedy w stosunku do metamerii cefalonu byłyby one elementami wtórnymi. Występowanie kolców na płacie powiekowym nie jest u trylobitów zjawiskiem wyjątkowym (występują one np. u rodzaju *Asteropygia*, por. Kozłowski 1923, 14, pl. V, fig. 10). U *Scutellum rhinoceros* kolce znajdujący się przy oczach jest jednym z całej grupy podobnie wykształconych kolców, znajdujących się na cefalonie. Wydaje się, że u gatunku tego istniała tendencja do wykształcania różnych kolców głowowych powstała prawdopodobnie jako reakcja na określone warunki środowiska. Doszukiwanie się śladów metamerii cefalonu w utworach takich jak kolce, występujące u dorosłych przedstawicieli wysoko wyspecjalizowanych dewońskich trylobitów, jest bardzo mało przekonujące.

### C. Interpretacje i wnioski

Pierwszym autorem, który przypisywał kolcom duże znaczenie filogenetyczne, był F. Raw (1925, 22 i 1927, 23). Autor ten wyróżnił w rozwoju ontogenetycznym *Leptoplastus salteri* kolce prokranidialne, parianalne i metakranidialne (por. fig. 3b) i uznał te kolce oraz związane z nimi gałęzie szwu twarzowego za określone jednostki morfologiczne, które można zidentyfikować także u innych trylobitów. Przeprowadzając porównanie rozwoju *L. salteri* z rozwojem innych trylobitów wypowiedział on pogląd, że przodkiem trylobitów była forma o głowie opatrzonej trzema parami kolców. Każda z tych trzech par może w dalszym rozwoju przetrwać i utworzyć kolce policzkowe dorosłego trylobita, gdy tymczasem pozostałe dwie pary ulegną zanikowi. Rozróżnić więc można u try-

bitów trzy typy budowy cefalonu, zależnie od tego, z której pary kolców przodka powstają kolce policzkowe. Przetrwanie kolców metakranialnych zachodzi u typu Proparia. Przetrwanie kolców parialnych dotyczy większości rodzin trylobitów, tj. przedstawicieli Opisthoparia. Wreszcie rodzina Olenellidae ma zupełnie szczególny plan budowy cefalonu, charakteryzujący się przetrwaniem kolców prokranidialnych, które cofają się ku tyłowi, w związku z czym następuje w tej rodzinie zanik szwu twarzowego.

Drugim autorem, który obszerniej zastanawia się nad znaczeniem kolców głowowych i nadaje tym elementom znaczenie palingenetyczne, jest P. Hupé (1951, 1952, 1953, 10-12). Uważa on (1951, 10, str. 479), że szew twarzowy jest to linia międzysegmentalna, ruchome zaś policzki tworzą brzozy segmentu ocznego. Różnica w stosunku do poglądu Rawa polega na tym, że o ile w teorii Rawa przodkiem trylobitów jest forma z trzech par kolców głowowych, gdzie za tylną gałęzią szwu twarzowego występuje jeden kolec metakranialny, tworzący zakończenie brzozy segmentu potylicznego, to, zdaniem Hupégo (1953, 12, str. 105), każdy z segmentów wchodzących w skład głowy zdolny jest wytworzyć kolec. Władzy wszystkich tych kolców znaleźć można niekiedy, zdaniem Hupégo, bądź w rozwoju larwalnym, bądź w stadium dorosłym pewnych trylobitów. Størmer (1942, 37, str. 103), opierając się na danych Walcotta (1910, 1), Stranda (1927, 38) i Westergårda (1936, 46), stwierdza, że zarówno Olenellidae, jak i u tyłopoliczkowych (Paradoxidae i Olenidae) kolce inkrustacyjne związane są z segmentem przedpotylicznym, nie zaś z potylicznym, jak twierdził Raw (1937, 25, str. 580). Według poglądu Hupégo obie interpretacje mogłyby się łączyć w harmonijną całość, gdyż, jego zdaniem, każdy z segmentów głowowych, a więc i każdy z segmentów zaustnych może dać kolec głowowy, który byłby w tym przypadku jednym z segmentów kranidialnych tylnych (fiksigenalnych).

W związku z dużym podobieństwem poglądów Rawa i Hupégo ich poglądy przeprowadzę częściowo wspólnie.

Poglądy Rawa spotkały się z krytyką licznych autorów, w szczególności Swinnertona (w: Raw, 1925, 41), Raymonda (1928, 28), Stubblefielda (w: Raw, 1936, 39) i Størmera (1942, 37), szersze poparcie zyskały natomiast w wymienionych pracach Hupégo.

Od czasu ukazania się prac Rawa (1925 i 1927) zebrano szereg nowych faktów, dotyczących występowania kolców głowowych w rozwoju larwalnym trylobitów. Ostatnio Raw (1952, 26) interpretuje te fakty jako popierające jego teorię. Istotnie opisanie występowania trzech par kolców głowowych w stadium protaspis (por. rozdział I) obalałoby jeden z założeń, postawionych przez Swinnertona (w: Raw, 1925, 41, str. 322). Størmer (1942, 37, str. 67), że trzy pary kolców głowowych nie występu-



ją u trylobitów w stadium protaspis. Nie wszystkie jednak nowe fakty potwierdzają pogląd Rawa. Ross (1951, 34, 35) opisał trzy pary kolców głowowych w rozwoju larwalnym trylobitów przodopoliczkowych i porównał pierwszą parę kolców występujących u *Pseudocybele nasuta* z kołcami prokranidialnymi u *Leptoplastus* podkreślając jednakże zachodzące między nimi różnice (36, str. 584). Jednakże porównaniu temu Raw (1952, 26, str. 856) kategorycznie się przeciwstawił stwierdzając, że u *Pseudocybele nasuta* zarówno kolce prokranidialne, jak i parialne zanikły (co jest charakterystyczne dla trylobitów przodopoliczkowych) a z przodu kolców metakranidialnych występują tu dwie pary kolców dodatkowych (przygodnych = adventitious), których brak u trylobitów bardziej prymitywnych. Tymczasem, jak wynika z podanych wyżej faktów, obecność trzech par kolców za tylną gałęzią szwu twarzowego stwierdzono dotychczas w tym samym położeniu u co najmniej ośmiu gatunków trylobitów przodopoliczkowych, występujących w różnych częściach świata, w dolnym, środkowym i górnym ordowiku. Pogląd, że dwie z tych par kolców są „przygodne“, nie „przygodne“ zaś są kolce prokranidialne i parialne, których w rozwoju tej grupy nigdy dotychczas nie stwierdzono, nie da się więc dłużej utrzymać.

Hupé (1953, 12, fig. 53) nazywa pierwszą parę kolców u protaspis *Pseudocybele nasuta* kołcami prokranidialnymi (por. fig. 4). Kolce znajdują się u *Pseudocybele* za tylną gałęzią szwu twarzowego. Jeśli przyjmie założenie (jak to czyni Hupé), że szew twarzowy jest szwem międzysegmentalnym, nie mogą być one uznane za homologiczne z kołcami prokranidialnymi *Leptoplastus*, lecz raczej powinny być uznane za jedno z kolców fiksigenalnych. Należy tu podkreślić, że w przeciwstawieniu do poglądu Hupégo, opinia Raw (1952, 26, str. 856) jest pod tym względem konsekwentna. Hupé (1953, str. 104) mówi także o kołcach prokranidialnych u pewnych dorosłych przedstawicieli rodzaju *Cyrtometopus*. Jeżeli kolce te nie są, co jest wysoce prawdopodobne, elementami powstałymi wtórnie, właściwymi tylko formom dorosłym (por. wyżej, str. 229), to także nie mogą być one nazwane kołcami prokranidialnymi. Znajdują się one na części odciętej od reszty cefalonu szwem twarzowym, a więc związanej, zgodnie z przyjętym przez Hupégo założeniem, z segmentem ocznym. Z drugiej strony, jeżeli traktować je jako elementy będące śladami metamerii, to mogłyby być uznane za przesunięte ku przodowi cefalonu kolce parialne, nie zaś za kolce prokranidialne.

Z przedstawionych w poprzednim rozdziale faktów wynika, że jedynie w bardzo nielicznych przypadkach (*Olenellus*, *Acanthoparyph*, *Holia*) możemy stwierdzić, że wyrostki na cefalonie dorosłych trylobitów są śladami po kołcach występujących w stadium larwalnym, co zresztą

ynajmniej nie oznacza, że są one pierwotnymi zakończeniami pleuralnymi segmentów wchodzących w skład głowy. W większości natomiast przypadków (wśród rozpatrzonych tu form — *Scutellum*, *Cyrtometopus*, *Proboloides*) jest wysoce prawdopodobne, że kolce form dorosłych nie są ściśle związane z rozwojem larwalnym, lecz wytworzyły się jako elementy „ornamentacyjne“, czy też określone przystosowania, właściwe formom dorosłym. Hupé natomiast rozpatruje te właśnie kolce występujące u form dorosłych jako ślady pierwotnej metamerii cefalonu i szuka w nich poparcia dla swojej teorii.

Według poglądu Rawa jak i Hupégo grupa Olenellidae — najstarszych, dolno-kambryjskich, bez wątpienia prymitywnych trylobitów, ma cechy tak wysokiej specjalizacji, jak wtórny zanik szwu twarzowego. Zagadnienie, czy brak szwu twarzowego u Olenellidae jest cechą pierwotną czy wtórną, było obszernie dyskutowane w literaturze dotyczącej tej grupy. Przegląd dyskusji na ten temat można znaleźć u Rawa (1937, 5), a ostatnio u Hupégo (1952, 11).

Pogląd Hupégo opiera się na faktach przedstawionych przez niego w znakomitym opracowaniu dolno-kambryjskich trylobitów Maroka (1952, 11). U opisanych tam przedstawicieli Olenellidae (np. *Fallotaspis tazemourtensis* Hupé; por. naszą fig. 6a) od przedniego kąta oka biegnie

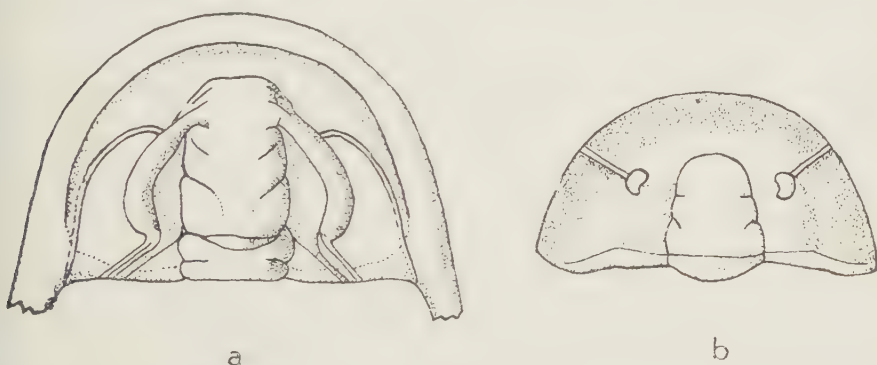


Fig. 6

*Fallotaspis tazemourtensis* Hupé (wg Hupégo, 1952). b *Loganopeltoides zenkeri* (Billings) (wg Rasetti, 1945)

ypukła listewka skierowana ku tyłowi, dochodząca do tylnego brzegu cefalonu, tuż przed kolcem policzkowym. Podobna listewka, skierowana również ku tyłowi, biegnie i od tylnego końca oka do brzegu cefalonu. Jednak zastrzeżenie, podnoszone już dawniej przez Stubblefielda (1936, 9, str. 421), które można wysunąć w stosunku do tego rozumowania, mając możemy w formie pytania: dlaczego u wszystkich innych trylobitów (poza wyjątek po niefunkcjonalnym szwie twarzowym zachowuje się w postaci listewki (Phacopinae, Odontopleuridae, *Typhloproetus* itd.), jedynie zaś

u Olenellidae tworzy on wzniesienie? Hupé (1952, 11, str. 275) stara się odeprzeć powyższy zarzut Stubblefielda stwierdzając, że ślad po niefunkcjonalnym szwie zachowuje się w formie wzniesienia także u *Kjerulfia lata* Kiaer i u *Loganopeltoides zenkeri* Billings (por. też fig. 6b). Wydaje się, że: 1<sup>o</sup> *Kjerulfia lata*, jako przedstawiciel Olenellidae, gdzie istnienie szwu nie zostało udowodnione, nie może być brana pod uwagę jako przykład odpierający powyższy zarzut; 2<sup>o</sup> „szew“ biegnący na wzniesieniu u *Loganopeltoides zenkeri* powstałby, jak to udowadnia Rasetti (1944, 19, str. 49), drogą zrośnięcia przedniej i tylnej gałęzi szwu twarzowego. Można więc, moim zdaniem, wyobrazić sobie, że przy przesuwaniu się tych gałęzi w stosunku do siebie, ściśniona, zredukowana przestrzeń ruchomego policzka utworzyła wzniesioną listewkę. Natomiast u Olenellidae, według interpretacji Hupégo, każda pojedyncza gałąź szwu twarzowego przebiegałaby na wzniesieniu, czego nie bywa w żadnej innej grupie trylobitów i co, tym samym, nie może być uważane za udowodnione.

Idąc za interpretacją zarówno Rawa jak i Hupégo otrzymalibyśmy natomiast u cefalonie Olenellidae mało prawdopodobny układ segmentów, w którym drugi segment znajdowałby się na samym przodzie cefalonu, pierwszy natomiast byłby umieszczony za nim, wtłoczony między segmenty drugi i trzeci.

Jeżelibyśmy przyjęli założenia tych autorów, że w związku z cofnięciem się kółców prokranidialnych ku tyłowi następuje u Olenellidae wtórny zanik szwu twarzowego, to interpretacja budowy cefalonu *Olenelloides armatus* (por. fig. 3a) byłaby trudna do przeprowadzenia. Raw interpretuje kolce występujące u *Olenelloides* jako prokranidialne, parialne i metakranidialne. Jeżeli jednak *Olenelloides* miałyby reprezentować w tej grupie prymitywną budowę cefalonu, tzn. być formą larwalną, bądź neoteniczną, u której kolce głowowe zajmują jeszcze pierwotne położenie, nasuwa się pytanie, co się stało z jego szwem twarzowym który zanikł, zanim nastąpiło jakiekolwiek przemieszczenie kółców. Jeżeli obecność szwu twarzowego stwierdzamy u przedstawicieli tej rodziny, u których nastąpiło już, zdaniem Rawa i Hupégo, odwrócenie kółców prokranidialnych ku tyłowi, to tym bardziej ślady jego obecności powinny być widoczne u tak prymitywnej formy, jaka jest *Olenelloides*.

Z rozwoju *Olenellus gilberti* (Walcott, 1910, 44) wynika, że u *Olenellidae* druga para kółców larwy przechodzi do stadium dorosłego jako kolce policzkowe, co wskazuje, że powstały one w tej grupie, podobnie jak u tyłopoliczkowych, nie z kółców prokranidialnych, lecz z parialnych.

Raw i Hupé w swych rozważaniach wychodzą z założenia (z którego jednak Raw w 1953 r. (27, fig. 5) się wycofuje), że szew twarzowy jest szwem międzysegmentalnym. Szew twarzowy jest u trylobitów ce-



na o określonej funkcji fizjologicznej — wzdłuż tego szwu tarcza głowa pękała w czasie linienia. Że nie może on być odpowiednikiem szwu międzysegmentalnego, wskazuje na to jego daleko posunięta ruchliwość. Wiadomo, że w związku z zanikiem oczu szew twarzowy może ulegać przesunięciu na brzeg tarczy głowej (np. znany fakt wędrówki szwu dewońskich Phacopoidae; R. & E. Richter, 33), czy w innych kierunkach. Trudno przypuścić, by przy takich niewątpliwie wtórnych, związanych z przystosowaniem do środowiska, wędrówkach szwu zmieniał się metameryczny plan budowy cefalonu, by segment oczny ulegał redukcji przesunięciu, a kosztem jego rozrastały się inne segmenty. Jest raczej wysoce prawdopodobne, że szew twarzowy przebiega u trylobitów niezależnie od segmentacji cefalonu przecinając terytoria należące ongiś do różnych segmentów. Pogląd taki zgadzałby się z interpretacją cefalonu podaną w roku 1953 przez Rawa (27, fig. 5), zaprzeczając jego porządkom poprzednim. Jednakże Raw konsekwencji ostatecznych z nowo przyjętego założenia nie wyciąga i nie daje nowej interpretacji kolców głowowych ignorując nowe fakty i utrzymując nadal, że przodkiem trylobitów była forma o trzech parach kolców głowowych, charakterystycznie rozmieszczonych w stosunku do szwu. Ponadto rozwija on dalej teorię o filogenetycznej roli kolców głowowych i uważa (1953), że trylobity wywodzą się z pierścienic i to prawdopodobnie z rodziny wieloszczetów Polynoidae. Pótwierdzenia dla swego poglądu szuka w budowie głowy rzadka trylobitów, zbudowanej według jego modelu z 1925 r., tj. opartej na dwóch parach kolców. U wieloszczetów występują na pewnych segmentach na notopodium zgrubienia zwane elytra. U Polynoidae elytra występują na pierwszym, trzecim, czwartym i szóstym, a następnie na co drugim segmencie, aż do końca ciała. Tę periodyczność segmentacji określa autor terminem „merocyklizm“. Uważa on, że elytrum wieloszczetów odpowiada makropleury na toraksie oraz kolce głowe występujące w rozwoju larwalnym trylobitów. Pierwsza para kolców głowych — kolce prokranidialne, odpowiadałaby pierwszemu segmentowi parzonemu elytrami, druga para — kolce parialne, powstałyby ze rośnięcia trzeciego i czwartego segmentu, trzecia para — kolce metakranidialne, odpowiadałyby szóstemu segmentowi.

Można się zgodzić z ogólnymi podstawami poglądu Rawa, wyprowadzianego w ostatniej jego pracy, że szczep stawonogów jest monofiletyczny, że trylobity są najprymitywniejszymi stawonogami i że pochodzą od Polychaeta. Szczegóły jednakże tej teorii, tj. doszukiwanie się homologii między trzema parami kolców na głowie *Leptoplastus* i elytrami u dzisiejszych Polynoidae, są zupełnie nieprzekonywające, szczególnie jeżeli wziąć pod uwagę przedstawione wyżej fakty świadczące o tym, że rozmieszczenie kolców głowowych u *Leptoplastus* sta-

nowi tylko szczególny przypadek występowania kolców, które u larw trylobitów w innych grupach są inaczej rozmieszczone.

Størmer (1942, 37, str. 94-95), a następnie Whittington i Evitt (1951, 47, str. 27) podkreślają funkcjonalne, ekologiczne znaczenie kolców głowowych występujących u larw. Podobną myśl znajdujemy u Rossa (1951, 35, str. 581), który zaznacza, że nie ma żadnych dowodów, aby kolce u opisanych przezeń form były w jakikolwiek sposób związane z segmentacją, tym bardziej, że nie ma żadnych danych o segmentacji u niepłatów bocznych cefalonu. Pewnym natomiast wydaje się, zdaniem tego autora, że kolce te są związane z planktonicznym trybem życia. Do wypowiedzi tych należy przywiązywać szczególną wagę. Jak była o tym już mowa (str. 223-226), w rozwoju pewnych przedstawicieli tyłopoliczekowych, podobnie jak i wśród Olenellidae, pojawiają się larwy opatrzone dwoma parami kolców, a u Olenellidae, u form przodopoliczkowych i u tyłopoliczekowych — opatrzone trzema parami kolców. Porównanie układu dwóch par kolców u *Paradoxides* i *Elliptocephala* wskazuje na podobne rozmieszczenie kolców w tych dwóch grupach (por. fig. 3d, f). Podobnie, porównanie układu trzech par kolców występujących u *Lepidoplastus*, *Acanthoparypha* i *Olenelloides* (por. fig. 3a, b, c) wskazuje, że u form tych kolce zajmują podobne położenie w stosunku do ogólnego kształtu cefalonu. Czy oznacza to, że kolce w jednym i drugim przypadku są odpowiednio homologiczne, tzn. związane z tymi samymi segmentami jako ich pierwotne zakończenie pleuralne? Najprawdopodobniej nie. Oznaczać to może natomiast, że układ dwóch par kolców skierowanych ku tyłowi cefalonu, czy też układ trzech par kolców symetrycznie otaczających larwę mógł być z funkcjonalnego punktu widzenia korzystny i mógł powstawać w różnych grupach, prawdopodobnie niezależnie od metamerii cefalonu.

Można tu przeprowadzić porównanie z elementami typu przystosowawczego, występującymi u dorosłych trylobitów. Tak np. u środkowo-dewońskiego *Radiaspis radiata* Goldf. (Richter 1919, 32) jako elementy zwiększające powierzchnię ciała i ułatwiające utrzymywanie się w wodzie występują: dziewięć par kolców brzeżnych otaczających cefalon, kolce policzkowe, dwa kolce leżące w przedłużeniu glabelli, kolce pleur toraksu i liczne kolce otaczające pygidium. Niektóre z nich, jak np. kolce pleuralne toraksu, są niewątpliwie pochodzenia metamerycznego, większość jednakże występujących tu kolców powstała niezależnie od metamerii. To samo rozumowanie można by zastosować do kolców występujących na cefalonie w stadium larwalnym.

Dalszym argumentem przemawiającym przeciwko traktowaniu larwalnych kolców głowowych jako cech palingenetycznych jest fakt, że

pojawiają się one wśród trylobitów sporadycznie. Nie są to bynajmniej elementy charakterystyczne dla prymitywnych szczepów trylobitów. Pojawiają się one stosunkowo często wśród Cheiruroidea, tj. w nadrodzicie o cechach wysokiej specjalizacji. U najprymitywniejszych Olenellidae występują często w rozwoju larwalnym dwie pary kolców (genalne intergenalne), obecność trzech par kolców należy raczej do wyjątków. Na przykład, wśród prymitywnego szczepu Redlichiacea (por. Kobayashi i Kato, 1951, 13) larwy są kuliste, pozbawione we wczesnych stadiach rozwoju jakichkolwiek wyrostków w postaci kolców głowowych.

Jest oczywiste, że skóroć cefalon trylobitów powstał drogą zrośnięcia się kilku segmentów, kolce występujące na nim powstają z jakiegoś materiału segmentalnego i są niejednokrotnie związane z określonymi segmentami znajdując się na przykład w ich przedłużeniu, podobnie jak kolce potyliczny związany jest z segmentem potylicznym i znajduje się na jego osi. Co więcej, pewne z kolców występujących w rozwoju larwalnym niektórych trylobitów zdają się być bez wątpienia związane z określonymi segmentami i wyrastać istotnie na ich zakończeniach pleuralnych. Duży stopień prawdopodobieństwa takiej interpretacji istnieje na przykład w stosunku do kolców intergenalnych u pewnych Olenellidae czy u *Paradoxides*, gdzie zachowały się także bruzdy pleuralne segmentu przedpotylicznego. Możliwe jest, że w tych przypadkach kolce intergenalne są pierwotnym zakończeniem tego segmentu, więc cechą palingenetyczną, lecz w równym stopniu jest prawdopodobne, że kolce te rozwinęły się u larw Olenellidae i *Paradoxides* wtórnie w punkcie odpowiadającym zakończeniu segmentu przedpotylicznego i są cechą cenogenetyczną. Sporadyczność pojawiania się kolców u larw trylobitów i różnorodność ich rozmieszczenia wśród różnych grup zdają się przemawiać za przyjęciem tej drugiej interpretacji.

Rozważania powyższe można zakończyć następującym podsumowaniem. Rozpatrzone powyżej fakty i dyskusja przemawiają za tym, że nie ma dostatecznych danych, aby kolcom głowowym, występującym niekiedy u larw trylobitów, przypisywać znaczenie filogenetyczne, więc za faktów przemawia za interpretacją ich jako przystosowań larwalnych do planktonicznego trybu życia.

Wkład Paleozoologii P. A. N.  
Warszawa, w listopadzie 1954 r.



## LITERATURA CYTOWANA

1. ANGELIN N. P. *Palaeontologia scandinavica*, P. I. Stockholm 1878.
2. BARRANDE J. *Système silurien du centre de la Bohême*, vol. I. Prague et Paris 1852.
3. — *Système silurien du centre de la Bohême*, suppl. au vol. I. Prague et Paris 1872.
4. BEGG J. L. A note on the genera *Staurocephalus* and *Sphaerocoryphe*, with the description of a new species of *Sphaerocoryphe*. — *Geol. Mag.*, vol. 7<sup>th</sup> No. 4. London 1940.
5. CLARKE J. M. *Fosseis devonianos do Paraná*. Monogr. Serv. Geol. Min. Brasil, vol. I. Rio de Janeiro 1913.
6. CZARNOCKI J. Sprawozdanie z badań terenowych wykonanych w Górach Świętokrzyskich w 1938 r. Nieznane poziomy ordowiku górnego na obszarze łysogórskim. — *Biul. P. I. G.*, Nr 15. Warszawa 1939.
7. DELO D. M. *Phacopid Trilobites of North America*. — *Geol. Soc. Amer., Special Papers*, No. 29. Baltimore 1940.
8. FORD S. W. On some embryonic forms of *Trilobites* from the primordial rocks at Troy, N. Y. — *Amer. Journ. Sci.*, ser. 3, vol. 13. New Haven 1877.
9. HENNINGSMOEN G. Remarks on the classification of *Trilobites*. — *Norsk Geol. Tidsskr.*, 29. Oslo 1951.
10. HUPE P. Sur les affinités des *Trilobites*. — *Bull. Soc. Géol. France*, sér. 6, vol. I. Paris 1951.
11. — Contribution à l'étude du cambrien inférieur et du précambrien II de l'Anti-Atlas Marocain. — *Notes et Mém. Serv. Géol.*, No. 103. Maroc 1952.
12. — Classe des *Trilobites*. Dans: Piveteau P., *Traité de Paléontologie*. Paris 1953.
13. KOBAYASHI T. & KATO F. On the ontogeny and the ventral morphology of *Redlichia chinensis* with description of *Alutella nakamurai* new gen. and sp. — *Journ. Fac. Sci. Univ. Tokyo, Sect. II*, vol. VIII, pt. 3. Tokyo 1951.
14. KOZŁOWSKI R. Faune dévonienne de Bolivie. — *Ann. Paléont.*, vol. XII. Paris 1923.
15. OLIN E. Om de Chasmopskalken och Trinucleusskiffern motsvarande bildningarna i Skane. — *Lunds Univ. Arsskr.*, N. F., Afd. 2, Bd. 2, No. 3. — *Kungl. Fys. Sällsk. Hand.*, N. F., Bd. 17, No. 3. Lund 1906.
16. PEACH B. N. Additions to the fauna of the *Olenellus* zone of the N. W. Highlands. — *Quart. Journ. Geol. Soc.*, vol. 50. London 1894.
17. POULSEN CH. The lower Cambrian faunas of East Greenland. — *Meddel. Grønland.*, vol. 87. København 1932.
18. PRANTL F. & PRIBYL A. Classification of some Bohemian Cheiruridae (*Trilobitae*). — *Sborn. Nar. Mus. v. Praze*, vol. III, B, No. 1. Praha 1947.
19. RASETTI F. Evolution of the facial sutures in the trilobites *Loganopeltoides* and *Loganopeltis*. — *Amer. Journ. Sci.*, vol. 243. New Haven 1945.
20. — Lower Cambrian *Trilobites* from the conglomerates of Quebec. — *Journ. Paleont.*, vol. 22, No. 1. Menasha 1948.

- RAVN J. P. J. Trilobitfaunaen i den bornholmske Trinucleusskiffer. — Danm Geol. Unders., vol. II, No. 10. København 1899.
- RAW F. The development of *Leptoplastus salteri* (Callaway) and of other Trilobites. — Quart. Journ. Geol. Soc., vol. 81. London 1925.
- The ontogenies of Trilobites and their significance. — Amer. Journ. Sci., ser. 5, vol. 14. New Haven 1927.
- Mesonacidae of Comley in Shropshire, with a discussion of classification within the family. — Quart. Journ. Geol. Soc., vol. 92, pt. 3. London 1936.
- Systematic position of the Olenellidae (Mesonacidae). — Journ. Paleont., vol. 11, No. 7. Menasha 1937.
- A note on Ross „Ontogenies of three Garden City (Early Ordovician) Trilobites“. — Ibid., vol. 26. No. 5. Menasha 1952.
- The external morphology of the Trilobite. — Ibid., vol. 27, No. 1, Menasha 1953.
- RAYMOND P. E. The ontogenies of Trilobites, and their significance. — Amer. Journ. Sci., vol. 15. New Haven 1928.
- RAYMOND P. E. & BARTON D. C. A revision of the American species of *Ceraurus*. — Bull. Mus. Comp. Zool. Harvard College, vol. LIV, No. 20. Cambridge, Mass. 1913.
- REED F. R. C. Notes on the evolution of the genus *Cheirurus*. — Woodward Mus. Notes, Geol. Mag. Dec., IV, vol. III. London 1896.
- The Lower Palaeozoic Trilobites of the Girvan District, Ayrshire. Pt. III. — Mon. Palaeontogr. Soc., vol. 60. London 1906.
- RICHTER R. Vom Bau und Leben der Trilobiten. I. Das Schwimmen. — Senckenbergiana, Bd. I, No. 6. Frankfurt a/M. 1919.
- RICHTER R. & E. Die Trilobiten des Oberdevons. Beiträge zur Kenntnis devonischer Trilobiten, IV. — Abh. Preuss. Geol. L.-A., N. F., H. 99. Berlin 1926.
- ROSS R. J. Stratigraphy of the Garden City formation in north-eastern Utah and its trilobite faunas. — Peabody Mus. Nat. Hist., Yale Univ. Bull., No. 6. New Haven 1951.
- Ontogenies of three Garden City (Early Ordovician) Trilobites. — Journ. Paleont., vol. 25, No. 5. Menasha 1951.
- SCHMIDT FR. Revision der Ostbaltischen Silurischen Trilobiten, I. — Mém Acad. Imp. Sci., Ser. VII, T. XXX, No. 1. St.-Petersbourg 1881.
- STØRMER L. Studies on Trilobite Morphology. Part II. — Norsk Geol. Tidsskr., 21. Oslo 1942.
- STRAND T. The ontogeny of *Olenus gibbosus*. — Ibid., Bd. IX, H. 3-4, Oslo 1927.
- STUBBLEFIELD C. J. in Raw. Quart. Journ. Geol. Soc., vol. 92, pt. 3. London 1936.
- Cephalic sutures and their bearing on current classification of Trilobites. — Biol. Rev., vol. 11. Cambridge 1936.
- SWINNERTON H. H. in Raw. Quart. Journ. Geol. Soc., vol. 81. London 1925.
- TÖRNQUIST S. L. Undersökningar öfver Siljansormrådets Trilobitfauna. — Sver. Geol. Unders., ser. C, No. 66. Stockholm 1885.
- TROEDSSON T. G. On the Middle and Upper Ordovician faunas of Northern Greenland. — Medd. Grönland, vol. LXXII. Copenhagen 1928.

44. WALCOTT C. D. Cambrian geology and paleontology I, No. 6. *Olenellus* and other genera of Mesonacidae. — Smith. Misc. Coll., vol. 53. Washington 1911.
45. WARBURG E. The Trilobites of the Leptaena limestone in Dalarne. — *Bull. Geol. Inst. Uppsala*, vol. XVII. Uppsala 1925.
46. WESTERGÅRD A. H. Paradoxides oelandicus beds of Öland. — *Sver. Geol. Unders.*, ser. C, No. 394. Stockholm 1936.
47. WHITTINGTON H. B. & EVITT W. R. Silicified Middle Ordovician Trilobites. — *Geol. Soc. Amer. Mem.* 59. Baltimore 1953.

## PL. I

*Ceraurus intermedius* n. sp.

1 — Paratyp, kranidium — Brzezinki	× 34
2 — Paratyp, kranidium — Brzezinki	× 28
3 — Paratyp, kranidium — Wólka	× 34
4 — Paratyp, kranidium — Wólka	× 34
5 — Paratyp, część cefalonu i pygidium — Wólka	× 34
6 — Paratyp, negatyw cefalonu przedstawionego na fig. 5 — Wólka	× 34
7 — Holotyp, kranidium — Wólka	× 28
8 — Paratyp, kranidium — Brzezinki	× 28

Wszystkie okazy pokrywane chlorkiem amonu

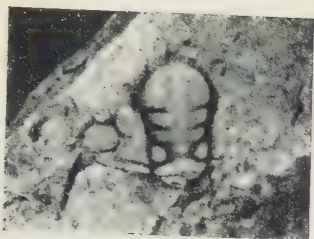
## PL. II

*Ceraurus intermedius* n. sp.

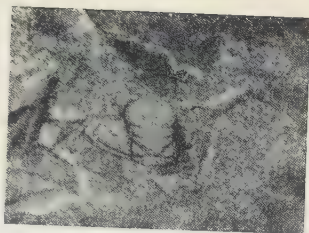
1 — Paratyp, pygidium — Brzezinki	× 34
2 — Paratyp, pygidium i część toraksu — Brzezinki	× 34
3 — Paratyp, pygidium — Wólka	× 34
4 — Paratyp, toraks — Brzezinki	× 28
5 — Paratyp, część toraksu i pygidium — Brzezinki	× 28
6 — Paratyp, część cefalonu i toraksu — Brzezinki	× 28

Wszystkie okazy pokrywane chlorkiem amonu





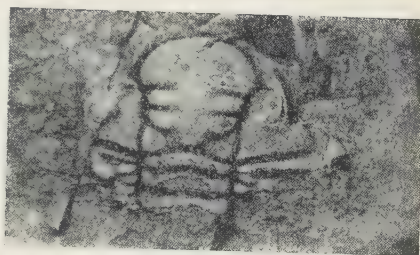
1



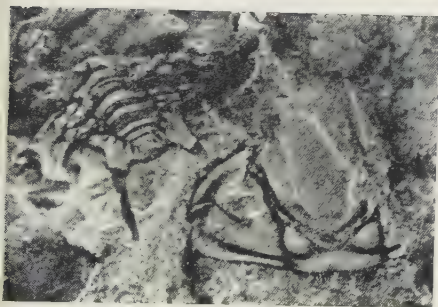
2



3



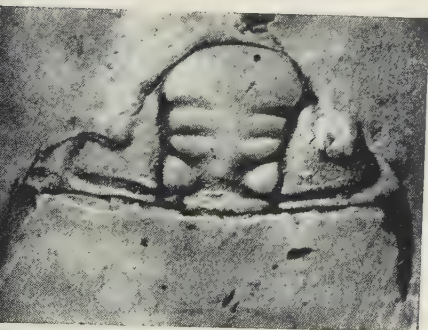
4



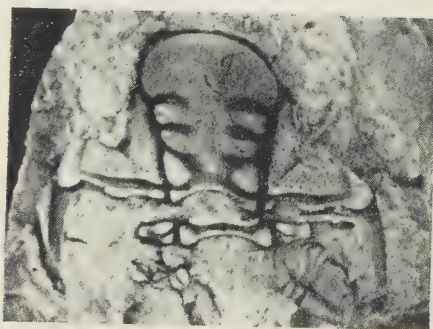
5



6

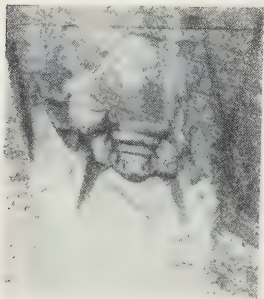


7



8

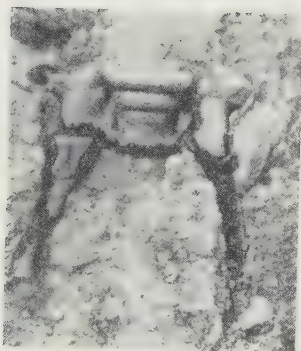
(objaśnienia obok)



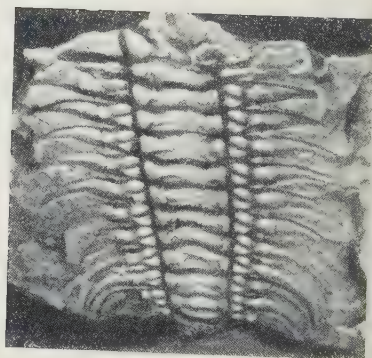
1



2



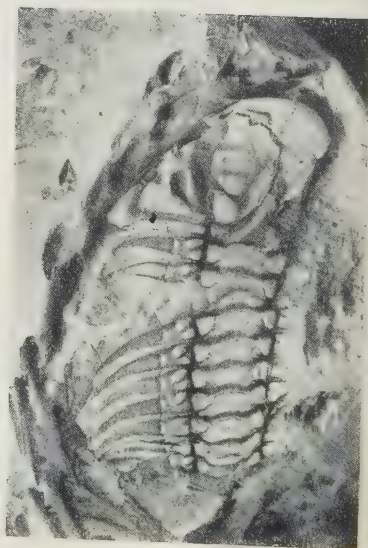
3



4



5



6

(objaśnienia na str. 240)



ARIA RÓŻKOWSKA

## Koralowce okolic Sochaczewa z warstw z *Crania tuberculata*

WSTĘP — Stan zachowania — Opis fauny: *Deltocyathus staszici* n. sp., *Caryophyllia calcitrata* (v. Koenen), *Caryophyllia kongieli* n. sp., *Parasmilia helenae* sp., *Eupsammia pożaryskii* n. sp. — Morfologia, ontogeneza i zmienność zbadanych koralowców — Wiek fauny koralowców — Środowisko koralowców z Boryszewa — Wnioski — Literatura cytowana

### WSTĘP

Przy wierceniu wykonanym w 1952 r. w Boryszewie koło Sochaczewa natrafiono pod utworami trzeciorzędowymi, na głębokości 193-207 m, piaski i margle piaszczyste, silnie glaukonitowe, z obfitą fauną otwornic, koralowców, robaków, mszywiolów oraz nielicznymi skorupkami ramionogów i małżów. Obfitość ta jest jednak pozorna, gdyż zbiór, obejmujący kilka tysięcy okazów (prócz otwornic), uzyskano dzięki przesianiu przez sita wielu setek kilogramów sypkiego materiału skalnego. Pracę zesiewu wykonał na miejscu wiercenia mgr S. Cieśliński.

Prof. W. Pożaryski zajął się opracowaniem sytuacji geologicznej. Jeden z tych warstw określił jako górnodański oznaczając charakterystyczną formę *Crania tuberculata* Nilss. Mgr K. Pożaryska zajęła się opracowaniem otwornic. Zbiór koralowców, obejmujący 1200 okazów, został mi przekazany do opracowania przez Instytut Geologiczny. Za udzielenie mi tego cennego i nader ciekawego materiału składam Prof. W. Pożaryskiemu serdeczne podziękowanie. Winna jestem również szczególną wdzięczność Prof. R. Kozłowskiemu za cenne uwagi, udzielane mi chętnie w czasie dyskusji, i za krytyczny przegląd rękopisu.

Ustalenie gatunków było w tym materiale niezwykle trudne, mimo że okazy są na ogół dobrze zachowane i liczne. Główna trudność polegała na tym, że zespół koralowców występujący razem z charakterystycznym górnym danu *Crania tuberculata* Nilss. ma charakter nieco młodszy. Na wstępie należało więc zapoznać się z literaturą dotyczącą nie tylko koralowców górnokredowych, zwłaszcza tych, które występują w górnym dańcu, lecz również i tą, która dotyczy koralowców paleogeńskich. Podsta-



wową w tej dziedzinie pracę Nielsena Brünnicha (23) otrzymałam dzięki uprzejmości prof. Ch. Poulsena z Instytutu Mineralogiczno-Geologicznego Uniwersytetu w Kopenhadze, za co mu na tym miejscu składam uprzejme podziękowanie.

Jak wynika z zestawień J. Felixa w „Fossilium Catalogus“ (6) \* obejmującym koralowce kredowe i kenozoiczne, opisane do roku 1929, z paleocenu znane były dwa gatunki, z których jeden *Caryophyllia calcitrapa* (według v. Koenena *Trochocyathus calcitrapa*) występuje obficie w zespole koralowców w Boryszewie, drugiego jednak gatunku *Sphenotrochus latus* v. Koenen brak w naszym materiale. Cztery inne gatunki opisane w niniejszej pracy są nowe dla nauki.

#### STAN ZACHOWANIA

Zespół koralowców występujący w marglach piaszczystych składa się z form osobniczych karłowatych i jest pod względem gatunkowym dość monotony, natomiast bogaty ilościowo. Charakter jego jest autochtoniczny: osobniki żyły zapewne w tym samym środowisku, w którym zachowały się ich korality. Ich stan zachowania jest dobry. Mimo że szkielety są bardzo delikatnej budowy, nie są one na ogół poważnie uszkodzone. Często widoczny jest ślad ich przyczepu umieszczony na końcu proksymalnym cienkiego pedicillum. Na większości okazów dobrze zachowana jest rzeźba zewnętrzna koralitów. We wnętrzu kielicha widać wyraźnie septa wraz z ornamentacją i słupek, a w niektórych okazach nawet paliki. Brzeg kielicha bywa zazwyczaj uszkodzony, jak również górny brzeg septów. Nieco gorzej zachowane są okazy należące do gatunku *Eupsammia pożaryskii* n. sp., co wynika może z tego, że szkielet ich jest bardzo porowaty. Koniec proksymalny jest tu zawsze uszkodzony. Co do *Caryophyllia kongieli* n. sp. — jedne okazy są dobrze zachowane, inne silnie uszkodzone. Wnętrze koralitów wszystkich okazów dojrzałych w części proksymalnej jest wypełnione wtórną sklerenchymą, która łączy ze sobą ściśle całość szkieletu i utrudnia badanie makroskopowe. Natomiast w części dystalnej istnieją pomiędzy septami i słupkiem wolne przestrzenie, wypełnione jedynie ziarenkami piasku i glaukonitu. Niektóre szkielety robią wrażenie współczesnych form, wydobytych dopiero co z dna morza. Jedynie kruchość niektórych okazów, rozsypujących się przy dotyku, świadczy o procesie odwapnienia, przez który przeszły. Poza tym korality rozłupują się łatwo w kierunku podłużnym, wzdłuż szczelinek, które powstają na miejscu ciemnej linii w septach.

\* Liczby kursywą w nawiasach odsyłają do spisu literatury na końcu artykułu.

## OPIS FAUNY

W zespole koralowcowym, występującym w marglach piaszczystych ryszewa, stwierdziłam pięć gatunków należących do następujących óch podrzędów i trzech rodzin, według systematyki podanej przez Alloiteau (1):

Podrząd Caryophylliida Vaughan & Wells

Rodzina Caryophylliidae Gray

Rodzaj *Deltocyathus* M. Edwards & J. Haime

1. *Deltocyathus staszici* n. sp.

Rodzaj *Caryophyllia* Lamarck

2. *Caryophyllia calcitrata* (v. Koenen)

3. *Caryophyllia kongieli* n. sp.

Rodzina Parasmiliidae Alloiteau

Rodzaj *Parasmilia* M. Edwards & J. Haime

4. *Parasmilia helenae* n. sp.

Podrząd Eupsammiida Alloiteau

Rodzina Eupsammiidae Milne Edwards

Rodzaj *Eupsammia* M. Edwards & J. Haime

5. *Eupsammia pożaryskii* n. sp.

*Deltocyathus staszici* n. sp.

(fig. 1-3 w tekście; pl. I, fig. 6 i pl. II, fig. 5)

*Holotyp*: Pl. I, fig. 6 i pl. II, fig. 5.

*Materiał*. — 8 okazów, częściowo dobrze zachowanych, 2 szlify mikroskopowe z przekrojem poprzecznym kielicha.

*Diagnoza*. — Drobne korality w kształcie prostego, niskiego i szereg stożka, bez śladu przyczepu i epiteki. Największy okaz długości 1 mm i średnicy 4,2 mm z 36 septami. Żebra wydatne, ostrokrawędziste, słabiej guzkowane. Septa w 6 systemach obejmujących po 5 septów; 6 kółki palików, z których paliki należące do septów cyklu 2 i 3 zrosnięte. Septa cyklu 4 połączone z septami cyklu 3.

*Opis makroskopowy* (pl. I, fig. 6 i pl. II, fig. 5). — Osobnicze koraliki w kształcie niskiego prostego stożka, w miarę wzrostu szybko poszerzające średnicę podstawy (kąt wierzchołka 38°). Koniec proksymalny zaokrąglony, bez śladu przyczepu. Brak również epiteki. Żebra są niskie, wysokie, ostrokrawędziste i robią wrażenie gładkich; przy silnym powiększeniu widać, że mają zaokrąglone guzki, ustawione w jednym szeregu opatrzonym kilem. Bruzdy pomiędzy septami są wąskie i głębokie.

Kielich jest kolisty w przekroju i głęboki. Septa cyklu 1 są wysokie. Młodsze niż septa młodsze i tworzą 6 systemów obejmujących po 5 sep-

tów. Septa wychodzą poza ścianę kielicha w postaci zaokrąglonych, masywnych żeber. Przegrody cyklu 1 w głębi kielicha są połączone ze słupkiem. Ich osiowy koniec jest prawie nierozszerzony i palik do niego należący jest makroskopowo niewidoczny. W każdym systemie widać krótki palik przed septum cyklu 2 oraz palik wydłużony przed septum cyklu 3. Paliki te zrastają się, nie tworzą jednak figury delta, o której wspominają Alloiteau (1) i Reuss (27), gdyż tylko po jednej stronie palika krótkiego występuje palik wydłużony. Septa cyklu 4 są tylko w połowie wykształcone i przrastają parami w każdym systemie do jednego z dwóch septów cyklu 3. Na bokach septów widać ostre guzki, na palikach większe wyrostki. Słupek jest widoczny w postaci około sześciu kanciastych, nieregularnych, częściowo zrośniętych guzków.

Na powierzchni bocznej septum (fig. 1) o zachowanym górnym brzegu widać, że brzeg ten jest lekko falisty i ma kształt silnie wygiętego łuku o symetrii prawie dwubocznej, ściana zaś kielicha, nad którą się unosi, jest stosunkowo daleko posunięta ku środkowi kielicha. Guzki trabekularne występują w ukośnych szeregach. Przebieg tych szeregów określa położenie linii rozbieżności w okolicy ściany. W pobliżu słupka występują na bokach septów nieco wydatniejsze guzki (nie objęte już rysunkiem) należące do odnośnego palika.



Fig. 1

*Deltocyathus staszici* n. sp.  
Część dystalna powierzchni  
bocznej septum  
sth septoteka, r-l linia roz-  
bieżności, S septum cyklu 1,  
S<sub>4</sub> septum cyklu 4 × 30



Fig. 2

*Deltocyathus staszici* n. sp.  
Septoteka  
1 szczelinka na miejscu linii tra-  
bekularnej, 2 septum uwstecznione × 30

*Mikrostruktura* (fig. 2). — Szlif mikroskopowy przedstawiający część peryferyczną septów uwiadczenia, że ściana jest septoteką utworzoną przez poszerzone końce septów oraz uwstecznione septa („septe abortif“ według Alloiteau, 1). Linia trabekularna nie jest zachowana. Na jej miejscu widoczne są plamki lub szczelinki. Prawie równoległe włókienka trabekularne wsk-



wałyby na to, że ośrodki zwapnienia były bardzo małe i umieszczone blisko siebie. W części osiowej septum, nie objętej rysunkiem, gdzie rzelinka ma bieg zygzakowaty, układ włókienek jest promienisty i wtenia tworzą się naprzemianległe guzki na bokach septów. Nie objęte rysunkiem są również paliki występujące przed septami 3-ch starszych cykli. Można je odróżnić od przynależnego septum na podstawie włókienek stawionych w innym kierunku. Eliptyczne guzki słupka oddzielone są od siebie i od palików przez suturę.

*Ontogeneza* (fig. 3). — Żebra odpowiadają ściśle septom, wobec tego rozwój aparatu septalnego śledzić można obserwując pojawianie się żeber.

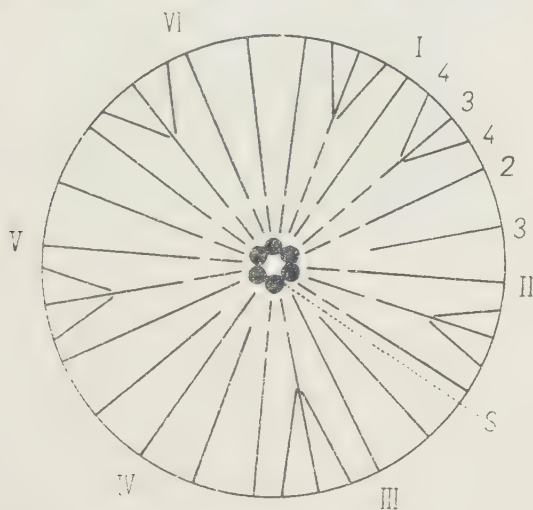


Fig. 3

*Deltocyathus staszici* n. sp.

Schemat rozmieszczenia żeber i guzków słupka

S słupek. Cyfry rzymskie oznaczają żebra cyklu 1,

cyfry arabskie — żebra cykli następnych

końcu proksymalnym widać na środku około 6 guzków protokolumelli, łączącej zaczątkiem słupka właściwego („columelle essentielle“ według Coiteau, 1). Do środka dochodzą dwa najstarsze cykle żeber i częściowo septa odpowiadające septom cyklu 3. W części proksymalnej koralita żebra są przeważnie przerywane tworząc szeregi guzków. U miocieńskiego *Deltocyathus italicus* Michelotti żebra są na całej długości taką serią guzków (Moenke 22, str. 258). Żebra odpowiadające septom cyklu 4 pojawiają się na wysokości 2 mm, parami po obu stronach septów cyklu 3, w liczbie 12. Najpierw pojawia się jedna para w systemie III—IV, potem równocześnie 5 dalszych par. Umieszczenie tych septów jest takie, że powstaje

symetria bilateralna z płaszczyzną symetrii przechodzącą przez septa I i IV.

Zmienność jest niewielka. Nieliczne okazy są raczej jednolite w ornamentacji i budowie kielicha. Występują tylko osobniki smuklejsze oraz szerokostozkowatych.

*Podobieństwa i różnice.* — Według diagnozy Reussa (27) oraz Alloiteau (1) *Deltocyathus* ma kształt dyskooidalny, nasze okazy natomiast stożkowate. Inne jednak cechy są zgodne z opisem powyższych autorów. Mianowicie: 1<sup>o</sup> koralowce nie mają śladu przyczepu, 2<sup>o</sup> brak im epiteki, 3<sup>o</sup> paliki występują w kilku okółkach, 4<sup>o</sup> paliki przynależne do cyklu I i 3 septów łączą się, 5<sup>o</sup> septa cyklu 4 przyrastają osiowymi końcami do septum cyklu 3.

*Występowanie.* — Według Alloiteau (1) rodzaj *Deltocyathus* znany jest od eocenu; Oppenheim (fide 6, str. 208) opisał *Deltocyathus* z warstw eoceńskich z Togo. Z całego paleogenu wobec tego są dotychczas znane tylko wyżej wymienione dwa gatunki: gatunek afrykański i nasz z Boryszewa. Z neogenu opisano, według Felixa (6) 21 gatunków. Dziś rodzaj *Deltocyathus* występuje w większości mórz w głębokości 10-4500 m.

### *Caryophyllia calcitrata* (v. Koenen)

(fig. 4-6, tabela 1; pl. I, fig. 3, 4; pl. II, fig. 1, 2)

1885. *Trochocyathus calcitrata* v. Koenen; v. Koenen (14), s. 105, tabl. V, fig. 9.

1897. *Trochocyathus calcitrata* v. Koenen; Grönwall (8), s. 68.

1920. *Trochocyathus?* *calcitrata* (v. Koenen); Rosenkrantz (29), s. 77.

1922. *Flabellum calcitrata* (v. Koenen); Nielsen Brünnich (23), s. 227.

1925. *Trochocyathus calcitrata* v. Koenen; Felix (6), s. 196.

*Materiał.* — 249 okazów, często dobrze zachowanych, i 60 ułamków i 6 szlifów mikroskopowych z przekrojami poprzecznymi.

*Diagnoza.* — Koralicy osobnicze; największy nasz okaz o długości 12 mm (u v. Koenen 20 mm), średnicy 5,7×3,7 mm (u v. Koenen 10×10 mm) z 48 septami; wydutna symetria bilateralna; mocny kil po stronie wypukłej koralicy; pedicillum wykształcone; epiteki brak; żeberka o różnej wielkości i rzeźbie; 1 okółek palików; słupek złożony z 6-8 spiralnie skręconych pręcików.

*Opis makroskopowy* (fig. 4, pl. I, fig. 3, 4; pl. II, fig. 1, 2). — Koralicy stożkowate, zgięte lub wyprostowane, o bokach przyplaszczonych mają smukłe, walcowate pedicillum. Po stronie wypukłej widać kil, przebiegający silnie wydutany, falisty, opatrzone guzkami i prążkami przyrostowymi. Żeberka bywają bardzo różnorodne: szerokie i płaskie lub wąskie i ostrokrawędziste, oddzielone nitkowato cienką lub szeroką bruzdą; u niektórych brak bruzd, guzki zaś są rozsiane nieregularnie po całej powierzchni.

powierzchni. Żeberka zbiegają się przeważnie w końcu proksymalnym, z istnieją nieliczne okazy, gdzie żeberka mają bieg równoległy, nawet zrywają się, koralit zaś widziany z boku ma kształt trapezoidalny (pl. I, fig. 4). Epiteki brak. Część septoteki, w której znajdują się żebra, odpada często i odsłania matową powierzchnię, na której przebiegają rowki poziome, odpowiadające liniom trabekularnym w septach.

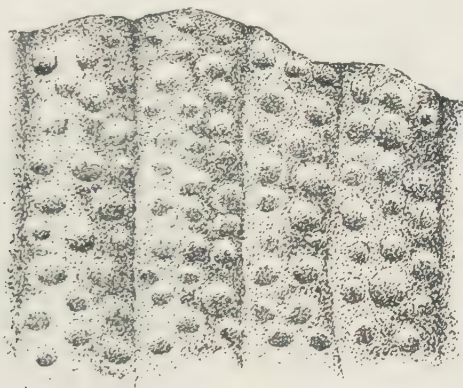


Fig. 4

*Caryophyllia calcitrata* (v. Koenen)

Ornamentacja ściany częściej spotykana; szerokie, płaskie żeberka z nieregularnie rozszanymi guzkami

× 40

Kielich (pl. II, fig. 1, 2) jest w zarysie jajowaty, z końcem zaostrzonym po stronie, gdzie występuje kil, i poszerzony po stronie przeciwległej. W młodości kielich jest na ogół w przekroju bardziej kolisty, później staje się bardziej eliptyczny. Po stronie wklęsłej okazy zaznacza się często linie występujących żeber uwydatniających się również w zarysie kielicha. Na jednym wyjątkowo dobrze zachowanym okazy widać, że kielich jest głęboki, ze stromym, ostrym brzegiem. W dorosłych kielichach 48 septów, tworzących 6 systemów (pl. II, fig. 2). Septa cyklu 1 są wyjątkowo, o górnym brzegu zaokrąglonym, a osiowym silnie falistym, stromo wznoszącym się w głąb kielicha. Septa cyklu 2 są znacznie krótsze, przed kielichem i zaś wznosi się głębokim wcięciem oddzielony, długi falisty palik uwydatniony guzkami. W starszych kielichach występują paliki również między septami cyklu 3 (wszystkie w jednym okółku), lecz są zawsze uszczelnione, a zaznaczają się tylko obecnością guzków większych, niż guzki między septami cyklu 1 (pl. II, fig. 2). Słupek ma wygląd powyginanych wstęg (pl. II, fig. 1) i w przełamie jest gąbczasty.

Na przełamanym w kierunku podłużnym koralicie (fig. 5) widać, że część proksymalna jest wypełniona wtórną stereoplazmą. W dystalnej



części stwierdza się brak dissepimentów; boki septów są opatrzone ostnami, rzadkimi guzkami, ustawionymi w rzędy równoległe do górnego brzegu septów oraz w podłużne, ukośne szeregi. Linia rozbieżności znajduje się po wewnętrznej stronie ściany. Wszystkie elementy koralita, jak ścianka, słupek, paliki, septa, zbudowane są z trzech warstw. Po odpadnięciu warstwy zewnętrznej odsłaniają się w septum wachlarze trabekularne. Wachlarze te są prawie symetryczne, a bieg ich odpowiada rozmieszczeniu guzków trabekularnych. Beleczki trabekularne przenikają ścianę tworząc septotekę. Epiteki brak.

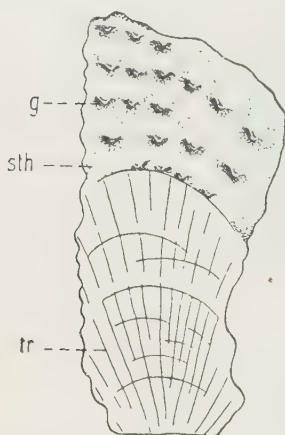


Fig. 5

*Caryophyllia calcitrata*  
(v. Koenen)

Część dystalna powierzchni bocznej septum  $\times 15$   
g guzki trabekularne, sth  
septoteka, tr wachlarz tra-  
bekularny



Fig. 6

*Caryophyllia calcitrata* (v. Koenen)  
Septoteka

1 szczelinka na miejscu linii trabekularnej, 2 septum uwstecznione

*Mikrostruktura* (fig. 6). — Ściana jest septoteką. W części zewnętrznej, w obrębie żeber, jest ona zbudowana z włókien ustawionych pierzasto do peryferycznego końca linii trabekularnej. Po stronie wewnętrznej włókienka mają bieg prawie równoległy. Linia z ośrodkami zwapnienia jest zatarta, na jej miejscu widać szczelinę, częściowo wypełnioną skałą. W osiowej części septum szczelinka ma bieg zygzakowaty i powoduje obecność naprzemianległych guzków trabekularnych. Na szlifie mikroskopowym, nie objętym rysunkiem, widoczne są następujące szczegóły morfologiczne: kil występujący na powierzchni koralita jest wydatnym żebrkiem i ma nieco dalej, niż zwykle w żeberkach, wysuniętą szczelinę trabekularną. Słupek widoczny jest na szlifie w postaci kilku eliptycznych odcinków ze szczeliną trabekularną i z gęstymi, długimi włóknami.

miejscu zetknięcia istnieje między nimi sutura. W proksymalnej części koralita, jak to widać na szlifie mikroskopowym, wszystkie części szkieletu poszerzone przez koncentrycznie prążkowaną sklerenchymę.

**Ontogeneza.** — Larwa przytwierdzając się wydzielala najpierw płytkę podstawową, na której powstawało 6 protoseptów i guzek protolumelli, które przeświecają przez cienką płytkę podstawową. Jako przedmiot przytwierdzenia larwy wybierały najchętniej ziarenka piasku (60%), rzadziej osadzały się na rurce robaka lub skorupce ramienia oga (?). Prototeka o cienkich koncentrycznych, jak w epitece, prążkach zakrywa całe pedicillum. Cykl 2 pojawia się w obrębie pedicillum niewiele wyżej ponad płytką podstawową, a cykl 3 już ponad pedicillum. W rozprzeczaniu wczesno-ontogenetycznym widać tylko jedną ścianę, prototekę. Właściwa septoteka pojawia się nad pedicillum i tworzą ją przez pewien czas tylko septa pierwszych dwóch cykli. Gatunek powyższy należy więc do typu monocyklicznego, jak to również udowodnił Durham (5) dla gatunku *Tryophyllia alaskensis* Vaughan i dla kilku innych gatunków tego rodzaju. Miejsce, gdzie pojawiają się septa cyklu 3, zaznacza się wyraźnie poszerzeniem i zgięciem koralita, który do tego czasu był wyprostowany radialnie symetryczny. Następnie jedno żebro występuje silniej i symetrycznie promienista ustępuje bilateralnej. Wraz z uzyskaniem symetrii bilateralnej koralowiec zaczyna się zakrzywiać i przybiera postać przypłaszczonego rogu. Cecha taka przypomina bardzo pokrój *Tetracoralla*, których korality mają symetrię bilateralną i są zgięte na kształt rogu. Septa jednakże występują tu w sposób charakterystyczny dla *Hexacoralla*.

**Zmienność.** — Zmienność tych form jest niesłychanie szeroka i zaznacza się w ornamentacji ścian, w pokroju koralita, w zarysie kielicha. Ornamentacja ścian zmienia się wraz ze wzrostem i podlega poza tym dużym wahaniom osobniczym. Młode osobniki mają przeważnie powierzchnię guzkowaną nieregularnie, później zaznaczają się na niej żebra. Zmienność rzeźby poszczególnych, nieco starszych okazów jest tak duża, że nie ma wprost dwóch jednakowo rzeźbionych koralitów. Okazy krańcowe można by uważać za odmiany, gdyby nie istniały formy o cechach przejściowych (fig. 4 i pl. I, fig. 3, 4). Koralit może być wyprostowany nawet w stadium późniejszej ontogenezy, lecz obok form wyprostowanych i smukłych, w przekroju zaokrąglonych, zdarzają się okazy szerokie, silnie spłaszczone i zgięte. Kształt kielicha jest również zmienny i charakterystyczny przede wszystkim dla stadiów rozwoju ontogenetycznego. W młodszych formach proporcje dwóch średnic kielicha mają przeważnie wartość 1 : 1 do 1 : 1,3, liczba zaś septów jest tu 24—28 (por. tab. 1, według metody zastosowanej przez Klähna, 13). Istnieje wyraźna korelacja między stosunkiem średnic kielicha do liczby septów. W starszych kielichach większości okazów, gdzie stosunek średnic ma wartość 1,4 i do-

chodzić może do 1,8, liczba septów wzrasta od 30 do 48; kielichy są wtedy ściśnięte wzdłuż większej osi. Liczba septów wzrasta więc progresywnie wraz ze zwiększeniem się stosunku dwóch średnic, jak to obrazuje szeregi cyfr tłustych na tabeli 1. Jednakże przy stosunku 1,5 następuje jak gdyby zahamowanie. Przeważająca liczba okazów trwa przy tym stosunku mimo coraz większej liczby septów. Jak wynika z tabeli, najczęściej spotykane są okazy młodociane (i uszkodzone) z 24 septami. Takich jest 101 na 249 wymierzonych koralitów. Najczęściej spotykany stosunek średnic jest 1,3.

*Podobieństwa i różnice.* — Wielka zmienność koralitów i zły najczęściej stan zachowania są zapewne przyczyną, że okazy tego gatunku były walczy zaliczane do dwóch różnych rodzajów. V. Koenen (14) przyłączył je do rodzaju *Trochocyathus*, gdyż sądził, że ich paliki występują w 2 do 3 okółkach. Na naszych okazach, niekiedy bardzo dobrze zachowanych (pl. II. fig. 1) widać wyraźnie, że paliki występują tylko w jednym okółku. Nielsen Brünnich (23) natomiast przyłączył ten gatunek do rodzaju *Flabellum*, gdyż obecności palików zaprzeczał. Okazy moje przemawiają jednak za przynależnością tego gatunku do rodzaju *Caryophyllia*, gdyż nie stwierdziłam na nich cech, charakteryzujących rodzaje *Trochocyathus* i *Flabellum*, z których pierwszy ma rozwój ontogenetyczny policykliczny i paliki w kilku okółkach, drugi zaś nie ma palików i wykształca całkowitą epitekę.

Tabela 1

Współzależność między liczbą septów (cechą podrzędną) a stosunkiem dwóch średnic kielicha (cechą nadrzędną) u *Caryophyllia calcitrapa* (v. Koenen)

L. septów ↓	1	1,1	1,2	1,3	1,4	1,5	1,6	1,7	1,8	stos. średnic —
24	6	24	36	28	7					101
26; 28	1	11	15	21	12	5				65
30; 32		1	5	8	11	5	4	6		40
34; 36				2	2	9	1	1		15
38; 40				1	1	6	1	1		10
42; 44					1	2	1	2		6
46; 48					2	5	3	1	1	12
Razem	7	36	56	60	36	32	10	11	1	249

Okazy z Boryszewa są identyczne z formą opisaną przez v. Koenena z montu Kopenhagi (14) z Vestre Gasvaerk, różnią się jednak wielką zmiennością, o której v. Koenen nie wspomina, i są drobniejsze. Największy okaz z Boryszewa ma 12 mm długości i 5,7×3,7 mm średnicy kielicha



y tymczasem wymiary te dla okazów z Kopenhagi wynoszą: 20 mm  $0 \times 7$  mm przy 4 cyklach septów w obu zespołach.

*Występowanie.* — V. Koenen (14) opisał ten gatunek z ilów leżących na kredzie w obrębie gazowni miasta Kopenhagi podając, że okazy były bardzo liczne („znacznie ponad 100“) i ustalił wiek owych ilów jako paleocen. poziom nieco starszy niż „sables de Bracheux“ (l. c., str. 122), więc jako mont. Grönwall (8) wymienia ten gatunek wśród fauny z głównych narzutowych wieku paleoceńskiego w Köpenhamn (w okolicy Kopenhagi). Rosenkrantz (29) cytuje *Trochocyathus? calcitrapa?* v. Koenen z gór-gó danu z Sydhavnen i *Trochocyathus? calcitrapa* z paleocenu z Vestre Svaerk. Lellinge? i Rugaard. Nielsen Brünnich (23) wymienia go z gór-gó danu z Saltholm i z piasków glaukonitowych koło Kopenhagi (Vestre Svaerk, Southern Harbor, Copenhagen).

*Caryophyllia kongieli* n. sp.

(fig. 7 i 8 w tekście; pl. I, fig. 1, 2; pl. II, fig. 4; tabela 2)

Holotyp: fig. 7 w tekście, pl. I, fig. 1.

Paratyp: pl. I, fig. 2; pl. II, fig. 4.

*Materiał.* — 111 okazów, częściowo dobrze zachowanych i 17 ułamków.

*Diagnoza.* — Osobnicze korality kształtu wydłużonego stożka z krótkim pedicillum; długość największego koralita 12 mm, jego średnica 3 mm, liczba septów 36. Paliki przed septami cyklu 2 i częściowo cyklu 3. Słupek złożony z ok. 5 prostych pręcików. Dissepimenta rzadkie, żeberka szerokie i wydatne, lub też cienkie i oddalone. Na nielicznych okazach pierścienie epitekalne.

*Opis makroskopowy* (pl. I, fig. 1, 2). — Korality mają postać prostej, wydłużonych stożków. Niektóre są zgięte w części proksymalnej bezpośrednio nad krótkim i szerokim pedicillum. Niekiedy widać wydatne zewężenia wskutek procesu odmłodzenia i wtedy występować mogą pierścienie epitekalne. Powierzchnia zewnętrzna ściany, przy dobrym zachowaniu, ma połysk porcelanowy i żeberka są wydatne, zaokrąglone, jednym szeregiem guzków, oddzielone wąskimi bruzdami, w których występować może szereg drobnych guzków lub cienki jak nitka prążek. Na innych okazach żeberka są cienkie i drobne, oddzielone szerokimi bruzdami, a w nich zawsze biegnie nitkowato cienki prążek. Na licznych koralitach powierzchnia jest starta, wygląd ściany staje się wówczas matowy, a pomiędzy zniszczonymi żeberkami widać okółki otworków odpowiadających przestrzeniom międzyseptalnym.

Kielich (fig. 7; pl. II, fig. 4) jest w zarysie kolisty, często ściśnięty, w przekroju owalny. Jest on płytki. Septa trzech cykli nie bardzo się różnią

rozmiarami, są grube i opatrzone wydatnymi, gęstymi guzkami trabekularnymi. Septa cyklu 1 są nieco dłuższe i dochodzą w głębi do słupków. Przed septami cyklu 2 znajduje się falisty palik, opatrzony większymi, niż

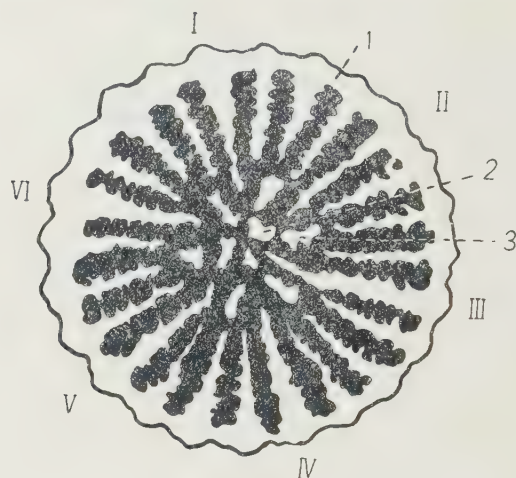


Fig. 7

*Caryophyllia kongieli* n. sp.

Budowa dobrze zachowanego kielicha (rysunek wykonany na fotografii i następnie odbarwiony) × 18

I-VI septa cyklu 1, 1 septoteka, 2 słupek, 3 palik

u sąsiednich septów, guzkami. W większych kielichach wznoszą się również paliki przed niektórymi septami cyklu 3. Liczba ich dochodzi wtedy do 8-miu. Liczba septów wynosi przeważnie 24, w większych kielichach — 32. Słupek widoczny jest w postaci ok. 5 kanciastych guzków, głęboko w kielichu umieszczonych. W nielicznych kielichach występują cienkie dissipimenta.

Obserwując część dystalną septum (fig. 8) widać na jego boku gęsto umieszczone guzki trabekularne, ułożone w wypukłe szeregi, równoległe do górnego brzegu. Mniej wyraźnie zaznacza się ich uszeregowanie w kierunku pionowym i bieg linii rozbieżności, która znajduje się prawie na środku septum. Powierzchnia septum staje się jeszcze bardziej nierówna przez silne poprzeczne zmarszczenia i silne guzki na palikach. W niektórych kielichach paliki są zaznaczone wyraźnie, gdyż oddzielają się od przynależnych septów szeregiem otworków. Widać cienkie, długie ukośne dissipimenta.

*Ontogeneza.* — Nie wiadomo, do jakiego przedmiotu przytwierdza się larwy; ślad przyczepu zaznacza się niekiedy przez niewyraźne wgłębienie na płycie podstawowej, która może być jednak zupełnie płaska.

gładka. Widać na niej 6 protoseptów, w środku — niezależny od nich tupek. Pedicillum jest niskie, szerokie, 6-płatowe i przeważnie umieszczone skośnie do pionowej osi koralita. Żeberka odpowiadające cyklowi septów pojawiają się bezpośrednio nad pedicillum, żeberka zaś cyklu 3 — nieco wyżej. Cykl 4 zaznacza się już wcześniej w postaci szeregu małych guzków lub cienkich prążków, lecz odpowiednie septa występują w kielichu bardzo późno.

Zmienność tego gatunku jest wielka zdawałoby się, że mamy do czynienia dwiema odmiennymi formami: jedna drobniejsza, o mocnych jednolitych żeberkach, przeważnie z 24 septami, druga dłuższa, subcylindryczna, z rzadkimi pierścieniami epiteki, o cienkich, oddalonych od siebie żeberkach i z liczniejszymi septami (28—36). Dokładne obserwacje i pomiary dokonane na okazach przekonywają jednak, że te dwie formy tworzą jeden gatunek gdyż mają one cechy stałe i wspólne, jak kształt elementów morfologicznych kielicha, jak również układ guzków trabekularnych na bokach septów, które są identyczne dla obu form. Poza tym rozwój wczesno-ontogenetyczny jest u nich jednakowy, pedicillum u obu form niskie, szerokie, ukośne i zawiera tylko 6 protoseptów. Różnice między nimi występują tylko

w ornamentacji zewnętrznej i są zapewne uwarunkowane przez zmienność wewnątrzgatunkową albo przez zmienność w rozwoju osobniczym, częściowo, być może, przez wtórne zniszczenie. Okazy drobniejsze są lepiej zachowane i prawdopodobnie są autochtonami, natomiast okazy większe są starte. Czyżby przyczyną tego był niedaleki transport?

Mając do dyspozycji 111 okazów zbadałam współzależność liczby septów i średnicy kielicha. Współzależność tę przedstawia tabela 2 (p. str. 254).

Z zestawienia tego wynika, że najczęstsze są korality młodociane trzech cyklów septów, co jest zjawiskiem prawdopodobnie normalnym. Poza tym uwydatnia się tu wyraźna współzależność liczby septów od wielkości kielicha.

*Podobieństwa i różnice.* — Według dostępnej mi literatury z montu nany jest tylko jeden gatunek z rodzaju *Caryophyllia*, a mianowicie po-



Fig. 8

Część dystalna powierzchni  
bocznej septum

sth septoteka, r-l linia rozbieżności w wachlarzu trabekularnym



Tabela 2

Współzależność średnicy kielichów (cecha nadrzędna) i liczby septów (cecha podrzędna) u *Caryophyllia kongieli* n. sp.

L. septów	1,5-2	2,1-2,5	2,6-3	3,1-3,5	3,6-4	4,1-4,5	śred. kiel w mm
24	4	22	20	8	3		57
26; 28		7	15	7	3		32
30; 32			5	8	3	1	17
34; 36				2	2	1	5
Razem	4	29	40	25	11	2	111

przednio opisany *C. calcitrata* (v. Koen.), zupełnie odmienny od *C. kongieli*. Forma *C. danica* Nielsen (23, str. 221, tabl. II, fig. 19-20) z facji koralowej górnego danu w Faxe różni się od gatunku polskiego większymi rozmiarami kielicha (10 mm średnicy wobec 4,5 mm), większą liczbą septów (4 pełne cykle), obecnością 12 palików i wydatnymi septami dwóch pierwszych cykli. *C. jasmundi* Wanner z danu Sahary, opisany przez Wanner (33, str. 100, tabl. XIV, fig. 2-4), jest znacznie większy (32 mm długości), ma 4 pełne cykle septów i pokrój niskiego, szerokiego stożka.

Drobne formy zbliżone do *C. kongieli* istnieją wśród gatunków paleogeńskich. Spośród kilkunastu gatunków, opisanych przez F. A. Roemer (28) i Kefersteina (12) z oligocenu zachodnich Niemiec, zbliżony jest doń swymi małymi rozmiarami (długość 12 mm, średnica kielicha 7×6,4 mm) *C. cornucopiae* Keferstein (12, str. 373, tabl. XV, fig. 3). Liczba septów jest tu jednak większa (48) i pokrój bardziej stożkowaty.

*Parasmilia helenae* n. sp.

(fig. 9 i 10; pl. I, fig. 5 i pl. II, fig. 3)

Holotyp: okaz na pl. I, fig. 5 i pl. II, fig. 3.

*Materiał.* — 55 okazów, niekiedy dobrze zachowanych, i 15 ułamków; 2 szlify mikroskopowe z przekrojami poprzecznymi.

*Diagnoza.* — Okazy szeroko stożkowate, zgięte, opatrzone pedicillum. Największa stwierdzona długość koralita 11 mm, średnica 5,6 mm, liczba septów 40. Żebra ostrokrawędziste, szeroko rozstawione. Pomiedzy nimi szereg guzków. Częste nieregularne pierścienie epitekalne. Kielich okrągły. Septa, umieszczone rzadko, tworzą 12 systemów, obejmujących po 1-3 krótszych septów. Słupek słabo rozwinięty. Dissepimenta nieliczne.

*Opis makroskopowy* (pl. I, fig. 5). — Korality są stożkowate, szybko poszerzające swoją średnicę i zgięte na kształt rogu. Bezpośrednio nad walcowatym pedicillum następuje przewężenie połączone z pierścieniem epitekalnym. Nad nim poszerza się koralit. Dalsze pierścienie są umiesz-

zone bezładnie i mają charakterystyczną dla epiteki cechę strukturalną: bardzo drobne koncentryczne prążki przyrostowe. Żeberka są cienkie, proste, powyginane i oddalone od siebie. Pomiędzy nimi widać szereg wydłużonych guzków lub cienki podłużny prążek. Ponad przewężeniami żeberka są zazwyczaj niewyraźne, przy brzegu kielicha występują one wyraźniej i są w niektórych przypadkach szerokie.

Kielich jest kolisty w przekroju (pl. II, fig. 3). Septa wychodzą poza ścianę jako drobne zaostrome żeberka. Przegrody należące do dwóch pierwszych cykli są prawie jednakowe i dochodzą do słupka. Septa cyklu 4 są krótkie, cyklu 4 — przeważnie niewykształcone albo widoczne jako prążki lub szeregi guzków na wewnętrznej powierzchni ściany. Poniżej zamieszczam zestawienie liczby okazów i liczby septów przy danej średnicy kielicha.

<i>Liczba okazów</i>	<i>Średnica kielichów</i>	<i>Liczba septów</i>
38	1.8-3.7	24
5	3.8-4.2	28
9	4.3-5.2	32
2	5.5	36
1	5.6	40

Osiowy brzeg septów jest falisty. Słupek jest luźno gąbczasty, wąski i trudny do odróżnienia od osiowych końców septów. Dissepimenta są niewyraźne, grubościennie i ku górze wklęsłe.

Na przełamanym wzdłuż okazie (fig. 9) zauważyć można, że guzki trabekularne są drobne i rzadko rozrzucone. Po usunięciu warstwy zewnętrznej na septum odsłaniają się wachlarze trabekularne. Są one niesymetryczne i mają linię rozbieżności w okolicy ściany. Osiowy brzeg septum wydłużony, opatrzone silnymi wyrostkami, oddzielonymi przez duże porowatości, uczestniczy w tworzeniu słupka parietalnego (Alloiteau, 1). W wyrostki osiowe przenikają beleczki trabekularne septum. Dissepimenta występują głównie w dystalnej części koralita. Część proksymalna jest ściśle wypełniona sklerenchymą.

*Mikrostruktura* (fig. 10). — Septoteka jest zbudowana ze słabo poszerzonych peryferycznych końców septów. Szczelinka na miejscu zniszczonej ciemnej linii dochodzi w nich prawie do obwodu.

Pomiędzy liniami trabekularnymi septów o kierunku radialnym znajdują się w ścianie koncentrycznie umieszczone szczelinki, mające własne prążki włókien. Są to zaczątki młodych septów lub septa uwsteczniowane. W przekroju poprzecznym, wykonanym przez koniec proksymalny koralita, widać, że całe wnętrze jest ściśle wypełnione nakładem stereoplazmy, koncentrycznie prążkowanej.

**Ontogeneza.** — Larwy przytwierdzały się najchętniej do rurek raka *Ditrupula schlotheimi*. Ślad przyczepu na 50% okazów ma kształt rurki. W nielicznych przypadkach koralowiec przytwierdzał się do skorupki małża lub do ziarenek piasku. Polip zakładał 6 protoseptów; w środku płytki widać, że słupek między nimi nie istnieje. Prototeka o strukturze epiteki zasłania całe pedicillum. W dystalnej jego części pojawia się cykl 2 krótkich septów i równocześnie widać linie trabekularne słupka. Ponad pierścieniem epitekalnym, stanowiącym koniec pedicillum, występują septa cyklu 3. Istnienie poprzez całe pedicillum jednej tylko prototeki, obejmującej dwa cykle septów i przechodzącej ponad nim w septotekę, świadczy o tym, że gatunek ten należy do typu monocyklicznego według terminologii Durhama (5). Septa 4 cyklu pojawiają się parami w 2—4 systemach równocześnie.

**Zmienność** jest mała. Okazy są na ogół jednolite, jeśli idzie o pokrój koralita i morfologię kielicha. Różnice występują w grubości żeber i w mniej lub więcej częstych przewężeniach.

**Podobieństwa i różnice.** — Rodzaj *Parasmilia* jest częsty w górnej kredzie i w danie. We-



Fig. 10

*Parasmilia helenae* n. sp.

Septoteka, przekrój poprzeczny  $\times 100$   
1 szczelinka na miejscu zniszczonej linii trabekularnej, 2 początek septum

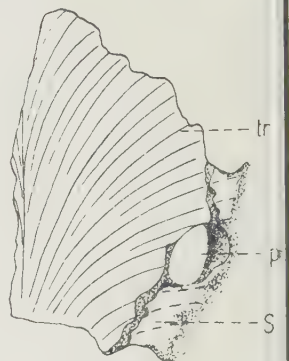


Fig. 9

*Parasmilia helenae* n. sp.  
Powierzchnia boczna septum wraz z wyrostkami trabekularnymi tworzącymi słupki parietalny  $\times 100$   
tr wachlarz trabekularny z linią rozbieżności w pobliżu septoteki, p pora części osiowej septum, część słupka utworzonej z beleczek septalnych

dług Nielsena (23) w danie północnoeuropejskim są znane 4 gatunki, lecz wszystkie one są odmienne od okazów z Boryszewa. Porównanie ich z naszymi okazami dowodzi, że:

1<sup>o</sup> *Parasmilia parva* Nielsen (2, str. 27, tabl. IV, fig. 13-16), rozpoznany w dolnym i górnym daniu, jest smuklejszy. Żebra cienkie są wyraźne przy brzegu kielicha. Septa są nieliczne (3 cykle).

2<sup>o</sup> *Parasmilia danica* Nielsen (2, str. 28, tabl. IV, fig. 17, 18), opisany z górnego danu, ma 4 cykle septów i prawie gładką powierzchnię.

3<sup>o</sup> *Parasmilia lindstroemi* Henningsen (10, str. 15, tabl. 2, fig. 18-33), opisany



y z górnego danu, objawia wielką zmienność wewnątrzgatunkową w poroju koralita i jest większy od okazów boryszewskich: długość 16 mm średnica 11 mm.

4<sup>o</sup> *Parasmilia scanica* Hennig (10, str. 20, 21, tabl. 2, fig. 34-36) górnego danu z Annetorp k. Limhamn (SW wybrzeże Norwegii) jest mniejszy (długość 16,5 mm, średnica 5 mm). Na rysunku Henniga nie widać wydatnych pierścieni epitekalnych, które bardzo wyraźnie występują u naszych okazów.

*Występowanie.* — Rodzaj *Parasmilia* pojawia się w dolnej kredzie i jest w całej kredzie częsty. Felix (6) wymienia stąd 24 gatunki. W paleocenie staje się rzadszy (8 gatunków); z miocenu opisano 3 gatunki, z pliocenu 1 (?) gatunek. Dziś *Parasmilia* wylawiany bywa z głębokości 300—1000 m, natomiast w danie występował on prawdopodobnie w płytkim morzu wraz z formami gałęzistymi *Haplophyllia faxensis* Beck i *Dendrophyllia candelabrum* Hennig, jak to wynika z zestawienia Nielsena (23, str. 14).

*Eupsammia pożaryskii* n. sp.

(fig. 11-14 w tekście; pl. I, fig. 7; tabela 3)

Holotyp: fig. 11 i pl. I, fig. 7.

*Materiał.* — 542 okazy, bardziej lub mniej uszkodzone, i 190 ułamków; wykonano 2 szlify mikroskopowe z przekrojem poprzecznym.

*Diagnoza.* — *Eupsammia* o drobnych, stożkowatych, nieco zakrzywionych koralitach. Długość największego okazu 11 mm, jego średnica 7 mm, liczba septów 40; rzadkie pierścienie epitekalne. Żeberka ostro trawędziste lub szerokie. Kielich okrągły lub owalny. Słupek wąski.

*Opis makroskopowy* (pl. I, fig. 7). — Korality są drobne, stożkowate, proste, niekiedy nieco zgięte. Długość ich waha się w granicach 2-11 mm, średnica większych kielichów dochodzi do 6,7 mm. Koniec proksymalny okazów odłamany tak, że nie wiadomo, czy korality były przytwierdzone w młodości do podłoża i później odłamały się, czy też koniec został uszczelniony w inny sposób. Na niektórych okazach widać cienkie pierścienie epitekalne. Żeberka są dwojakie: wąskie z jednym szeregiem wydatnych guzków obok mniejszych, nieregularnie rozsianych; częściej występują żeberka szerokie, opatrzone bezładnie umieszczonymi guzkami. Młode septa cyklu 3 pojawiają się parami po obu stronach septum cyklu 2, septa zaś młodsze, cyklu 4 i 5, pojedynczo lub prawie równocześnie pomiędzy septum cyklu 2 i 3. To pojawianie się nowych septów widoczne jest wśród żeber jako pozorna trifurkacja, charakteryzująca się wąskimi żebarkami. W wąskich bruzdach widać rząd otworków oddzielonych naptikulami. Na powierzchni startej pory występują również na żeberkach.

Kielich owalny lub okrągły otoczony jest wąską synaptikuloteką (fig. 11) i obejmuje 3 pełne cykle septów i część septów cyklu 4 i 5, ustawionych w charakterystyczny sposób według planu Pourtalèsa. Septa cyklu 1 są wolne i dochodzą do gąbczastego słupka (przy średnicy kielicha

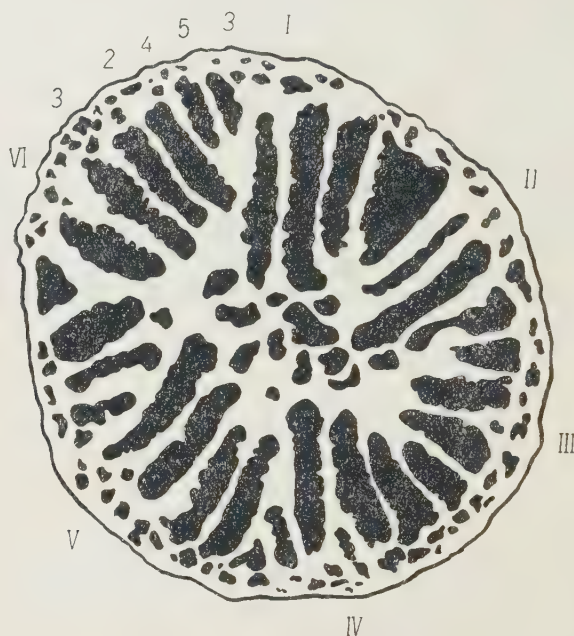


Fig. 11

*Eupsammia požaryskii* n. sp.Budowa kielicha okazu uszkodzonego  $\times 15$ 

Cyfry rzymskie odnoszą się do septów cyklu 1, cyfry arabskie — do septów następnych młodszych cykli

4,9 mm, słupek ma średnicę 1.5 mm). Septa cyklu 2 są krótsze, a przed nimi zrastają się septa cyklu 3. Od strony cyklu 2 do septum cyklu 3 przystępuje najpierw septum cyklu 4, później zaś, pomiędzy septum cyklu 4 a cyklu 3, pojawia się septum cyklu 5.

Na przełamanym wzdłuż koralicie (fig. 12) widać wąską synaptikulotekę i słupek parietalny, utworzony z wyrostków septalnych. Górny brzeg septum jest zaokrąglony, niesymetryczny i falisty dzięki na przemian ustawionym guzkom. Guzki są umieszczone rzadko i wydłużone w kierunku odnośnej belki trabekularnej. Linia rozbieżności znajduje się w obrębie ściany (synaptikuloteki). Pory przebijają ścianę i septa w kierunku podłużnym i poziomym.

*Mikrostruktura* (fig. 13). — Wtórnie osadzona na septach sklerenchyma zaznacza się ciemnymi prążkami koncentrycznymi. Na miejscu li

W trapezoidalnej widać szeroką szczelinę. Od niej promieniują bardzo cienkie, prawie równoległe długie włókienka, ustawione wachlarzowato przy końcu szczelinki. Wielkie owalne otwory przebiegają przez septyum w kierunku pionowym, przechodzą zazwyczaj przez linię trabekularną, rzadziej przez bok sklerenchymatycznie poszerzonego septyum. Słupek jest utworzony z kilku owalnych elementów poszerzonych prążkowaną stereoplazmą, podobnie jak septa i syntypikule. Całe wnętrze koralita w części promienistej jest w ten sposób ściśle wypełnione.

Zmienność. — Różnice między osobnikami występują tylko w rzeźbie zewnętrznej ściany, mianowicie w kształcie żeber. Poza tym wszystkie korality są jednakowe. Opierając się na szerokości żeber odróżnić możemy dwa typy: wąskożebrowe i szerokożebrowe. Ponieważ przesunęło się przypuszczenie, że obok rozpowszechnionej formy szerokożebrowej, istnieje też odmiana o żebrach wąskich, wymierzyłam kielichy wszystkich osobników. Wyniki zostały zestawione na dwóch niżej umieszczonych krzywych (fig. 12). Widać na nich, że obie krzywe zmienności mają ten sam charakter.

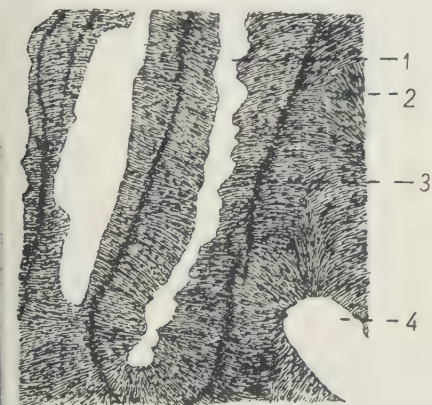


Fig. 13

*Eupsammia požaryskii* n. sp.

zkrójkę poprzeczną koralita w części  
oksymalnej × 75  
szczelinka na miejscu zniszczonej li-  
trabekularnej, 2 włókienka trabe-  
larne, 3 koncentryczne prążki we  
wewnętrznej sklerenchymie, 4 pora

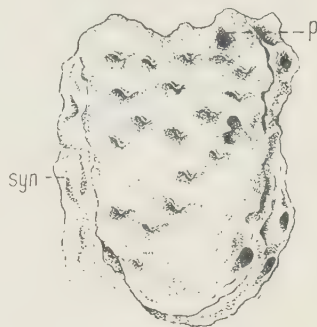


Fig. 12

*Eupsammia požaryskii*  
n. sp.

Dystalna część powierzchni bocznej septum  $\times 15$   
p pora w septum, *syn synaptikuloteka*

Wyniki zostały zestawione na dwóch niżej umieszczonych krzywych (fig. 4). Widać na nich, że obie krzywe zmienności mają ten sam charakter.

Nie ma więc odmiany wąskożebrowej, lecz zmienność w tym zakresie ma zasięg wewnątrzgatunkowy. Wartość przeciętna średnicy kielicha form szerokożebrowych ( $S_1$ ) wynosi 3,3 mm, dla form zaś wąskożebrowych ( $S_2$ ) — 2,8 mm. Domniemana odmiana form wąskożebrowych obejmowałaby więc w dużej części osobniki młodociane, u których przeważają żebra wąskie wskutek trifurkacji. Stwierdzono poza tym wyraźną zależność liczby septów od średnicy kielicha, co przedstawia niżej umieszczona tabela 3, zestawiona dla wszystkich okazów tego gatunku, tj. dla form o wąskich i szerokich żebach. Cechą nadrzędną jest średnica kielicha, cechą zaś podrzędną — liczba septów, którym odpowiadają że-



berka. Żeberka właśnie zostały wzięte pod uwagę przy obliczaniu septów. Najczęstsze są kielichy o średnicy 2,6-3 mm z 28 septami. Przeciętna wartość średnicy kielicha, wymierzona u 541 okazów, wynosi 3,1 mm.

*Podobieństwa i różnice.* — Nieco zbliżony do naszego gatunku jest amerykański *E. elaborata* (Conrad) Vaughan (32, str. 180-183, tabl. XX fig. 3-7). Jest to forma drobna, długości 14-18,5 mm i średnicy 12-14 mm lekko zgięta lub wyprostowana, a zaostrozonym końcu proksymalnym

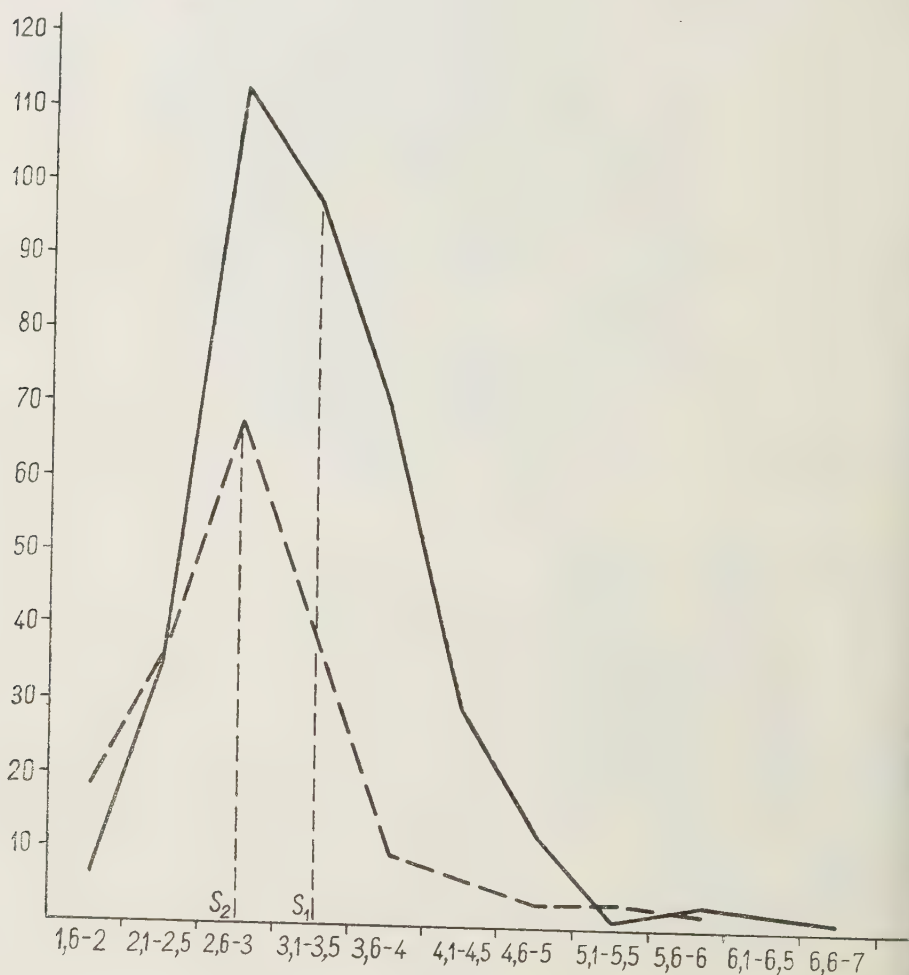


Fig. 14

*Eupsammia požaryskii* n. sp.

Wykres średnic kielichów. Na osi poziomej podano średnice kielichów, linia przerywana przedstawia wykres dla form wąskożebrowych, linia ciągła — dla form szerokożebrowych

$S_1$  średnia wartość średnicy form szerokożebrowych,  $S_2$  średnia wartość średnicy form wąskożebrowych

Tabela 3

Tabela korelacyjna, przedstawiająca zależność liczby septów (cecha podrzędna) od średnicy kielicha (cecha narzędna) u *Eupsammia požaryskii* n. sp.

septomów ↓	1,5-2	2,1-2,5	2,6-3	3,1-3,5	3,6-4	4,1-4,5	4,6-5	5,1-5,5	5,6-6	6,1-6,7	śred. kiel. w mm
4	22	52	72	24							170
6; 28	2	20	100	77	30	3					232
0; 32			8	28	22	15	2	1			76
4; 36				8	15	12	9	—	3		47
8; 40					1	5	4	3	2	1	16
razem	24	72	180	137	68	35	15	4	5	1	541

które okazy mają na tym końcu lekkie uszkodzenie. Mimo to, różnice tak znaczne, że upoważniają do nadania nowej nazwy gatunkowej ze względu na: 1<sup>o</sup> brak pierścieni epitekalnych u formy amerykańskiej, 2<sup>o</sup> niewiększe rozmiary tej formy, 3<sup>o</sup> większą u niej liczbę septów obejmujących 5 pełnych cykli. 4<sup>o</sup> żeberka wąskie i ostrokrawędziste u gatunku amerykańskiego.

**Występowanie.** — Rodzaj *Eupsammia*, według Felixa (6), jest znany od eocenu. Alloiteau<sup>1</sup> zaś podaje, że pojawił się w górnej kredzie Madagaskaru. Pratz (26) wspomina o dwóch gatunkach *Eupsammia* z Madagaskaru Wschodnich (warstwy Ootatoor). Wielka liczba przedstawicieli gatunku *E. požaryskii*, dominująca w zespole koralowcowym w Boryszewie (700 okazów, na łączną liczbę 1250 koralitów), nadaje piaskom glaukowatym niewątpliwie piętno trzeciorzędowe.

#### MORFOLOGIA, ONTOGENEZA I ZMIENNOŚĆ ZBADANYCH GATUNKÓW

Przy opracowywaniu zespołu koralowcowego w marglach piaszczystych Boryszewa poruszono zagadnienia dotyczące morfologii szkieletu, rozwoju ontogenetycznego, zmienności oraz korelacji cech morfologicznych gatunków obficie reprezentowanych. Podano również ich zasięg stratygraficzny oraz głębokości, w jakich dziś te rodzaje żyją. Na tym miejscu zbiorę ogólne wyniki tych badań i wnioski, jakie dadzą się z nich prowadzić.

**Morfologia i mikrostruktura.** — Wszystkie gatunki opisane z margli koralitowych Boryszewa są to formy osobnicze i bardzo drobne. Naj-

<sup>1</sup> W czasie druku otrzymałam pracę powyższego autora pt. „Polypiers fossiles Madagascar, I. Formes du Crétacé de la Province d'Analalava“, Ann. Géol. Serv. Mines, VI, Tananarive 1936. Za przesyłkę tę składam Autorowi uprzejme podziękowanie.

większy okaz *Caryophyllia calcitrata* dochodzi do 12 mm długości. Żade z opisanych gatunków nie ma wydatnej epiteki, jedynie u *Eupsammia pożaryskii*, *Caryophyllia kongieli*, *C. calcitrata* i *Parasmilia helenae* występują drobne pierścienie. U *Deltocyathus staszici*, *Caryophyllia calcitrata* i *Parasmilia helenae* ściana jest septoteką; u *Eupsammia pożaryskii* porowata ściana jest synaptikuloteką.

Septa tych gatunków są rozmieszczone na ogół gęsto, tylko *Parasmilia helenae* ma przegrody rozstawione szeroko. Na bokach septów widać guzki trabekularne o różnej wielkości i gęstości. Ich układ — to ważna gatunkowa cecha diagnostyczna, podobnie jak symetria wachlarzy. Zależnie od położenia linii rozbieżności na powierzchni bocznej septum wachlarze bywają mniej lub więcej symetryczne. U *Caryophyllia calcitrata* na przykład (fig. 5) linia rozbieżności przebiega przez środek powierzchni septum i wachlarz jest symetryczny; u *Parasmilia helenae* (fig. 9) przebiega ona tuż w pobliżu ściany koralowca i wachlarz jest wybitnie asymetryczny.

Linia ciemna, złożona z szeregu ośrodków zwapnienia, jest u wszystkich gatunków zatarta. Sądząc z ustawienia włókienek trabekularnych ośrodki beleczek były bardzo drobne i gęsto obok siebie umieszczone, najbardziej zaś zgęszczone u *Eupsammia pożaryskii* (fig. 13). Paliki występujące u *Deltocyathus staszici* w trzech okółkach, u *Caryophyllia calcitrata* w jednym okółku, są przeważnie zniszczone; na szlifie mikroskopowym obecność ich stwierdza pozostała po nich szczelinka i wiązki włókien o odmiennym układzie niż w septum.

Słupek właściwy („columelle essentielle“ Alloiteau, 1) stwierdzony u *Deltocyathus staszici*, *Caryophyllia calcitrata* i *C. kongieli*, gdzie na płycie podstawowej między protoseptami występuje samodzielna protokolumella. U *Parasmilia helenae* brak jej. Słupek jest parietalny, utworzony z wyrostków septalnych (fig. 9). Dissepimenta rzadko kiedy wykształcone. Stwierdziłam je tylko u *Caryophyllia kongieli* i *Parasmilia helenae*.

**Ontogeneza.** — Wśród opisanych gatunków *Deltocyathus staszici* jest formą swobodnie żyjącą podczas całej ontogenezy. Okazy *Eupsammia pożaryskii* mają koniec proksymalny zazwyczaj lekko uszkodzony, trudno więc orzec, czy osobnik był w ogóle w młodości przytwierdzony do dna. Trzy dalsze gatunki *Caryophyllia calcitrata*, *C. kongieli* i *Parasmilia helenae* prawdopodobnie były przytwierdzone w ciągu całego życia, gdyż mają płytkę podstawową i mocne pedicillum. Ze względu na specyficzny często się powtarzający kształt śladu przyczepu na płycie podstawowej sądzić można, że larwy poszczególnych gatunków nie osadzały się przypadkowo napotkanych przedmiotach na dnie morza, lecz wybierały



przedmioty odpowiednie. *Parasmilia helenae* w 25-ciu na 50 obserwowanych przypadków ma płytkę podstawową zgiętą w łurkę, co świadczy o tym, że forma ta najchętniej się przytwierdzała do robaka *Ditrupula chlotheimi*, którego skorupki w zbiorze są bardzo liczne (1094 okazy). *C. kongieli* ma płytkę przeważnie gładką lub lekko wgłębioną i nie wiadomo, co było w tym przypadku przedmiotem przyczepu, lecz rynienko-atego wgłębienia na płytce nie widać. *Caryophyllia calcitrata* przytwierdzał się w 60% do ziarenek piasku, rzadziej do rurki robaka lub skorupki ramienionoga.

Po przytwierdzeniu się larwy do podłoża koralowiec zaczyna tworzyć szkielet. Obserwacje poczynione na cienkiej, przeświecającej płytce podstawowej lub na naszlifowanym pedicillum dowiodły, że gatunki rodzaju *Caryophyllia* należą do typu monocyklicznego i zakładają równocześnie z protoseptami także protokolumellę. *Parasmilia* jest również monocykliczna, lecz brak jej protokolumelli. Dopiero po pojawieniu się septów cyklu 2 powstaje słupek parietalny. Prototeka ma budowę podobną do epiteki i zachowuje się u zbadanych form na całej powierzchni pedicillum ustępując zjawiającej się ponad nim septotece. Septa cyklu pojawiają się parami bez widocznego porządku w kolejności. Należące do nich żeberka nie u wszystkich gatunków odpowiadają ściśle septom, gdyż bywają wcześniej od nich wykształcone (*Parasmilia helenae*) lub występują bezładnie (*Caryophyllia calcitrata*).

**Zmienność.** — Wszystkie gatunki z Boryszewa pochodzą prawdopodobnie z jednego środowiska i żyły obok siebie w tych samych warunkach, właściwych płytkiemu morzu, którego fale dochodziły do dna. Działalność fal nie pozostała bez wpływu na wygląd koralowców i zaznaczyła się w ich różnicach wewnątrzgatunkowych. Plastyczność osobnicza w obrębie opisanych wyżej 5 gatunków jest jednakże różna. Zmienność osobnicza nie dotyczy cech morfologicznych kielicha, jak liczby septów (w ramach ontogenezy), ich guzków trabekularnych, budowy słupka i paków. Są to cechy stałe w obrębie gatunku. Zmienność wewnątrzgatunkowa uwydatnia się głównie w różnicach ilościowych: szerokości i gęstości żeberek, mniejszej lub większej krzywiźnie koralita, a także w zarysie kielicha. Najsilniej zasięg tej zmienności ujawnia się w gatunku *Caryophyllia calcitrata*. Różnice pomiędzy osobnikami są tu niekiedy tak wielkie, że krańcowe osobniki są zupełnie do siebie niepodobne, i gdyby nie różnice form przejściowych, uchodziłyby one za odmiany.

W jaki sposób wytłumaczyć tak wielką zmienność w obrębie jednego gatunku? Na to pytanie nie mogę na razie znaleźć odpowiedzi, tym bardziej, że nie wszystkie gatunki rodzaju *Caryophyllia* ujawniają tak wielką zmienność. Na przykład gatunek *C. kongieli* z Boryszewa jest

znacznie mniej plastyczny, niż gatunek *C. calcitrata*, z czego można wnioskować, że większą lub mniejszą plastyczność uważać by należało za cechę charakterystyczną gatunku.

#### WIEK FAUNY KORALOWCÓW

Koralowce z Boryszewa występują w piaskach marglistych z *Crinia tuberculata* Nilss., która znamionuje górny dan. Zespół koralowców nie ma jednak aspektu dańskiego, jest raczej młodszy i to z następujących względów: 1<sup>o</sup> bardzo obficie jest w nim reprezentowany gatunek *Caryophyllia calcitrata* (v. Koen.), 2<sup>o</sup> przeważają tam przedstawiciele rodzaju *Eupsammia*, 3<sup>o</sup> występuje rodzaj *Deltocyathus*, wreszcie 4<sup>o</sup> przedstawiciele rodzaju *Parasmilia* liczebnie ustępują.

*C. calcitrata* pojawia się w górnym danie, lecz rozpowszechniona jest w moncie, jak to stwierdzają dane z literatury paleontologicznej. Nielsen Brünnich (23) cytuje ten gatunek z utworów górnego danu z Salzholm i z piasków glaukonitowych, inni autorzy — z montu. Koenen znalazł „znacznie ponad 100 okazów“ w moncie Kopenhagi (14); według Grönwalla (8) występuje on wśród paleoceńskich głazów narzutowych. Rosenkrantz (29) wymienia go z kilku odsłoneń paleoceńskich. W Boryszewie jest on stosunkowo bardzo liczny (zebrano około 300 okazów w zespole obejmującym 1250 koralitów), co przemawiałoby za tym, że wiek zespołu koralowców jest tu zbliżony do montu.

Ważnym wskaźnikiem wieku byłaby w tym przypadku także rodzina Eupsammidae, gdyż jej wielkie zróżnicowanie rozpoczyna się w eocenie, nieliczne tylko jej rodzaje pojawiają się w górnej kredzie i w danie. W utworach danu prowincji północno-borealnej występuje np. *Dendrophyllia candelabrum* Hennig (10). Podobnie w danie Sahary występuje masowo *Palaeopsammia zitteli* Wanner (33). Z paleocenu okolic Salzburga opisał Traub (31) *Balanophyllia schlosseri* wśród fauny zbliżonej nie do jego zdaniem, do montu Kopenhagi. Gatunki te wyprzedzają jak gdyby swoją epokę. W Boryszewie ilością osobników ponad wszystkimi innymi góruje *Eupsammia*. Rodzaj ten według Alloiteau (1) jest znany od górnej kredy, lecz nie był dotychczas stwierdzony w danie północnej Europy ani nawet w moncie Kopenhagi.

Poza tym w Boryszewie występuje rodzaj *Deltocyathus*, wprowadzony nielicznie reprezentowany (10 okazów), lecz ważny dla zagadnienia wieku tych warstw, gdyż najstarsi jego przedstawiciele są znani dopiero z eocenu (*Deltocyathus* sp.; 6, str. 208).

Przedstawiciele rodzaju *Parasmilia* są nieliczni w zespole z Boryszewa. Rodzaj ten, najbardziej zróżnicowany w kredzie, ustępuje późni stopniowo, jak tego dowodzą następujące liczby: Felix (6) przytacza 24 g

unki z kredy, 8 z paleogenu, 3 z neogenu; Nielsen Brünnich wymienia danu 4 gatunki, spośród nich niektóre rozpowszechnione w całym danie.

Z powyższych danych wynika, że charakter zespołu koralowcowego Boryszewie jest odmienny niż charakter zespołów w danie Europy północnej i zespołów Tetydy. Jest on nieco młodszy. Ze względu na obfitość okazów gatunku *Caryophyllia calcitrapa* boryszewska fauna koralowcowa jest zbliżona do fauny monckiej Kopenhagi.

Jeżeli porównamy faunę koralowców z towarzyszącą jej fauną innych grup zwierzęcych, możemy stwierdzić, że wspólnie z nią występujące zespoły są wyraźnie dańskie. Wśród bogatej fauny robaków dominuje *Ditrupula schlotheimi* Rosenkr., gatunek szczególnie charakterystyczny dla danu, mniej częsty w moncie (Rosenkrantz, 29). Skamieniałością przewodnią dla górnego danu jest *Crania tuberculata* Nilss., występująca rzadziej w moncie.

Z powyższych rozważań wyprowadzić można dwa wnioski:

1<sup>o</sup> W Boryszewie możemy mieć do czynienia z formami dańskimi i monckimi. Przypuszczenie takie było już niejednokrotnie rozważane w literaturze paleontologiczno-geologicznej. Rosenkrantz (29) np. podaje listę form wspólnych dla danu i montu i uważa, że ich współistnienie tłumaczyć można tylko stopniowością przechodzenia górnego danu w mont.

2<sup>o</sup> Koralowce żyjące w Boryszewie w morzu dańskim są bardziej zaawansowane niż inne grupy zwierzęce i wyprzedzają je w swoim rozwoju. Podobne przypuszczenie wypowiedzieli już inni autorzy. Kongiel w roku 1835 (15) stwierdził, że niektóre grupy zwierząt, jak ślimaki i małże, są bardziej zaawansowane niż inne progresywne i wyprzedzają swym charakterem trzeciorzędowym inne grupy, jak ramienionogi, jeżowce. Bardziej jeszcze czułe na zmiany klimatyczne są koralowce. Lapparent (18) stwierdził, że w dolnym moncie nastąpiło ocieplenie wody morskiej, chłodniejszej w górnym moncie. W wapieniu pizolitowym okolic Vigny (l. c.) na ocieplenie to wyraźnie zareagowały glony, koralowce i małże. Nowe rodzaje i gatunki warstw Boryszewa byłyby może również dowodem zmiany temperatury wody, zachodzącej w tym czasie. Inne mniej wrażliwe grupy zwierząt do montu przechodzą bez zmiany. Według Lapparenta, cechą charakterystyczną dla montu jest właśnie współistnienie dawnych form dańskich z nowymi trzeciorzędowymi.

#### ŚRODOWISKO KORALOWCÓW Z BORYSZEWA

Głębokość morza. — Zespół koralowców z Boryszewa to drobne, delikatne formy osobniczych koralowców, jakie występują zarówno w głębokim morzu, jak i w płytkiej zatoce, jeśli decydujące warunki śro-



dowiska obu biotopów są podobne. Do form eurybatycznych należą w naszym zespole rodzaje *Caryophyllia* i *Deltocyathus*. Pierwszy, według obserwacji poczynionych na formach dzisiejszych, jak podaje Alloiteau (1), występuje w głębokości 10—4500 m, drugi w głębokości 0—2750 m. Natomiast rodzaj *Parasmilia* jest dziś raczej stenobatyczny i żyje w głębokości 400—500 m, gdy tymczasem w danie musiał on żyć w wodzie płytkiej, gdyż występował prawdopodobnie razem z koralowcami rafowymi (Niesen Brünnich, 23). Upodobania głębokościowe tego rodzaju uległy więc zapewne z biegiem czasu zmianie. Występowanie w Boryszewie rodzaju *Eupsammia* wskazuje na to, że utwory te musiały być osadzone w płytkiej wodzie, nie dochodzącej do 50 m, gdyż — zgodnie z twierdzeniem Alloiteau (1) — *Eupsammia* jest formą wybitnie stenobatyczną i może być uważana za ważny wskaźnik batymetryczny. Płytkość morza potwierdzona jest również przez charakter sedymentu: boryszewskie margle piłkowszczyte, bogate w glaukonit, świadczą, że osad powstał w płytkim, dobrze przewietrzonym i bliskim lądu morzu.

*Przystosowanie do dna.* — Koralowce należą do fauny dennej i muszą przystosowywać się do warunków dna morskiego, do którego się przystosowują. Dno morskie Boryszewa było piaszczysto-muliste, więc grzęskie. Chroniąc się przed zapadaniem w mulistym osadzie koralowce musiały wytwarzać różne modyfikacje szkieletu. Ponieważ w facji litoralnej osady szybko narastają, koralowce musiały walczyć także z przykrywającym je mułem i piaskiem. Kühn, opisując faunę miocenową z Krety (16), zwrócił uwagę na pewne specjalizacje w budowie szkieletu, które były właśnie reakcją na grzęskie środowisko. U koralowców z Boryszewa widać jeszcze wyraźniej spowodowane przez tę walkę modyfikacje szkieletu, które były właśnie reakcją na grzęskie podłoże. Gatunek *Eupsammia požaryskii* był prawdopodobnie tylko w młodości przytwierdzony do dna, lub był zawsze wolny i tkwił luźno w mule. Porowatość jego koralita jest zapewne wynikiem szybkiego przyrostu szkieletu, co się okazało korzystnym w środowisku tego rodzaju. Korality gatunku *Caryophyllia calcitrata* bogatego w Boryszewie w osobniki są silnie zgięte i bocznie spłaszczone. Według Yakowlewa (34) korality zakrzywione nie zapadają tak łatwo w grzęskie dno jak proste. Zgięte szkielety koralowców — to cecha charakterystyczna dla paleozoicznych Tetracoralla, natomiast Hexacoralla są przeważnie wyprostowane. Przystosowanie do środowiska spowodowało więc, być może, u niektórych Hexacoralla zasadniczą zmianę w pokroju szkieletu.

Przed zapadaniem w grzęski osad chronią również szczegóły ornamentacyjne szkieletu. Wielka zmienność rzeźby ścian u opisanych gatunków — to właśnie reakcja na ruch fal w otaczającym środowisku. W tym też znajdują wyraz różnice osobnicze i tutaj uwypukla się zasie-

plastyczności wewnątrzgatunkowej. U *Caryophyllia calcitrapa* modyfikacje w ornamentacji są bardzo różnorodne. Kil może być wydatny, fality i guzkowaty w dodatku, lub prawie niewidoczny. Poza kilem widać jeszcze 5 wydatnych żeberek po stronie przeciwległej. Cała powierzchnia koralita może być także bogato rzeźbiona. U osobniczych *Hexacoralla* miejsce przyczepu znajduje się zazwyczaj w punkcie osiowym końca proksymalnego i stąd koralit unosi się pionowo w górę. U niektórych jednak pośród naszych gatunków, zwłaszcza u *Caryophyllia kongieli*, płytką podstawową jest umieszczona ukośnie, pod kątem ostrym do osi pionowej koralita, i cała część proksymalna jest nieco zgięta, dystalna — wyprostowana i subcylindryczna; widać w niej z rzadka cienkie dissepimenta, na których polip wznosił się w górę, by uchronić się przed zasypaniem. *Parasmilia helenae* broniła się przed zapadaniem w mulistych piaskach wytwarzając, obok dissepimentów, gęsto powtarzające się pierścienie epielekalne.

*Deltocyathus staszici* n. sp. ma bardzo wydatne i mocne żeberka patrzone guzkami. Ta cecha, obok stożkowatego pokroju, jest zapewne także reakcją na wpływ środowiska lokalnego, gdyż w innych środowiskach, np. w ilach Bęczyna, *Deltocyathus* ma kształt płytkiej miseczki.

*Możliwość segregacji fauny.* — Zespół drobnych osobników z Boryszewa mógłby nasunąć pytanie, czy szkieleciki o podobnym prawie ciężarze gatunkowym nie zostały może wysegregowane przez działanie fal przeniesione z innego miejsca. Iwanowa (11) udowadnia takie właśnie przypuszczenie dla fauny środkowo-karbońskiej, występującej wśród piaskowców litoralnych basenu moskiewskiego. Jednakże kryteria, które poprowadziły Iwanową do wysunięcia takiego wniosku, nie znajdują zastosowania dla zespołu kopalnego z Boryszewa. Fauna zachowała się tu najprawdopodobniej w swoim dawnym biotopie. Szkieleciki koralowców Boryszewa, mimo swej delikatnej struktury, są doskonale zachowane. Trzymały się cienkie pedicilla, a nawet paliki w niektórych kielichach. Wszystko to świadczy o tym, że korality boryszewskie nie były transportowane przez fale. Innym dowodem ich autochtonizmu jest obecność wszelkich stadiów ontogenetycznych poczynając od młodych osobników długości 1,5 mm, z 24 septami, do dojrzałych, długości 12 mm, z 48 septami (p. tabela korelacyjna, str. 261). We wnętrzu szkielecików, w ich części proksymalnej, występują te same składniki skały, co w sedymencie, z którego wydobyto okazy: piasek, glaukonit, rzadziej pirit. Jest to również potwierdzenie wniosku, że fauna ta jest autochtoniczna, zachowana w swoim własnym biotopie.

*Zagadnienie karłowacenia fauny.* — Zespół koralowców z Boryszewa obejmuje osobniki bardzo drobne. Największy okaz *C. calcitrapa* dochodzi do wysokości wyjątkowej 12 mm przy pełnej liczbie czterech cy-

klów septów. Natomiast jego krewniacy z iłów marglistych Kopenhagi dochodzili do 20 mm przy czterech cyklach septów. Nowe gatunki z Boryszewa są także małe. Porównanie zespołu koralowców z Boryszewa z zespołem koralowców z Bęczyna z iłów mioceńskich (Moenke, 22) wykazuje, że koralowce z Bęczyna, mimo że bytowały w głębokim i cichym morzu (prawdopodobnie 183—366 m), są rozmaitej wielkości. Występują tam osobniki należące do gatunków drobnych (4-9 mm) obok gatunków o osobnikach dużych, dochodzących do wysokości 48 mm. W Bęczynie żyły więc obok siebie osobniki duże i małe, w Boryszewie zaś wszystkie koralowce są bardzo małe.

Zagadnienie karłowacenia fauny było już wielokrotnie poruszane w literaturze paleontologicznej. Kühn (16), Meznerics (21), Toth (30) stwierdzili występowanie skarłowacialej fauny w kilku środowiskach mioceńskich. Według Kutassy'ego (17) obserwować ją można dziś w Zatoce Mesińskiej. Wszyscy wymienieni autorzy są zgodni, że środowiskiem powodującym karłowacenie fauny są podwodne łąki w płytkim morzu (5-40 m) bez silnych prądów. Łąki te są utworzone przez rośliny kwiatowe, przystosowane do życia w morzu. W Bałtyku taką rośliną jest *Zostera marina*, w Morzu Śródziemnym — *Posidonia*. Te trawy morskie mają także swoje wymagania, co obserwował Bauer (2) w Morzu Śródziemnym. Rosną one w skupiskach na pewnych przestrzeniach w płytkich zatokach gdzie nie ma prądów, woda jest czysta i silnie naświetlona. W czystej szafirowej wodzie Morza Śródziemnego schodzą one do głębokości 40 m, w Bałtyku zaś, gdzie woda jest zanieczyszczana przez wpadające doń rzeki — zaledwie do 4 m.

Rośliny kwiatowe mogą się zakorzenieć w sedymentach mulisto-piaszczystych, w których glony nie mogą się utrzymać. Piaszczysto-margliste dno, to optymalny warunek dla łąki podwodnej. W cieniu gęsto skupionych roślin żyje, jak stwierdzili wyżej wymienieni autorzy, fauna drobnych osobników, przyczepionych lub pełzających na dnie, do której należą też koralowce. W rozmieszczeniu pionowym koralowców, obojętnie o charakteru fizycznego dna, ważnym czynnikiem jest przede wszystkim światło. Formy żyjące w głębinach mórz i płytkich zacienionych zatokach są właśnie przystosowane do półmroku — są to formy cieniophilne. Wskutek braku jasnego światła skorupki ich są cienkie i delikatne. Szkielety koralowców z Boryszewa są właśnie takie i przypominają faunę głębinową.

W literaturze zoologicznej i paleozoologicznej podano kilka przyczyn karłowacenia. Demel (4) stwierdził karłowacenie na faunie Bałtyku. W tym przypadku przyczyną jest wysłodzenie morza. Zjawisko to powoduje, obok karłowacenia, również zanik niektórych typów zwierząt o sprecyzowanych wymaganiach zasolenia. Tak np. w Bałtyku, podobnie



ak w Morzu Czarnym, brak koralowców, ramienionogów i szkarłupni. W piaskowcach Boryszewa istnieje jednakże normalny zespół fauny morskiej wraz z koralowcami i ramienionogami, należy więc przypuszczać, że morze Boryszewa miało tutaj zasolenie normalne. Inną przyczyną, według Kühna (16), mogłoby być zbyt silne zagęszczenie fauny stąd wynikające współzawodnictwo o pokarm wśród zespołów zwierzęcych, zamieszkujących biotopy łąk podwodnych. Najbardziej jednak decydującym powodem jest, według tegoż autora, brak pełnego światła słonecznego. Jak zauważa Maksimow (20), widmo chłonne chlorofilu wykazuje, że rośliny absorbują czerwone promienie długości fali od 650 do 80 m $\mu$  oraz promienie niebiesko-fioletowe długości fali ok. 470 m $\mu$ . Nielegają absorpcji jedynie promienie zielone i część czerwonych. Wobec tego nasuwa się pytanie, czy przypadkiem promienie zielone nie powodują zahamowania we wzroście i tym samym są przyczyną karłowacenia, czym już wspominał Kühn (16). Brak zaś promieni czerwonych i fioletowych, absorbowanych przez chlorofil traw morskich, może powodować także anomalie we wzroście (3).

*Zróżnicowanie gatunkowe koralowców z Boryszewa.* — Ubóstwo gatunków wyraźnie się zaznacza w morzach nie mających normalnego zasolenia. Zachodzi wtedy, według Demela (4), silne wyselekcjonowanie pewnych gatunków i z tym połączona monotoność fauny. Morze, w którym osadzały się piaski glaukonitowe Boryszewa, miało zasolenie normalne, wobec czego słabe zróżnicowanie gatunkowe koralowców z Boryszewa nie było wynikiem tej przyczyny.

Gatunkowo słabo zróżnicowana fauna z Boryszewa jest ilościowo bogata. Wśród koralowców wyróżniono, na łączną liczbę 1250 okazów, tylko 5 gatunków. Wśród nich częstotliwością swą górują 2 gatunki: *C. pozaryskii* (700 okazów) i *C. calcitrata* (300 okazów). Jeszcze jaskrawiej występują te stosunki u robaków: na łączną liczbę 1260 okazów, jeden tylko gatunek *Ditrupula schlotheimi* obejmuje 1094 rureczki, 105 okazów należy do *Cementula* sp. i 62 okazy — do *Glomerula gordialis* Schloth. Kolonie mszywiolów (119 ok.) są podobnie monotonne. Przedstawiciele innych typów są raczej przypadkowi. Stwierdzono nieliczne, bardzo drobne kolce jeżowców (56 okazów), dwie bardzo drobne ostrzygi, koralowce ośmioczułkowe *Graphularia grönwalli* Niels. Br. (2 okazy). Porównując z tym zespołem faunę miocennską, opisaną przez Kracha (1949) Moenke (22) z Bęczyna, zauważymy wielką różnicę w charakterze jakościowym i w stosunkach ilościowych obu zespołów. Liczebnie bogatej, lecz gatunkowo słabo zróżnicowanej faunie z Boryszewa (żyjącej przeciwstawieć można silnie zróżnicowaną faunę z Bęczyna (głęb. 183-366 m, woda spokojna), skąd Moenke (22) opisała 14 gatunków koralowców na łączną

liczbę 128 okazów. Fakt ten jest, być może, potwierdzeniem wniosku D. Bois (fide Iwanowa, 11), że zespoły faunistyczne są bardziej urozmaicone w wodach spokojnych, mało zaś zróżnicowane w wodach ruchliwych. Poza tym walka o byt powoduje antagonizmy między gatunkami, co doprowadza do zaniku nieprzystosowanych do środowiska gatunków, słabych liczebnie (4 i 19).

#### WNIOSKI

Na podstawie zbadanych Hexacoralla z Boryszewa wysnuć by można następujące wnioski, które jednak wymagają potwierdzenia przez opracowanie innych grup faunistycznych z tego wiercenia, w szczególności otwornic.

1<sup>o</sup> Wśród piasków glaukonitowych z *Crania tuberculata* w Boryszewie występuje zespół koralowców, zbliżonych wiekiem do montu.

2<sup>o</sup> Zespół koralowcowy żył na grząskim, piaszczysto-mulistym dnie i przystosował się do tego środowiska wytwarzając odpowiednie modyfikacje szkieletu.

3<sup>o</sup> Stwierdzić można wyraźne skarłowacenie koralowców, żyjących zapewne w środowisku zacienionym łąk podwodnych na osadach piaszczysto-mulistych.

4<sup>o</sup> Zespół koralowcowy Boryszewa, gatunkowo mało zróżnicowany jest bogaty liczebnie, co każe przypuszczać, że żył on w środowisku wód ruchliwych.

Pracownia Zakładu Paleozoologii PAN

Poznań, w styczniu 1955 r.

#### LITERATURA CYTOWANA

1. ALLOITEAU J. Madréporaires post-paléozoïques. In: Piveteau J. Traité de Paléontologie, t. I. Paris 1952.
2. BAUER V. Über das Tierleben auf den Seegrasswiesen d. Mittelmeeres. — Zool. Jb., Abt. System., Oekol. u. Geogr. d. Tiere, Bd. 56. Jena 1929.
3. BERKOVIC E. M. Vlijanie belogo i monochromatičeskogo sveta na životnyj organizm. — Uspechi Sovr. Biol., Akad. Nauk SSSR, t. 36, vyp. 1 (4). 1953.
4. DEMEL K. Życie morza. — Wyd. Morskie. Gdańsk 1951.
5. DURHAM J. W. Ontogenetic stages of some simple corals. Univ. of California Berkeley & Los Angeles 1949.
6. FELIX J. Fossilium Catalogus, Pars 5, Anthozoa palaeocretacea. Berlin 1914. — Pars 7: Anthozoa neocretacea. Berlin 1914. — Pars 28: Anthozoa eocaenica et oligocaenica. Berlin 1925. — Pars 35: Anthozoa miocaenica. Berlin 1927. — Pars 44: Anthozoa pliocenica et pliocenica. — Neubrandenburg 1929.
7. FROMENTEL E. de. Paléontologie française. Terrain crétacé. T. VIII. Zoophytes. — Paris 1862-1887.
8. GRÖNWALL K. A. Block af paleocaen fran Koepenhamn. — Meddel. Danske Geol. Foren., No. 4. København 1897.
9. — Geschiebestudien, ein Beitrag zur Kenntnis der ältesten baltischen Teiltiärlagerungen. — Jb. Kgl. Preuss. L.-A., Bd. XXIV. Berlin 1907.

- 0 HENNIG A. Faunan i Skanes yngre Krita. III. Korallerna. — Bihang till Svenska Vet.-Akad. Handl., Bd. 24, Afd. IV, No. 8. Stockholm 1899.
1. IVANOVA E. A. Uslovija suščestvovanija, obraz žizni i istorija razvitija nekotorych brachiopod srednego i verchnego karbona podmoskovskoj kotloviny. — Trudy Pal. Inst., t. 21. Moskva 1949.
- 2 KEFERSTEIN W. Die Korallen der norddeutschen Tertiärgebilde. — Zschr. Dt. Geol. Ges., Bd. XI. Berlin 1859.
3. KLÄHN H. Der Wert der Variationsstatistik für die Palaeontologie. — Ber. Naturf. Ges. Freiburg i. Br. Bd. XXII, 2. 1920.
4. KOENEN A. v. Über eine Paleocaene Fauna von Kopenhagen. — Abh. Kgl. Ges. Wiss. Göttingen, Bd. XXXII. Göttingen 1885.
5. KONGIEL R. W sprawie wieku „siwaka“ w okolicach Puław. — Universitas Vilnensis Batoreana. No. 8. Wilno 1935.
6. KÜHN O. Eine mittelmiozäne Zwergfauna aus Kreta. — Zentralbl. Miner. etc., B. Stuttgart 1936.
7. KUTASSY A. Eine mittelmiozäne Zwergfauna aus Ungarn. — Ibid., B. Stuttgart 1932.
8. LAPPARENT A. F. de. A propos de l'étage Tertiaire du „Calcaire pisolithique“ de Vigny. — Bull. Soc. Géol. de France, V sér., t. 9. Paris 1939.
- 9 LITYŃSKI A. Hydrobiologia ogólna. Warszawa 1952.
0. MAKSIMOW M. Fizjologia roślin. Warszawa 1950.
1. MEZNERICS J. Die Minutien d. tortonischen Ablagerungen v. Steinabrunn i. Niederösterreich. — Ann. Naturh. Museum, Bd. 46. Wien 1932/33.
- 2 MOENKE M. Koralowce z ilów tortońskich Bęczyna (Les Coralliaires des argiles du Tortonien de Bęczyn). — Acta Geol. Pol., vol. III/2. Warszawa 1953.
3. NIELSEN BRÜNNICH K. Zoantharia from Senone and Palaeocene deposits in Denmark and Skaane. — D. Kgl. Danske Videnskab. Selskabs. Skr., Naturv. math. Afd., 8 R., V. 3. Copenhagen 1922.
4. — Serpulidae from the Senonian and Danian deposits of Denmark. — Meddel. Dansk Geol. Foren., vol. 8, 1. København 1931.
5. ORBIGNY A., d'. Note sur les fossiles de l'étage danien. — Bull. Soc. Géol. de France, Sér. II, t. VII. Paris 1850.
6. PRATZ E. Eocäne Korallen aus der Libyschen Wüste und Aegypten. In: Zittel K. A. Beiträge zur Geologie u. Palaeontologie d. Libyschen Wüste u. d. angrenzenden Gebiete von Aegypten. — Palaentographica, Bd. XXX, Tl. I. Cassel 1883.
7. REUSS A. E. Die fossilen Korallen des Oesterreichisch-Ungarischen Miocäns. — Denkschr. math.-nat. Cl. Akad. Wiss., Bd. 31. Wien 1871.
8. ROEMER F. A. Beschreibung der norddeutschen tertiären Polyparien. — Palaeontographica, Bd. 9. Cassel 1862-1864.
9. ROSENKRANTZ A. Craniakalk fra Kjøbenhavns Sydhavn. — Danm. geol. Undersøg., II R, Nr 36. Kjøbenhavn 1920.
0. TOTH GEZA. Palaeobiologische Untersuchungen über die Tortonfauna der Gaadener Bucht. — Palaeobiologica, Bd. VII, H. 5-6. Wien 1942.
1. TRAUB FR. Geologische und palaeontologische Bearbeitung der Kreide u. des Tertiärs im östlichen Rupertiwinkel nördlich von Salzburg. — Palaeontographica, Bd. 88, A. Stuttgart 1938.
2. VAUGHAN TH. The Eocene and Lower Oligocene coral faunas of the United States with descriptions of a few doubtfully Cretaceous species. — U. S. Geol. Surv. Mon., vol. 39. Washington 1900.



- 33 WANNER J. Die Fauna der obersten weissen Kreide d. Libyschen Wüste. — Palaeontographica, Bd. XXX, T. II. Stuttgart 1883—1903.
- 34 YAKOVLEV N. N. Über die Symmetrie-Verhältnisse der Steinkorallen. — Zschr. Miner. etc., B. Stuttgart 1932.

## PL. I

*Caryophyllia kongieli* n. sp.

- 1 — Ogólny pokrój okazu o żeberkach wydatnych × 7
- 2 — Ogólny pokrój okazu o żeberkach cienkich i z pierścieniami epitekalnymi × 4

*Caryophyllia calcitrapa* (v. Koenen)

- 3 — Ogólny pokrój okazu × 6  
1 pedicillum, 2 kil
- 4 — Ogólny pokrój okazu o kształcie trapezoidalnym i z żeberkami równoległymi × 6  
1 pedicillum, 2 kil, 3 żeberka równoległe

*Parasmilia helenae* n. sp.

- 5 — Ogólny pokrój okazu × 7  
1 pedicillum, 2 pierścienie epitekalne

*Deltocyathus staszici* n. sp.

- 6 — Ogólny pokrój okazu × 5

*Eupsammia pożaryskii* n. sp.

- 7 — Ogólny pokrój okazu × 7  
1 pory, 2 synaptikule

## PL. II

*Caryophyllia calcitrapa* (v. Koenen)

- 1 — Budowa dobrze zachowanego młodocianego kielicha  
p paliki, k kil  
Cyfry rzymskie oznaczają septa cyklu 1
- 2 — Budowa kielicha × 12  
p paliki, sth septoteka  
Cyfry rzymskie oznaczają septa cyklu I × 7

*Parasmilia helenae* n. sp.

- 3 — Budowa nieco uszkodzonego kielicha × 6  
1 septoteka, 2 pora w części osiowej septum, 3 słupek parietalny, utworzony z wyrostków septalnych

*Caryophyllia kongieli* n. sp.

- 4 — Budowa nieco uszkodzonego kielicha × 12  
p paliki  
Cyfry rzymskie oznaczają septa cyklu 1

*Deltocyathus staszici* n. sp.

- 5 — Budowa kielicha × 11  
p paliki  
Cyfry rzymskie oznaczają septa cyklu 1



Fig. 1—7

(objaśnienia obok)

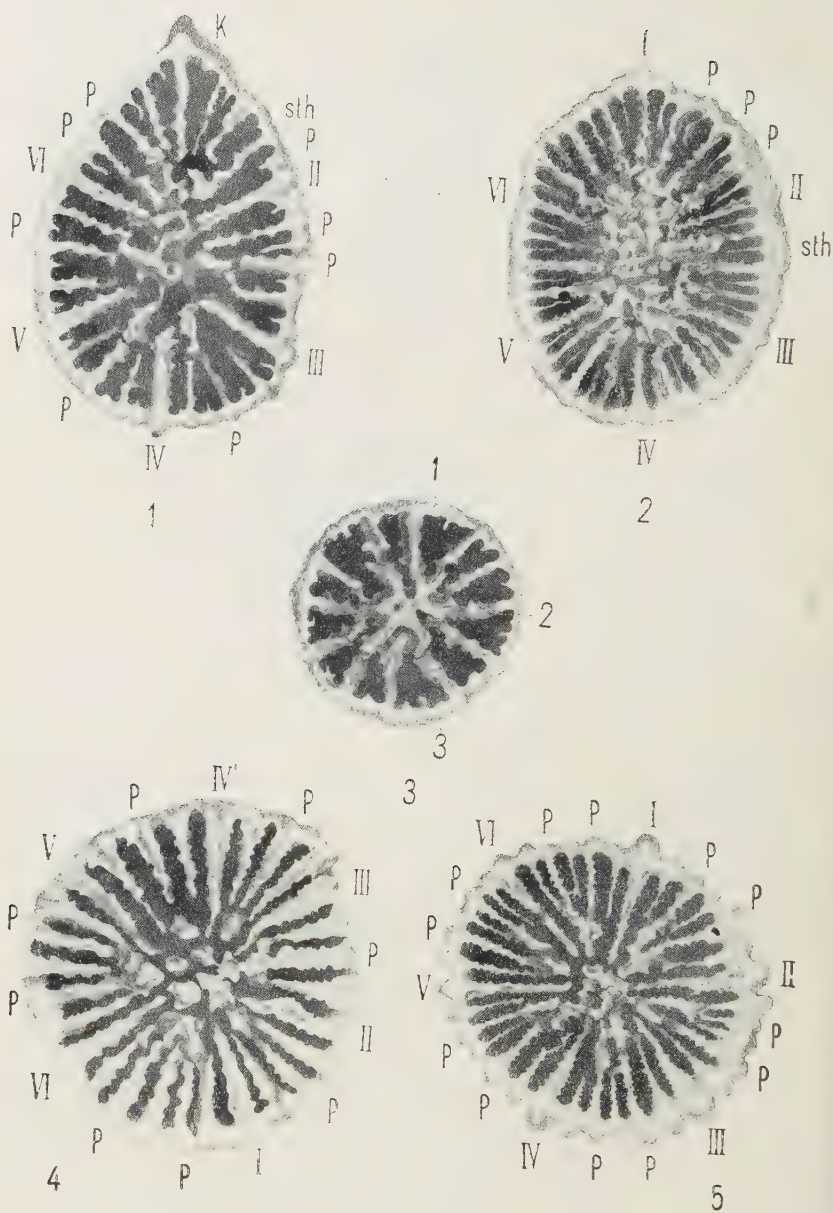


Fig. 1—5

(objaśnienia na str. 272)



L. GREGUSS

## Oznaczenie dolno-miocenckiego pnia drzewa z Turowa nad Nysą Łużycką

W listopadzie 1952 r. p. Hanna Czechtowa, kierowniczka Pracowni Leobotanicznej Muzeum Ziemi w Warszawie, przesłała mi do oznaczenia dwie małe próbki drewna kopalnego z Turowa nad Nysą Łużycką. Jedna z nich pochodziła z pnia drzewa o średnicy ok. 3 m, druga prawdopodobnie z korzenia tegoż drzewa. Obie próbki, barwy czerwono-brunatnej, miały ok. 5-6 cm długości i 0,5 cm szerokości. Stan zachowania dość dobry: cięte z nich przekroje nadawały się w zupełności do badań. Już podczas badania makroskopowego można było stwierdzić, że próbki te pochodzą z drewna iglastych. Dalsze badania dowiodły, że drewno to bezspornie należy do jakiegoś bliżej nie określonego gatunku sekwoi.

Do tego wniosku doszedłem na podstawie badań następujących.

Na przekroju poprzecznym widać wyraźnie, w obrębie słoików przyrostu rocznego, strefy wiosenną i letnią, z tym, że strefa wiosenna jest ciemniejsza i bardziej zgnieciona. Cewki przyrostu wiosennego mają kształt cztero- lub sześciokątny; trafiają się także kształty nieprawidłowe. Cewki układają się w regularne szeregi w kierunku promieniowym. Między cewkami drewna wiosennego występują często komórki miękiszu drzewnego. Na granicy słoików rocznego przyrostu są one prawie całkowicie spłaszczone. Grubość cewek wiosennych w kierunku promieniowym waha się w granicach między 25 a 40  $\mu$ , w kierunku zaś stycznym — między 30 a 40  $\mu$ . Cewki letnie i kieszeni żywicznych w tym drewnie nie obserwowano. Promienie drzewne są na ogół jednoszeregowy; w ściankach horyzontalnych widać jamek (por. pl. I, fig. 1). Na fig. 2 tejże planszy możemy obserwować strukturę drewna w przekroju stycznym. Promienie drzewne na szerokość mają 6-8-10, najczęściej 5-6 komórek; wysokość tych komórek wynosi 18-35  $\mu$ , szerokość zaś — 13-18  $\mu$ . Komórki owe mają na tym przekroju kształt elips, wydłużonych w kierunku promienia („stojących“).

Komórki miękiszu drzewnego wypełnione są ciemną treścią żywiczną. Przegrody poprzeczne są na ogół gładkie, w wyjątkowych tylko przypadkach brodawkowato lub perełkowato zgrubiałe. Na pl. II, fig. 2 widać poprzeczną przegrodę komórki miękiszu drzewnego łagodnie sęczkowato zgrubiałą oraz ciemno zabarwioną żywicę wewnątrz komórki.

W oznaczaniu drewna decydującym był przekrój promieniowy. Ścianki horyzontalne komórek promienia drzewnego są w nim dość grube i gładkie, w wyjątkowych przypadkach opatrzone nielicznymi jamkami. Ścianki styczne są również zupełnie gładkie. Te decydujące cechy wskazują, że badane drewno nie należy do Pinaceae, Cupressaceae, Taxaceae, Cephalotaxaceae czy Araucariaceae, lecz tylko albo do Taxodiaceae albo do Podocarpaceae. Ponieważ jednak ścianki poprzeczne (horyzontalne) miękiszu drzewnego są tu przeważnie gładkie, wyjątkowo tylko gruzełkowate, nadto zdarzają się także niskie cewki poprzeczne, zdaje się nie ulegać wątpliwości, że drewno badane może być zaliczone do Taxodiaceae. Ponieważ pomiędzy Taxodiaceae jedynie gatunki rodzaju *Sequoia* odznaczają się — zgodnie z dzisiejszym stanem badań — cewkami poprzecznymi, dokładniejsze oznaczenie musimy rozpocząć od tego właśnie rodzaju.

Dwa tylko gatunki współczesnej sekwoi są nam dzisiaj znane: *S. gigantea* i *S. sempervirens*. Oba dochodzą do wysokości 100 m, średnicy zaś 3-7 m. *S. gigantea* na jednym polu skrzyżowania ma jedną, wyjątkowo tylko dwie jamki taksodioidalne lub kupresoidalne. Otwór jamki był u tego gatunku horyzontalny albo skośny. Na polu skrzyżowania u *S. sempervirens* znajdują się przeważnie 2-3, a nawet 4 jamki, o otworach na ogół skośnych, a zatem raczej kupresoidalnych. Budowa promieni drzewnych w badanym drewnie jest podobna, a nawet niemal identyczna z drewnem *S. sempervirens*. Podobnie jak u współczesnej *S. sempervirens* wielkość jamki na polach skrzyżowania wynosi 7-10  $\mu$ . Uderza w lignicie obecność niskich cewek poprzecznych, podobnie jak to jest u współczesnej *S. sempervirens*. Jest ich tu dość duża ilość i mają one, podobnie jak u *S. sempervirens*, ścianki zupełnie gładkie. U obu form: współczesnej i kopalnej, poprzeczne przegrody miękiszu drzewnego są gładkie, czasyer tylko nieco gruzełkowato lub nierównomiernie zgrubiałe.

Za przynależnością badanego lignitu do rodzaju *Sequoia* przemawia także fakt, że drewno to daje typową dla sekwoi reakcję z kwasem garbnikowym, tj. czernieje pod działaniem chlorku żelaza.

Na podstawie wspomnianych faktów wolno nam, jak sędzę, z wystarczającą pewnością mniemać, że badany lignit ma strukturę na ogół zgodną z budową drewna współczesnej *S. sempervirens*. Całkowita identyfikacja nie jest jednak możliwa z powodu istnienia jednej cechy odróżniającej. Mianowicie jamki lejkowate w cewkach badanego lignitu są wyraźnie mniejsze niż w cewkach współczesnej *S. sempervirens*, gdzie do

odzą one do 15-17  $\mu$ , gdy tymczasem w badanym lignicie nie przekraczają 6-9  $\mu$ , przeciętnie zaś wynoszą zaledwie 7-8  $\mu$ . Jamki na polach przyżowania są tu jeszcze mniejsze i wynoszą 6-9  $\mu$ , przeciętnie 6-8  $\mu$ , a tymczasem u *S. sempervirens* dochodzą do 6-12-14  $\mu$ .

Nie ulega więc wątpliwości, że lignit badany pochodzi z jakiegoś gatunku sekwoi. Cechy jego nie zgadzają się jednak całkowicie z cechami ewen współczesnych *S. gigantea* i *S. sempervirens*. Być może, że lignit ten pochodzi z rozpowszechnionej w trzeciorzędzie europejskim *S. Langsdorfi* lub z jakiegoś innego kopalnego gatunku sekwoi.

W pracy swojej „Die fossilen Koniferenhölzer“ Kräusel łączy drewna trzeciorzędowych taksodiów i sekwoi pod wspólną nazwą *Taxodioxyloidea*. Ponieważ badany lignit nie zdradza żadnych cech *Taxodium*, nadto daje on reakcję dodatnią z kwasem garbnikowym (co by wskazywało na przynależność do sekwoi), wstrzymuję się od stosowania doń nazwy *Taxodioxyloidea* i nazywam go po prostu drewnem sekwoi. Trzymam się tu zasady, że jeśli struktura lignitu trzeciorzędowego zgadza się całkowicie z strukturą rodzaju współczesnego, oznaczamy go nie nazwą zbiorową, lecz nazwą rodzajową współczesną z dodatkiem końcówki „xylon“. Zgodnie z tym lignit badany zaliczam do rodzaju *Sequoioxylon*.

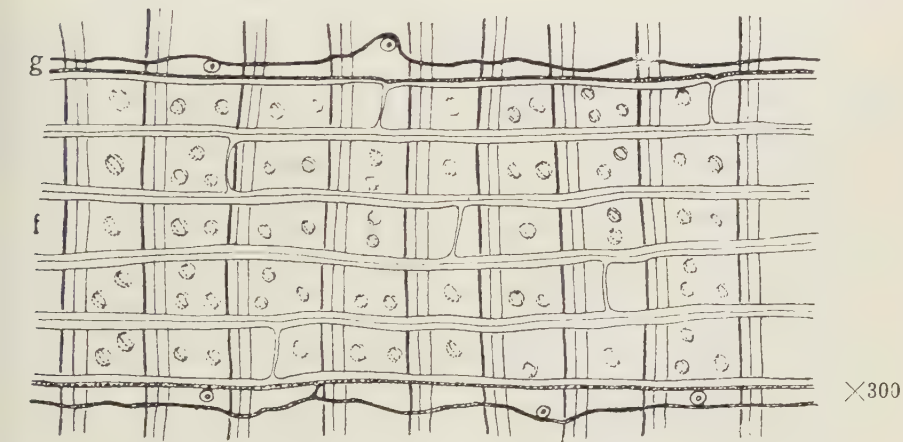
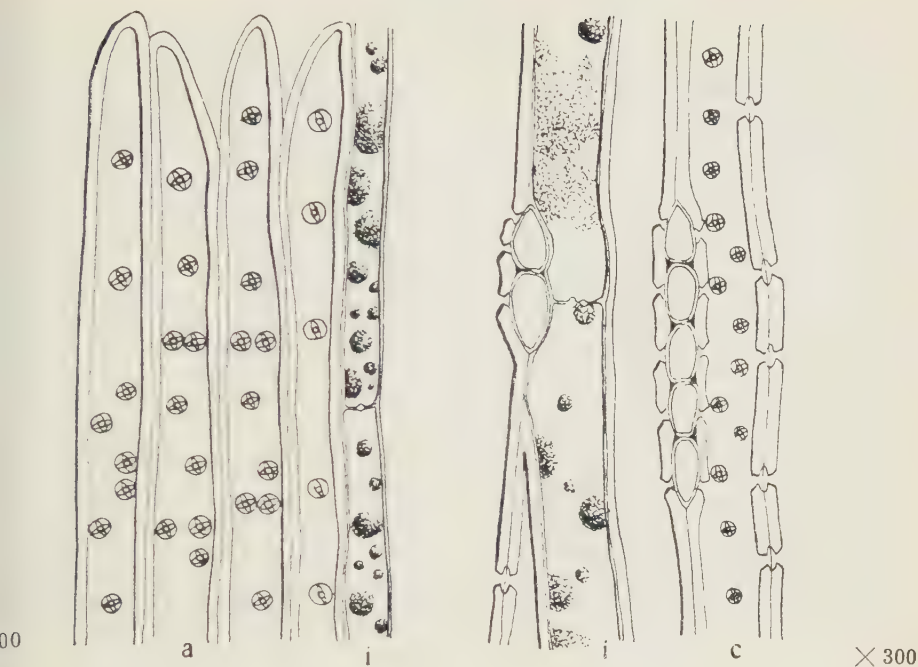
Brak odpowiedniego materiału porównawczego nie pozwala, niestety, sprawdzić pokrewieństwa drewna badanego z drewnem trzeciorzędowej *S. Langsdorfi*, która jest zapewne odpowiednikiem kopalnym współczesnej *S. sempervirens*.

Streszczając powtarzam raz jeszcze, że dolno-mioceński pień lignitu, pochodzący z kopalni w Turowie, należy do drzewa z rodzaju *Sequoia*, prawdopodobnie do *S. Langsdorfi* lub *S. Albertensis*. Rozstrzygnąć tej niewątpliwości na razie nie można z powodu braku kopalnych materiałów porównawczych. Jeśli by się jednakże z czasem okazało, że tego lignitu nie można zidentyfikować ze znanymi dotychczas lignitami sekwoi, proponowałbym dlań nazwę *Sequoioxylon Turowense* Greguss n. sp.

Instytut Botaniczny  
Uniwersytetu w Szeged (Węgry)  
Szeged, 1953







*Sequoioxylon Turowense* Greguss n. sp.

nkowanie promieniowej ściany cewki; i miękisz drzewny z zawartością żywicy gruzełkowatymi przegrodami poprzecznymi komórek; c jamki lejkowate na nych ścianach cewek; g niskie cewki poprzeczne o gładkich ścianach, na polach żowania 1-3 jamki; otwory jamek skośne; f ścianka horyzontalna promienia drzewnego gruba i gładka; ścianka styczna — cienka i gładka

*Sequoioxylon Turowense* Greguss n. sp.

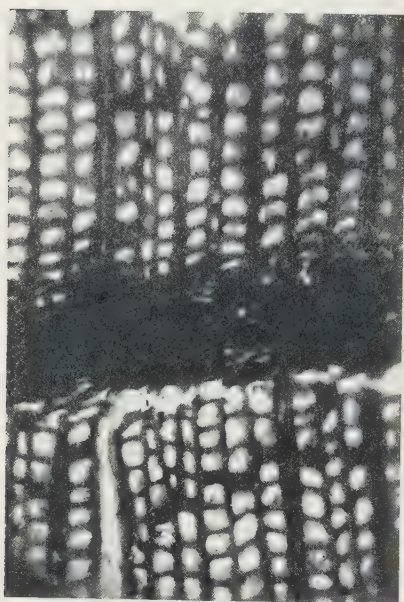


Fig. 1  
Przekrój poprzeczny  $\times 100$

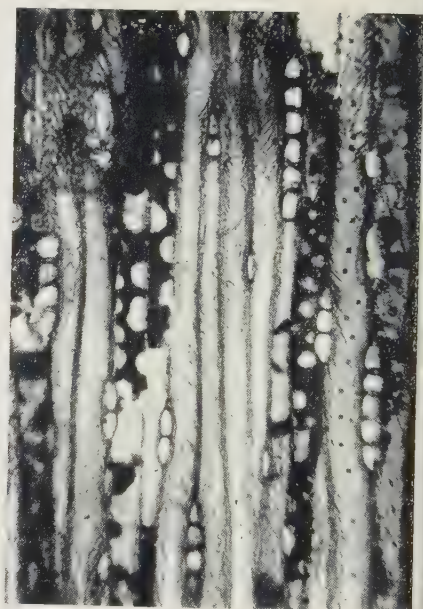


Fig. 2  
Przekrój styczny  $\times 100$

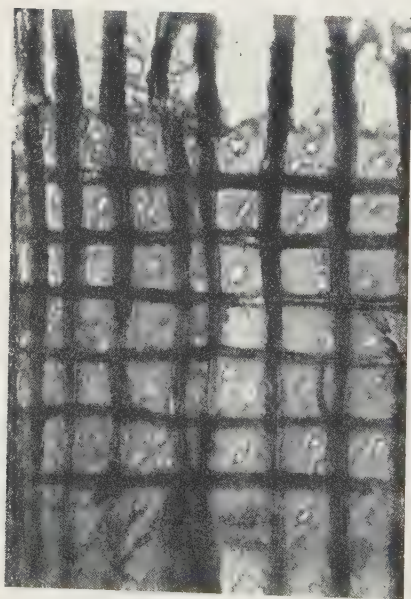


Fig. 3  
Przekrój promieniowy  $\times 300$

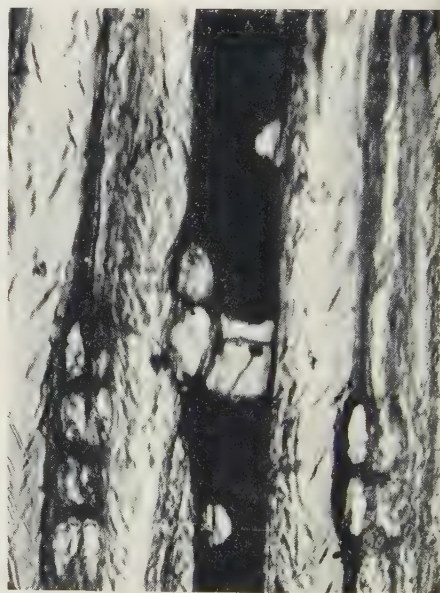


Fig. 4  
Przekrój styczny  $\times 300$



# Trzeciorzędowe szczątki drewna z Turowa nad Nysą Łużycką

## Część II\*

RESZC: Wstęp — Nowy dla Turowa rodzaj drewna: *Phyllocladoxylon* Gothan: ogólna charakterystyka rodzaju; opis struktury anatomicznej badanego drewna; oznaczenie rodzajowe i gatunkowe; porównanie z rodzajami drzew współczesnych; *Ph. polonicum* sp.: diagnoza — Gatunki lignitów reprezentowane w Turowie: uwagi wstępne, spis palnych gatunków drewna z Turowa; występowanie poszczególnych gatunków drzew iglastych — Wnioski — Literatura cytowana

### WSTĘP

Publikacja niniejsza jest zapowiadzaną drugą częścią opracowania trzeciorzędowych szczątków drewna, zebranych w kopalni węgla brunatnego w Turowie, i zawiera uzupełnienie wyników podanych w części pierwszej (40)\*\* oraz powtórzenie w skrócie najważniejszych fragmentów treści.

Jak wiadomo, złoża trzeciorzędowego węgla brunatnego na Łużycach występują w dwu pokładach: górnym i dolnym. W kopalni „Turów“ (poł. miasteczka Bogatyni) nad Nysą Łużycką, czynnej od 1907 r., eksploatuje się wyłącznie górny pokład. Budowa jego jest niejednorodna: w części łagowej proces lignityzacji jest najbardziej posunięty, węgiel jest tam ciemny i ciemno zabarwiony; w części stropowej węgiel jest mniej zabarwiony, barwy jaśniejszej, przerywany przez liczne i cienkie warstewki ilów. Nad pokładem lignitu leżą ły przewarstwione piaskami i żwirami, zawierające wkładki węgla i szczątki drewna. Jeszcze wyżej leżą warstwy żwiru, piasków i glin — utwory już czwartorzędowe.

Wiek geologiczny pokładów węgla brunatnego na Łużycach nie jest dokładnie ustalony. Różni badacze zgodnie określali go jako mioceni,

\* Część I — p. Acta Geol. Pol. III/4, 1953 (40).

\*\* Liczby kursywą w nawiasach odsyłają do spisu literatury na końcu artykułu.

istnieją jednak duże rozbieżności w poglądach na ściślejsze oznaczenie piętra tej formacji. Pietzsch (28) dla górnego przynajmniej pokładu przy muje wiek górnego miocenu. Menzel (24), który w dolnych poziomach górnego pokładu znalazł tu i ówdzie szczątki palm i innych roślin klimatu ciepłego, określa wiek tych flor jako środkowo- lub dolno-miocen. Illner i Berger (2) podzielają pogląd Menzela. Odosobnione stanowisko zajmuje w tej sprawie Kirchheimer (14). Badacz ten w obu pokładach węgla oraz w warstwach im towarzyszących znalazł florę, zawierającą szczątki Mastixioideae (podrodzina Cornaceae) i Symplocaceae, które w florach współczesnych mają swych przedstawicieli w krajach zwrotnikowych i podzwrotnikowych. Jego zdaniem szczątki Mastixioideae nie występują we florach mioceńskich i wskazują na wiek od środkowego do górnego oligocenu.

Flora kopalna Turowa nie została dotychczas opracowana. Badania na tym terenie rozpoczęła H. Czeczottowa (5), która od 1947 r. kierując pracą zespołową nad opracowaniem szczątków liści, owoców i nasion oraz nad analizą pyłkową.

Górny pokład węgla brunatnego kopalni „Turów“ zawiera wielkie masy szczątków drewna, a zwłaszcza pni. Są to przeważnie olbrzymich rozmiarów pnie drzew iglastych, z których największe mają do 4 m średnicy. Na wielu poziomach w ilach, jak również w stropowej części górnego pokładu lignitu tkwią grube pnie zakorzenionych *in situ* drzew. W obrębie jednego poziomu wszystkie pnie są jakby poobcinane na jednej i tej samej wysokości. Nie ulega wątpliwości, że jest to pozostałość po lesie trzeciorzędowym, który wielokrotnie wskutek zmian poziomów wód gruntowych oraz wahań klimatu kolejno zanikał, to znów odradzał się na nowo po pewnym czasie na następnym, wyższym już poziomie obecnego pokładu węgla brunatnego. Każdy kolejny poziom pni pionowych — to nowy świadek zmiany warunków klimatycznych i edaficznych w kierunku sprzyjającym odrodzeniu się lasu. Kolejne poziomy leśne, znaczone obecnością pionowych pni *in situ*, są widoczne na odsłoniętym profilu kopalni. Zasadniczą jednak masę lignitu w Turowie stanowią poziomo leżące zwalone pnie, nagromadzone bezładnie w obrębie górnego pokładu na całej jego miąższości. Są one na ogół bardzo zgniecione i sprasowane, tym silniej, im głębiej leżą.

Jak zaznaczyłam w pierwszej części niniejszego opracowania, próbki drewna do oznaczania były zebrane z całej miąższości górnego pokładu, od spagu po strop, w odstępach około półmetrowych z pominięciem tych miejsc, w których w ogóle nie znaleziono szczątków drewna. Największą opracowaną przeze mnie serię próbek w liczbie 127 sztuk zebrała w 1947 r. H. Czeczottowa, która powierzyła mi ponadto do zbadania szereg próbek, zebranych w następnych latach na różnych poziomach kopalni.

Wśród ostatnio zebranych najcenniejszym materiałem są próbki drewna 5 pni pionowych. W 1950 r. sama zebrałam dodatkowo 40 kolejnych próbek, pobranych w odstępach półmetrowych z profilu na jednym z poziomów kopalni, oraz 30 próbek z odłamków drewna porozrzucanych luźno na innym poziomie wybierając oczywiście najlepiej zachowane fragmenty. Takie okazy, jak również otrzymane przeze mnie od H. Czeczottowej wspomniane wyżej 15 próbek z pni pionowych *in situ*, posłużyły mi jako oznaczony z dużą pewnością materiał porównawczy, który był mi pomocą, a nawet w wielu przypadkach jedyną podstawą do oznaczenia pozostałych próbek o tkankach źle zazwyczaj zachowanych wskutek gnienia.

H. Czeczottowa zebrała ponadto przeszło 200 próbek z pionowych pni *in situ* jako materiał do oznaczenia przynależności systematycznej drzew na różnych poziomach leśnych. Będą one opracowane w oddzielnej rozprawie przez innego autora.

W porównaniu z pierwszą częścią opracowania wprowadziłam pewne zmiany w stosowanej przeze mnie terminologii: 1<sup>o</sup> termin „promienie dzeniowe” zastąpiłam używanym obecnie powszechnie terminem „promienie drzewne”; 2<sup>o</sup> zamiast proponowanej przez Kräusela (19) nic nie mówiącej nazwy „*Taxodioxyylon gypsaceum*” (Göppert) Kräusel, powróciłam do powszechnie używanej i dla wszystkich zrozumiałej nazwy „*Taxodioxyylon sequoianum*” Gothan, zachowując jednakże proponowaną przez Kräusela nazwę w nawiasach. O ile mi wiadomo, większość paleosylologów woli pozostać przy dawnej nazwie; jest to o tyle słuszne, że budowa drewna *T. sequoianum* odpowiada budowie drewna rodzaju *Sequoia*, podobnie jak *Taxodioxyylon taxodii* jest nazwą drewna z rodzaju *Taxodium*.

#### NOWY DLA TUROWA RODZAJ DREWNA

W części pierwszej niniejszego opracowania (40) podałam systematyczny opis tych gatunków drewna, których obecność udało mi się stwierdzić wśród lignitów Turowa, z uwzględnieniem ich pionowego rozmieszczenia w obrębie górnego pokładu węgla brunatnego oraz jego nadkładu. Wyniki badań nad rozmieszczeniem opracowanych próbek na różnych poziomach profilu kopalni ilustruje tam oddzielna tablica (l. c., tabl. III). Opis opisanych gatunków powtórzony jest z uzupełnieniami w publikacji obecnej.

Z powodu niedostatecznej ilości odpowiedniego materiału porównawczego, a mianowicie drewna współczesnych drzew iglastych, jak również z powodu złego stanu zachowania tkanek pewnej liczby próbek drewna kopalnego, 35% próbek poprzednio opracowanych lignitów Turowa nie mogło być oznaczone w pierwszej fazie badań. Obecnie, w miarę na-



plywu nowych materiałów porównawczych i kopalnych oraz w wyniku rewizji materiałów nieoznaczonych, mogę podać pewne uzupełnienia dotyczące przynależności systematycznej szczątków drewna zebranego w kopalni „Turów“.

Jeszcze przy wstępnych badaniach nad serią 127 sztuk najdawniej zebranych próbek uwagę moją zwróciła struktura drewna z próbki Nr 2 (por. 40, tabl. III). Stwierdziłam, że drewno to w zasadzie ma budowę zbliżoną do typu *Cupressinoxylon*, z charakterystycznym spiralnym przebiegiem elementów tkanki. Nie mogłam jednak ustalić charakteru jamkowania promieni drzewnych, którego znajomość jest niezbędna do oznaczenia rodzaju drewna, gdyż jamki były bardzo źle zachowane i nie można było stwierdzić, czy są to rzeczywiście jamki proste, czy też pozornie proste wskutek zniszczenia jamki innego typu.

W roku bieżącym dokonałam ponownego przeglądu materiału, którego nie zdołałam uprzednio oznaczyć. Badając ponownie próbkę Nr 2 dostrzegłam, że w badanym kawałku drewna znajdują się niezauważone dotychczas przeze mnie fragmenty o dość wyraźnie zaznaczonych i — jak się przy makroskopowym badaniu wydawało — niezgniecionych słojach rocznego przyrostu. Gdy wykonałam przekroje anatomiczne z tych fragmentów, okazało się, że tkanka drewna jest w nich istotnie bardzo dobrze zachowana. Na przekroju promieniowym, na polach skrzyżowania zarówno w drewnie wiosennym, jak i w letnim, są wyraźnie widoczne typowe jamki proste, bardziej lub mniej skośnie zorientowane, owalne lub szczelinowate, często na końcach dzióbkowato zaostrome. Bliższa analiza struktury drewna wykazała, że chodzi tu o nowy dla Turów rodzaju drewna, a mianowicie *Phyllocladoxylon* Gothan, co uzasadnianie w niżej podanych rozważaniach.

#### PHYLLOCLADOXYLON GOTHAN

##### Ogólna charakterystyka rodzaju

Według Gothana (8) do rodzaju *Phyllocladoxylon* należą gatunki drewna, które na polach skrzyżowania posiadają: 1<sup>o</sup> typowe jamki proste bądź prostokątne, bądź owalne i skośnie skierowane; 2<sup>o</sup> poprzeczne i styczne ścianki komórek promieni drzewnych gładkie; 3<sup>o</sup> skąpy miękisz żywiczny, 4<sup>o</sup> brak przewodów żywicznych. Schenk (33) stwierdza, że drewno z rodzaju *Phyllocladoxylon* w zasadzie przedstawia strukturę typu *Cupressinoxylon* z tą jedynie różnicą, że na polach skrzyżowania ma jamki proste, często owalne, skośnie skierowane.

Jak wiadomo, rodzaj *Phyllocladoxylon* jest zbliżony strukturą również do rodzaju *Podocarpoxylon* i w wielu przypadkach zachodzi wątpliwość, do którego z tych dwóch rodzajów zaliczyć badane drewno. Należy

ż przypomnieć, że oba te rodzaje obejmują współczesne gatunki drzew rodziny Podocarpaceae.

Opierając się na szczegółach struktury promieni drzewnych u współczesnych Podocarpaceae, a mianowicie biorąc pod uwagę kształt, wielość i liczbę jamek na polach skrzyżowania, Gothan (8) wyróżnił 3 typy budowy drewna w obrębie tej rodziny:  $\alpha$  — o wyłącznie podokarpoidalnych jamkach,  $\beta$  — o jamkach wyłącznie prostych,  $\delta$  — typ mieszany, tj. mający jamki proste na polach skrzyżowania w drewnie wiosennym, podokarpoidalne zaś w drewnie letnim.

Grupy  $\alpha$  i  $\delta$  mieszczą się w obrębie rodzaju *Podocarpoxylon*, grupa  $\beta$  to właśnie *Phyllocladoxylon*.

W dalszym ciągu Gothan stwierdza, że jeśli współczesne drewno rodzaju *Podocarpoxylon* ma na polach skrzyżowania jamki proste, to zawierają one drobnych rozmiarów i dość liczne (1-4 i więcej), gdy tymczasem w rodzaju *Phyllocladoxylon* na polu skrzyżowania istnieje przeważnie jedna, najwyżej dwie duże jamki proste. W obu rodzajach jamki proste są często owalne i wtedy przeważnie skośnie skierowane, bardziej lub mniej zaostrome na końcach.

Analizując ten podział systematyczny podany przez Gothana Kräusela (19) zwraca uwagę, że Gothan do grupy  $\beta$  zalicza również i niektóre dawne gatunki współczesne, które w drewnie letnim mają jamki otoczko-  
we. Znaczy to jednak, że istotna różnica między *Phyllocladoxylon* i *Podocarpoxylon* polega wyłącznie na liczbie i wielkości jamek prostych w drewnie wiosennym. Dla gatunków współczesnych nie ma to znaczenia. Nie ulega bowiem wątpliwości, że jeśli na polu skrzyżowania występują małe i liczne jamki proste — jest to *Podocarpoxylon*, gdy 1 duża (-2) jamka prosta — drewno zaliczyć należy do grupy *Phyllocladoxylon*. Budowa form kopalnych często bywa inaczej. Nierzadko bowiem spotyka się wśród nich formy, mające na polach skrzyżowania w drewnie wiosennym kilka jamek prostych średniej wielkości, i wtedy można mieć wątpliwości, czy to *Podocarpoxylon*, czy *Phyllocladoxylon*. Zdaniem Kräusela zasadnym jest unikanie oznaczania tego typu form drewna, bo prawie zawsze zawierają one inne jeszcze cechy, zgodne z budową jednego z tych dwóch rodzajów. W dalszym ciągu Kräusel stwierdza, że wśród drewn kopalnych zdarzają się i takie, które mają wszystkie, nawet w drewnie letnim, jamki proste ale małe. Ścisłe biorąc struktura drewna tego typu również nie pasuje do żadnej z 3 grup utworzonych przez Gothana. Słuszne jest jednak Kräusel przestrzega, aby dla tego typu struktury nie tworzyć nowego rodzaju, i radzi, aby formy takie sklasyfikować według liczby i wielkości jamek w drewnie wiosennym i zaliczyć je: do *Podocarpoxylon*, jeśli na polach skrzyżowania zawierają po 4 i więcej małych jamek, lub *Phyllocladoxylon*, gdy na polach skrzyżowania mają nieliczne (1-4)

jamki średniej wielkości, co zresztą — jak sądzę — nie jest niezgodne stanowiskiem Gothana w tej sprawie.

Po tych wstępnych uwagach mogę przejść do opisu struktury drewna na próbki Nr 21 oraz do uzasadnienia, dlaczego gatunek ten zaliczył do rodzaju *Phyllocladoxylon*.

### *Opis struktury anatomicznej badanego drewna*

Próbka Nr 21 jest to kawałek drewna o wymiarach ok.  $5 \times 6 \times 3$  cm, pokrajany podczas preparowania na mniejsze. Tkanka drewna w próbce jest na ogół zgnieciona, jednak udało się znaleźć fragmenty o bardzo dobrze zachowanej strukturze. Posłużyły one do wykonania preparatów, na których podstawie można było stwierdzić następujące szczegóły budowy anatomicznej.

*Przekrój poprzeczny* (fig. 1 w tekście i pl. I, fig. 1). — Drewno białe, przewodów żywicznych. Granice rocznego przyrostu wyraźne, ale nie zbyt kontrastowe, gdyż najpóźniejsze cewki letnie i sąsiadujące z nimi

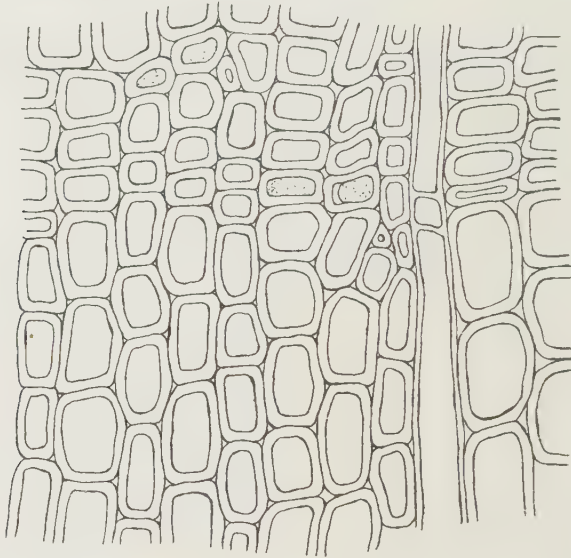


Fig. 1

*Phyllocladoxylon polonicum* n. sp.

Przekrój poprzeczny

$\times 30$

najwcześniejsze wiosenne mają ściany tej samej grubości, różnią się natomiast rozmiarami, co ilustruje przykładowo następujące zestawienie wymiarów cewek na granicy dwóch dowolnie wybranych słoików rocznego przyrostu:



Cewki	długość	szerokość	grubość
najwcześniejsze wiosenne	45 $\mu$	23 $\mu$	6,5 $\mu$
najpóźniejsze letnie	7 $\mu$	23 $\mu$	6,5 $\mu$

Drewno wiosenne dobrze zachowane, niezgniecione. Miększ żylny mniej więcej równomiernie skąpo rozproszony po całym przekroju rogu rocznego. Cewki na przekroju poprzecznym 4-5-kątne, w rogach okrągłone, różnych wymiarów, w obrębie jednej warstwy przyrostu dłuższe lub węższe. Promienie drzewne wyraźnie zaznaczone.

*Przekrój styczny* (fig. 2 w tekście pl. I, fig. 2). Cewki silnie spiralnie prążkowane, jamki lejkowate na stycznych ścianach występują raczej wyjątkowo, o otworach silnie skośnych, prawie pionowych, skrzyżowanych. Promienie drzewne bardzo liczne, jednobocznie częściowo dwuszeregowo, wysokości do 12 (przeważnie 3-8) pięter. Korytka promieni okrągławe lub prawie oworokątne, ich wysokość zmienna w granicach 13-23  $\mu$ . Przewody międzymórkowe normalne. Poprzeczne przegrody miększa żywicznego zazwyczaj gładkie i gładkie, niekiedy jednak mają one przegrody opatrzone sęczkowatymi zgrubieniami.

*Przekrój promieniowy* (fig. 3 w tekście i pl. II, fig. 1, 2). — Drewno silnie spiralnie prążkowane. Na promienio-

wych ścianach cewek jamki lejkowate, rozmieszczone zawsze w jednym szeregu, nawet w najszerszych cewkach wiosennych. Podwórka jamek okrągłe, o średnicy 8-10  $\mu$ , otwory (porusy) zazwyczaj skośne, krzyżujące się, rzadziej (w drewnie wiosennym) okrągłe. Nigdzie, nawet w najwęższych cewkach letnich, jamki nie zajmują całej szerokości cewek. Przez jamki przechodzą skośne, często krzyżujące się splekania.

Promienie drzewne złożone z komórek wyłącznie parenchymatycznych. Poprzeczne (horyzontalne) ścianki gładkie, 5-6  $\mu$  grubości. Ścianki boczne (tangencjalne) również gładkie, takiej samej grubości lub nieco grubsze od poprzecznych, skierowane do nich prostopadłe lub trochę skośne, proste lub nieco łukowato wygięte, bez wgłębionych nasad lub co najwyżej z nasadami bardzo słabo zaznaczonymi. Na promieniowych (równoległych) ściankach jamki proste, wąsko- lub szeroko-owalne, o wymia-

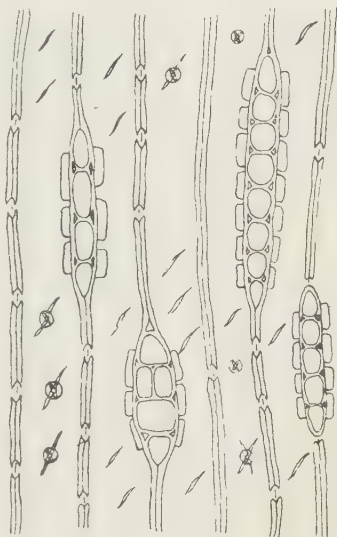


Fig. 2

*Phyllocladorylon polonicum* n. sp.  
Przekrój styczny  $\times 300$

rach w drewnie wiosennym  $5 (-8) \times 9 (-12) \mu$ , w drewnie letnim mniejsze i węższe, wszędzie często dzióbkowato zastrzone, skierowane w drewno wiosennym słabo skośnie, niekiedy prawie horyzontalnie, w drewnie letnim stopniowo coraz bardziej skośnie, po 1-2 na polach skrzyżowania w wewnętrznych komórkach promienia, po 1-4 (przeważnie 2-3) w komórkach skrajnych.

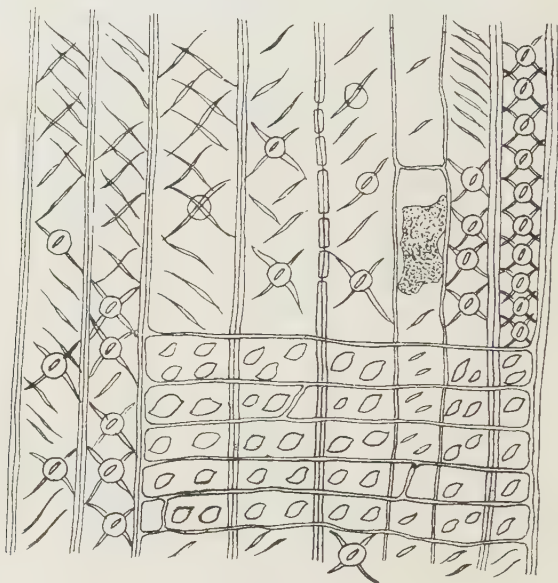


Fig. 3

*Phyllocladoxylon polonicum* n. sp.

Przekrój promieniowy

Na ogół drewno to ma strukturę typu *Cupressinoxylon*, różni się jednak od tego rodzaju obecnością na polach skrzyżowania jamek wyłącznie prostych oraz małą ilością komórek miękiszu żywicznego, który w rodzaju *Cupressinoxylon* występuje zazwyczaj bardzo obficie.

#### Oznaczenie rodzajowe i gatunkowe

Brak przewodów żywicznych, skąpy miękisz żywiczny, gładkie styczne i poprzeczne ścianki komórek promieni drzewnych oraz 1-3 (4) jamki wyłącznie proste na polach skrzyżowania — to cechy uzasadniające zaliczenie badanego gatunku drewna do rodzaju *Phyllocladoxylon* Gothan.

Trzy pierwsze z wymienionych cech nie podlegają dyskusji. Wątpliwość mogą jedynie wzbudzić jamki na polach skrzyżowania. Zdarza się bowiem, o czym wiedzą badacze drewna kopalnego, że przy złym stanie zachowania drewna często występują jamki pozornie proste. W razie

„U licznych gatunków drewna prawdziwe jamki proste przy poruszaniu mierniczymą śrubą mikroskopu ukazują się na polach skrzyżowania w postaci niepełnie ostrego obrazu 2-ch współśrodkowych kół czy elips. Obraz taki jest wynikiem budowy jamek prostych, które u wielu gatunków nie mają kształtu prawidłowo lindrycznego (walcowatego), lecz mają postać stożka ściętego, często spłaszczonego boki od podstaw. W wyniku takiej budowy oba otwory jamek prostych mają kształt niej więcej jednakowy, ale nierówne wymiary: większy i mniejszy“ (l. c, str. 277).

Jednakże ten sposób sprawdzania w niektórych przypadkach zawodzi, gdy prawdziwe jamki proste mają budowę prawidłowo walcową, a nie inną o ściankach wzajemnie równoległych i prostopadłych do powierzchni ścianki, na której występują, gdyż wtedy zarys jamki na przekroju promieniowym jest zawsze pojedynczy.

W dość licznych jednak przypadkach w poprzek jamek na polach skrzyżowania w opisywanym drewnie przechodzą skośne szczeliny, powołane do skutku popękaniem tkanek. W ten sposób zarys szczeliny imituje zarys jamki, natomiast zarys samej jamki stwarza pozory podwórka. Podobne złudzenia powstają, gdy w poszczególnych przypadkach oba wyłogi jamki — górny i dolny — nie tworzą w polu widzenia mikroskopu linii współśrodkowych, lecz są nieco skrzyżowane. Otrzymuje się wtedy zarys jamki pozornie taksodiowej lub glyptostrobowej ze szczątkowym podwórkiem. Są to jednak tylko pozory, które przy pewnej wprawie łatwiej się rozpoznają. Przykłady jamek tego rodzaju znamy z literatury. Np. autor, podając jedną z cech diagnostycznych drewna współczesnego z rodzaju *Phyllocladus* Philipps (27) podaje obecność na polach skrzyżowania drewnie wiosennym jamek szerokich, prostych, albo prawie prostych, w liczbie 1-3 na jednym polu („cross-field pits 1-3 large, simple or nearly simple in early-wood“ — l. c., str. 267). Jak wynika z tej wypowiedzi, autor nie obserwował takich szczątkowych podwórek w jamkach współczesnych gatunków *Phyllocladus*, uważa je jednak nie za pozorne, lecz za rzeczywiście istniejące.

O ile mi wiadomo, w pokładach trzeciorzędowych z Europy nie znano dotychczas zupełnie pewnie oznaczonego drewna kopalnego tego

rodzaju. Opieram się tu na opinii Kräusela (19), według którego, ok drewna z pliocenских pokładów miejscowości Gleichenberg (Styr Austria), opisany przez Rösslera (30) jako *Phyllocladoxylon* sp., na polach skrzyżowania ma jamki, co do których nie ma pewności, czy są prawdziwe jamki proste, czy też pozorne, gdyż tkanka drewna jest zniszczona. Kräusel tak pisze: „Trudno jest orzec, czy 1-2 jamki na polu skrzyżowania nie są wynikiem złego stanu zachowania. Gdyby tak nie było występowanie *Phyllocladoxylon* w naszym pliocenie byłoby faktem niezwykle interesującym“ (l. c., str. 129).

Inne trzeciorzędowe gatunki *Phyllocladoxylon* pochodzą: 1 gatunek z Ameryki Południowej oraz 3 gatunki z Australii.

W Europie znaleziono natomiast dwa gatunki mezofityczne: jurajski *Ph. eboracense* (Holden) Kräusel (12, 19) i kredowy *Ph. gothani* (Stokes) Shimakura (36).

Co do przynależności gatunkowej badanego drewna z próbki Nr 21 to idąc za kluczem Kräusela (19) do oznaczania gatunków tego rodzaju poprzez następujące cechy diagnostyczne: 1<sup>o</sup> obecność miękiszu żywicznego, 2<sup>o</sup> jamki lejkowate na promieniowych ścianach cewek węższe niż szerokość cewki, 3<sup>o</sup> na polach skrzyżowania przeważnie po 1-2 małe jamki, dochodzimy do gatunku *Phyllocladoxylon fluviale* (Sahni) Kräusel.

Pozostałe bowiem, zanotowane przez Kräusela gatunki *Phyllocladoxylon*, mają następujące cechy diagnostyczne, nie spotykane w drewnie Nr 21.

Gatunek	Jamki na promieniowych ścianach cewek	Jamki na polach skrzyżowania	Miękisz żywiczny
<i>Ph. gothani</i> (Stokes) Shimakura	zajmują całą szerokość cewki		
<i>Ph. latiporosum</i> (Conv.) Gothan (19)		1 duża jamka prosta	
<i>Ph. eboracense</i> (Holden) Kräusel			nie ma
<i>Ph. fusiforme</i> (Sahni) Kräusel (31)			nie ma
<i>Ph. heizyoense</i> Shimakura (36)			nie ma
<i>Ph. muelleri</i> (Schenk) Gothan (8)		1 duża jamka prosta	

Gatunek *Phyllocladoxylon fluviale* został ugruntowany przez Kräusela na podstawie pracy Sahni (31), który opisał go jako *Mesembryoxylon*



*fluviale*. Drewno tego gatunku znane jest tylko z pokładów trzeciorzędowych w miejscowości Chinchilla, Queensland, w Australii. Ze wszystkich rejestrowanych przez Kräusela gatunków z rodzaju *Phyllocladoxylon* gatunek *Ph. fluviale* ma cechy najbardziej zbliżone do drewna próbki Nr 21, ale nie jest identyczny. Chociaż nie miałam w ręku oryginalnej diagnozy gatunku *Ph. fluviale*, to na podstawie użytego klucza mogłam stwierdzić, że gatunek ten na polach skrzyżowania ma po 1-2 małe wąskie jamki, gdy tymczasem w badanym drewnie Nr 21 nie wszystkie jamki są wąskie, ich liczba zaś może dochodzić do 3-ech, a w komórkach skrajnych nawet do 4 jamek na jednym polu.

Sądzę więc, że istnieją dostatecznie mocne podstawy, aby uznać opisane tu drewno Nr 21 za gatunek nowy, który proponuję nazwać: *Phyllocladoxylon polonicum* n. sp.

Holotyp Nr 21 znajduje się w zbiorach Muzeum Ziemi w Warszawie.

### Porównanie z rodzajami drzew współczesnych

Rodzaj *Phyllocladoxylon* Gothan obejmuje, według Gothana (8), gatunki drewna o takiej budowie, jaką u współczesnych drzew iglastych stwierdzono u rodzajów: *Phyllocladus*, *Microcachrys*, *Sciadopitys*, *Pterohaera* oraz u kilku gatunków *Podocarpus* i *Dacrydium*.

Co do *Sciadopitys*, drewno tego rodzaju nie wchodzi obecnie w zakres pojęcia *Phyllocladoxylon*. Jak wykazał w swych badaniach Jurasky (3), drewno *Sciadopitys* ma wiele swoistych, odrębnych cech, które stały się podstawą do wyodrębnienia nowego rodzaju drewna, a mianowicie *Sciadopityoxylon*, znane w stanie kopalnym jako *S. wettsteini* Jurasky, którego żyjącym odpowiednikiem jest drewno *Sciadopitys verticillata* Leb. & Zucc. Z diagnostycznych dla tego monotypowego rodzaju cech należy wymienić olbrzymie jamki po jednej na polu skrzyżowania, opasane pozornymi podwórkami, oraz charakterystyczne przerwy w promieniowych ściankach promieni drzewnych, widoczne na przekroju stycznym, odpowiadające zaś wspomnianym tu jamkom prostym. Żadnej z wymienionych cech nie ma drewno Nr 21.

Różnice w strukturze drewna obu gatunków przedstawia następujące zestawienie (p. str. 288).

Co do *Microcachrys*, znany jest obecnie jeden gatunek — *M. tetraena* Hook. Badania porównawcze drewna tego gatunku (10) i próbki Nr 21 wykazały następujące różnice w budowie: 1<sup>o</sup> u *Microcachrys tetraena* na polach skrzyżowania występuje przeważnie 1 duża jamka prosta kształtu prostokątnego, wypełniająca sobą całe pole, w drewnie Nr 21 nigdy nie zauważyłam jamek tego typu, jamki są tam bowiem stosunkowo mniejsze, owalne, często na końcu zaokrąglone, nigdy jedna jamka nie wypełnia całego pola, liczba zaś jamek na jednym polu waha się w grani-

Cechy	<i>Sciadopitys verticillata</i>	Drewno Nr 21
Grubość ścian cewek	wiosenne cieńsze, niż letnie	wiosenne i letnie mniej więcej jednakowej grubości
Jamki na stycznych ścianach cewek	dość liczne, o otworach pionowych	sporadyczne, o otworach silnie skośnych, skrzyżowanych
Komórki promieni drzewnych na przekroju stycznym (tangencjalnym)	duże, mające na ściankach promieniowych duże otwory rozszerzone do wewnątrz (tj. duże jamki proste)	bez takich szerokich otworów, natomiast opatrzone większymi otworami (tj. mniejszymi jamkami prostymi)
Liczba jamek na polach skrzyżowania w drewnie wiosennym	1	1-3 (4)
Kształt i wielkość jamek na polach skrzyżowania	duże, proste, pozornie opatrzone szerokim podwórkim	średniej wielkości, wyraźne, proste, czasem opatrzone pozornym podwórkim szczątkowym.
Poprzeczne (horyzontalne) i styczne (tangencjalne) ścianki promieni drzewnych	bardzo cienkie	dość grube

cach 1-3(4); 2<sup>o</sup> u *Microcachrys tetragona* promieniowe i styczne ścianki promieni drzewnych są zawsze bardzo cienkie, w drewnie próbki Nr 2 są one zawsze dość grube; 3<sup>o</sup> u *Microcachrys tetragona* na promieniowych ścianach cewek jamki lejkowate występują w 1-2 szeregach; jeśli w jednym, to jamka zajmuje szerokość całej cewki, w drewnie zaś Nr 21 jamki są rozmieszczone zawsze w jednym szeregu i nigdy nie wypełniają szerokości całej cewki.

Następny rodzaj, zaliczany dawniej do *Phyllocladoxylon*, to *Pherosphaera*. Obecnie wiemy (10), że drewno *Pherosphaera* ma raczej strukturę typu *Cedroxylon*, ponieważ poprzeczne i styczne ścianki jej promieni drzewnych są silnie ujamkowane.

Co do *Podocarpus*, to Gothan (8) zalicza drewno gatunków: *P. spicata* R. Br. i *P. andina* Pöpp. do rodzaju *Phyllocladoxylon*. Oba te gatunki mają jednak na polu skrzyżowania po jednej jamce prostej o pionowo skierowanych otworach oraz na promieniowych ścianach cewek — jamki zajmujące szerokość całej cewki. W ten sposób drewno Nr 21 nie może być przyrównane do drewna gatunków z rodzaju *Podocarpus*.

W dalszym ciągu należy przeprowadzić jeszcze porównanie struktury badanego drewna z budową *Dacrydium Franklini* Hook, które według Gothana (8) przedstawia również typ budowy *Phyllocladoxylon*. Gatunek ten jednak ma na polach skrzyżowania po jednej bardzo dużej

nie kształtu prostokątnego i również nie może być przyrównany do struktury badanego drewna.

Pozostaje do rozpatrzenia budowa gatunków drewna z rodzaju *Phyllocladus*. Rodzaj ten obejmuje 7 gatunków żyjących współcześnie. W dostępnych mi materiałach porównawczych mam próbkę drewna tylko jednego gatunku z rodzaju *Phyllocladus*, a mianowicie *Ph. rhomboidalis* Ch. Budowę trzech innych gatunków, a mianowicie: *Ph. glaucus* Carr., *Ph. alpinus* Hook i *Ph. trichomanoides* Don., miałam możność poznać z prac Philippsa (27) i Gregussa (10).

Na ogół budowa drewna *Ph. rhomboidalis* wykazuje wiele cech wspólnych ze strukturą drewna Nr 21. Różnice istnieją w szczegółach promieni drzewnych, a mianowicie w liczbie i kształcie jamek na polach skrzyżowania. U *Ph. rhomboidalis* w drewnie najwcześniejszym na polach skrzyżowania występuje przeważnie jedna duża jamka prosta kształtu prostokątnego. w drewnie przejściowym i późnym jamki występują w liczbie 1-3 na jednym polu, są nieco węższe, owalne, na końcach zaokrąglone, takie właśnie, jakie widzimy w drewnie Nr 21. Również tego kształtu jamki, tylko nieco większe, w liczbie 1-3 na polach skrzyżowania, ma *Phyllocladus trichomanoides* (10, 27). *Ph. alpinus* i *Ph. glaucus* mają na polach skrzyżowania jamki duże, szerokie, prostokątne, zawsze po jednej jamce na polu.

Z wymienionych 4 gatunków współczesnych *Ph. trichomanoides* wykazuje strukturę drewna najbardziej zbliżoną do badanej próbki Nr 21, ale nie jest identyczny. Różni się bowiem większymi wymiarami jamek zarówno na polach skrzyżowania, jak i na promieniowych ścianach cewek.

Analiza struktury drewna Nr 21 prowadzi jednak do wniosku, że ten przedstawia drewno o budowie właściwej rodzajowi *Phyllocladus*. Nie znając struktury drewna 3 pozostałych gatunków współczesnych nie mogę stwierdzić, czy drewno Nr 21 posiada odpowiednik wśród gatunków obecnie żyjących, czy też należało do jakiegoś gatunku wymarłego.

### *Phyllocladoxylon polonicum* n. sp.

Próbka Nr 21 (fig. 1-3 w tekście; pl. I i II)

#### Diagnoza

Przekrój poprzeczny (pl. I, fig. 1). — Granice rocznego przyrostu wyraźne, ale niezbyt kontrastowe, gdyż najpóźniejsze cewki letnie i sąsiadujące z nimi najwcześniejsze wiosenne mają ściany tej samej grubości. Ścianki cewek żywicznych mniej więcej równomiernie skąpo rozproszony po całym przekroju słoja rocznego. Cewki na tym przekroju 4-5-kątne, w rogach zaokrąglone, rozmaitych rozmiarów.

*Przekrój styczny* (pl. I, fig. 2). — Cewki silnie spiralnie prążkowane, jamki lejkowate na stycznych ścianach występują raczej wyjątkowo o otworach silnie skośnych, prawie pionowych, skrzyżowanych. Promienie drzewne bardzo liczne, jedno- lub częściowo dwuszeregowy, wysokość do 12 (przeważnie 3-8) pięter. Komórki promieni okrągławe lub prawie czworokątne, ich wysokość zmienna w granicach 13-23  $\mu$ . Poprzeczne przegrody miękiszu żywicznego zazwyczaj cienkie i gładkie.

*Przekrój promieniowy* (pl. II, fig. 1 i 2). — Drewno silnie spiralnie prążkowane. Na promieniowych ścianach cewek jamki lejkowate rozmieszczone zawsze w jednym szeregu, nawet w najszerszych cewkach wiosennych. Podwórka jamek okrągłe, o średnicy 8-10  $\mu$ , otwory (poruszy) zazwyczaj skośne, krzyżujące się, rzadziej (w drewnie wiosennym) okrągłe. Nigdzie, nawet w najwęższych cewkach letnich, jamki nie zajmują całej szerokości cewki. Przez jamki przechodzą skośne, często krzyżujące się spęknięcia. Promienie drzewne złożone z komórek wyłącznie parenchymatycznych. Poprzeczne (horyzontalne) ścianki gładkie, 5-6  $\mu$  grubości. Ścianki styczne (tangencjalne) również gładkie, takiej samej grubości, lub nieco cieńsze niż poprzednie, bez wgłębionych nasad. Na promieniowych (radialnych) ściankach jamki wyłącznie proste, wąsko- lub szeroko-owalne, o wymiarach w drewnie wiosennym 5 (- 8)  $\times$  9 (- 12)  $\mu$ , w drewnie letnim mniejsze i węższe, wszędzie często dzióbkowato zakończone, skierowane w drewnie wiosennym słabo skośnie, niekiedy prawie horyzontalnie, w drewnie letnim stopniowo coraz bardziej skośnie, po 1-2 na polach skrzyżowania w wewnętrznych komórkach promienia, po 1-4 (przeważnie 2-3) w komórkach skrajnych.

#### GATUNKI LIGNITÓW REPREZENTOWANE W TUROWIE

##### *Uwagi wstępne*

Do opisanych w części pierwszej niniejszego opracowania rodzajów drewna przybywa obecnie rodzaj *Phyllocladoxylon*, reprezentowany przez gatunek *Ph. polonicum* n. sp. Ponadto oznaczyłam dodatkowo 18 próbek wśród których nie ma jednak żadnych nowych dla Turowa gatunków.

Dodatkowo oznaczone próbki należą do rodzajów (ew. gatunków) drewna:

*Taxodioxylon sequoianum* Gothan (= *T. gypsaceum* Kräusel) o kolumnarowym typie struktury (6 próbek),

*Taxodioxylon taxodii* Gothan (2 próbki),

*Taxodioxylon* sp. (2 próbki),

*Glyptostroboxylon tenerum* Conv. (4 próbki),

*Cupressinoxylon hausruckianum* Hofm. (1 próbka),



*Juniperoxylon pachyderma* Kräusel (2 próbki),  
*Podocarpoxylon* sp. (1 próbka),  
*Phyllocladoxylon polonicum* n. sp. (1 próbka).

W ten sposób, po włączeniu do spisu nowooznaczonych próbek, uzupełniona lista dotychczas znalezionych w Turowie gatunków drewna przedstawia się, jak następuje (p. str. 292).

Jak już zaznaczyłam w pierwszej części opracowania (40), wszystkie wymienione gatunki drewna są to szczątki drzew iglastych. Przetrwaly ciągu tak długiego okresu czasu, być może ok. 30 milionów lat, dzięki tej na ogół zawartości żywicy w tkankach. Drewno drzew liściastych nie zawiera tej substancji konserwującej i dlatego łatwiej ulega rozkładowi. Flora kopalna Turowa zawiera jednak bardzo liczne szczątki drzew liściastych w postaci liści, owoców i nasion (5). Badania specjalne wykazały, że był udział drzew liściastych w opisywanej florze kopalnej. Pełny obraz, bardziej zbliżony do rzeczywistości, uzyskać będzie można dopiero po opracowaniu całości materiału.

Wyniki badań nad szczątkami drewna ilustrują, i to tylko częściowo, udział drzew iglastych we florze kopalnej Turowa, dają zatem obraz fragmentaryczny i jednostronny. częściowo również domniemany, nie mniej jednak interesujący i godny uwagi. Przedstawiam go we wnioskach końcowych.

*Występowanie poszczególnych gatunków i rodzajów lignitów oraz porównanie ich z rodzajami kopalnych i współczesnych drzew iglastych*

*Glyptostroboxylon tenerum* (Kraus) Conventz

Dominującym gatunkiem drewna dla całego górnego pokładu (łącznie z nadkładem) jest *Glyptostroboxylon tenerum*. Są to prawdopodobnie szczątki drzew z gatunku *Glyptostrobus europaeus* Heer, którego szyszki i listniona gałązki dość licznie występują w Turowie. Pnie *Glyptostroboxylon* są olbrzymie; jak wynika z dokonanych obliczeń, były to drzewa osiągające znaczną wysokość i dochodzące do ok. 600 lat życia. W okresie trzeciorzędowym *Glyptostrobus europaeus* był szeroko rozprzestrzeniony w Europie, Azji i Ameryce Północnej, o czym świadczą znajdowane na tych obszarach kopalne jego szczątki. Występował jako składnik lasu mieszanego iglasto-liściastego, złożonego z drzew o liściach sezonowo opadających.

Według powszechnie przyjętego poglądu, współczesnym odpowiednikiem gatunków *Glyptostroboxylon tenerum* i *Glyptostrobus europaeus* jest *G. pensilis* Koch. (11). Nie stwierdzono bowiem dotychczas żadnych istotnych różnic w budowie obu form: kopalnej i współczesnej. W myśl tego mniemania, współczesny *G. pensilis* jest reliktem z okresu trzecio-

Rodzaj	Gatunek	Żyjący odpowiednik	Liczba oznacz. próbek	% i liczba oznaczonych próbek rodzaju	
				%	liczb
I <i>Taxodio- xylon</i> Gothan	1. <i>T. sequoianum</i> Goth. (= <i>T. gypsaceum</i> Kräusel)	1.			
	a. typ budowy pnia	a. <i>Sequoia sempervirens</i> Endl.	13		
	b. korzeniowy typ budowy	b. — ?	38	52,4	89
	2. <i>T. taxodii</i> Goth. <i>Taxodioxyton</i> sp.	2. <i>Taxodium distichum</i> Rich. Taxodiaceae	18 20		
II <i>Glyptostrobo- xylon</i> Conventz	3. <i>G. tenerum</i> (Kraus) Conventz	<i>Glyptostrobus pensilis</i> Koch.	45	26,5	45
III <i>Cupressino- xylon</i> Goeppert	4. <i>C. canadense</i> (Schröter) Kräusel	<i>Sequoia gigantea</i> Torr. ( <i>Sequoiadendron giganteum</i> Buchh.)	2		
	5. <i>C. polonicum</i> (Kostyniuk) Kräusel	<i>Athrotaxis</i> sp.	2		
	6. <i>C. hausruckianum</i> Hofm.	<i>Cryptomeria</i> sp.	3	14	24
	7. <i>C. sp.</i> <sub>1</sub> (? <i>C. sp.</i> Kostyniuk)	<i>Chamaecyparis</i> sp.	1		
	8. <i>C. sp.</i> <sub>2</sub> (? <i>C. disconense</i> Walton)	<i>Widdringtonia</i> sp.	2		
	9. <i>C. sp.</i> <sub>3</sub> (? <i>C. hallei</i> Kräusel)	<i>Libocedrus</i> sp.	1		
	<i>Cupressinoxylon</i> sp.	Cupressaceae	13		
IV <i>Junipero- xylon</i> (Houlter) Kräusel	10. <i>J. pachyderma</i> (Goeppert) Kräusel	<i>Juniperus</i> sp.	5	3	5
V <i>Podocarpo- xylon</i> Gothan	11. <i>P. sp.</i> <sub>1</sub> (? <i>P. schwendae</i> ) Kubart	<i>Podocarpus</i> sp.	2		
	12. <i>P. sp.</i> <sub>2</sub> (? <i>P. totara</i> Evans)	<i>Podocarpus totara</i> Don.	1	3,5	6
	13. <i>P. dacrydioides</i> n.sp.	<i>Podocarpus dacrydioides</i> Rich.	1		
	14. <i>P. turoviense</i> n.sp.	<i>Dacrydium</i> sp.	2		
VI <i>Phylloclado- xylon</i> Goth.	15. <i>Phyllocladoxylon polonicum</i> n. sp.	<i>Phyllocladus</i> sp.	1	0,6	1
Ogółem:			170	100,0	177

zędowego, wymierającym na obszarze Chin pd.-wschodnich i znanym już tylko w uprawie. Zupełnie odosobnione stanowisko i bardzo ograniczony zasięg, jaki zajmuje *G. pensilis* w Chinach, przemawia za tym, że jest to ten sam prastary gatunek, który od okresu trzeciorzędowego nie ulegał, być może, żadnym większym zmianom.

W porównaniu jednak do swych kopalnych przodków współczesny *Glyptostrobus pensilis* jest drzewem skarłowaciałym, gdyż osiąga wysokość zaledwie 4-8 m i żyje przeciętnie 50-60, wyjątkowo zaś ok. 100 lat. Występuje na obszarach niżowych, położonych poniżej 200 m n. p. m. Spotyka się go głównie na gruntach umiarkowanie wilgotnych, ale rośnie również dobrze na glebie podmokłej, np. wśród pól ryżowych, czy w wilgotnych dolinach rzecznych, a nawet na bagnach, gdzie tworzy pneumatofory.

*Glyptostrobus pensilis* jest drzewem wybitnie światłolubnym i raczej ciepłolubnym. Żyje w klimacie umiarkowanym o przewadze opadów atmosferycznych w porze letniej, o małych wahaniami termicznych i temperaturach rzadko kiedy opadających poniżej zera. Na okres zimowy przetrzuca część ulistnienia.

*Taxodioxyton sequoianum* Gothan (= *T. gypsacum* Kräusel)  
(korzeniowy typ budowy drewna)

Na wszystkich poziomach złoża węgla brunatnego w Turowie, obok szczątków *Glyptostroboxylon tenerum*, występuje pospolicie drewno z gatunku *Taxodioxyton sequoianum* o tzw. korzeniowym typie struktury anatomicznej.

W części pierwszej niniejszego opracowania (40, str. 495) wyraziłam przypuszczenie, które starałam się poprzeć dowodami, że szczątki drewna tego gatunku należą prawdopodobnie do wymarłego gatunku *Sequoia couttsiae* Heer (32). Szczątki gałęzek i szyszek tego gatunku drzewa mało spotyka się we florze kopalnej Turowa. Jest to gatunek w ogóle mało jeszcze zbadany i nie wiemy prawie nic o warunkach ekologicznych jego bytowania. Zewnętrzna postać pędów o liściach łuskowatych przypomina współczesny gatunek *Sequoia gigantea* Torr. (= *Sequoiadendron giganteum* Buchh.), szyszki natomiast przypominają kształtem szyszki *Sequoia sempervirens* Endl. W okresie trzeciorzędowym *Sequoia couttsiae* miała szeroki zasięg w Europie.

*Taxodioxyton sequoianum* Gothan (typ struktury anatomicznej pnia)

Dość licznie wśród szczątków drewna z Turowa reprezentowany jest gatunek *Taxodioxyton sequoianum* o strukturze charakterystycznej pnia współczesnego gatunku *Sequoia sempervirens*.

Jak wiadomo, w okresie trzeciorzędowym były dwa różne obszary występowania sekwoi na półkuli północnej: w Eurazji — *S. Langsdorfi* Heer, w Ameryce Północnej — *S. affinis* Lesq. i miały one największe zasięgi w epoce miocenijskiej. Wielu autorów sądzi, że *S. Langsdorfi* jest jednym z kopalnych przodków *S. sempervirens* (35). W epoce pliocenijskiej w Europie i Azji sekwoja prawdopodobnie była już na wymarciu: w stanie kopalnym w pokładach tego wieku stwierdzono dotychczas jej obecność tylko w Willershausen w Niemczech (38). W Ameryce Północnej zasięg jej w tym czasie stopniowo się kurczył. Obecnie *S. sempervirens* tworzy zbiorowiska pięknych lasów na wybrzeżach Pacyfiku od Kalifornii i Oregon oraz na zboczach dolin górskich, otwartych ku wybrzeżu na wzniesieniach do 900 m n. p. m. Rośnie najbujniej w klimacie wilgotnym, o małych amplitudach dziennych i rocznych, gdzie mróz jest zjawiskiem zupełnie wyjątkowym. Istnieją tam dwie pory roku: bezdeszczowe lato i bogata w deszcze zima. Kalifornijskie wybrzeża Pacyfiku latem osnuwa gęsta mgła, zapewniająca niezbędną wilgoć w ciągu suchego lata. W okresie letniej, godnej zimy padają tam obfite deszcze. W ten sposób przez cały rok sekwoja ma zapewniony dostateczny zapas wilgoci. Nie zrzuca ona ulistnienia na okres zimowy, jest „zawsze zielona“.

Bory sekwojowe na wybrzeżach Kalifornii składają się z drzew olbrzymich, prastarych. Wyglądają tak, jakby trwały tam odwiecznie. Istotnie, w miejscowych pokładach trzeciorzędowych występują szczątki kopalne sekwoi, zaliczanej do gatunku *S. affinis*, zupełnie podobnej do współczesnej *S. sempervirens* i uważanej przez wielu badaczy za bezpośredniego jej przodka (3).

#### 4. *Taxodioxydon taxodii* Gothan

Dość często wśród kopalnych szczątków drewna w Turowie spotyka się gatunek *Taxodioxydon taxodii*, który według powszechnego mniemania przedstawia kopalny gatunek drzewa z rodzaju *Taxodium*. We wcześniejszych epokach trzeciorzędu występował pospolicie na dalekiej Północy w oligocenie i miocenie miał bardzo szeroki zasięg w średnich szerokościach geograficznych na półkuli północnej (3). Knowlton i Heer ustalili, że miocenijskie okazy, oznaczone jako *Taxodium distichum miocenicum* Heer w Ameryce Północnej oraz jako *T. dubium* Sternb. w Europie i Azji, należą do jednego i tego samego gatunku, a ich żyjącym odpowiednikiem jest *T. distichum* Rich. Forma kopalna w epoce miocenijskiej występowała od Mandżurii i Syberii, poprzez Europę, Grenlandię, arktyczną Kanadę i Alaskę — aż po Kolumbię Brytyjską i Kalifornię.

Trzeciorzędowe *Taxodium dubium* porastało bagniste wybrzeża jezior i laguny. Kopalne jego szczątki spotyka się masowo w osadach typu



ziornego. W epoce pliocenńskiej gatunek ten wymarł stopniowo w Europie i Azji. Przetrwał po dziś dzień jako *T. distichum* w Ameryce Północnej. Występuje on tam jako charakterystyczny i główny składnik rozległych lasów bagiennych, rozciągających się na obszarach wielu tysięcy km<sup>2</sup> w zabagnionych dolinach dorzecza Mississippi i na wschód aż po Florydę. Bagna te są stale lub przez większą część roku zalane wodą. Obok cyprysnika błotnego ważnym składnikiem tych lasów są drzewa liściaste, zrzucające liście na okres zimowy. Również cyprysnik błotny gubi część istnienia na zimę. *Taxodium distichum* może żyć 500-700 lat; wyjątkowo spotyka się osobniki 1000-letnie, a nawet i starsze. Największe drzewa mają do 4 m średnicy i do 50 m wysokości. Pod tym względem nie ustępują swym kopalnym przodkom, którymi były drzewa równie długowieczne i równie potężnych rozmiarów. Na gruncie zalewanym sezonowo wodą cyprysnik tworzy pneumatofory; na gruntach suchszych, jak również na stałe zalanych głęboką wodą (warstwą ponad 1 m) pneumatofory nie rozwijają się. Wreszcie osobniki drzew bardzo starych także nie tworzą pneumatoforów (6, 26). Pnie starych drzew są bardzo szerokie u podstawy, na bagnach tworzą formy szkarpowate.

*Taxodium distichum* bytuje na obszarach o klimacie umiarkowanie ciepłym i wilgotnym, z przewagą opadów w porze letniej, gdzie panują temperatury umiarkowane, rzadko opadające poniżej zera, i o nieznacznych wahaniach termicznych. Opady atmosferyczne są tam rozprowadzone wszędzie bardzo równomiernie po całym obszarze. Ku północy cyprysnik sięga w regiony o klimacie bardziej kontynentalnym, ze znacznymi wahaniami termicznymi w różnych porach roku, z zimnymi zimami.

\*

Poza wyżej opisanymi pospolitymi lub częściej spotykanymi gatunkami drewna stwierdzono w badanym materiale obecność gatunków występujących sporadycznie. Opisuję je poniżej.

*Cupressinoxylon canadense* Kräusel (= *C. wellingtonioides* (Prill) Kräusel

Tylko dwie próbki drewna tego gatunku stwierdziłam wśród zbadań przeze mnie lignitów z Turowa. Zgodnie z ogólnie przyjętym pojęciem gatunek ten przedstawia szczątki, należące do jednego z dwóch gatunków trzeciorzędowych sekwoi: europejskiej *Sequoia Sternbergii* Heer lub azjatyckiej *S. sibirica* Heer (3). W tym przypadku mielibyśmy do czynienia z drewnem *S. Sternbergii*. Za ich żyjący odpowiednik uważana jest *S. gigantea* Torr. (= *Sequoiadendron giganteum* Buchh.) z gór Sierra Nevada, obecnie przez wielu badaczy zaliczana wraz ze swymi przodkami kopalnymi do rodzaju *Sequoiadendron*.

Jak wiadomo, słynne to „drzewo mamutowe“ występuje tylko na zachodnich zboczach gór Sierra Nevada, w odosobnionych stanowiskach na wzniesieniach 1400-2700 m, jako wymierający relikw z okresu trzeciorzędowego. Wiek poszczególnych osobników oceniany jest na 1100-2400 lat, wyjątkowo nawet do 4000 lat, wysokość do 150 m. *Sequoia gigantea* rośnie najbujniej na wilgotnych głębokich glebach, na obszarach o obfitych opadach atmosferycznych (112-150 cm w ciągu roku). Zasięg obejmuje obszar ok. 500 km<sup>2</sup>.

Prawie wszędzie w granicach tego zasięgu towarzyszy jej *Libocedrus decurrens* Torr.

#### 6. *Cupressinoxylon hausruckianum* Hofm.

Ten gatunek drewna reprezentowany jest w opracowanym przez mnie materiale przez 3 próbki. Zazwyczaj przyrównywa się go do drewna drzew współczesnych z rodzaju *Cryptomeria* (19). Dotychczas jednak nie stwierdzono z całą pewnością szczątków kopalnych drzew rodzaju *Cryptomeria* na obszarze Europy, samo zaś drewno, jak również ulistnione pnie, bez szyszek, nie stanowią dostatecznej podstawy do oznaczenia.

Współcześnie znany jest tylko jeden gatunek drzewa tego rodzaju a mianowicie *Cryptomeria japonica* Don. Występuje dziko w Chinach i Japonii. W lasach górskich strefy umiarkowanej południowego Hondo rośnie masowo na wzniesieniach 200-400 m, bądź w drzewostanach czystych, bądź w lasach mieszanych z drzewami liściastymi. Z iglastych towarzyszą im drzewa z rodzaju *Chamaecyparis* i *Thujopsis*. Na granicy Korei i Mandżurii, zwłaszcza nad rzekami Jalu i Tumen, tworzy ona wspaniałe bory. W Chinach, zwłaszcza w prowincji Che-kiang, spotkać ją można jeszcze na wzniesieniach do 1000 m. Najbujniej rośnie na gruntach wilgotnych w klimacie umiarkowanym, o obfitych opadach atmosferycznych, w szczególności w porze zimowej (1).

#### 7. *Cupressinoxylon* sp. Kostyniuk (1 próbka)

Ten gatunek drewna ma, jak to wykazał Kostyniuk (16), budowę charakterystyczną dla drzew współczesnych z rodzaju *Chamaecyparis*. Szczątki kopalne tego rodzaju, a mianowicie gałązki i szyszki, opisał m. in. Krasnow i Palibin (w 1907 i 1911 r.) z trzeciorzędowych pokładów okolic Saratowa i Kujbyszewa (fide 20), Miki (w 1938 r.) z pliocenu Japonii, w Polsce Szafer (w 1946 r.) z plioceńskich pokładów w Krościenku nad Dunajcem (39).

Współcześnie poszczególne gatunki drzew z rodzaju *Chamaecyparis* występują jako składniki lasów klimatu umiarkowanego półkuli północnej na różnych wzniesieniach. *Ch. formosensis* Matsumura tworzy lasy

wniesieniach do 2330 m n. p. m., *Ch. obtusa* Sieb. & Zucc. i *Ch. pisifera* Sieb. & Zucc. występują na wzniesieniach 400-1000 m, *Ch. nutkaënsis* B.S.P. — w nadbrzeżnych górach Alaski i Kolumbii Brytyjskiej, w Górach Kaskadowych oraz w Górach Nadbrzeżnych od wybrzeży morskich do 1000 m n. p. m. *Ch. Lawsoniana* Parl. rośnie w górach Kalifornii do 1000 m n. p. m. (6). *Chamaecyparis thyoides* Britt. jest składnikiem lasów bagiennych w zespołach *Taxodium distichum* — *Nyssa aquatica* w dorzeczu Mississippiego (26).

*Cupressinoxylon* sp. Kostyniuk (= *C. polonicum* Kräusel), 2 próbki

Jest to gatunek drewna (15) o strukturze zgodnej z budową drewna współczesnych drzew z rodzaju *Athrotaxis* (40). W stanie kopalnym szczątki *Athrotaxis* były rzadko notowane. Halle (fide 9) znalazł je w dolno-kredowych pokładach Patagonii. Schimper w jurajskich utworach Solnhofen opisał pędy z szyszkami, podobne z pokroju do *Athrotaxis*. Przynależność tych szczątków do rodzaju *Athrotaxis* jest jednakże bardzo problematyczna. Pewniej przedstawiają się szczątki pędów z igłami szyszkami, pochodzące z trzeciorzędowych pokładów Czech, zaliczone przez Menzela do *Athrotaxis* (9, 23).

Znane są trzy współcześnie żyjące gatunki drzew tego rodzaju, wszystkie z Tasmanii. *Athrotaxis cupressoides* Don. i *A. selaginoides* Don. porastają zbocza gór i wybrzeża jezior na wzniesieniach 1000-1300 m, *A. laxifolia* Hooker tworzy lasy na wierzchołkach gór w zachodniej części wyspy.

*Cupressinoxylon discoense* Walton (2 próbki)

Współczesnym odpowiednikiem tego gatunku jest drewno drzew z rodzaju *Widdringtonia*. Szczątki kopalne tego rodzaju były niejednolitym opisane z trzeciorzędowych pokładów Europy, Ameryki Północnej i Grenlandii; były też znalezione w Polsce (przez Menzela, w łożyskach Bydgoszczy, 22, 25). Był to rodzaj drzew szeroko, jak tego widać, rozprzestrzeniony w trzeciorzędzie. Obecnie drzewa z rodzaju *Widdringtonia* tworzą „zawsze zielone“ składniki lasów mieszanych w górach Afryki Południowej, jako gatunki reliktowe, już wymierające.

*W. juniperoides* (L.) Endl., tzw. „cedr klanwiliamski“, jest drzewem wysokości 7-20 m. Pojedyncze wspaniałe osobniki, rozrzucone na obszarze ok. 6 km<sup>2</sup>, spotyka się jeszcze w Górach Cedrowych, na północ od Kimberley, na skalistych niedostępnych zboczach, 900-1600 m n. p. m. Zima w tej okolicy jest bardzo zimna i wilgotna, lato ciepłe i suche. W górach Orange oraz w Rodezji i w północnej części Transvaalu występuje *W. Whytei* Rendle na wzniesieniach 1000-1300 m. W Rodezji była ona naj-



piękniejszym składnikiem lasów iglastych, drzewa tam dochodziły do 50 m wysokości. Z powodu wyjątkowo dużej zawartości żywicy w drewnie podlegała ona często pożarom i obecnie jest już na wymarciu (6).

*W. Schwarzii* Marloth bytuje w Kraju Przylądkowym na wzniesieniach 800-1200 m n. p. m. jako drzewo do 25 m wysokości. *W. cupressoides* Endl. z Gór Stołowych i *W. dracomontana* Stapf z Gór Smocznych są drzewami o 5-6 m zaledwie wysokości.

#### 10. *Cupressinoxylon hallei* Kräusel (1 próbka)

Jest to gatunek drewna przyrównywany do drzew współczesnych z rodzaju *Libocedrus*. Szczątki kopalne *L. salicornioides* Heer znajdowane dość często w trzeciorzędowych pokładach Europy Środkowej, gdzie był w tym okresie prawdopodobnie szeroko rozprzestrzeniony.

Współcześnie znamy 9 gatunków drzew tego rodzaju. W górach Kalifornii i Oregonu, na zachodnich stokach gór Sierra Nevada i w Górach Nadbrzeżnych na wzniesieniach 1500-2700 m, na żyznym wilgotnym podłożu występuje *L. decurrens* Torr. W Andach chilijskich, od Valparaiso na północy do Valdivii na południu, w dolinach oraz niższych partiach zboczy górskich bytuje *L. chilensis* Endl. i *L. tetragona* Endl. W Chinach (Yunnan, Hotha) na zboczach gór w pobliżu wodospadów, na wzniesieniach 1300-1800 m występuje *L. macrolepis* Benth. w postaci drzew do 30 m wysokości. Spotyka się go również na Tajwanie i w Birmie. Z Tajwanu znany jest poza tym *L. formosana* Florin. Na Nowej Gwinei w górach Victoria i na najwyższych wzniesieniach gór Stanleya (2600-4300 m) spotyka się gatunek *L. papuana* F. v. M. (1, 21); w górach Arfak (1800-2700 m) występuje *L. arfakensis* Gibbs (7). Z gór na Nowej Zelandii znany jest *L. Bidwillii* Hook., zazwyczaj na wzniesieniach 700-2000 m n. p. m. rzadziej w dolinach, gdzie schodzi do 350 m n. p. m., w nadbrzeżnych lasach spotyka się gatunek *L. plumosa* (D. Don) Druce.

#### 11. *Juniperoxylon pachyderma* Kräusel (3 próbki).

Drewno tego typu budowy zalicza się powszechnie do szczątków rodzaju *Juniperus*. W pokładach trzeciorzędowych dość często spotyka się je obok ulistnionych gałązek, zaliczanych również do tego rodzaju. Jednakże ulistnione pędy mają przeważnie liście w postaci łusek, tak trudnych do zidentyfikowania, toteż cały ten materiał kopalny nie daje wystarczających podstaw do twierdzenia, że chodzi tu z pewnością o szczątki *Juniperus* (9).

Współcześnie rodzaj *Juniperus* obejmuje wiele gatunków. Występujące one na całej półkuli północnej w małych i średnich szerokościach geograficznych, jedne jako element górski na wzniesieniach do 400 m n. p. m., inne (nieliczne) na obszarach niżowych, równinnych.



- 14. *Podocarpoxyylon* sp., *P. totara* Evans i *P. dacrydioides* n. sp. (łącznie 4 próbki)

Chodzi tu o szczątki drewna, przypominające strukturą drewno współczesnych drzew z rodzaju *Podocarpus*. Obecnie gatunki drzew tego rodzaju występują głównie na półkuli południowej. Szczątki kopalne *Podocarpus* znajdowano niejednokrotnie również na półkuli północnej, w Europie i Ameryce, w towarzystwie składników trzeciorzędowej flory lądowej, co skłania do wniosku, że w skład tej flory wchodził również przedstawiciel rodziny Podocarpaceae (9). Współczesne gatunki z rodzaju *Podocarpus* bytują w różnych warunkach ekologicznych. Na przykład *P. totara* Don znany jest z gór Nowej Zelandii, Nowej Gwinei i Tasmanii, na wzniesieniach 1000-1400 m n. p. m., gdzie zależnie od warunków bytowania występuje jako drzewo do 30 m. lub jako krzew do 4 m wysokości (4, 21). Na Nowej Zelandii jako jeden z ważniejszych składników rozległych lasów bagiennych występuje *P. dacrydioides* A. Rich.

„Są to drzewa do 35 m wysokości, o gałęziach okrytych łuskowatymi listkami, zwieszonych osnówkach, z których sterczą na zewnątrz czarne, dojrzałe nasiona, jak u sosny. W lesie takim strzeliste pnie *P. dacrydioides*, o nieproporcjonalnie małych gałęziach, stoją gęsto obok siebie, podobne raczej do masztów, niż do drzew. Tu wzdłuż bory te są urozmaicone przez drzewa liściaste z rodziny Magnoliaceae i Lauraceae“ (4).

#### *Podocarpoxyylon turoviense* n. sp. (2 próbki)

Budowa tego gatunku drewna właściwa jest drzewom z rodzaju *Dacrydium*. Szczątki kopalne oznaczone jako *Dacrydium* pochodzą prawdopodobnie z półkuli południowej, w Europie znalazł je i opisał Nathorst z podłoża jurajskich; w trzeciorzędzie dotychczas nie były notowane (9). Współczesne gatunki drzew z rodzaju *Dacrydium* (18 gatunków) występują wyłącznie na półkuli południowej: w Indo-Malajach, na wyspach Oceanu Spokojnego, w Australii, Nowej Gwinei, Nowej Zelandii, Tasmanii i Nowej Kaledonii. Na przykład na Nowej Kaledonii, na suchym skalistym podłożu występuje endemicznie *D. araucarioides* Brongn. & Grieseb. We wschodniej, wilgotnej i zalesionej, niżowej części wyspy bytują: *D. Balansae* Brongn. & Grieseb. i *D. taxoides* Brongn. & Grieseb., w górach zaś, na wzniesieniach ok. 1200 m, *D. lycopodioides* Brongn. & Grieseb. jest składnikiem lasów iglastych (6).

Na Nowej Gwinei *D. elatum* Wall., na wzniesieniach powyżej 2000 m. występuje w potężne drzewo, w zespołach zaś wysokogórskich (3000-3500 m) ten gatunek przybiera formę krzewiastą (21). W górach Arfak (2350-2500 m) spotyka się *D. novo-guineense* Gibbs (7).

W Nowej Zelandii *D. cupressinum* Solander, *D. intermedium* Kirk, *D. Kirkii* F. Mueller wchodzi w skład lasów niżowych iglasto-liściastych.

stych. Na wilgotnych i żyznych równinach o podłożu pochodzenia wulkanicznego *D. Colensoi* Hooker tworzy zespoły leśne typu podzwrotnikowego wraz z *Nothofagus cliffortioides*: są to największe i najbujniejsze lasy Nowej Zelandii, występujące zwłaszcza w północnej części kraju. W Alpach Nowozelandzkich, na wzniesieniach ok. 1200 m, *D. biforme* Pilger i *D. Bidwillii* Hooker tworzą wraz z *Olearia ilicifolia* zarośla krzewiste typu subalpejskiego w miejscach wystawionych na działanie wiatru na gruntach zarówno bagiennych, jak i suchych, kamienistych. Zespoły bagiennym towarzyszy często *D. laxifolium* Hooker. W skład lasów wysokogórskich w zespole z *Phyllocladus alpinus* i gatunkami drzew z rodzaju *Podocarpus* wchodzi *D. Bidwillii* Hooker (4).

W lasach Tasmanii, na południowych i zachodnich jej wybrzeżach, bytuje *D. Franklini* Hooker, a na stokach gór *D. biforme* Pilger i *D. intermedium* Kirk występują w zespołach lasów bagiennych, gdzie drzewa z rodzaju *Nothofagus* są składnikiem dominującym (34).

*D. falciforme* Pilger jest jedynym gatunkiem drzew tego rodzaju w Filipinach. Poza tym występuje on obok *D. Beccari* Parlatore w zespołach lasów niżowych na Borneo. W lasach wysokogórskich tej wyspy, wzniesieniach 3000-3500 m, spotyka się *D. Gibbsiae* Stapf (34). *D. Fontainei* Benthama jest endemicznym gatunkiem w Chile.

#### 16. *Phyllocladoxylon* sp. (1 próbka)

Struktura drewna tej próbki nasuwa przypuszczenie o przynależności do rodzaju *Phyllocladus*, którego gatunki żyją współcześnie na Nowej Gwinei, Nowej Zelandii, Tasmanii i Borneo (4, 21), w niższych lub wyższych partiach gór, czy na wybrzeżu morskim, zależnie od gatunku. Znanych jest 7 gatunków tego rodzaju.

W trzeciorzędowych pokładach Europy nie znaleziono dotychczas pewnie oznaczonych szczątków *Phyllocladus* (9).

Z tego pobieżnego przeglądu warunków naturalnych, w jakich występują drzewa współczesne z rodzajów lub gatunków, będących stwierdzonymi lub przypuszczalnymi odpowiednikami opisanych szczątków drewna z Turowa, można wyodrębnić kilka typów ekologicznych drzew bytujących na podobnych siedliskach.

*Taxodium distichum* i *Chamaecyparis thyoides* w Ameryce Północnej oraz *Podocarpus dacrydioides* na Nowej Zelandii bytują przeważnie na bagnach jako składniki lasów mieszanych iglasto-liściastych, w których większość gatunków drzew traci ulistnienie sezonowo. Na podmokłych nizinach żyje też hodowany w Chinach południowych *Glyptostrobus pensilis*.

*Sequoia sempervirens* w Kalifornii, *Cryptomeria japonica* i drzewa z rodzaju *Chamaecyparis* w Japonii i Chinach tworzą lasy na podłożu suchszym, niezabagnionym.

*Widdringtonia* i niektóre gatunki *Podocarpus* występują w górach Afryki południowej na średnich wzniesieniach, podobnie jak *Athrotaxis* na Tasmanii. Górskim elementem jest również *Sequoia gigantea*, żyjąca w Sierra Nevada na wzniesieniach 1400-2700 m.

Niektóre gatunki z rodzaju *Podocarpus*, *Dacrydium*, *Libocedrus* i *Phyllocladus* występują jako ważne składniki lasów górskich na Nowej Gwinei (21) i Nowej Zelandii (4). Na przykład na Nowej Gwinei, na wzniesieniach 2000-2500 m n. p. m., *Podocarpus thevetiifolia* Zipp. tworzy w niektórych miejscach 80% drzewostanu. Wyżej (2700-3000 m) w grupie iglastych dominuje *Dacrydium elatum* Wall. Na wysokości 3000-3500 m występują lasy wysokogórskie, gdzie większość drzew stanowią iglaste: *Dacrydium elatum*, *Libocedrus papuana*, *Phyllocladus trichomanoides* i kilka gatunków *Podocarpus*. Drzewa liściaste tworzą nieznaczną domieszczę w tych zespołach. Las wysokogórski na Nowej Gwinei wznosi się ponad pas mgieł. w strefie dość nasłonecznionej i suchej. Powyżej granicy tego lasu spotyka się jeszcze odosobnione drzewa *Libocedrus papuana*.

#### WNIOSKI

1<sup>o</sup> Analiza oznaczonego materiału lignitów z punktu widzenia ekologicznego (w odniesieniu do odpowiadających im drzew współczesnych) każe przypuszczać, że szczątki te należały prawdopodobnie do drzew z rozmaitych zespołów naturalnych, równinnych i górskich, bytujących w różnych warunkach fizjograficznych i na różnych wzniesieniach. Stąd powstaje przypuszczenie, że nie cały materiał lignitów Turowa jest pochodzenia miejscowego i że część jego została naniesiona przez wody płynące z bliżej lub dalej, ale w każdym razie wyżej położonych lasów górskich.

2<sup>o</sup> Ze składu systematycznego oznaczonego materiału lignitów, jak również z jego pionowego rozmieszczenia (por. 40, tabl. III) wynika, że składniki lasów niżowych równin występują w lignitach Turowa w zdecydowanej przewadze. Stąd nasuwa się wniosek, że w badanym materiale są one prawdopodobnie elementem autochtonicznym (górny pokład węgla brunatnego w Turowie leży na wzniesieniach ok. 170-250 m n. p. m.). Jako główne składniki z klasy iglastych (Coniferae) występują w tym materiale szczątki drewna gatunków *Glyptostrobus europaeus* i *Sequoia coultiae*, mniej licznie inny gatunek sekwoi (*S. Langsdorfi*?) oraz gatunek z rodzaju *Taxodium*, prawdopodobnie *Taxodium dubium*.

W ciągu długiego okresu tworzenia się pokładów węgla brunatnego na opisywanym obszarze, być może w ciągu setek tysięcy lub nawet kilku milionów lat, warunki klimatyczne i glebowe wielokrotnie ulegały wahaniom. Wskutek tego las to zanikał, to powracał na nowo (świadczą o tym liczne poziomy pni *in situ*, widoczne na profilu kopalni). Jednakże w różnych okresach istnienia tego lasu (na różnych poziomach kopalni) pojawiały się na nowo: *Glyptostrobus europaeus*, *Taxodium dubium*, *Sequoia couttsiae* i — być może — *Sequoia Langsdorfi*, jako ważne w tym zbiorowisku roślinnym drzewa iglaste. Wchodziły one prawdopodobnie w skład różnych zespołów leśnych — zależnie od charakteru siedliska. Sporadycznie występowały też w nim, być może, drzewa z rodzajów: *Widdringtonia*, *Chamaecyparis* i *Podocarpus*, o czym świadczyły pnie *in situ* o strukturze drewna odpowiadającej tym rodzajom drzew.

3<sup>o</sup> Sporadyczne występowanie w badanym materiale szczątków drewna o strukturze anatomicznej zgodnej z budową drewna drzew należących do współczesnych rodzajów (*Athrotaxis*), czy gatunków (*Sequoia gigantea*), reprezentujących element górski, jak również do rodzajów: *Phyllocladus*, *Dacrydium*, *Libocedrus* i *Podocarpus* (pewne gatunki tych 4 rodzajów występują współcześnie na najwyższych wzniesieniach w górach Nowej Gwinei) — sugeruje wniosek, że szczątki te, być może, pochodzą z lasów górskich, bliżej lub dalej położonych (może sudeckich?). Na różnych piętrach gór mogły występować różne rodzaje drzew iglastych.

Dopóki jednakże w materiale kopalnym drzew iglastych Turowa nie stwierdzi się obecności pewnie oznaczonych szczątków igieł (przez analizę nabłonkową), a zwłaszcza szyszek, należących do wymienionych tu rodzajów drzew, dopóty wnioski te pozostaną tylko przypuszczeniami. Jak bowiem już zaznaczyłam i jak to powszechnie wiadomo, szczątki drewna nie zawsze dają wystarczające podstawy do oznaczenia rodzajów drzew.

W zakończeniu niech mi będzie wolno wyrazić serdeczne podziękowania: Kierowniczce Pracowni Paleobotanicznej Muzeum Ziemi Prof. Hannie Czeczottowej oraz Prof. dr. Mikołajowi Kostyniukowi — za przejrzenie maszynopisu i cenne uwagi krytyczne, Prof. dr. Janowi Zabłockiemu — za wypożyczenie z prywatnego księgozbioru kilku publikacji dotyczących opracowania niektórych gatunków drewna kopalnego, wreszcie Kierowniczce Pracowni Fotograficznej Muzeum Ziemi Ob. Józefie Bułhak — za wykonanie zdjęć mikrofotograficznych.

Pracownia Paleobotaniczna Muzeum Ziemi

Warszawa, w listopadzie 1954 r.



## LITERATURA CYTOWANA

1. BEISSNER L. Handbuch der Nadelholzkunde. II Aufl. Berlin 1909.
2. BERGER F. Stratigraphische Beiträge zur Kenntnis des ostdeutschen Braunkohlen-Tertiärs. — Zbl. Miner. Geol. u. Palaeont., Abt. B. Stuttgart 1940.
3. CHANEY R. W. A revision of fossil Sequoia and Taxodium in western North America based on the recent discovery of Metasequoia. — Trans. Amer. Philosph. Soc., N. ser., vol. 40, pt. 3, 1950. Philadelphia 1951.
4. COCKAYNE L. The vegetation of New Zealand. Die Vegetation der Erde, XIV. Leipzig 1928.
5. CZECZOTT H. Wiadomość tymczasowa o florze miocenijskiej Turowa nad Nysą Łużycką (Preliminary notes on the Miocene flora of Turów near Bogatynia). — Wiad. Muz. Ziemi (Pol. Geol. Mag.), t. IV, p. 249-255. Warszawa 1948.
6. DALLIMORE W. & JACKSON A. B. Handbook of Coniferae, including Ginkgoaceae. London 1948.
7. GIBBS L. S. A contribution to the phytogeography and flora of the Arfak Mountains. With 4 plates a. 16 text-figures. London 1917.
8. GOTHAN W. Zur Anatomie lebender und fossiler Gymnospermenhölzer. — Abh. Kgl. Preuss. Geol. L.-A., N. F., Nr 44. Berlin 1905.
9. GOTHAN W. & WEYLAND H. Lehrbuch der Paläobotanik. Berlin 1954.
10. GREGUSS P. Xylotomischer Bestimmungsschlüssel der Gattungen und Arten der Podocarpaceae. — Acta Biol. Acad. Sci. Hung., t. III, f. 1. Szeged 1951.
11. HENRY A. & McINTYRE M. The swamp cypresses, Glyptostrobus of China and Taxodium of America, with allied genera. — Proc. Roy. Ir. Acad., vol. 37B. Dublin 1926.
12. HOLDEN R. Jurassic wood from Scotland. — New Phytologist. XIV. Cambridge 1915.
13. JURASKY K. A. Paläobotanische Braunkohlenstudien. III. Ein neuer Fund von Sciadopitys in der Braunkohle (Sciadopityoxylon wettsteini n. sp.). — Senckenbergiana, vol. 10. 1928.
14. KIRCHHEIMER Fr. Paläobotanische Beiträge zur Kenntnis des Alters deutscher Braunkohlenschichten. — Braunkohle, 35-38. 1936-1939.
15. KOSTYNIUK M. Trzeciorzędowe drewna i pyłki z Mazowsza i Wołynia. — Kosmos, t. 63, I, A. 1938.  
— Szczątki drewna szpilkowych flory pliocenijskiej z Krościenka. — Prace Wrocł. Tow. Nauk. Ser. B, 22. Wrocław 1950.
16. KRÄUSEL R. Die fossilen Koniferenhölzer (unter Ausschluss von Arancarioxylon Kraus). Versuch einer monographischen Darstellung. — Palaeontographica vol. 62. 1919.  
— Beiträge zur Kenntniss der fossilen Flora Südamerikas. I Fossile Hölzer aus Patagonien und benachbarten Gebieten. — Ark. Bot., 19, 9. 1924.  
— Die fossilen Koniferenhölzer (unter Ausschluss von Araucarioxylon Kraus). II. Teil: Kritische Untersuchungen zur Diagnostik lebender und fossiler Koniferenhölzer. — Palaeontographica, vol. 89. 1949.
17. KRIŠTOFOVIČ A. N. Paleontologija SSSR. Priloženje k tomu XII. Katalog rastenij iskopaemoj flory SSSR. (Paleontology of USSR, vol. XII: supplement. Prodrum florae fossilis federationis USSR). Moskwa-Leningrad 1941.
18. LAM H. J. Vegetationsbilder aus dem Innern von Neu Guinea. Vegetationsbilder, herausg. v. B. Karsten u. H. Schenck, 15 Reihe, H. 5/6, Taf. 25-36. 1924.
19. LILPOP J. Roślinność Polski w epokach minionych (Flory kopalne). Lwów 1929.

23. MENZEL P. Die Gymnospermen der nordböhmisches Braunkohlenformation. Theil 2. — Abh. Isis. Dresden 1900.
24. — Über die Flora der Senftenberger Braunkohlen. — Abh. Preuss. Geol. L.-A., N. F., XLVI. 1906.
25. — Die Pflanzenreste aus dem Posener Ton. — Jb. Kgl. Preuss. Geol. L.-A. T. XXXI. Berlin 1910.
26. PENFOUND W. T. Southern Swamps and Marshes. — Bot. Rev., vol. 18, No. 6. Lancaster-Pa. 1952.
27. PHILIPPS E. W. J. The identification of Coniferous woods by their microscopic structure. — Journ. Linn. Soc. Bot., vol. 52. London 1941.
28. PIETZSCH K. Die Braunkohlen Deutschlands. Handbuch der Geologie und Bodenschätze Deutschlands. III. Abt. 1925.
29. PRILL W. & KRÄUSEL R. Die Hölzer der schlesischen Braunkohle. — Jb. Preuss. Geol. L.-A. für 1917. Berlin 1919.
30. RÖSSLER W. Pliozäne Koniferenhölzer der Umgebung von Gleichenberg in Steiermark. — Mitt. Naturw. Ver. Steiermark, 74. 1937.
31. SAHNI B. & DUNSTAN B. Petrified plant remains from the Queensland Mesozoic and Tertiary formations. — Publ. Queensl. Geol. Surv., 267. 1920.
32. SCHENK A. Über einige in der Braunkohle vorkommenden Pflanzenreste. — Bot. Ztg., Nr 27. 1869.
33. — vide ZITTEL, Handbuch der Palaeontologie, II, S. 424-426. München 1890.
34. SCHIMPER v. FABER. Pflanzengeographie, III Aufl. Jena 1935.
35. SEWARD A. C. Fossil plants. Vol. VI: Gingkoales, Coniferales, Gnetales. Cambridge 1919.
36. SHIMAKURA M. Studies on fossil woods from Japan and adjacent lands. I. Some Jurassic woods from Japan and Manchoukou. — Sci. Rep. Tohoku imp. Univ. (2 Geol.), 18. 1936.
37. STOPES M. C. The Cretaceous Flora. II. Cat. Mesoz. Plants. Brit. Mus. London 1915.
38. STRAUS A. Beiträge zur Pliozänflora von Willershausen. III. Die niederen Pflanzen bis zu den Gymnospermen. — Palaeontographica, Abt. B, Lief. 1-3. Stuttgart 1952.
39. SZAFER W. Flora plioceniska z Krościenka n/Dunajcem (The Pliocene flora of Krościenko in Poland). P. A. U. Kraków, cz. I-1946, cz. II-1947.
40. ZALEWSKA Z. Trzeciorzędowe szczątki drewna z Turowa nad Nysą Łużycką. Cz. I (Tertiary remains of fossil wood from Turów on the Lusatian Neisse Pt. I). — Acta Geol. Pol., vol. III/4, s. 481-543, pl. I-X. Warszawa 1953.



*Phyllocladoxylon polonicum* n. sp.

(próbka Nr 21)

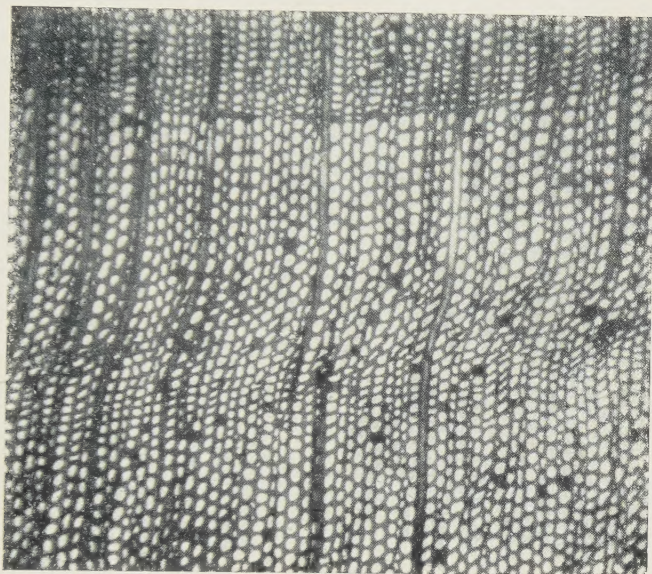


Fig. 1

przekrój poprzeczny

× 50

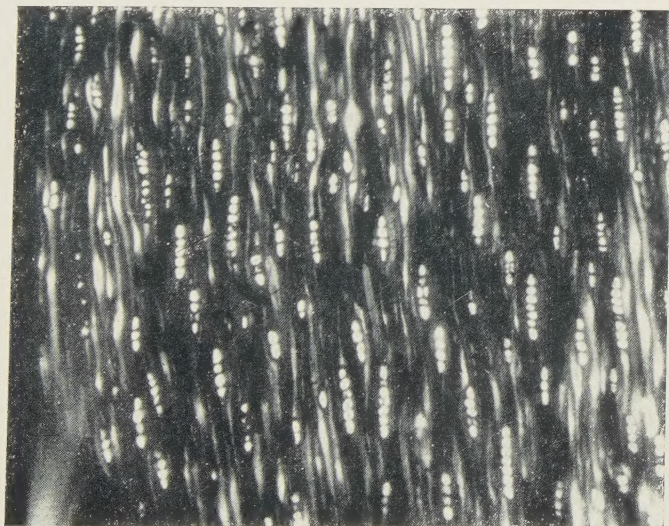


Fig. 2

przekrój styczny

× 50



*Phyllocladoxylon polonicum* n. sp.

(próbka Nr 21)

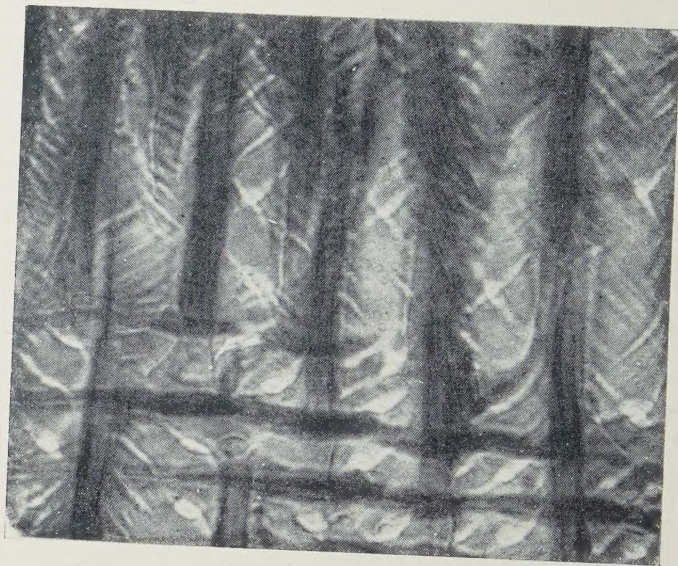


Fig. 1

Przekrój promieniowy

× 300



Fig. 2

Przekrój promieniowy

× 620